

524  
1989



ISSN—0132—1447

საქართველოს სსრ  
მეცნიერებათა აკადემიის

**მოაზგე**

**СООБЩЕНИЯ**

АКАДЕМИИ НАУК  
ГРУЗИНСКОЙ ССР

**BULLETIN**

OF THE ACADEMY OF SCIENCES  
OF THE GEORGIAN SSR

ტომი 135 ტომ

№ 2

აგვისტო 1989 ავგუსტ

თბილისი • ТБИЛИСИ • TBILISI

საქართველოს სსრ  
მეცნიერებათა აკადემიის

ბოლნისი

СООБЩЕНИЯ

АКАДЕМИИ НАУК  
ГРУЗИНСКОЙ ССР

BULLETIN

OF THE ACADEMY OF SCIENCES  
OF THE GEORGIAN SSR

•  
ტომი 135 ტომ

№ 2

ნაწილი I часть

ავგუსტი 1989 АВГУСТ

ჟურნალი დაარსებულია 1940 წელს  
Журнал основан в 1940 году

საქართველოს სსრ მეცნიერებათა აკადემიის ყოველთვიური სამეცნიერო ჟურნალი „მოამბე“  
ქართულ, რუსულ და ინგლისურ ენებზე

Ежемесячный научный журнал АН Грузинской ССР „Сообщения“  
на грузинском, русском и английском языках

ს ა რ ე დ ა ტ ო რ ი კ ო ლ ე გ ი ა

მ. ალექსიძე, თ. ანდრონიკაშვილი, თ. ბერიძე (მთავარი რედაქტორის მოადგილე), თ. გამყრელიძე,  
მ. გამყრელიძე, გ. გველესიანი, ვ. გომელაური, რ. გორდენიანი (მთავარი რედაქტორის მოადგილე),  
ე. ზაალიშვილი, ა. თავხელიძე (მთავარი რედაქტორი), გ. კვეციანი, ი. კიკელიძე (მთავარი  
რედაქტორის მოადგილე), თ. კობალაძე, ჯ. ლომინაძე, რ. მებრეველი, დ. მუსხელიშვილი-  
(მთავარი რედაქტორის მოადგილე), ბ. ნანეიშვილი, თ. ონიანი, მ. სალუქვაძე (მთავარი რედაქ-  
ტორის მოადგილე), ე. სეხნიაშვილი, თ. ურუშაძე, გ. ციციშვილი, გ. ქლოშვილი, მ. ზვინგია

#### РЕДАКЦИОННАЯ КОЛЛЕГИЯ

М. А. Алексидзе, Т. Г. Андроникашвили, Т. Г. Беридзе (заместитель главного редактора), Т. В. Гамкрелидзе, Э. П. Гамкрелидзе, Г. Г. Гвелеснани, В. И. Гомелаური, Р. Б. Гордзениани (заместитель главного редактора), М. М. Заалишвили, Г. И. Квешитадзе, И. Т. Кигურაძე (заместитель главного редактора), Т. И. Копаленишвили, Д. Г. Ломинадзе, Р. В. Метревели, Д. Л. Мухელიшвили (заместитель главного редактора), Б. Р. Нанеишвили, Т. Н. Ониანი, М. Е. Салуквадзе (заместитель главного редактора), Э. А. Сехниашвили, А. Н. Тавхелидзе (главный редактор), Т. Ф. Урушадзе, М. В. Хвингия, Г. Ш. Цицишвили, Г. С. Чогошвили

\* პასუხისმგებელი მდივანი ა. იაკობაშვილი

Ответственный секретарь А. Б. Якобашвили

რედაქციის მისამართი: 380060, თბილისი, კუტუზოვის ქ. 19, ტელ. 37-22-16.

საქართველოს სსრ მეცნიერებათა აკადემიის სტამბა 380060, კუტუზოვის ქ. 19, ტელ. 37-22-97.

Адрес редакции: 380060, Тбилиси, ул. Кутузова 19, тел. 37-22-16.

Типография АН ГССР. 380060, Тбилиси, ул. Кутузова 19, тел. 37-22-97.

ვადეცა წარმოებას 14.07.1989. ხელმოწერილია დასაბეჭდად 21.09.1989. ფორმატი  
70×108<sup>1/16</sup>. მაღალი ბეჭედი. პირობითი ნაბ. თ. 19.6 პირ. სალ.-ვატარება 20.4.  
საალრიცხვო-სავამომცემლო თაბახი 18.5. ტირაჟი 1200.  
უფ 12972. შეკვ. № 2005, ფასი 1 მ. 90 კაპ.

Сдано в набор 14.07.1989. Подписано к печати 21.09.1989. Формат 70×108<sup>1/16</sup>.  
Печать высокая. Усл. печ. л. 14.8, уч.-изд. л. 19.6, усл. кр.-отт. 20.4. Ти-  
раж 1200. УЭ 12972. Зак. № 2005. Цена 1 р. 90 к.

საქართველოს სსრ მეცნიერებათა აკადემიის მოამბე, 1989.

© Сообщения АН ГССР, 1989.

შ ი ნ ა რ ს ი

მათემატიკა

*გ. ხიმშიაშვილი. რიმან — ჰილბერტის ზოგადი სასაზღვრო ამოცანის შესახებ	244
*თ. კოპალიანი. ჭერადი ფურეე — ჰარის მწკრივების კრებადობა $H^{p,q}, H_{p,q}$ სივრცეებში	246
*შ. ბახტაძე. ჩეხის ჰომოლოგიის ერთი ზუსტი ვარიანტის ფუნდამენტური კომპლექსი	252
*ა. ყიფიანი. $\alpha \times \alpha$ სიმრავლის ერთი უნიფორმული ქვესიმრავლის შესახებ	256
*ა. ხარაზიშვილი. სიმრავლეთა თეორიის ზოგიერთი ამოცანის შესახებ	260
*ი. თვალთქვიციანი. ვოლტერის II გვარის ინტეგრალური განტოლებების ამოხსნის ეფექტური მეთოდების შესახებ	264
*ა. ჯვარციანი. ბიწრეში $H_p, p > 0$ კლასის ანალიზური ფუნქციების ზოგიერთი თვისება	266
*ს. ხარბევაშვილი. მახასიათებელი ამოცანა ერთი კლასის ტიპის და რიგის გადაგვარების მქონე მეორე რიგის ჰიპერბოლური სისტემებისათვის	271
*ა. ბორჯბაიანი. თანაბრულ სივრცეთა სამი თვისების შესახებ	275
*რ. ორმოცაძე. s-დაუყვანადი ასახვები	280
*ი. მელამელი. ზოგიერთი სტატისტიკური შეფასების ასიმპტოტური ყოფილება პარამეტრის შეფასების შემთხვევაში მოცულობის ამოკრფის სქემაში	284
*ბ. პასინკოვი, ე. სანიკოვა. პროექციული სექტორების შესახებ	287

მექანიკა

*ნ. ხომასურიძე, ზ. სირაძე, ტ. ელიზბარაშვილი, ვ. ლორთქიფანიძე, ბ. ლობჯანიძე. მოცემული მიმართულებით მყარი გარემოს აფეთქებით გაბობისას მასში წარმოქმნილი დაძაბულობების გავლის თეორიული საფუძვლების შემუშავების საკითხისათვის	291
*მ. ჯიბუტი, მ. ეფრემიძე, ვ. კოვალენკო. მასის განწილებული წყაროებისა და ენტროპიის ნაკადის მქონე აკუსტიკურ რეზონატორში არაწრფივი ტალღური ველების აგება კომპუტერული გრაფიკის საშუალებებით	296

კიბერნეტიკა

*ა. გაბელაია. წრფივი ავტონომიური სისტემების სტაბილიზაციის ერთი ხერხი არასრული ინფორმაციის შემთხვევაში	300
*ე. ბლაგიძე, რ. გუსეინოვი, ლ. ყუბანეიშვილი, ნ. მარკოზაშვილი, ე. ციგრაიშვილი. რამდენიმე ცვლადის ფუნქციის წარმოებულების მნიშვნელობების ავტომატური გამოთვლის პროგრამული რეალიზაციის შესახებ	303

\* ვარსკვლავით აღნიშნული სათაური ეკუთვნის წერილის რეზიუმეს

19159

საქ. სსრ კ. მარქსის  
სახ. სახ. რესპუბ.  
ბ. ბლაგიძე

\*დ. ბაშალაიშვილი, არარტივი შემამკირებელი და გამამსხვილებელი სისტემების მათემატიკური მოდელები

## ფიზიკა

- \*რ. ქვათაძე, რ. შანიძე,  $A_c$  და  $Xi^+$  ბარიონების  $\Sigma$  ჰიპერონად დაშლის ექსპერიმენტულად დამზერის შესაძლებლობები 312
- \*ე. პავერმანი, დ. ხასიდაშვილი. „ელექტრონული ჰელიონის“ მოდულაციური არამდგრადობის არასტაციონარული დინამიკა 316

## გიოფიზიკა

- \*დ. ქართველიშვილი. ახლობელი მიწისძვრით გამოწვეული დედამიწის ზედაპირის ნახტომისებური დაზრები 320
- \*ა. ტარიელაძე, პ. მანჯგალაძე, ზ. ქვათაძე. ფარავნის 1986 წ. 13 მაისის მიწისძვრის პერიოდში ელექტრომაგნიტური გამოსხივების დეფორმაციებთან კავშირის შესახებ 323
- \*ე. ელიზბარაშვილი. დიდი კავკასიონის მასიურობის გავლენის შესახებ ტემპერატურის ველზე 327
- \*ზ. ხვედელიძე, ე. ელიზბარაშვილი, თ. ხელაძე. მთის მეტეოროლოგიური სადგურების თბიქტური კლასიფიკაცია ადგილმდებარეობის მიხედვით 332

## ზოგადი და არაორგანული ქიმია

- \*ვ. ჯინჭარაძე, ს. პაპუაშვილი, მ. გორდაძე, ქ. გოზალიშვილი. ფხვნილური სრულპროფილიანი რენტგენოსტრუქტურული ანალიზის გამოყენება ცემენტის კლინკერის შესწავლაში 335
- \*ზ. ჩაჩხიანი, ე. ცუცქერიძე, ლ. ჩაჩხიანი, ა. პეჩენიკოვი, ა. კაშინცევი.  $ErFe_2$ — $ErNi_2$  მყარი ხსნარების მაგნიტური თვისებები 340

## ორგანული ქიმია

- \*ჯ. ლალიძე, ლ. თალაკვაძე, თ. რევაზიშვილი, რ. ლალიძე (საქ. სსრ მეცნ. აკადემიის წევრ-კორესპონდენტი).  $\beta$ -კარბონილების სინთეზი ადიპინის, იზოფტალის და 4-ფენილპენტანის მკვებების ამიდეების საფუძველზე 343
- \*რ. ლალიძე (საქ. სსრ მეცნ. აკად. წევრ-კორესპონდენტი), ი. ვატილოვი, ი. სტრელენკო. 1,2,5,6-დიბენზო-3,3,7,7-ტეტრაამეთილციკლოქტანდიონ-4,8-ის მეთილამინთან ტრანსანულარული ურთიერთქმედების პროდუქტის სტრუქტურა 348
- \*ზ. ჯაფარიძე, ლ. კიკნაძე, გ. ბოროდინა. კარდული ტიპის პოლიბენზოქსაზოლების სინთეზი ალდენითი პოლიპეტროციკლიზაციის მეთოდით 352

## ფიზიკური ქიმია

- \*მ. ბათიაშვილი, რ. აღამია (საქ. სსრ მეცნ. აკადემიის წევრ-კორესპონდენტი). პოლიპროპილენის შესწავლა ელექტრეტულ-თერმული ანალიზით 355

\*მ. კაციტაძე, ზ. ძოწენიძე, მ. მუსეერიძე, გ. ბეზარაშვილი, თ. კოკოჩაშვილი. წყალბადის ატომების პეტეროგენული რეკომბინაციის გამოკვლევა საქ. სსრ ზოგიერთი ცეოლიტშემცველი ბუნებრივი ქანის ზედაპირებზე 359

\*ე. ბენაშვილი, კ. კვიციანი, ნ. ჩერქეზიშვილი. თხევადი საწყვეებიდან მერკაპტანების აღსორბეტილი გამოყოფა კლინობატილოლიტშემცველი ტუფების გამოყენებით 363

### ელექტროქიმია

\*რ. კვარაცხელია, თ. მაჭავარიანი, გ. კვარაცხელია. პალოგენთა ოქსიანიონების კრონოვოლტამპერომეტრია 368

\*რ. აგლაძე (საქ. სსრ მეცნ. აკადემიის აკადემიკოსი), მ. ჯალიაშვილი, გ. მჭედლიშვილი, მ. ქერეჭაშვილი, დ. ჯინჭარაძე. საფერითე კაზმის თვისებების დამოკიდებულება ელექტროლიზის პირობებთან 371

\*ვ. შავგულიძე, მ. ჩაგუნავა. N, N-დიეთილნიკოტინამიდთან ნიკოტის (II) კომპლექსის ელექტროდგენის მექანიზმის შესწავლა და პოლაროგრაფიულ კატალიზურ დენებზე დაყრდნობით მისი მდგრადობის მუდმივას განსაზღვრა 376

### ჰიდროლოგია

\*ე. საბაძე. ჯონსონის  $S_p$  განაწილების ფუნქციის პარამეტრების შეფასების მიახლოებითი მეთოდები 379

\*ზ. ფირანაშვილი, ე. საბაძე. მდინარის ჩამონადენის ერთგანზომილებიანი განაწილების ფუნქციის შეფასება 384

### ბიოლოგია

\*ნ. სალუქვაძე. კავკასიის პალეოცენურ-ეოცენური დროის ბიოფაუნის დარაიონების საკითხისათვის 387

### პეტროლოგია

\*ა. ოქროსცვარიძე. ზოგიერთი იშვიათი ელემენტის განაწილების შესახებ აფხაზეთის პალეოზოურ გრანიტოიდებში და მიგმატიტებში 392

\*დ. შენგელია, ვ. ჭიჭინაძე, ა. ოქროსცვარიძე. ახალი მონაცემები ბეშოსისა და კამენსტიას (მთიანი აფხაზეთი) გრანიტოიდების შესახებ 396

### მეტალურგია

\*დ. ცაგარეიშვილი, დ. ტატიშვილი, გ. გველესიანი (საქ. სსრ მეცნ. აკადემიის აკადემიკოსი) ი. ბარათაშვილი, გ. ცაგარეიშვილი (საქ. სსრ მეცნ. აკადემიის წევრ-კორესპონდენტი), თ. აბაშიძე, კ. ჯაოშვილი. მაღალტემპერატურული ზეგამტარობა Y-Ba-Cu-F-O სისტემაში 398

- \*გ. გველესიანი (საქ. სსრ მეცნ. აკადემიის აკადემიკოსი), გ. ცაგარეიშვილი (საქ. სსრ მეცნ. აკად. წევრ-კორესპონდენტი), ა. ავალიანი, ი. ბარათაშვილი, დ. ცაგარეიშვილი, თ. აბაშიძე, დ. ტატიშვილი, ვ. მეტრეველი, ქ. უკლება. Y-Ba-Cu-O სისტემის მაღალტემპერატურული ზეგამტარების დამზადება კოლოიდური მეთოდით 403

#### მანქანათმშენობა

- \*მ. ხეინგია (საქ. სსრ მეცნ. აკად. აკადემიკოსი), თ. ქიქბაია, ა. გოგავა. ცილინდრული ზამბარების რხევების რიცხვითი მოდელირება დემპფირების გათვალისწინებით 407
- \*თ. ლოლაძე (საქ. სსრ მეცნ. აკადემიის აკადემიკოსი), გ. ტყემალაძე, ა. მიქანაძე, თ. ქოჩიაშვილი, გ. ტაბატაძე. საოხ-გამაცივებელი სითხის ეფექტურობის დაჩქარებული დიაგნოსტიკა 410
- \*კ. ავალიანი, სპრისის გეგმაში მთავარი კუთხის კრის ძალაზე გავლენის გრაფონალიზური განხილვა 416

#### ბოტანიკა

- \*თ. ქურდაძე, ზ. კიკვიძე. ცენტრალური კავასიონის მაღალმთის ეფემეროიდების ოსმოსური წნევა 418
- გ. დვალაძე, ლ. ჩხაიძე, მ. ჯაოშვილი. ხორბლის სახეობათაშორისი პიზმიდის (*Triticum aestivum* Nev  $\times$  *Triticum compactum* Host.) მიკროსპოროგენეზი 421

#### აღმნიშნა და ცხომელთა ფიზიოლოგია

- \*ვ. შაგინიანი, თ. შრაიზმანი, გ. ბოჭორიშვილი. მოზარდ სპორტსმენებში ფიზიკური დატვირთვისადმი ადაპტაციის მექანიზმის შესწავლა კარდიო-სპირტოგომეტრული მეთოდით 427

#### ბიოფიზიკა

- \*გ. დავითაია, ლ. ასათიანი, ქ. ჭავჭავაძე. ფეროცენუმცველი აცტილენური გლიკოლების გავლენის შესწავლა ბენზ (α) პირენით მოდიფიცირებულ ვირთაგვას ღვიძლის მიკროსომებში 431

#### ბიოქიმია

- \*პ. თხელიძე, თ. ანანიაშვილი, თ. ხაჩიძე. 14C-საქაროზას გარდაქმნა ვაზის ყლორტსა და მტევანში 435

#### ზოოლოგია

- \*დ. თარხნიშვილი, რ. მამრაძე. მცირეზოოტი ბავაყის ფენოტიპის მოდელირება მაღალი ტემპერატურის გავლენის შედეგად 440

დ. კავჭანიძე, გ. ხვადაგიანი, ნ. ამირიანი, დ. კანდელაკი,  
 ვ. სულხანიშვილი, ვ. ბახუტაშვილი (საქ. სსრ მეცნ. აკადემიის  
 წევრ-კორესპონდენტი), ლ. მანაგაძე. ალოგენური თირკმლის ჰომოგენატისა  
 და პრეპარატ ლბ-1-ის მასტიმულირებელი ვაგლენა თირკმლების კომპენსატო-  
 რულ ჰიპერტროფიაზე ექსპერიმენტში

441

ენათმეცნიერება

\*ო. თუმანოვა. ტოპონიმები ბოტანიკაში

447



## СОДЕРЖАНИЕ

### МАТЕМАТИКА

Г. Н. Химшиашвили. О топологии общей граничной задачи Римана — Гильберта	241
Т. С. Копалиани. О сходимости кратных рядов Фурье по системе Хаара в пространствах $H^{p,\omega}$ , $H_{p12}$	245
Ш. А. Бахтадзе. Фундаментальный комплекс одного точного варианта гомологии Чеха	249
А. Е. Кипиани. Об одном равномерном подмножестве в $\omega_a \times \omega_a$	253
А. Б. Харაзишвили. О некоторых задачах теории множеств	257
Ю. Г. Твалодзе. Об эффективных методах решения интегральных уравнений Вольтерра II рода	261
А. Г. Джваршейшвили. Некоторые свойства аналитических функций класса $H_p$ , $p > 0$ в бикруге	265
С. С. Харибегашвили. Характеристическая задача для одного класса гиперболических систем второго порядка с вырождением типа и порядка	269
А. А. Борубаев. О трех свойствах равномерных пространств	273
Р. Н. Ормоцадзе. s-Неприводимые отображения	277
И. А. Меламед. Асимптотическое поведение некоторых статистических оценок в схеме оценивания параметров по выборке случайного объема	281
Б. А. Пасынков, Е. В. Санчикова. О проекционных спектрах	285

### МЕХАНИКА

Н. Г. Хсмасуридзе, З. Ш. Сирадзе, Т. Ш. Элизбарашвили, В. Д. Лорткипанидзе, Б. П. Лобжанидзе. К вопросу разработки теоретических основ для расчета напряжений в твердой среде при взрывном раскалывании ее в заданном направлении	289
М. С. Джibuти, М. И. Епремидзе, В. П. Коваленко. Построение средствами компьютерной графики нелинейных волновых полей в акустическом резонаторе с распределенными источниками массы и потоками энтропии	293

### КИБЕРНЕТИКА

А. Г. Габелая. Один подход к решению задачи стабилизации линейных автономных систем с неполной информацией	297
Е. А. Благидзе, Р. Э. Гусейнов, Л. Э. Кубанейшвили, Н. И. Меркозашвили, Э. Н. Цигришвили. О программной реализа-	

\* Заглавие, отмеченное звездочкой, относится к резюме статьи.

ция автоматического вычисления значений производных функций нескольких переменных 301

- Д. И. Башалейшвили. Математические модели нелинейных уменьшающих и укрупняющих систем 305

#### ФИЗИКА

- Р. А. Кватадзе, Р. Г. Шанидзе. Экспериментальные возможности наблюдения распадов  $\Lambda_c$  и  $\Xi_c^+$  барионов с участием  $\Sigma^0$  гиперона 309
- В. С. Пяверман, Д. О. Хасидашвили. Нестационарная динамика модуляционной неустойчивости «электрического геликона» 313

#### ГЕОФИЗИКА

- Д. К. Картвелишвили. Скачкообразные наклоны поверхности Земли при близких землетрясениях 317
- А. Н. Тариеладзе, П. В. Манджгаладзе, З. А. Кватадзе. О связи ЭМИ с деформациями в период Параванского землетрясения 13 мая 1986 года 321
- Э. Ш. Элизбарашвили. О влиянии массивности большого Кавказа на поле температуры 325
- З. В. Хведелидзе, Э. Ш. Элизбарашвили, Т. В. Хеладзе. К объективной классификации горных метеорологических станций по местоположению 329

#### ОБЩАЯ И НЕОРГАНИЧЕСКАЯ ХИМИЯ

- Г. Г. Джинчарадзе, С. Н. Папуашвили, М. А. Гордадзе, К. Г. Гозалишвили. Применение порошкового полнопрофильного рентгеноструктурного анализа при изучении цементного клинкера 333
- З. Б. Чачхиани, Э. У. Цуцкиридзе, Л. Г. Чачхиани, А. В. Печенников, А. С. Кашидзе. Магнитные свойства твердых растворов системы  $\text{ErFe}_2\text{—ErNi}_2$  337

#### ОРГАНИЧЕСКАЯ ХИМИЯ

- Д. Р. Лагидзе, Л. Я. Талаквандзе, Т. Н. Ревазишвили, Р. М. Лагидзе (член-корреспондент АН ГССР). Синтез  $\beta$ -карболинов на основе амидов адипиновой, изофталевой и 4-фенилтановой кислот 341
- Р. М. Лагидзе (член-корреспондент АН ГССР), Ю. В. Гатилов, Ю. А. Стреленко. Структура продукта трансаннулярного взаимодействия 1,2,5,6-дibenzo-3,3,7,7-тетраметилциклооктандиона-4,8 с метиламином 345
- З. Ш. Джапаридзе, Л. Д. Кикнадзе, Г. В. Бородина. Синтез карбовых полибензоксазолов методом восстановительной полигетероциклизации 349

#### ФИЗИЧЕСКАЯ ХИМИЯ

- М. С. Батишвили, Р. Ш. Адамия (член-корреспондент АН ГССР). Исследование полипропилена методом электро-термического анализа 353
- М. М. Кацитадзе, З. Г. Дзоценидзе, М. Д. Мусеридзе, Г. С. Безарашвили, Т. В. Кокочашвили. Исследование рекомбинации атомов водорода на поверхностях некоторых цеолитсодержащих горных пород ГССР 357
- Е. М. Бенашвили, К. Е. Квиташвили, Н. И. Черкезишвили. Адсорбционное выделение меркаптанов из жидких топлив с применением каолинитцеолитсодержащих туфов 361

### ЭЛЕКТРОХИМИЯ

- Р. К. Кварацхелия, Т. Ш. Мачавариани, Г. Р. Кварацхелия.  
Хроновольтамперометрия оксианионов галогенов 365
- Р. И. Агладзе (академик АН ГССР), М. Н. Джалишвили, Г. Н. Мchedlishvili, М. Б. Керечашвили, Д. Г. Джинчарадзе.  
Зависимость свойств ферритового сырья от условий электролиза 369
- В. В. Шавгулидзе, М. Р. Чагунава. Исследование механизма электро-  
восстановления комплексов никеля (II) с N,N-диэтилникотинамидом и  
определение его константы устойчивости на основе полярографиче-  
ских каталитических токов 373

### ГИДРОЛОГИЯ

- Э. Я. Сабадзе. Методы приближенной оценки параметров распределения  
 $S_{\alpha}$  Джонсона 377
- З. А. Пиранашвили, Э. Я. Сабадзе. К вопросу оценки одномерной  
функции распределения речного стока 381

### ГЕОЛОГИЯ

- Н. Ш. Сзлуквадзе. К вопросу о биофациальном районировании Кавказа  
в палеоцен-эоценовое время 385

### ПЕТРОЛОГИЯ

- А. В. Окросцваридзе. О распределении некоторых редких элементов в  
палеозойских гранитоидах и магматитах Абхазии 389
- Д. М. Шенгелиа, Г. Л. Чичинадзе, А. В. Окросцваридзе. Новые  
данные о плагиогранитогнейсах Бешты и горы Каменистой (Горная  
Абхазия) 393

### МЕТАЛЛУРГИЯ

- Д. Ш. Цагарейшвили, Д. Г. Татишвили, Г. Г. Гвелесиани,  
(академик АН ГССР), И. Б. Бараташвили, Г. В. Цагарей-  
швили (член-корреспондент АН ГССР), Т. Д. Абашидзе, К. Р.  
Джаошвили. Высокотемпературная сверхпроводимость в системе  
Y-Ba-Cu-F-O 397
- Г. Г. Гвелесиани (академик АН ГССР), Г. В. Цагарейшвили  
(член-корреспондент АН ГССР), А. Т. Авалиани, И. Б. Бара-  
ташвили, Д. Ш. Цагарейшвили, Т. Д. Абашидзе, Д. Г.  
Татишвили, В. Ш. Метревели, К. З. Уклеба. Приготов-  
ление высокотемпературных сверхпроводников системы Y-Ba-Cu-O кол-  
лоидным методом 401

### МАШИНОВЕДЕНИЕ

- М. В. Хвингия, (академик АН ГССР), Т. В. Жижбая, А. Л. Гогава.  
Численное моделирование колебаний цилиндрических пружин с учетом  
демпфирования 405
- Т. Н. Лоладзе (академик АН ГССР), Г. Н. Ткемаладзе, А. И. Ми-  
кенадзе, О. В. Кочиашвили, Г. С. Табатадзе. Ускоренная  
диагностика эффективности смазывающе-охлаждающей жидкости 409

- К. М. Авалиани. Графоаналитическое рассмотрение влияния угла в плане реза на силу резания 413

## БОТАНИКА

- Т. Ф. Курдадзе, З. Я. Киквидзе. Осмотическое давление у эфемероидов высокогорий Центрального Кавказа 417
- \* Г. Е. Гваладзе, Л. К. Чхандзе, М. Ш. Джаошвили. Микроспогогенез межвидового гибрида пшеницы (*Triticum aestivum* nev. × *Triticum compactum* Host.) 424

## ФИЗИОЛОГИЯ ЧЕЛОВЕКА И ЖИВОТНЫХ

- В. С. Шагинян, Ф. О. Шрайбман, Г. А. Бочоришвили. К изучению механизма адаптации к физической нагрузке у юных спортсменов методом кардио-спироэргометрии 425

## БИОФИЗИКА

- Г. Ш. Давитая, Л. П. Асатиани, К. Г. Чавчанидзе. Изучение влияния ферроценсодержащих ацетиленовых гликолей в микросомах печени крыс, модифицированных бенз(а)пиреном 429

## БИОХИМИЯ

- П. А. Тхелидзе, Т. И. Ананишвили, О. Т. Хачидзе. Превращение <sup>14</sup>C-сахарозы в побегах и гроздьях винограда 433

## ЗООЛОГИЯ

- Д. Н. Тархнишвили, Р. Г. Мамрадзе. Модификация фенотипа малоазратской лягушки под воздействием повышенной температуры 437

## ЭКСПЕРИМЕНТАЛЬНАЯ МЕДИЦИНА

- \* Д. Г. Чавчанидзе, Г. Г. Хвадагиани, Н. Б. Амирян, Д. Д. Канделаки, В. А. Сулханишвили, В. И. Бахуташвили (член-корреспондент АН ГССР), Л. Г. Манагадзе. Стимулирующее влияние аллогенного почечного гомогената и препарата ЛБ-1 на компенсаторную гипертрофию почек в эксперименте 441

## ЯЗЫКОЗНАНИЕ

- О. Т. Туманова. Топонимы в ботанике 445

## CONTENTS

### MATHEMATICS

G. N. Khimshiashvili. On the topology of the general Riemann-Hilbert problem	244
T. S. Kopaliani. On convergence of the multiple Haar-Fourier series in the $H^{p,\omega}$ , $H_{p,\Omega}$ spaces	247
Sh. A. Bakhtadze. The fundamental complex of one exact variant of Cech homologies	252
A. E. Kipiani. On one uniform subset in $\omega_{\alpha} \times \omega_{\alpha}$	256
A. B. Kharazishvili. On some problems of the set theory	260
Yu. G. Tvalodze. On effective methods of solution of voltaerra's II type integral equations	264
A. G. Jvarsheishvili. Some properties of analytical functions of class Hp. $P > 0$ in the bidisk	267
S. S. Kharibegashvili. A characteristic problem for a class of second-order hyperbolic systems with type and order degeneration	271
A. A. Borubayev. On three properties of uniform spaces	275
R. N. Ormotsadze. S-irreducible mappings	280
J. A. Melamed. Asymptotic behaviour of some statistical estimators in the set-up of parameter estimation on the base of a random volume sample	284
B. A. Pasyukov, E. V. Sannikova. On projective spectra	287

### MECHANICS

N. G. Khomasuridze, Z. Sh. Siradze, T. Sh. Elizbarashvili, V. D. Lortkipanidze, B. P. Lobzhanidze. Development of the theoretical basis for calculation of the rigid medium tension under its explosive splitting in a given direction	291
M. S. Jibuti, M. I. Epremidze, V. P. Kovalenko. Construction of the nonlinear wave spaces in the acoustic resonator with the distributed mass sources and entropy flows by means of computer graphics	296

### CYBERNETICS

A. G. Gabelaya. One approach to the stability problem of linear autonomous systems with incomplete information	300
E. A. Blagidze, R. E. Gusseinov, L. E. Kubaneishvili, N. I. Markozashvili, E. N. Tsigriashvili. Software package carrying out automatic calculations of derivatives	304
D. I. Bashaleishvili. Mathematical models of nonlinear reducing and coarsening systems	308

## PHYSICS

- R. A. Kvatadze, R. G. Shanidze. Possibilities of experimental observation of  $\Lambda_c$  and  $\Xi_c^*$  baryons decay to  $\Sigma^0$  hyperon 312
- V. S. Paverman, D. O. Khasidashvili. The nonstationary dynamics of electric helicon modulation instability 316

## GEOPHYSICS

- D. K. Kartvelishvili. Step wise tilts at near earthquakes 320
- A. N. Tarieladze, P. V. Manjgaladze, Z. A. Kvatadze. On the relationship between electromagnetic emission and strain during Paravani earthquake of 13. 05. 1986 323
- E. Sh. Elizbarashvili. On the effect of the Greater Caucasus massiveness upon the temperature field 328
- Z. V. Khvedelidze, E. Sh. Elizbarashvili, T. V. Kheladze. Unbiased classification of mountain meteorological stations by their sites 332

## GENERAL AND INORGANIC CHEMISTRY

- G. G. Jincharadze, S. N. Papuashvili, M. A. Gordadze, K. G. Gozalishvili. Application of the powder full-profile X-ray diffraction analysis in the study of cement clinker 335
- Z. B. Chachkiani, E. U. Tsutskiridze, L. G. Chachkiani, A. V. Pechennikov, A. S. Kashintsev. Magnetic properties of  $\text{ErFe}_2$ - $\text{ErNi}_2$  system solid solutions 340

## ORGANIC CHEMISTRY

- J. R. Lagidze, L. I. Talakvadze, T. N. Revazishvili, R. M. Lagidze. Synthesis of  $\beta$ -carbonyls on the base of adipic, isophthalic and 4-phenyl-pentanic acids 343
- R. M. Lagidze, Yu. V. Gatilov, Yu. A. Strelenko. The structure of the product of transannular interaction of 1,2,5,6-dibenzo-3,3,7,7-tetramethyl-cyclooctandion-4,8 with methylamine 348
- Z. Sh. Japaridze, L. D. Kiknadze, G. V. Borodina. Synthesis of cardous polybenzoxasoles by the reducing polyheterocycling method 352

## PHYSICAL CHEMISTRY

- M. S. Batiashvili, R. Sh. Adamia. A study of polypropylene by electret thermoanalysis 355
- M. M. Katsitadze, Z. G. Dzotsenidze, M. D. Museridze, G. S. Bezarashvili, T. V. Kokochashvili. The investigation of hydrogen atoms recombination on the surface of some zeolite-containing rocks from Georgia 359
- E. M. Benashvili, K. E. Kvitaishvili, N. I. Cherkezishvili. Separation of mercaptanes from liquid fuels using clinoptilolite-containing tuffs 364

## ELECTROCHEMISTRY

- R. K. Kvaratskheliya, T. Sh. Machavariani, G. R. Kvaratskheliya. Chronovoltammetry of the oxianions of halogens 368

- R. I. Agladze, M. N. Jaliashvili, G. N. Mchedlishvili, M. B. Kerechashvili, D. G. Jincharadze. The interrelation between the ferrite mix properties and the electrolysis conditions 372
- V. V. Shavgulidze, M. R. Chagunava. A study of the mechanism of electroreduction of nickel (I) complex with N, N-diethylnicotinamide and determination of its stability constant on the basis of polarographic catalytic currents 376

## HYDROLOGY

- E. Ya. Sabadze. Approximate estimation methods of jonson  $S_0$  distribution function parameters 378
- Z. A. Piranashvili, E. Ya. Sabadze. Towards the evaluation of one-dimensional function of river flow distribution 384

## GEOLOGY

- N. Sh. Salukvadze. On the biofacies zonation of the Caucasus during the Paleocene-Eocene 387

## PETROLOGY

- A. V. Okrostsvavidze. On distribution of some rare elements in Paleozoic granitoids and migmatites of Abkhazia 392
- D. M. Shengelia, G. L. Chichinadze, A. V. Okrostsvavidze. New data on plagiogranite gneisses of the Beshta and mount Kame-nistaya (Upper Abkhazia) 396

## METALLURGY

- D. Sh. Tsagareishvili, D. G. Tatishvili, G. G. Gvelesiani, I. B. Baratashvili, G. V. Tsagareishvili, T. D. Abashidze, K. R. Jaoshvili. High-temperature superconductivity in the system Y-Ba-Cu-F-O 399
- G. G. Gvelesiani, G. V. Tsagareishvili, A. T. Avaliani, I. B. Baratashvili, D. Sh. Tsagareishvili, T. D. Abashidze, D. G. Tatishvili, V. Sh. Metreveli, K. Z. Ukleba. Preparation of high-temperature superconductors of the Y-Ba-Cu-O system by colloidal method 403

## MACHINE BUILDING SCIENCE

- M. V. Khvingia, T. V. Zhizhbaia, A. L. Gogava. Numerical modelling of coil spring oscillations with regard for damping 408
- T. N. Loladze, G. N. Tkemaladze, A. I. Mikanadze, O. V. Kochiashvili, G. S. Tabatadze. Quick diagnosis of the effectiveness of the lubricant-coolant liquid 411
- K. M. Avaliani. Graphoanalytical determination of the influence of plane angle on cutting force 416

## BOTANY

- T. F. Kurdadze, Z. Ya. Kikvidze. Osmotic pressure in high-mountain ephemerooids of the Central Caucasus 419



- G. E. Gvaladze, L. K. Chkhaidze, M. Sh. Jaoshvili. Microsporogenesis of the interspecies hybrid of wheat (*Triticum aestivum* nev. x *Triticum compactum* host) 424

#### HUMAN AND ANIMAL PHYSIOLOGY

- V. S. Shaginyan, F. O. Shraibman, G. A. Bochorishvili. The study of the mechanism of young sportsmen's adaptation to physical loading by the cardio-spiroergometric method 428

#### BIOPHYSICS

- G. Sh. Davitaya, L. P. Asatiani, K. G. Chavchanidze. Investigation of ferrocene-containing glycols action on the rat liver microsomes modified by benzo( $\alpha$ )pyrene 431

#### BIOCHEMISTRY

- P. A. Tkhelidze, T. I. Ananiashvili, O. T. Khachidze. Conversion of  $^{14}\text{C}$ -sucrose in grapevine shoots and clusters 435

#### ZOOLOGY

- D. N. Tarkhnishvili, R. G. Mamradze. Modification of Caucasian brown frog's phenotype under the influence of high temperature 440

#### EXPERIMENTAL MEDICINE

- D. G. Chavchanidze, G. G. Khvadagiani, N. B. Amiryan, D. J. Kandelaki, V. A. Sul Khanishvili, V. I. Bakhtashvili, L. G. Managadze. The stimulating effect of allogenic renal homogenate and preparation LB-1 on renal compensatory hypertrophy in experiment 444

#### LINGUISTICS

- O. T. Tumanova. Toponyms in botany 447





Г. Н. ХИМШИАШВИЛИ

## О ТОПОЛОГИИ ОБЩЕЙ ГРАНИЧНОЙ ЗАДАЧИ РИМАНА—ГИЛЬБЕРТА

(Представлено академиком Г. С. Чогошвили 25.8.1988)

Предлагаемый ниже подход к постановке и исследованию заглавной задачи связан с теорией бесконечномерных групп Ли [1]. Наиболее важны для нас группы единиц специальных операторных алгебр [2] и группы петель [3]. Последние остаются предметом активного изучения, частично подытоженного в [3], в результате чего установлены, в частности, интересные связи групп петель с нелинейными уравнениями математической физики, теорией инстантонов и аффинными алгебрами Ли. Фундаментальным объектом для этих теорий являются голоморфные векторные расслоения над римановыми поверхностями [4], которые, как хорошо известно, одновременно доставляют естественный язык для описания классической граничной задачи Римана—Гильберта (ЗРГ) [5, 6]. Именно возникающие на этом пути сквозные связи подсказали излагаемое далее обобщение названной задачи за счет рассмотрения действия произвольных компактных групп Ли и позволили использовать для наших целей некоторые результаты упомянутых теорий. Ограничив мотивировки сказанным, перейдем к описанию основной ситуации.

Пусть  $G$ —связная компактная группа Ли с комплексификацией  $G_{\mathbb{C}}$  (в смысле [3]), а  $A$  и  $A_{\mathbb{C}} = A \otimes \mathbb{C}$ —соответствующие алгебры Ли. Через  $T$  обозначим единичную окружность в расширенной комплексной плоскости (сфере Римана)  $\bar{\mathbb{C}} = \mathbb{C}P^1 = \mathbb{P}$ . Тогда  $\mathbb{P} = B_+ \cup T \cup B_-$ , где  $B_+$ —внутренняя, а  $B_-$ —внешняя области для  $T$  в  $\bar{\mathbb{C}}$ . Как принято, через  $\infty$  будем обозначать «северный полюс» сферы Римана, а через  $A(U, \mathbb{C}^n)$ —множество всех непрерывных отображений области  $U \subset \mathbb{C}$  в  $\mathbb{C}^n$ , которые голоморфны внутри  $U$ .

Напомним, что петлей в  $G$  (данного класса гладкости  $m$ , который у нас всегда будет не меньше единицы) называют любое отображение  $F: T \rightarrow G$  класса  $C^m$ . Петли образуют группу относительно поточечного умножения значений, причем в  $LG_{\mathbb{C}}$  выделяются подгруппы  $L_{\pm}G_{\mathbb{C}}$ , состоящие из петель, допускающих голоморфное продолжение в область  $B_+$  или  $B_-$ , соответственно. Факторизацией (по Биркгофу) петли  $F$  называют [3] ее представление в виде  $F = F_+ \cdot D \cdot F_-$ , где  $F_{\pm} \in L_{\pm}G_{\mathbb{C}}$ , а  $D$ —гомоморфизм окружности  $T$  в некоторый максимальный тор группы  $G$ .

Если еще задано некоторое линейное представление  $\gamma$  группы  $G$  в векторном пространстве  $V$ , которое мы будем всегда считать комплексным (в силу [7], гл. 3, это не ограничивает общности), то уже



можно в полной аналогии с классическим случаем [8] поставить основную задачу, называемую далее обобщенной задачей Римана—Гильберта (ОЗРГ) для представления  $\gamma$  группы  $G$  (со значениями в  $V$ ), параметром которой служит петля в  $G$ .

А именно, зафиксировав петлю  $F \in LG$ , сформулируем ОЗРГ с коэффициентом  $F$  (обозначаемую  $R_F$ ) как вопрос о существовании и количестве пар отображений (вектор-функций)  $X_{\pm} \in A(B_{\pm}, V)$  с  $X_{-}(\infty)=0$ , удовлетворяющих на  $T$  граничному условию:

$$X_{+}(z) = \gamma(F(z)) \cdot (X_{-}(z)), \quad \forall z \in T. \quad (1)$$

Если, кроме того, задана петля  $h$  в  $V$ , то формулировка  $R_{F,h}$ —неоднородной ОЗРГ со свободным членом (правой частью)  $h$ —получается из  $R_F$  заменой граничного условия (1) на условие

$$X_{+}(z) - \gamma(F(z)) \cdot (X_{-}(z)) = h(z), \quad \forall z \in T. \quad (2)$$

Замечание 1. Взяв в качестве  $G$  унитарную группу  $U(n)$ , а в качестве  $\gamma$ —ее стандартное представление на  $C^n$ , получаем в точности классическую ЗРГ и оправдание принятого названия.

Таким образом, для каждой группы возникает целая серия задач, из которых, однако, интересны лишь отвечающие неприводимым представлениям, в особенности для простых групп. Для наших целей удобно использовать описание представлений в терминах характеров и старших весов [7].

3. Оказывается, что, как и в классическом случае, ОЗРГ можно связать с задачей факторизации петель в группе коэффициентов (в частности, с нестандартной факторизацией ортогональных и симплектических матриц-функций). Для этого, фиксировав некоторый максимальный тор  $T^r$  в  $G$  ( $r$ —ранг группы  $G$ ), каждой гладкой ( $m \geq 1$ ) петле  $F$ , согласно [3], можно однозначно сопоставить набор целых чисел  $\bar{k}(F) = (k_1(F), \dots, k_r(F))$ , называемых частными индексами и обладающих тем свойством, что в факторизации вида  $F = F_{+} \cdot D \cdot F_{-}$  гомоморфизм  $D = D_{\bar{k}} : T \rightarrow T^r$  переводит точку  $z = \exp(2\pi i t) \in T$  в точку  $\exp_T(k_1 t, \dots, k_r t)$ , где  $\exp_T$  обозначает экспоненциальное отображение выбранного тора. Мы располагаем их по убыванию и сокращенно называем чинами петли.

Замечание 2. Для  $G = U(n)$  и максимального тора из диагональных матриц получаются обычные частные индексы ЗРГ [8]. Из сопряженности максимальных торов следует независимость чинов от выбора  $T^r$ . Вычисление чинов—интересная отдельная задача.

Нас особо интересует основной топологический инвариант ОЗРГ—ее (фредгольмовский) индекс, равный, как обычно, разности между размерностью ядра и дефектом неоднородной задачи [8]. Как и в случае ЗРГ [5], можно ввести некий фредгольмовский оператор с тем же индексом (в нашей постановке условие фредгольмовости выполняется автоматически). Оказывается, что индекс может быть явно вычислен по чинам коэффициента и старшему весу представления.

Напомним, что для любого веса  $\omega$  группы  $G$  определена элементарная симметрическая сумма  $S(\omega)$ , которую можно считать функцией на целочисленной решетке  $Z^r$  в алгебре Ли тора  $T^r$  [7].

**Теорема 1.** Пусть  $G$ —связная компактная группа Ли. Индекс ОЗРГ с коэффициентом  $F$  для представления  $\gamma$  группы  $G$  равен значению элементарной симметрической суммы старшего веса  $\omega(\gamma)$  на наборе чингов  $k(F)$  коэффициента задачи:

$$\text{ind } R_F = (S(\omega(\gamma)))(k_1(F), \dots, k_r(F)). \quad (3)$$

Для доказательства, ввиду аддитивности обеих частей формулы относительно взятия прямой суммы представлений, достаточно рассматривать только неприводимые представления [7]. Пользуясь известным описанием базисных неприводимых представлений классических групп и их характеров с помощью кососимметрических тензоров на пространстве стандартного представления [7] и обобщенной факторизационной теоремой из [3], удастся свести дело к набору одномерных задач, отвечающих нужным симметрическим комбинациям чингов, после чего требуемое следует из известной формулы для индекса ЗРГ [8].

Такая схема позволяет вычислить и размерность ядра задачи.

**Следствие 1.** Размерность ядра ОЗРГ с коэффициентом  $F$  равна сумме положительных членов указанного симметрического формального выражения от чингов  $F$ , а дефект, соответственно, равен сумме оставшихся членов, взятой с обратным знаком.

Подчеркнем, что при этом петля  $F \in LG$  могла быть одновременно «прописана» (т. е. рассмотрена как элемент группы петель) в различных группах (например, всегда существует такое  $N$ , что  $G$  вкладывается в  $U(N) \subset O(2N)$ , действующих в том же пространстве. Разумеется, «прописка» влияет и на чины, и на старший вес задачи, но, учитывая инвариантный смысл введенного индекса, приходим к следующему заключению.

**Следствие 2.** Значение указанной симметрической суммы на наборе чингов не зависит от «прописки» петли.

4. Как показано в [3], из теоремы Биркгофа получается классификация голоморфных главных  $G_C$ -расслоений над  $\mathbf{P}$  (теорема Гротендика), причем полный набор инвариантов образуют чины петли, задающей склейку при выбранном нами разбиении  $\mathbf{P}$ . Поэтому наши результаты можно рассматривать как описание гомотопий ассоциированных векторных расслоений. В дополнение к этой информации можно описать и запас деформаций главного  $G_C$ -расслоения.

**Теорема 2.** Размерность базы версальной деформации [9] голоморфного главного  $G_C$ -расслоения над  $\mathbf{P}$  со склейкой  $F$  равна

$$\sum_{k_i > k_j} (k_i - k_j - 1), \text{ где } k_i \text{—чинны петли } F.$$

**Следствие 3.** Голоморфное главное  $G_C$ -расслоение голоморфно устойчиво, если и только если все попарные разности чингов не превосходят единицы.

Доказательство опирается на замечательную стратификацию группы отмеченных петель, построенную Квилленом, Пресли и Сегалом [3], стратами которой являются орбиты некой бесконечномер-



ной подгруппы петель борелевского типа, состоящие из петель с фиксированным набором чинов. Поскольку и здесь, как всегда [9], версальная деформация задается трансверсалью к орбите, требуемое следует из вычисления коразмерностей стратов, проведенного в [3].

Замечание 3. Результаты книги [3] о стратификациях относятся к гладким петлям, однако, используя одномерную теорию для гелдеровских коэффициентов [8], их можно перенести на гелдеровские петли. При этом страты остаются стягиваемыми, откуда следует ответ на топологические вопросы, поставленные в [5] и [10].

Академия наук Грузинской ССР  
Тбилисский математический институт  
им. А. М. Размадзе

(Поступило 15.9.1988)

მათემატიკა

გ. ხიმშიაშვილი

რიმან — ჰილბერტის ზოგადი სასაზღვრო ამოცანის შესახებ

რეზიუმე

მოყვანილია ზოგადი სასაზღვრო ამოცანის ფორმულირება კომპაქტური ლის ჯგუფისათვის, რომელიც განაზოგადებს რიმან — ჰილბერტის კლასიკურ ამოცანას. აღდგენილია მარყუეების ჯგუფის სპეციალური სტრატოფიციტიკრომლის ტერმინებში მოცემული ამოხსნათა არსებობის კრიტერიუმები.

MATHEMATICS

G. N. KHIMSHIASHVILI

## ON THE TOPOLOGY OF THE GENERAL RIEMANN-HILBERT PROBLEM

Summary

A general formulation of a boundary problem with values in some representation space of a compact Lie group is proposed which provides a generalization of the classical Riemann-Hilbert linear transition problem. Using the Grassmanian model of a loop group by D. Quillen, A. Pressley and G. Segal the numerical invariants of the problem are introduced and their analytical and topological properties are investigated. The solvability and Fredholmness conditions in terms of these invariants are given for any classical compact Lie group. Connections with the classical partial indices are established.

ლიტერატურა — ЛИТЕРАТУРА — REFERENCES

1. J. Milnor. Infinite-dimensional Lie groups. Princeton, 1984.
2. Г. Н. Химшиашвили. Сообщения АН ГССР, 108, № 2, 1982, 273—276.
3. A. Pressley, G. Segal. Loop groups. Oxford, Clarendon, 1986.
4. Ю. И. Манин. Калибровочные поля и комплексная геометрия. М., 1984.
5. H. Wojarski. In "Complex Analysis". Berlin, Ak. Verlag, 1984.
6. M. Atiyah. Comm. Math. Phys., v. 93, № 4, 1984, 437—451.
7. Дж. Адамс. Лекции по группам Ли. М., 1979.
8. Д. Ф. Гахов. Краевые задачи. М., 1977.
9. В. П. Паламодов. Итоги науки и техники. Совр. проблемы математики. Фунд. направления, т. 10, 1986, 123—221.
10. S. Disney. Topology, v. 12, № 3, 1973, 297—325.

Т. С. КОПАЛИАНИ

О СХОДИМОСТИ КРАТНЫХ РЯДОВ ФУРЬЕ ПО СИСТЕМЕ  
 ХААРА В ПРОСТРАНСТВАХ  $H^{p,\omega}$ ,  $H_{p,\Omega}$

(Представлено членом-корреспондентом Академии Л. В. Жижиашвили 25.11.1988)

Пусть  $E_n (n \geq 2)$  — евклидово пространство размерности  $n$ , элементы которого будем обозначать через  $x=(x_1, x_2, \dots, x_n)$ ,  $y=(y_1, y_2, \dots, y_n)$  и т. д. Ниже соотношение  $x \leq y$  будет означать, что  $x_i \leq y_i, i = \overline{1, n}$ . Далее предполагается, что  $e_i = (0, 0, \dots, 1, \dots, 0), i = \overline{1, n}, I^n = \{x; x \in E_n, 0 \leq x_i \leq 1, i = \overline{1, n}\}, I^n(h) = \{x \in I^n, x \leq h\}$ .

Рассмотрим для функции  $f \in L_p(I^n)$  (ниже всегда предполагается, что  $1 \leq p < \infty$ ) модуль непрерывности в направлении  $x_i$  и смешанный модуль непрерывности (см., например, [1, с. 9]).

$$\omega_p^i(f, h_i) = \sup_{u_i < h_i} \|\Delta_{u_i} f(x)\|_{L_p(I^n(u_i e_i))} \quad h_i \in [0, 1] \quad i = \overline{1, n},$$

$$\omega_p(f, h) = \sup_{u < h} \|\Delta_u f(x)\|_{L_p(I^n(h))} \quad h \in I^n,$$

где

$$\Delta_{u_i} f(x) = f(x + u_i e_i) - f(x), \quad \Delta_u f(x) = \Delta_{u_1} \dots \Delta_{u_n} f(x).$$

Пусть каждый  $\omega_i, i = \overline{1, n}$  — модуль непрерывности (см., например, [2, с. 685]) и  $\Omega$  кратный модуль непрерывности (см., например, [1, с. 10]). Рассмотрим банаховы пространства (см. [3, с. 293]).

$$H^{p,\omega} = \{f \in L_p, \omega_p^i(f, h_i) = 0(\omega_i(h_i)), i = \overline{1, n}\}$$

$$H_{p,\Omega} = \{f \in L_p, \omega_p(f, h) = 0(\Omega(h))\}$$

соответственно относительно норм

$$\|f\|^{p,\omega} = \|f\|_p + \sum_{i=1}^n \sup_{0 < h_i < 1} \frac{\omega_p^i(f, h_i)}{\omega_i(h_i)},$$

$$\|f\|_{p,\Omega} = \|f\|_p + \sup_{\substack{h \in I^n \\ h_i \neq 0, i = \overline{1, n}}} \frac{\omega_p(f, h)}{\Omega(h)}.$$

Классы функций

$$\underline{H}^{p,\omega} = \{f \in L_p, \omega_p^i(f, h_i) = 0(\omega_i(h_i)), i = \overline{1, n}\},$$

$$\underline{H}_{p,\Omega} = \{f \in L_p, \omega_p(f, h) = 0(\Omega(h)) \text{ равномерно } h_i \rightarrow 0, i = \overline{1, n}\}$$

являются замкнутыми подпространствами соответственно в  $H^{p,\omega}, H_{p,\Omega}$ .



Ниже приводятся результаты о кратной системе Хаара (см. на пример, [1, с. 66]) являющиеся в некотором смысле аналогами одномерных результатов В. Г. Кротова [2]. Следует добавить, что ниже сходимости предполагается в смысле Прингсхейма.

**Теорема 1.** Система Хаара является базисной в пространстве  $H^{p,\omega}$  тогда и только тогда, когда существует постоянная  $c=c(p, n, \omega) > 0$  такая, что

$$\delta_i^{-1/p} \omega_i(\delta_i) \leq ch^{-1/p} \omega_i(h_i) \quad i=\overline{1, n}.$$

при всех

$$0 < h_i \leq \delta_i \leq 1. \quad (1)$$

**Теорема 2.** Система Хаара является базисом в пространстве  $\overline{H^{p,\omega}}$  тогда и только тогда, когда выполнено (1) и

$$\lim_{h_i \rightarrow 0} h_i^{-1/p} \omega_i(h_i) = \infty \quad i=\overline{1, n}. \quad (2)$$

**Теорема 3.** Система Хаара является базисной в пространстве  $H_{p,\Omega}$  если существует постоянная  $c=c(p, n, \Omega) > 0$  такая, что

$$\left( \prod_{i=1}^n \delta_i \right)^{-1/p} \Omega(\delta_1, \delta_2, \dots, \delta_n) \leq c \left( \prod_{i=1}^n h_i \right)^{-1/p} \Omega(h_1, h_2, \dots, h_n)$$

при всех

$$0 < h_i \leq \delta_i \leq 1, \quad i=\overline{1, n}. \quad (3)$$

**Теорема 4.** Система Хаара является базисом в пространстве  $\overline{H_{p,\Omega}}$  если выполнено (3) и

$$\lim_{h_i \rightarrow 0} \left( \prod_{j=1}^n h_j \right)^{-1/p} \Omega(h_1, \dots, h_n) = \infty \text{ равномерно. } i=\overline{1, n}.$$

**З а м е ч а н и е.** Если  $\Omega(h_1, \dots, h_n) = \omega_1(h_1) \cdot \omega_2(h_2) \cdot \dots \cdot \omega_n(h_n)$ , тогда условие (1) является и необходимым в теореме 3, а условия (1) и (2) вместе в теореме 4.

Тбилисский государственный университет

(Поступило 25.11.1988)

მათემატიკა

თ. კოპალიანი

ჯმარალი ფურჩი — ჰაარის მრავლობის კრებულობა  $H^{p,\omega}$ ,  $H_{p,\Omega}$   
სივრცეებში

რეზიუმე

ვ. კროტოვა დაადგინა [2] აუცილებელი და საკმარისი პირობები იმისათვის, რომ ერთგანზომილებიანი ჰაარის სისტემა იყოს ბაზისი  $H^{p,\omega}$  სივრცეში.

სტატიაში სხვადასხვა უწყვეტობის მოდულებისათვის მიღებულია ვ. კროტოვის შედეგების განზოგადება ნებისმიერი განზომილებისათვის.



T. S. KOPALIANI

ON CONVERGENCE OF THE MULTIPLE HAAR-FOURIER  
SERIES IN THE  $H^{p,\omega}$ ,  $H_{p,\Omega}$  SPACES

S u m m a r y

The theorems are proved which represent the necessary and sufficient conditions for the basisity of the multiple Haar-systems in the spaces  $H^{p,\omega}$ ,  $H_{p,\Omega}$ .

## ლიტერატურა — ЛИТЕРАТУРА — REFERENCES

1. Л. В. Жижинашвили. Некоторые вопросы многомерного гармонического анализа. Тбилиси, 1983.
2. В. Г. Кротов. Математ. заметки, 23, № 5, 1978.
3. О. В. Бесов, В. П. Ильин, С. М. Никольский. Интегральные представления функций и теоремы вложения. М., 1975.



Ш. А. БАХТАДЗЕ

ФУНДАМЕНТАЛЬНЫЙ КОМПЛЕКС ОДНОГО ТОЧНОГО  
 ВАРИАНТА ГОМОЛОГИИ ЧЕХА

(Представлено академиком Г. С. Чогошвили 10.11.1988)

Пусть  $\text{Part}^f(X)$  — множество всех конечных разбиений компактного хаусдорфова пространства  $X$  (см. [1]). Для каждого  $\alpha = \{e_1, e_2, \dots, e_n\} \in \text{Part}^f(X)$  обозначим через  $N_\alpha$  нерв замкнутого покрытия  $\{\bar{e}_1, \bar{e}_2, \dots, \bar{e}_n\}$  пространства  $X$ .

Для каждой пары разбиений  $\alpha < \beta$  рассмотрим призму  $\Pi_\alpha^\beta$ , натянутую на комплексы  $N_\beta, N_\alpha$ , как «верхнее» и «нижнее» основания, и построенную с помощью симплициального отображения  $\pi_\alpha^\beta [1]$ . Симплициальное разбиение этой призмы строится, например, следующим образом: введем произвольный порядок вершин в  $N_\alpha$  и выберем в  $N_\beta$  порядок вершин, который сохраняется при проекции  $\pi_\alpha^\beta$ . Теперь, симплициальное разбиение призмы  $\Pi_\alpha^\beta$  состоит из всевозможных (возможно, вырождающихся) симплексов вида

$$[B_{i_0} \dots B_{i_r} \pi_\alpha^\beta(B_{i_{r+1}}) \dots \pi_\alpha^\beta(B_{i_p})], \quad (1)$$

и всех граней этих симплексов, где  $[B_{i_0} B_{i_1} \dots B_{i_p}]$  — произвольный симплекс из  $N_\beta$ , вершины которого следуют в соответствии с выбранным в  $N_\beta$  порядком вершин.

Заметим, что построение симплициального комплекса  $\Pi_\alpha^\beta$  зависит не только от симплициальной проекции  $\pi_\alpha^\beta$ , но и от выбора порядка вершин в комплексах  $N_\alpha, N_\beta$ . Заметим еще, что различные призмы  $\Pi_\alpha^\beta$  могут иметь лишь общие основания, тогда как других общих точек они не имеют. Поэтому можно строить призмы  $\Pi_\alpha^\beta$  независимо друг от друга, выбирая для каждой пары  $\alpha < \beta$  свой порядок вершин (причем, если, скажем,  $\alpha < \beta$  и  $\beta < \gamma$ , то при построении призмы  $\Pi_\alpha^\beta$  порядок вершин в  $N_\beta$  может быть отличным от порядка вершин, введенного в  $N_\beta$  при построении призмы  $\Pi_\beta^\gamma$ ).

Обозначим через  $K(X)$  комплекс, который представляет собой непересекающееся объединение всех комплексов  $N_\alpha$  и призм  $\Pi_\alpha^\beta, \alpha < \beta$ . При этом две призмы могут иметь лишь общее основание, а других общих точек попарно не имеют. Комплекс  $K(X)$  не является звездноконечным (за исключением случая, тогда  $X$  состоит из конечного числа точек), однако к каждому симплексу, не лежащему в каком-либо  $N_\alpha$ , примыкает, как к грани, лишь конечное число комплексов.

Аналогично, если  $(X, A)$  — пара компактных топологических пространств, то для каждого разбиения

$$\alpha = \{e_1, e_2, \dots, e_n\} \in \text{Part}^f(X)$$





определено соответствующее разбиение  $\tilde{\alpha} = \{e_1 \cap A, e_2 \cap A, \dots, e_n \cap A\}$  подпространства  $A$ . Соответствующий нерв  $N_{\tilde{\alpha}}$  (см. [1]) является подкомплексом нерва  $N_a$ . При  $\alpha < \beta$  будем иметь  $\tilde{\alpha} < \tilde{\beta}$ , и призма  $\Pi_{\alpha}^{\tilde{\beta}}$ , натянутая на  $N_{\tilde{\beta}}$  и  $N_{\tilde{\alpha}}$  при помощи симплициальной проекции  $\pi_{\alpha}^{\tilde{\beta}}$ , будет подкомплексом призмы  $\Pi_{\alpha}^{\beta}$ .

Из сказанного ясно, что комплекс  $K(A)$  является  $\frac{m}{n}$  подкомплексом комплекса  $K(X)$ .

Пару симплициальных комплексов  $(K(X), K(A))$  будем называть фундаментальной парой комплексов для пары компактных хаусдорфовых пространств  $(X, A)$ , основанной на разбиениях.

Для непрерывного отображения

$$g: (X, A) \rightarrow (Y, B),$$

отображающего  $X$  на все пространство  $Y$  (и, соответственно,  $A$  на  $B$ ) существует изоморфное вложение

$$g^{\#}: (K(Y), K(B)) \rightarrow (K(X), K(A)).$$

При  $\alpha < \beta$ , для любого симплекса  $t^p \in N_{\beta}$  определена  $(p+1)$ -мерная целочисленная цепь  $\Pi_{\alpha}^{\beta} t^p$  над этим симплексом. По аддитивности операции  $\Pi_{\alpha}^{\beta}$ , для любой цепи  $C_p^{\beta} = \sum_i g_i t_{\beta_i}^p$  над группой  $G$ , где  $t_{\beta_i}^p \in N_{\beta}$ , определена призма  $\Pi_{\alpha}^{\beta} C_p^{\beta}$  над этой цепью; она представляет собой  $(p+1)$ -мерную цепь, определяемую формулой

$$\Pi_{\alpha}^{\beta} C_p^{\beta} = \sum g_i \Pi_{\alpha}^{\beta} t_{\beta_i}^p. \quad (2)$$

Ее граница (сл. [2]) вычисляется по формуле

$$\partial \Pi_{\alpha}^{\beta} C_p^{\beta} = \pi_{\alpha}^{\beta} C_p^{\beta} - C_p^{\beta} - \Pi_{\alpha}^{\beta} \partial C_p^{\beta}. \quad (3)$$

Пусть теперь  $\bar{C}_{p+1}$  — некоторая бесконечная цепь ( $p \geq 0$ ) над группой коэффициентов  $G$  в комплексе  $K(X)$ . Условимся обозначить кусок этой цепи на призме  $\Pi_{\alpha}^{\beta}$  ( $\alpha < \beta$ ) через  $\bar{C}_{p+1}^{[\alpha\beta]}$ . Точно также, кусок цепи  $\bar{C}_{p+1}$  в комплексе  $N_a$  условимся обозначать через  $(\bar{C}_{p+1})^a$ .

**О п р е д е л е н и е.** Цепь  $\bar{C}_{p+1}$  будем называть специальной, если она обладает следующими свойствами:

- $(\bar{C}_{p+1})^a = 0$  для любого  $\alpha$ ;
- для любых  $\alpha < \beta < \gamma$ ,

$$(\partial(\bar{C}_{p+1}^{[\alpha\beta]} + \bar{C}_{p+1}^{[\beta\gamma]}))^{\beta} = 0;$$

- для любых  $\alpha < \beta$

$$\bar{C}_{p+1}^{[\alpha\beta]} = \Pi_{\alpha}^{\beta} x_p^{\beta},$$

где  $x_p^{\beta}$  — некоторая  $p$ -мерная цепь в  $N_{\beta}$  (заметим, что цепь  $x_p^{\beta}$  однозначно определена).

Имеют место следующие утверждения:



**Предложение 1.** Пусть  $\bar{C}_{p+1}$  — специальная цепь в комплексе  $K(X)$ . Тогда при  $\gamma > \beta$ ,  $\delta > \beta$ , имеем

$$(\partial \bar{C}_{p+1}^{[\beta\gamma]})^\beta = (\partial \bar{C}_{p+1}^{[\beta\delta]})^\beta. \tag{4}$$

Условимся обозначать  $n$ -мерную цепь (4) через  $\text{ch}^\beta \bar{C}_{p+1}$ .

**Предложение 2.** Для любой специальной цепи  $\bar{C}_{p+1}$  в комплексе  $K(X)$  и любых  $\alpha < \beta$  имеем

$$(\partial \bar{C}_{p+1}^{[\alpha\beta]})^\beta = -\text{ch}^\beta \bar{C}_{p+1}; \quad \bar{C}_{p+1}^{[\alpha\beta]} = \Pi_{\alpha}^\beta \text{ch}^\beta \bar{C}_{p+1}.$$

**Предложение 3.** Пусть  $\bar{C}_{p+1}$  — специальная цепь в комплексе  $K(X)$ . Тогда совокупность цепей  $\{\text{ch}^\beta \bar{C}_{p+1}\}_\beta$  представляет собой проекционную цепь пространства  $X$ .

Множество всех специальных  $(p+1)$ -мерных цепей  $\bar{C}_{p+1}$  комплекса  $K(X)$  над группой коэффициентов  $G$  обозначим через  $D_{p+1}(K(X); G)$ . В нем естественно вводится операция сложения и определяется граничный оператор  $\Delta$ , который действует по формуле

$$(\Delta \bar{C}_{p+1})^{[\alpha\beta]} = \Pi_{\alpha}^\beta \partial \text{ch}^\beta \bar{C}_{p+1} \tag{5}$$

и представляет собой гомоморфизм

$$D_{p+1}(K(X); G) \rightarrow D_p(K(X); G),$$

удовлетворяющий условию  $\Delta \cdot \Delta = 0$ .

Аналогично можно построить группу  $D_{p+1}(K(A); G)$  специальных цепей подкомплекса  $(K(A) \subset K(X))$  над группой  $G$ .

**Определение.** Факторгруппу  $D_{p+1}(K(X); G)/D_{p+1}(K(A); G)$  будем называть  $(p+1)$ -мерной группой специальных цепей фундаментальной пары комплексов  $(K(X), K(A))$  над группой  $G$  и будем обозначать ее через  $D_{p+1}(K(X), K(A); G)$ .

**Теорема 1.** Пусть  $C_p(X, A; G)$  — группа  $p$ -мерных проекционных цепей компактной хаусдорфовой пары  $(X, A)$  над группой коэффициентов  $G$ . Тогда имеют место естественные изоморфизмы

$$C_p(X, A; G) \xrightarrow{\Phi} D_{p+1}(K(X), K(A); G), \quad p=0, 1, \dots \tag{6}$$

семейство которых представляет собой цепной изоморфизм комплексов

$$\{C_*(X, A; G), \partial\} \approx \{D_*(K(X), K(A); G), \Delta\}. \tag{7}$$

Этот цепной изоморфизм комплексов показывает, что группы гомологии Чогошвили для пары  $(X, A)$  изоморфны группам гомологии пары фундаментальных комплексов  $(K(X), K(A))$  (со сдвигом на одну единицу размерности).

Заметим в заключение, что построенные здесь фундаментальные комплексы можно рассматривать как обобщение фундаментальных комплексов, построенных Стирродом [3] для компактных метри-



зусмых пространств. Здесь построение проведено для пары компактных хаусдорфовых пространств  $(X, A)$  без предположения метризуемости.

Батумский педагогический институт

(Поступило 13.11.1988)

მათემატიკა

შ. ბახტაძე

ჩეხის ჰომოლოგიის ერთი ფუნდამენტური კომპლექსი

რეზიუმე

სტინროდმა სიერცის თავისი ჰომოლოგიის თეორიისათვის აავო კომპლექსი (ე. წ. ფუნდამენტური კომპლექსი), რომლის ჰომოლოგია მოცემული სიერცის სტინროდის ჰომოლოგიას ემთხვევა, იმის მსგავსად, როგორც სიერცის ალექსანდროვ-ჩეხის ჰომოლოგიები განისაზღვრება ნერვების ჰომოლოგიებით. აქ აგებულია ჰოლოშვილის ჰომოლოგიის ფუნდამენტური კომპლექსი.

MATHEMATICS

Sh. A. BAKHTADZE

THE FUNDAMENTAL COMPLEX OF ONE EXACT VARIANT  
OF CECH HOMOLOGIES

Summary

For his theory of homology Steenrod constructed a complex (the so-called fundamental complex) whose homology coincides with the Steenrod homology of a given compact metric space, as the Alexandrov-Cech homologies are defined by homologies of nerves. The fundamental complex for Chogoshvili homology is constructed in the present paper for an arbitrary compact space.

ლიტერატურა — ЛИТЕРАТУРА — REFERENCES

1. Ш. А. Бахтадзе. Сообщения АН ГССР, 121, № 1, 1986, 29—32.
2. П. С. Александров. Введение в гомологическую теорию размерности и общую комбинаторную топологию. М., 1975.
3. N. E. Steenrod. Regular cycles of compact metric spaces, Ann of Math., vol. 41, № 4, october, 1940.



А. Е. ҚИПИАНИ

ОБ ОДНОМ УНИФОРМНОМ ПОДМНОЖЕСТВЕ В  $\omega_\alpha \times \omega_\alpha$

(Представлено членом-корреспондентом Академии И. Т. Кигурадзе 29.11.1988)

В настоящей работе терминология и обозначения в основном заимствованы из книг [1, 2]. Ниже иногда мы будем отождествлять всякое порядковое число  $\xi$  с множеством всех ординалов, строго меньших  $\xi$ , а всякое дерево  $T$  с соответствующим бинарным отношением на множестве  $V(T)$  (множестве всех вершин дерева  $T$ ). Под термином «дерево с источником» будем понимать дерево с корнем, наделенное ориентацией в направлении от корня.

Во многих комбинаторных конструкциях широко используется структура  $(\omega_\alpha, \leq)$ , где  $\omega_\alpha$  — любое начальное порядковое число, а  $\leq$  — естественное отношение полного порядка на множестве  $\omega_\alpha$ . Причем весьма часто для доказательства различных фактов бесконечной комбинаторики (см. [3, 4] достаточно использовать лишь некоторые свойства этой структуры, например:

- а) структура  $(\omega_\alpha, \leq)$  имеет тривиальную группу автоморфизмов;
- б) она является связным графом;
- в) она удовлетворяет условию минимальности;
- г) она имеет наименьший элемент.

Вместе с тем, используя геометрические термины, можно сказать, что график отношения порядка  $\leq$  заполняет половину декартова квадрата  $\omega_\alpha \times \omega_\alpha$ , и поэтому, исходя из общих соображений униформизации, естественно попытаться построить униформное множество (функциональный график)  $T$ , содержащееся в графике порядка  $\leq$  и такое, что структура  $(\omega_\alpha, T)$  обладает свойствами, аналогичными перечисленным выше. В связи с этим отметим, что справедлива следующая

*Теорема 1. Существует множество  $T$  в декартовом квадрате  $\omega_\alpha \times \omega_\alpha$ , такое, что выполняются следующие соотношения:*

- 1)  $T$  — дерево с источником;
- 2)  $\dot{V}(T)$  совпадает с множеством  $\omega_\alpha$ ;
- 3)  $T$  содержится в графике порядка  $\leq$ ;
- 4)  $T$  имеет тривиальную группу автоморфизмов.

Доказательство этой теоремы основано на ряде вспомогательных утверждений.

*Лемма 1.* Для любого несчетного начального порядкового числа  $\omega_\alpha$  справедливо равенство  $\omega_\alpha = \omega^{\omega_\alpha}$ .

Очевидно, что здесь под символом  $\omega^{\omega_\alpha}$  подразумевается порядковая степень. Очевидно и то, что при  $\alpha = 0$  утверждение теоремы 1 является справедливым (достаточно взять  $T = \{(n, n+1) : n \in \omega\}$ ).

Пусть теперь  $\alpha$  — произвольное ненулевое ординальное число. Определим семейство  $(A_n)_{n \in \omega} - \{0\}$  равенствами:



$$A_1 = \{(0, \omega^{\xi_1}) : \omega_\alpha > \xi_1\};$$

$$A_{n+1} = \{(\omega^{\xi_1} + \dots + \omega^{\xi_n}, \omega^{\xi_1} + \dots + \omega^{\xi_n} + \omega^{\xi_{n+1}}) : \omega_\alpha > \xi_1 \geq \dots \geq \xi_{n+1}\}, \quad (n \geq 1);$$

а дерево  $T$ —равенством  $T = \bigcup_{n \in \omega \setminus \{0\}} A_n$ . Из теоремы разложения порядкового

числа по произвольному основанию вытекает истинность соотношений 1)–3) сформулированной теоремы. Далее, для любого порядкового числа  $\beta$ , удовлетворяющего условию  $0 < \beta < \omega_\alpha$ , положим, что  $T_\beta$  есть поддерево дерева  $T$ , задаваемое следующим образом:

$$T_\beta = \{(\beta + \omega^{\eta_1} + \dots + \omega^{\eta_k}, \beta + \omega^{\eta_1} + \dots + \omega^{\eta_k} + \omega^{\eta_{k+1}}) : \xi \geq \eta_1 \geq \dots \geq \eta_{k+1}, \quad k \geq 0\},$$

где  $\xi$ —наименьший показатель степени в разложении числа  $\beta$  по основанию  $\omega$ . Теперь для завершения доказательства теоремы 1 достаточно последовательно установить следующие чисто технические леммы.

Л е м м а 2.

$$\omega_\alpha > \xi_1 \geq \dots \geq \xi_n \Rightarrow T_{\omega^{\xi_1}} + \dots + T_{\omega^{\xi_n}} \cong T_{\omega^{\xi_n}},$$

где  $\cong$ —знак изоморфизма между деревьями, а  $n$ —положительное натуральное число.

Л е м м а 3. Пусть  $\eta < \omega_\alpha$  и  $\xi < \omega_\alpha$ . Тогда справедлива следующая импликация:

$\eta < \xi \Rightarrow T_{\omega^\xi}$  содержит по крайней мере два непересекающихся поддерева, каждое из которых изоморфно с  $T_{\omega^\eta}$ .

Л е м м а 4. Никакое дерево  $T_{\omega^\xi}$  ( $\xi < \omega_\alpha$ ) не содержит двух непересекающихся поддеревьев, каждое из которых изоморфно самому  $T_{\omega^\xi}$ .

Л е м м а 5. При любом монорморфизме дерева  $T_{\omega^\xi}$  ( $\xi < \omega_\alpha$ ) путь  $((\omega^\xi, \omega^\xi \cdot 2), (\omega^\xi \cdot 2, \omega^\xi \cdot 3), \dots)$  отображается в себя.

Л е м м а 6.  $\eta < \omega_\alpha$  &  $\xi < \omega_\alpha$  &  $\xi \neq \eta \Rightarrow T_{\omega^\xi} \not\cong T_{\omega^\eta}$ .

Л е м м а 7. При  $\xi < \omega_\alpha$  поддерево  $T_{\omega^\xi}$  имеет тривиальную группу автоморфизмов.

Приведем некоторые применения теоремы 1. Улам в книге [5] ставит следующую задачу: существует ли для любого натурального числа  $n$  структура  $(E, A)$  с континуальным базисным множеством  $E$  и бинарным отношением  $A$  над  $E$ , имеющая ровно  $n$  автоморфизмов?

Можно дать эффективное положительное решение более общей задачи, в которой  $\text{Card } E$  принимает любое значение из множества  $\{\aleph_\alpha, 2^{\aleph_\alpha}, 2^{2^{\aleph_\alpha}}, \dots\}$  (см. [4]). Применяя теорему 1, получаем такое

С л е д с т в и е 1. Пусть  $E$ —любое бесконечное базисное множество и  $n$ —натуральное число  $> 0$ . Тогда существует сюръекция  $f: E \rightarrow E$  такая, что структура  $(E, f)$  имеет в точности  $n$  автоморфизмов (здесь отображение  $f$  отождествляется со своим графиком).

Более того, существуют  $2^{\text{Card } E}$  таких сюръекций.

В частности, если  $M(E)$ —полугруппа всех сюръективных отображений бесконечного множества  $E$  на себя, то для любого натурального  $n \geq 1$  существует элемент  $f$  в  $M(E)$ , который коммутирует ровно с  $n$  обратными-

ми элементами из множества  $M(E)$  (отметим, что сам элемент  $f$  с необходимостью будет необратимым).

Далее, имеет место

**Теорема 2.** Пусть  $E$ —базисное множество, содержащее по крайней мере три элемента. Тогда следующие два соотношения являются эквивалентными:

$$1) \text{Card } E \in [\aleph_0, 2^{\aleph_0});$$

2) существует отображение  $f: E \rightarrow E$  такое, что

а) все отрезки в  $E^2$  (т. е. подмножества вида  $\{x\} \times E$  и  $E \times \{x\}$ ) пересекают график отображения  $f$  не более чем в двух точках, кроме одного отрезка, пересекающего этот график ровно в  $\text{Card } E$  точках;

б) структура  $(E, f)$  имеет тривиальную группу автоморфизмов.

Совершенно очевидно, что отображение  $f$ , удовлетворяющее условию а) из теоремы 2, существует для любого базисного множества  $E$ . Теорема 1 показывает, что условие б) также не накладывает никаких ограничений на множество  $E$ .

Пусть теперь  $B$ —любое подмножество множества  $\omega_\alpha$  (т. е. множества всех вершин построенного выше дерева  $T$ ),  $C$ —любое множество мощности  $\text{Card } B$ , имеющее пустое пересечение с множеством  $\omega_\alpha$ , и  $h$ —биективное отображение множества  $B$  на  $C$ . Рассмотрим дерево

$$T_B = T \cup \{(\xi, h(\xi)) : \xi \in B\}.$$

нетрудно проверить, что если  $B$  и  $B'$  суть различные подмножества в  $\omega_\alpha$ , то деревья  $T_B$  и  $T_{B'}$  являются неизоморфными. Кроме того, каждое дерево  $T_B$  естественно индуцирует отношение частичного порядка  $\leq_B$  на множестве  $\omega_\alpha$ , определяемое следующей эквивалентностью:

$\xi \leq_B \eta \iff (\xi = \eta \vee (\text{существует ориентированная простая цепь в } T_B \text{ из вершины } \xi \text{ в вершину } \eta))$ .

Очевидно, что если  $B \subset \omega_\alpha$ , то каждое линейно упорядоченное подмножество множества  $(\omega_\alpha, \leq_B)$  имеет тип  $\omega$  или является конечным. Про такой порядок  $\leq_B$  будем говорить, что он удовлетворяет сильному условию минимальности. Из вышеприведенных рассуждений мы получаем следующее

**С л е д с т в и е 2.** Пусть  $E$ —любое бесконечное базисное множество. Тогда мощность множества всех попарно неизоморфных порядков на  $E$ , имеющих тривиальную группу автоморфизмов и удовлетворяющих сильному условию минимальности, равна  $2^{\text{Card } E}$ .

Отметим под конец, что один результат подобного рода содержится и в работе [6].

Тбилисский государственный университет  
 Институт прикладной математики  
 им. И. Н. Векуа

ბ. შიზიანი

$\omega_\alpha \times \omega_\alpha$  სიმრავლის ერთი უნიფორმული ქვესიმრავლის შესახებ

რეზიუმე

ნაშრომში აგებულია უსასრულო ხე, რომლის დახმარებითაც მოყვანილია ს. ულამის [5] ერთი ამოცანის ამოხსნა უნიფორმული სიმრავლეების კლასში.

MATHEMATICS

A. E. KIPIANI

ON ONE UNIFORM SUBSET IN  $\omega_\alpha \times \omega_\alpha$

Summary

In the paper an infinite tree is constructed by means of which the solution of a problem by S. Ulam is given in the class of uniform sets.

ლიტერატურა — ЛИТЕРАТУРА — REFERENCES

1. Н. Б у р б а к и. Теория множеств. М., 1965.
2. О. О р е. Теория графов. М., 1980.
3. А. Б. Х а р а з и ш в и л и. Элементы комбинаторной теории бесконечных множеств. Тбилиси. 1981.
4. А. Е. К и п и ა ნ ი. Acta Universitatis Carolinae, Mathematica et Physica. 1988.
5. С. У л а м. Нерешенные математические задачи. М., 1964.
6. А. Б. Х а р а з и ш в и л и. Сообщения АН ГССР, 87, № 3, 1977.



А. Б. ХАРАЗИШВИЛИ

## О НЕКОТОРЫХ ЗАДАЧАХ ТЕОРИИ МНОЖЕСТВ

(Представлено академиком В. К. Чичинадзе 1.11.1988)

Пусть  $E$  — основное базисное пространство,  $S$  — фиксированная  $\sigma$ -алгебра частей от  $E$  и  $X$  — подмножество в  $E$ . Будем говорить, что  $X$  является абсолютно неизмеримым относительно  $S$ , если для всякой ненулевой  $\sigma$ -конечной рассеянной меры  $\mu$ , заданной на  $S$ , множество  $X$  не принадлежит области определения меры  $\mu$ , служащей обычным пополнением для  $\mu$ . Положим

$N(S) = \{Y : Y \in S \text{ и } (\forall \mu) (\mu \text{ есть ненулевая } \sigma\text{-конечная рассеянная мера на } S \Rightarrow \mu(Y) = 0)\}$ . Имеет место следующее утверждение.

Предложение 1. Для множества  $X \subset E$  приводимые ниже соотношения эквивалентны:

- 1)  $X$  абсолютно неизмеримо относительно  $S$ ;
- 2) каково бы ни было множество  $Z \in S \setminus N(S)$ , пересечения  $Z \cap X$  и  $Z \cap (E \setminus X)$  не пусты.

Пусть теперь  $E$  — несчетное польское топологическое пространство и  $B(E)$  — борелевская  $\sigma$ -алгебра этого пространства. Напомним, что множеством Бернштейна в  $E$  называется любое множество  $X \subset E$ , обладающее тем свойством, что для всякого непустого совершенного множества  $Z \subset E$  пересечения  $Z \cap X$  и  $Z \cap (E \setminus X)$  также являются непустыми. С учетом того факта, что каждое несчетное борелевское множество в  $E$  содержит в себе непустое совершенное подмножество, и с помощью результата предложения 1 легко получается следующее

Предложение 2. Для множества  $X$ , лежащего в несчетном польском топологическом пространстве  $E$ , приводимые ниже соотношения эквивалентны:

- 1)  $X$  есть множество Бернштейна;
- 2)  $X$  абсолютно неизмеримо относительно борелевской  $\sigma$ -алгебры  $B(E)$ .

Сформулированное только что предложение можно рассматривать как абстрактную характеристику множеств Бернштейна в польском пространстве  $E$ . В связи с этим фактом отметим, что не решена следующая задача.

Задача 1. Получить какую-нибудь абстрактную характеристику классических множеств Витали (играющих весьма важную роль в теории меры Лебега).

Пример 1. Пусть  $\omega_1$  — первый несчетный кардинал, наделенный обычной порядковой топологией,  $J$  — счетно аддитивный идеал в  $\omega_1$ , порожденный дополнениями к всевозможным замкнутым неограниченным подмножествам пространства  $\omega_1$  и пусть  $S$  обозначает  $\sigma$ -алгебру множеств в  $\omega_1$ , порожденную идеалом  $J$ . Тогда для произвольного множества  $X \subset \omega_1$  приводимые ниже соотношения эквивалентны:

- 1)  $X$  абсолютно неизмеримо относительно  $S$ ;





2) множество  $X$  и его дополнение  $\omega_1 \setminus X$  стационарны в  $\omega_1$ .

Всякое множество  $X \subset \omega_1$ , удовлетворяющее последнему соотношению, естественно рассматривать как некоторый аналог (в топологическом пространстве  $\omega_1$ ) классического множества Бернштейна.

Пусть  $(E, S)$  — измеримое пространство (т. е.  $E$  — бесконечное основное базисное множество, а  $S$  — фиксированная  $\sigma$ -алгебра его частей) и пусть для этого пространства выполняются соотношения:

$$\text{card}(S \setminus N(S)) \leq \text{card}(E), \quad (\forall Z)(Z \in S \setminus N(S) \Rightarrow \text{card}(Z) = \text{card}(E)).$$

Тогда  $E$  содержит в себе хотя бы одно подмножество, являющееся абсолютно неизмеримым относительно  $S$ . Более того, мощность класса всех таких подмножеств пространства  $E$  равна  $2^{\text{card}(E)}$ . В общем случае остается не решенной следующая задача.

**Задача 2.** Каким необходимым и достаточным условиям (формулируемым в чисто комбинаторных теоретико-множественных терминах) должно удовлетворять измеримое пространство  $(E, S)$ , чтобы в  $E$  существовало подмножество, абсолютно неизмеримое относительно  $S$ ?

Если для каждой ненулевой  $\sigma$ -конечной рассеянной меры  $\mu$ , заданной на  $\sigma$ -алгебре  $S$ , символом  $S(\bar{\mu})$  обозначить область определения обычного пополнения этой меры, то предыдущая задача сведется к нахождению необходимых и достаточных условий, при которых будет иметь место соотношение

$$P(E) \setminus \bigcup_{\mu \in M} S(\bar{\mu}) \neq \emptyset,$$

где  $P(E)$  — класс всех частей от  $E$ , а  $M$  — класс всевозможных ненулевых  $\sigma$ -конечных рассеянных мер, определенных на  $S$ . Весьма частным случаем задачи 2 (точнее, ее топологическим вариантом) является следующая

**Задача 3.** Каким необходимым и достаточным условиям (формулируемым в чисто топологических терминах) должно удовлетворять данное хаусдорфово топологическое пространство  $E$ , чтобы оно содержало в себе хотя бы одно подмножество, абсолютно неизмеримое относительно борелевской  $\sigma$ -алгебры  $B(E)$ ?

Рассмотрим теперь некоторые вопросы, связанные с существованием различных неизмеримых множеств в основном базисном пространстве  $E$ , наделенном фиксированной группой  $G$  преобразований этого пространства. Предварительно приведем два вспомогательных утверждения, которые нам понадобятся в дальнейшем.

**Лемма 1.** Пусть  $E$  — базисное пространство и  $G$  — фиксированная группа его преобразований. Далее, пусть  $S$  — некоторая  $\sigma$ -алгебра частей от  $E$  с системой образующих  $T \subset S$ , обладающей следующим свойством:

$$(\forall g)(\forall Y)(g \in G \ \& \ Y \in T \Rightarrow g(Y) \in S).$$

Тогда можно утверждать, что  $\sigma$ -алгебра  $S$  является  $G$ -инвариантной, т. е.

$$(\forall g)(\forall Y)(g \in G \ \& \ Y \in S \Rightarrow g(Y) \in S).$$

**Лемма 2.** Пусть  $E$  — базисное пространство мощности  $\omega_1$ , а  $G$  — группа преобразований этого пространства, имеющая ту же самую мощность и действующая транзитивно в  $E$ . Тогда найдется счетное семейство  $(X_i)_{i \in I}$  частей от  $E$ , удовлетворяющее приводимым ниже соотношениям:



1) каждое множество  $X_i (i \in I)$  является почти  $G$ -инвариантным в  $E$ , т. е.

$$(\forall g) (g \in G \Rightarrow \text{card} (g(X_i) \Delta X_i) \leq \omega_0),$$

где  $\omega_0$  — первое бесконечное кардинальное число;

2) какова бы ни была ненулевая  $\sigma$ -конечная рассеянная мера  $\mu$ , заданная в пространстве  $E$ , среди множеств семейства  $(X_i)_{i \in I}$  существует хотя бы одно, не измеримое относительно  $\mu$ .

Отметим, что в работах [1, 2] лемма 2 доказывается в предположении справедливости гипотезы континуума, однако, как мы видим, здесь можно обойтись и без применения дополнительных теоретико-множественных гипотез.

С помощью сформулированных только что лемм без особого труда получается следующее утверждение.

**Предложение 3.** Пусть  $E$  — произвольное несчетное векторное пространство (скажем, над полем  $Q$  рациональных чисел) и пусть  $G$  — группа всех параллельных переносов этого пространства. Тогда найдется  $\sigma$ -алгебра  $S$  частей от  $E$ , удовлетворяющая приводимым ниже соотношениям:

- 1)  $S$  является счетно порожденной  $\sigma$ -алгеброй, т. е. существует счетная система множеств  $T \subset S$  такая, что  $S = \sigma(T)$ ;
- 2)  $S$  является  $G$ -инвариантной  $\sigma$ -алгеброй;
- 3) в  $E$  невозможно задать ненулевую  $\sigma$ -конечную  $G$ -квазиинвариантную меру, область определения которой совпадала бы с  $\sigma$ -алгеброй  $S$ .

**Пример 2.** Рассмотрим вещественную прямую  $R$  как векторное пространство над полем  $Q$  рациональных чисел и применим к  $R$  сформулированное предложение 3. Получим некоторую счетно порожденную  $R$ -инвариантную  $\sigma$ -алгебру частей от  $R$ , обладающую тем свойством, что на ней нельзя определить ни одной невырожденной  $\sigma$ -конечной  $R$ -квазиинвариантной меры. К этому же результату можно прийти исходя из других соображений, а именно, воспользовавшись тем фактом, что аддитивная группа  $R$  изоморфна аддитивной группе бесконечномерного сепарабельного гильбертова пространства  $H$ , и тем фактом, что счетно порожденная борелевская  $\sigma$ -алгебра пространства  $H$  не допускает никакой невырожденной  $\sigma$ -конечной  $H$ -квазиинвариантной меры.

**Пример 3.** Пусть  $E$  — основное базисное пространство, мощность которого представляет собой измеримое в широком смысле кардинальное число, и пусть

$G = \{g : g \text{ есть биекция пространства } E \text{ на самого себя и мощность множества } \{x \in E : g(x) \neq x\} \text{ является конечной}\}$ .

Тогда, как легко видеть, справедливы приводимые ниже соотношения:

- 1)  $\text{card} (G) = \text{card} (E)$ ;
- 2)  $G$  представляет собой некоторую группу преобразований пространства  $E$ , действующую транзитивно в нем;
- 3) на  $\sigma$ -алгебре всех частей от  $E$  можно определить вероятностную рассеянную меру, инвариантную относительно группы  $G$ .

В связи с предложением 3 и только что рассмотренными примерами естественно возникает следующая задача.



Задача 4. Пусть  $E$  — базисное пространство и  $G$ -фиксированная группа преобразований этого пространства. Каким необходимым и достаточным условиям должна удовлетворять пара  $(E, G)$ , чтобы в  $E$  существовала счетно порожденная  $G$ -инвариантная  $\sigma$ -алгебра  $S$ , обладающая тем свойством, что на  $S$  нельзя определить ни одной ненулевой  $\sigma$ -конечной  $G$ -квазинвариантной меры?

Тбилисский государственный университет  
Институт прикладной математики  
им. И. Н. Векуа

(Поступило 3.11.1988)

მათემატიკა

ა. ხარაზიშვილი

სიმრავლეთა თეორიის ზოგიერთი ამოცანის შესახებ

რეზიუმე

ნაშრომში განხილულია ზოგიერთი საკითხი, დაკავშირებული სხვადასხვა  $\sigma$ -ალგებრის მიმართ არაზომადი სიმრავლეების თვისებებთან.

MATHEMATICS

A. B. KHARAZISHVILI

ON SOME PROBLEMS OF THE SET THEORY

Summary

Some questions connected with the properties of sets, non-measurable relative to various  $\sigma$ -algebras, are considered in the paper.

ლიტერატურა — ЛИТЕРАТУРА — REFERENCES

1. А. Б. Харазшвили. ДАН СССР, т. 232, № 5, 1977.
2. А. Б. Харазшвили. Укр. мат. журн., т. 37, № 2, 1985.



Ю. Г. ТВАЛОДЗЕ

ОБ ЭФФЕКТИВНЫХ МЕТОДАХ РЕШЕНИЯ ИНТЕГРАЛЬНЫХ  
 УРАВНЕНИЙ ВОЛЬТЕРРА II РОДА

(Представлено членом-корреспондентом Академии И. Т. Кигурадзе 26.10.1988)

В работе предложены два метода приближенного решения нелинейного интегрального уравнения Вольтерра II рода. Путем построения оценок соответствующих погрешностей и необходимых чисел базисных операций обоснована эффективность предложенных методов.

Рассмотрим интегральное уравнение Вольтерра II рода вида

$$x(t) = \int_0^t f(t, \tau, x(\tau)) d\tau, \quad t \in [0, T], \quad x(0) = 0, \quad (1)$$

где  $f$  — функция определенного класса  $F$ ,  $x(t)$  — искомое решение.

Будем решать уравнение (1) сначала на отрезке  $[0, \Delta T]$ ,  $\Delta T \leq T$ . Рассмотрим два метода аппроксимационно-итеративного (АИ) типа [1]: один для случая, когда  $f$  не имеет высокую степень гладкости, и второй — когда  $f$  является аналитической функцией.

Пусть  $f(t, \tau, x(\tau))$  имеет по всем переменным  $i$ -е производные ( $i = \overline{0, 2}$ ), не превосходящие по модулю соответствующие известные константы  $L_i = L_i(f)$  (в области существования решения). Тогда за приближенное решение уравнения (1) примем приближение к

$$x^N(t) = \sum_{v=0}^{N-1} (x^{v+1} - x^v); \quad x^{v+1}(t) = \int_0^t f(t, \tau, x^v(\tau)) d\tau, \quad x^0(t) = 0, \quad (2)$$

где интегралы вычислим методом квадратур по формулам трапеций [2].

Разобьем отрезок  $[0, \Delta T]$  на  $M$  частей точками

$$t_j = j\Delta t, \quad \Delta t = \Delta T/M, \quad j = \overline{1, M}, \quad (3)$$

и положим

$$\begin{aligned} \tilde{x}_s^{v+1} &= \Delta t \left[ (f(t_j, 0, 0) + f(t_j, t_j, \tilde{x}_s^v))/2 + \sum_{s=1}^{j-1} f(t_j, t_s, \tilde{x}_s^v) \right] = \\ &= \int_0^{t_j} f(t_j, \tau, \tilde{x}^v(\tau)) d\tau, \quad v = \overline{0, N-1}, \end{aligned} \quad (4)$$

где через  $f(\tau)$  обозначен полигон функции  $f(\tau)$  [3];  $\tilde{x}^v(\tau)$  — кусочно-постоянная функция, принимающая значение  $\tilde{x}_s^v$  для  $\tau \in [t_s, t_{s+1}]$ .

Справедлива следующая

**Теорема 1.** Погрешность метода (2) — (4) дается следующими оценками:



$$\Delta_{t_j}^1 = |x(t) - \tilde{x}^N(t)| \leq L_0 t_j \frac{1}{\sqrt{2\pi N}} \left(\frac{e}{2N}\right)^N \left(1 + \frac{1}{2(N+1)} + \dots\right) + \frac{dt_j}{6} (\Delta t)^2, \quad t \in [0, t_j], \quad Lt_j \leq 1/2, \quad 1 \leq j \leq M,$$

где

$$d \leq L_2 + L_2 L_0^2 + 3L_1^2 + L_0 L_1^2 + (2L_0 L_1 L_2 + L_1^3 + L_1 L_2) \Delta T + L_2 L_1^2 (\Delta T)^2.$$

При этом число операций вычисления  $f$  не превосходит  $(M+1)(M+2)N/2$ .

Обозначим приближенное решение уравнения (1) через  $\tilde{x}(t)$  и рассмотрим случай  $t \in [k\Delta T, (k+1)\Delta T]$ ,  $k = \overline{1, R-1}$ ,  $R\Delta T = T$ .

Положим

$$\begin{aligned} x^h(t) &= \int_0^{k\Delta T} f(t, \tau, \tilde{x}(\tau)) d\tau + \int_{k\Delta T}^t f(t, \tau, x^h(\tau)) d\tau, \\ x^{h,\nu}(t) &= \int_0^{k\Delta T} f(t, \tau, \tilde{x}(\tau)) d\tau + \int_{k\Delta T}^t f(t, \tau, x^{h,\nu-1}(\tau)) d\tau, \\ x^{h,0}(t) &= \int_0^{k\Delta T} f(t, \tau, \tilde{x}(\tau)) d\tau, \quad \nu = \overline{1, N}; \\ \tilde{x}_j^{h,\nu} &= \tilde{x}_j^{h,0} + \int_{k\Delta T}^{t_j} f(t_j^k, \tau, \tilde{x}^{h,\nu-1}(\tau)) d\tau, \\ \tilde{x}_j^{h,0} &= \int_0^{k\Delta T} f(t_j^k, \tau, \tilde{x}(\tau)) d\tau, \quad t_j^k = k\Delta T + j\Delta t, \\ j &= \overline{1, M}, \quad \Delta t = \Delta T/M, \quad \nu = \overline{1, N}, \end{aligned} \quad (6)$$

где  $\tilde{x}^{h,\nu}(\tau)$  — кусочно-постоянная функция, равная  $\tilde{x}_s^{h,\nu}$ , на отрезке  $(t_s^k, t_{s+1}^k)$ , а  $\tilde{x}(t) = \tilde{x}^{r,N}(\tau)$ ,  $\tau \in [r\Delta T, (r+1)\Delta T]$ ,  $r = \overline{0, R-1}$ .

Нетрудно доказать следующую теорему.

**Теорема 2.** Погрешность метода (6)

$$\Delta_T^1 = |x(t_j^k) - \tilde{x}_j^{h,1,N}| \leq \frac{3}{N!} L_0 T + \frac{dT}{2} (\Delta t)^2, \quad j = \overline{1, M},$$

$$k = \overline{1, R-1}, \quad R\Delta T = T, \quad \Delta t = \Delta T/M.$$

При этом число операций вычисления  $f$  не будет превосходить  $(M+2)(M+1)NR/2$ .

Рассмотрим теперь второй случай, когда  $f(z, v, w)$  является аналитической функцией от 3-х комплексных аргументов  $z, v, w$  в области

$$D = E_r \times E_r \times D(H),$$

где  $E_r$  — замкнутая область, ограниченная эллипсом Жуковского

$$\partial E_r = \left\{ (x, y) \mid x = \frac{\Delta T}{2} + a_r \cos t, \quad y = b_r \sin t, \quad t \in [-\pi, \pi] \right\},$$

$$a_r = \Delta T (r + r^{-1})/4, \quad b_r = \Delta T (r - r^{-1})/4, \quad r > 1,$$



а область  $D(H)$  — замкнутый круг радиуса  $H$  с центром в 0. Положим, как и в [1],

$$\begin{aligned} \omega(z) &= \int_0^z f(z, s, \omega(s)) ds, \quad \omega^v(n; z) = \int_0^z L_n(f(\cdot, \omega^{v-1}(n; \cdot); \sigma)) d\sigma = \\ &= \sum_{i=0}^n f(z, x_i, \omega^{v-1}(n; x_i)) \int_0^z \pi_i(\sigma) d\sigma, \quad \omega^v(n; x_j) = \omega_j^v = \\ &= \frac{\Delta T}{2} \sum_{i=0}^n a_{ij} f(x_j, x_i, \omega_i^{v-1}), \quad j = \overline{0, n}, \quad v = \overline{0, N}, \quad a_{ij} = \frac{2}{\Delta T} \int_0^{x_j} \pi_i(\sigma) d\sigma, \quad (7) \end{aligned}$$

где  $L_n$  — интерполяционный многочлен Лагранжа по узлам Чебышева для отрезка  $[0, \Delta T]$ .

**Теорема 3.** Пусть в уравнении

$$\omega(z) = \int_0^z f(z, s, \omega(s)) ds \quad (8)$$

функция  $f(z, s, \omega)$  является аналитической в области  $\tilde{D} = E_{\tilde{r}} \times E_{\tilde{r}} \times D(\tilde{H})$  (см. [1]),  $\tilde{h} > 0$ ,  $\tilde{H} > 0$ ,  $\tilde{r} > 1$ . Тогда, если при каком-либо фиксированном  $r \in [1, \tilde{r}]$  и некоторых натуральных  $n$  и  $N$  взять числа  $H \leq \tilde{H}$ ,  $\Delta T \leq \tilde{h}$  такими, чтобы выполнялось неравенство

$$H > \left( a_r + \frac{\Delta T}{2} \right) (\|f\|_{C\tilde{D}} + L\Delta_{\Delta T}^2), \quad a_r = \frac{\Delta T}{4} (r + r^{-1}),$$

$$D = E_r \times E_r \times D(H),$$

где через  $\Delta_{\Delta T}^2$  обозначена правая часть неравенства

$$\begin{aligned} \|\omega(z) - \omega^N(n; z)\| \leq L_0(f) \left[ (\|L_n^0\| + 1) \frac{1}{1-q} (1+r^{-2n-2}) \frac{r}{r-r} \left(\frac{r}{r}\right)^n \left(a_r + \frac{\Delta T}{2}\right) + \right. \\ \left. + L^{-1} e^q \frac{q^{N+1}}{(N+1)!} \right], \quad \|L_n^0\| \leq \frac{2}{\pi} \ln n + 1; \quad q = L \left(a_r + \frac{\Delta T}{2}\right), \quad (9) \end{aligned}$$

и  $L_0(f) = \|f\|_{C\tilde{D}}$ ,  $L$  — постоянная Липшица функции  $f$  по переменной  $\omega$  в  $D$ , то многочлен  $\omega^N(n; z)$ , построенный АИ-алгоритмом (7), приближает в области  $E_r$  решение  $\omega(z)$  уравнения (8) так, что при этом выполняется неравенство (9).

Доказательство этой теоремы вполне аналогично доказательству теоремы 2 в статье [1].

Из теоремы 3 и способа доказательства теоремы 2 вытекает также следующая



Теорема 4. Если отрезок  $[0, \Delta T]$  разбит на подотрезки  $[(k-1)\Delta T, k\Delta T]$ ,  $L\Delta T \leq 1/2$ ,  $k = \overline{1, R}$ , и для каждого из подотрезков выполняются условия теоремы 3, то погрешность  $\Delta_T^2$  на  $[0, T]$  при кусочно-полиномиальном приближении типа (7) оценивается по формуле

$$\Delta_T^2 \leq e^{LT} 4 \Delta_{\Delta T}^2, \quad L\Delta T \leq 1/2.$$

При этом общее число операций вычисления значений  $f$  не будет превосходить  $RN(n+1)^2$ .

Институт кибернетики  
им. В. М. Глушкова  
АН УССР

(Поступило 3.11.1988)

მათემატიკა

ი. თვალთძე

ვოლტერას II გვარის ინტეგრალური განტოლებების ამოხსნის  
ეფექტური მეთოდების შესახებ

რეზიუმე

მოცემულია ვოლტერას II გვარის არაწრფივი ინტეგრალური განტოლებების მიახლოებითი ამოხსნის ორი აპროქსიმაციულ-იტერაციული მეთოდი. მიღებულია მეთოდის ცდომილების და აუცილებელ ბაზისურ ოპერაციათა რაოდენობის შეფასებები, რომლებიც ნათელყოფს ამ მეთოდების ეფექტურობას.

MATHEMATICS

Yu. G. TVALODZE

## ON EFFECTIVE METHODS OF SOLUTION OF VOLTERRA'S II TYPE INTEGRAL EQUATIONS

### Summary

Two approximate-iterative methods of solving Volterra's II type non-linear integral equations are presented. Estimates of the method errors and the number of necessary basic operations are obtained, which demonstrate the effectiveness of these methods.

### ლიტერატურა — ЛИТЕРАТУРА — REFERENCES

1. В. К. Дзядык. ЖВМ и МФ, 26, № 3, 1986.
2. Н. С. Бахвалов. Численные методы, т. I. М., 1973.
3. В. В. Иванов. Методы вычислений на ЭВМ (справочное пособие). Киев, 1986.



А. Г. ДЖВАРШЕИШВИЛИ

НЕКОТОРЫЕ СВОЙСТВА АНАЛИТИЧЕСКИХ ФУНКЦИЙ  
 КЛАССА  $H_p$ ,  $p > 0$  В БИКРУГЕ

(Представлено академиком Н. П. Векуа 23.11.1988)

В этой статье приведем некоторые замечательные свойства функций класса  $H_p$ ,  $p > 0$  в бикруге

$$D = D_1 \times D_1, D_r = \{z \in \mathbb{C}, |z| < r\}, \Gamma_r = \{z, |z| \leq r\}, r > 0.$$

Для точки  $e^{i\theta} \in \Gamma_1$ ,  $\sigma \in (0, 1)$  обозначим через  $\Omega_\sigma(\theta)$  минимальную выпуклую область, содержащую  $D_\sigma$  и радиус  $R(\theta) = \{re^{i\theta}, 0 \leq r < 1\}$ ,  $\theta \in [0, 2\pi)$ .

Пусть

$$\Omega_\sigma(\theta_1, \theta_2) = \Omega_\sigma(\theta_1) \times \Omega_\sigma(\theta_2), 0 \leq \theta_1, \theta_2 < 2\pi.$$

Аналитическая функция  $f$  принадлежит классу  $H_p(D)$ ,  $p > 0$ , если

$$\int_0^{2\pi} \int_0^{2\pi} |f(re^{ix}, \rho e^{iy})|^p dx dy \leq C_p < \infty, 0 \leq r, \rho < 1.$$

Справедлива следующая

**Теорема 1.** Пусть  $f \in H_p(D)$ ,  $p > 0$ . Тогда почти для всех  $(\theta_1, \theta_2) \in [0, 2\pi]^2$ , любого фиксированного  $\sigma \in (0, 1)$  и произвольного  $n \geq 1$  справедливо равенство

$$\lim \frac{\partial^n f(z, z_2)}{\partial^n z} = \frac{\partial^n I_2[f, z, \theta_2]}{\partial^n z},$$

когда

$$z_2 \rightarrow e^{i\theta_2}, z_2 \in \Omega_\sigma(\theta_2); z \in \Omega_\sigma(\theta_1),$$

а  $I_2[f, z, \theta_2] = \lim f(z, z_2)$ , при  $z_2 \rightarrow e^{i\theta_2}, z_2 \in \Omega_\sigma(\theta_2)$ .

Заметим, что выражение  $\frac{\partial^n f(z, z_2)}{\partial^n z}$ , вообще говоря, не является





класса  $H_p$  ни для какого  $p > 0$  относительно переменного  $z_2$ . В силу этого изучение граничных свойств этого выражения значительно сложнее.

**Теорема 2.** Пусть  $f \in H_p(D)$ ,  $p > 0$ . Тогда почти для всех  $(\theta_1, \theta_2) \in [0, 2\pi]^2$ , любого фиксированного  $\sigma \in (0, 1)$ , произвольной последовательности  $z_n \in \Omega_\sigma(\theta_2)$ ,  $z_n \rightarrow e^{i\theta_2}$  справедливо равенство

$$\lim_{n \rightarrow \infty} |f[\Omega(\theta_1), z_n]| = |I_2[f, \Omega(\theta_1), \theta_2]|,$$

где  $|E|$  — мера Лебега множества  $E$ .

Отсюда вытекает следующая

**Теорема 3.** Пусть  $f \in H_p(D)$ ,  $p > 0$ . Тогда почти для всех  $(\theta_1, \theta_2) \in [0, 2\pi]^2$ , любого фиксированного  $\sigma \in (0, 1)$ , произвольной последовательности  $z_n \rightarrow e^{i\theta_2}$ ,  $z_n \in \Omega_\sigma(\theta_2)$  имеем

$$\lim_{n \rightarrow \infty} \iint_{\Omega(\theta_1)} \left| \frac{\partial f(z, z_n)}{\partial z} \right|^2 dx dy = \iint_{\Omega(\theta_1)} \left| \frac{\partial I_2[f, z, \theta_2]}{\partial z} \right|^2 dx dy, \quad z = x + iy.$$

**Теорема 4.** Пусть  $f \in H_p(D)$ ,  $p > 0$ . Тогда почти для всех  $(\theta_1, \theta_2) \in [0, 2\pi]^2$  любого фиксированного  $\sigma \in (0, 1)$  имеем

$$\lim m_1[f, \theta_1, z_2] = m_1 I_2[f, \theta_1, \theta_2]$$

когда

$$z_2 \rightarrow e^{i\theta_2}, \quad z_2 \in \Omega_\sigma(\theta_2); \quad m_1[f, \theta_1, z_2] = \sup \{|f(z_1, z_2)|, z_1 \in \Omega_\sigma(\theta_1)\},$$

$$m_1 I_2[f, \theta_1, \theta_2] = \sup \{|I_2[f, z_1, \theta_2]|, z_1 \in \Omega(\theta_1)\}.$$

Последняя теорема так же представляет интерес, так как выражение  $m_1[f, \theta_1, z_2]$  не является даже аналитической функцией относительно  $z_2 \in D_1$  и поэтому имеет сложное угловое граничное поведение.

Академия наук Грузинской ССР  
Тбилисский математический институт  
им. А. М. Размадзе

(Поступило 25.11.1988)

მათემატიკა

ა. ჯვარშეიშვილი

ბიწროში  $H_p$ ,  $p > 0$  კლასის ანალიზური ფუნქციების ზოგიერთი თვისება

რეზიუმე

სტატიაში აღნიშნულია ბიწროში  $H_p$ ,  $p > 0$  კლასის ორი ცვლადის ანალიზური ფუნქციების ზოგიერთი ახალი თვისება.



A. G. JVARSHVILI

SOME PROPERTIES OF ANALYTICAL FUNCTIONS OF CLASS  $H_p$ ,  
 $p > 0$  IN THE DISK

Summary

The paper deals with some new properties of analytical functions of class  $H_p$ ,  $p > 0$  in the disk.



С. С. ХАРИБЕГАШВИЛИ

ХАРАКТЕРИСТИЧЕСКАЯ ЗАДАЧА ДЛЯ ОДНОГО КЛАССА  
 ГИПЕРБОЛИЧЕСКИХ СИСТЕМ ВТОРОГО ПОРЯДКА  
 С ВЫРОЖДЕНИЕМ ТИПА И ПОРЯДКА

(Представлено академиком А. В. Бицадзе 14.11.1988)

В полуплоскости  $y > 0$  рассмотрим систему линейных дифференциальных уравнений вида

$$y(y^m A u_{xx} + 2y^{m/2} B u_{xy} + C u_{yy}) + a u_x + b u_y + c u = F, \quad (1)$$

где  $A, B, C, a, b, c$  — заданные действительные  $(n \times n)$ -матрицы;  $F$  — заданный, а  $u$  — искомый  $n$ -мерный действительные векторы;  $m = \text{const} > 0, n > 1$ .

Ниже будем считать, что  $A, B, C$  — постоянные матрицы,  $\det C \neq 0$ , и полином  $p_0(\lambda) = \det(A + 2B\lambda + C\lambda^2)$  степени  $2n$  имеет простые действительные корни  $\lambda_1, \dots, \lambda_{2n}$ . При этих предположениях система (1) при  $y > 0$  является строго гиперболической, а при  $y = 0$  имеет место одновременно и параболическое вырождение, и вырождение порядка. Легко видеть, что числа  $y^{m/2} \lambda_1, \dots, y^{m/2} \lambda_{2n}$  являются корнями характеристического полинома  $p(y, \lambda) = \det(y(y^m A + 2y^{m/2} B \lambda + C \lambda^2))$  системы (1), а кривые, определенные уравнениями

$$L_i(P) : x + \frac{2\lambda_i}{m+2} y^{m+2/2} = x_0 + \frac{2\lambda_i}{m+2} y_0^{m+2/2}, \quad i = 1, \dots, 2n, y_0 \geq 0,$$

и проходящие через точку  $P(x_0, y_0)$ , являются характеристиками системы (1).

Обозначим через  $D$  область, лежащую в полуплоскости  $y > 0$  и ограниченную двумя смежными характеристиками

$$\gamma_1 : x + \frac{2\lambda_{i_1}}{m+2} y^{m+2/2} = 0, \quad \gamma_2 : x + \frac{2\lambda_{i_2}}{m+2} y^{m+2/2} = 0, \quad \lambda_{i_1} < \lambda_{i_2},$$

системы (1), выходящими из начала координат  $O(0, 0)$ . На  $\gamma_1$  возьмем произвольным образом точку  $P_1$ , отличную от  $O(0, 0)$ . Нумерацию характеристических кривых  $L_i(P_1), i = 1, \dots, 2n$ , выходящих из точки  $P_1$  вовнутрь угла  $D$ , выберем так, чтобы начиная с  $L_1(P_1)$  они следовали друг за другом против часовой стрелки. На кривой  $\gamma_2$  зафиксируем точку  $P_2$ , лежащую между двумя точками пересечения характеристик  $L_n(P_1)$  и  $L_{n+1}(P_1)$  с кривой  $\gamma_2$ . Пусть  $D_0 \subset D$  — характеристический четырехугольник с вершиной в точке  $O$ , ограниченный характеристиками  $\gamma_1, \gamma_2, L_n(P_1)$  и  $L_{n+1}(P_2)$ .

Рассмотрим характеристическую задачу в следующей постановке [1]: найти регулярное в области  $D_0$  решение  $u(x, y)$  системы (1), удовлетворяющее условиям



$$u(x, y) = f_i(x, y), \quad (x, y) \in OP_i \subset \Upsilon_i, \quad i=1, 2, \quad (2)$$

где  $f_1, f_2$  — заданные  $n$ -мерные действительные векторы;  $f_1(0) = f_2(0)$ .

Отметим, что характеристическая задача в приведенной выше постановке для одного гиперболического уравнения с параболическим вырождением вида

$$y^m u_{xx} - u_{yy} + au_x + bu_y + cu = F$$

исследована в работа [2—4], а для гиперболических систем вида

$$y^m Au_{xx} + 2y^{m/2} Bu_{xy} + Cu_{yy} + au_x + bu_y + cu = F$$

— в работе автора [5].

Ниже предполагается, что  $a, b, c, F$ , а также их первые производные по  $x$  принадлежат классу  $C(\bar{D}_0)$ ,  $f_i \in C^2(OP_i)$ ,  $i=1, 2$ , и, кроме того,

$$\sup_{\bar{D}_0 \setminus O} \|y^{-m/2} a\| < \infty, \quad \sup_{\bar{D}_0 \setminus O} \|y^{-(\alpha+m/2)} F\| < \infty, \quad \sup_{\bar{D}_0 \setminus O} \|y^{-(\alpha-1)} F_x\| < \infty,$$

$$f_i(0) = 0, \quad \sup_{OP_i \setminus O} \|y^{-(\alpha+m/2+1-k)} f_i^{(k)}\| < \infty, \quad i, k=1, 2,$$

где  $\alpha = \text{const} > 0$ .

В силу простоты корней  $\lambda_1, \dots, \lambda_{2n}$  полинома  $p_0(\lambda)$  имеем

$$\dim \text{Ker} (A + 2B\lambda_i + C\lambda_i^2) = 1, \quad i=1, \dots, 2n.$$

Обозначим через  $v_i$  векторы

$$v_i \in \text{Ker} (A + 2B\lambda_i + C\lambda_i^2), \quad \|v_i\| \neq 0, \quad i=1, \dots, 2n.$$

Справедлива следующая

**Теорема 1.** Пусть выполнено условие

$$\text{rank} \{v_1, \dots, v_n\} = \text{rank} \{v_{n+1}, \dots, v_{2n}\} = n. \quad (3)$$

Тогда существует такое положительное число  $\alpha_0$ , зависящее только от коэффициентов системы (1), что при  $\alpha > \alpha_0$  задача (1), (2) однозначно разрешима в классе

$$\{u \in C^2(\bar{D}_0) : \partial^{i,j} u(0, 0) = 0, \quad \sup_{\bar{D}_0 \setminus O} \|y^{-(\alpha+m/2+1-(m/2+1)i-n)} \times \\ \times \partial^{i,j} u\| < \infty, \quad 0 \leq i+j \leq 2\}, \quad \partial^{i,j} = \partial^{+i} / \partial x^i \partial y^j.$$

Как показывают примеры, при нарушении условия (3) или же неравенства  $\alpha > \alpha_0$  соответствующая (1), (2) однородная задача может иметь бесконечное множество линейно независимых решений.

Тбилисский государственный университет  
Институт прикладной математики  
им. И. Н. Векуа

(Поступило 1.12.1988)

ს. ხარიბეგაშვილი

მახასიათებელი ამოცანა ერთი კლასის ტიპის და რიგის  
 გადაგვარების მქონე მეორე რიგის ჰიპერბოლური სისტემებისათვის

რეზიუმე

გადაგვარებული ჰიპერბოლური (1) სისტემის კოეფიციენტებზე დადებულ  
 გარკვეულ პირობებში დამტკიცებულია (1), (2) მახასიათებელი ამოცანის  
 ცალსახად ამოხსნადობა სპეციალურ წონით სივრცეებში.

MATHEMATICS

S. S. KHARIBEGASHVILI

### A CHARACTERISTIC PROBLEM FOR A CLASS OF SECOND-ORDER HYPERBOLIC SYSTEMS WITH TYPE AND ORDER DEGENERATION

Summary

Under definite conditions imposed on the coefficients of degenerate  
 hyperbolic system (1), the unique solvability of the characteristic problem  
 (1), (2) in the special weighted spaces is proved.

ლიტერატურა — ЛИТЕРАТУРА — REFERENCES

1. А. В. Бицадзе. ДАН СССР, 225, № 1, 1975, 31—34.
2. S. Gellerstedt. Arkiv Mat., Astr. och Fysic, Band 26 A, HÄFTE 1, № 3, 1938, 1—32.
3. Л. Ш. Агабабян, А. Б. Нерсисян. ДАН Арм. ССР, 73, № 1, 1981, 9—16.
4. Л. Ш. Агабабян. УМН, 37, вып. 4 (226), 1982, 113.
5. С. С. Харибегашвили. Дифф. уравн., 22, № 1, 1986, 153—164.



А. А. БОРУБАЕВ

## О ТРЕХ СВОЙСТВАХ РАВНОМЕРНЫХ ПРОСТРАНСТВ

(Представлено членом-корреспондентом Академии Д. О. Баладзе 5.10.1988)

В данной заметке изучаются три свойства равномерных пространств: равномерная связность, равномерная сцепленность и равномерная псевдокомпактность.

Определение 1 [1]. Равномерное пространство  $\omega X$  называется равномерно связным, а равномерность  $\omega$  равномерно связной, если всякое равномерно непрерывное отображение  $f: \omega X \rightarrow D$  равномерного пространства  $\omega X$  в любое дискретное равномерное пространство  $D$  является постоянным.

Некоторые первоначальные свойства равномерно связных пространств изложены в [1].

Определение 2. Равномерное пространство  $\omega X$  называется равномерно сцепленным, если для любого равномерного покрытия  $\alpha \in \omega$  существует такое натуральное число  $n$ , что ко всякой паре точек  $x$  и  $y$  пространства  $X$  можно подобрать последовательность элементов  $A_1, A_2, \dots, A_k$ , покрытия  $\alpha$  такую, что  $k \leq n$ ,  $x \in A_1$ ,  $y \in A_k$  и  $A_i \cap A_{i+1} \neq \emptyset$  для любого  $i=1, 2, \dots, k-1$ .

Понятия равномерной сцепленности для метрических пространств введено и изучено в [2].

Предложение 1. Для каждого равномерного пространства  $\omega X$  следующие условия равносильны:

- 1) Пространство  $\omega X$  равномерно связно.
- 2) Равномерность  $\omega$  не содержит дизъюнктного равномерного покрытия состоящего из двух элементов.
- 3) Для любого  $\alpha \in \omega$  и для любой точки  $x \in X$  найдется такое натуральное число  $n$ , что  $\alpha^n(x) = X$ , где  $\alpha^1(x)$  — звезда точки  $x$  относительно  $\alpha$  и  $\alpha^n(x) = \alpha^1(\alpha^{n-1}(x))$ .
- 4) Для любого  $\alpha \in \omega$  и для любых двух точек  $x, y \in X$  найдется такая конечная последовательность  $A_1, A_2, \dots, A_n$  элементов покрытия  $\alpha$ , что  $x \in A_1$ ,  $y \in A_n$  и  $A_i \cap A_{i+1} \neq \emptyset$  для любого  $i=1, 2, \dots, n-1$ .

Из условия 4 предложения 1 следует, что всякое равномерно-сцепленное пространство является равномерно связным. Обратное, вообще говоря, неверно. В классе предкомпактных равномерных пространств понятия равномерной связности и равномерной сцепленности совпадают.

Примеры:

1. Пространство  $Q$  рациональных чисел с естественной равномерностью является равномерно связным, но не равномерно-сцепленным и не связным пространством.

2. Метрическое пространство  $J(\tau)$  — «еж» колючести  $\tau$  является равномерно-сцепленным пространством.



3. Шар любого радиуса любого бесконечномерного банахового пространства является равномерно-сцепленным, но не предкомпактным пространством [2].

Следующая теорема характеризует связность пространств посредством равномерно связных равномерных структур.

*Теорема 1. Тихоновское пространство  $X$  связно тогда и только тогда, когда всякая равномерная структура  $\omega$  в  $X$ , порождающая топологию пространства  $X$ , является равномерно связной.*

Следующие теоремы описывают связные бикомпактные расширения тихоновских пространств с помощью равномерно связных равномерных структур.

*Теорема 2. Для того чтобы тихоновское пространство  $X$  имело связанное бикомпактное расширение, необходимо и достаточно, чтобы в  $X$  существовала равномерно связная равномерная структура  $\omega$ , порождающая топологию пространства  $X$ .*

*Теорема 3. Пусть  $X$  — тихоновское пространство. Существует биекция между множеством всех связных бикомпактных расширений (определенных, с точностью до гомеоморфизма) пространства и множеством всех предкомпактных равномерно связных равномерных структур пространства  $X$ .*

Для равномерно связных пространств справедлива следующая метризация теорема, сформулированная без «паразита счетности».

*Теорема 4. Равномерно связанное пространство  $\omega X$  метризуемо тогда и только тогда, когда оно имеет линейно упорядоченную (по вписанности) базу.*

Отметим некоторые свойства равномерно сцепленных пространств.

*Теорема 5. Произведение любого числа равномерно сцепленных пространств снова равномерно сцепленно.*

*Предложение 2. Пополнение равномерно сцепленного пространства равномерно сцепленно.*

*Предложение 3. Пусть  $f: \omega X \rightarrow \mathbb{R}$  — равномерно непрерывное отображение «на». Если  $\omega X$  — равномерно сцепленно, то  $\forall U$  тоже равномерно сцепленно.*

Заметим, что равномерно сцепленные подпространства числовой прямой  $\mathbb{R}$  с естественной равномерностью ограничено. Поэтому из предложения 3 вытекает

*Следствие. Пусть  $f: \omega X \rightarrow \mathbb{R}$  — равномерно непрерывная функция. Если  $\omega X$  — равномерно сцепленно, то функция  $f$  — ограничена.*

*Определение 3. Равномерное пространство  $\omega X$  называется равномерно псевдокомпактным, если всякая равномерно непрерывная вещественная функция на  $\omega X$  ограничена.*

Из следствия предложения 2 следует, что всякое равномерно-сцепленное пространство является равномерно псевдокомпактным. Обратное, вообще говоря, неверно. Например, всякое не связанное псевдокомпактное пространство с максимальной равномерностью не является равномерно сцепленным, даже равномерно связным. Всякое предкомпактное пространство тоже равномерно псевдокомпактно. Однако «метрический еж», с бесконечным числом иголок является равномерно-сцепленным, а значит равномерно псевдокомпактным, но не предкомпактным пространством.

Через  $C(\omega X)$  обозначим множество всех равномерно непрерывных функций  $f: \omega X \rightarrow \mathbb{R}$ . Множество  $C(\omega X)$  наделим равномерностью, индуцированной равномерностью равномерного пространства  $\mathbb{R}^{1X}$ . Полученное равномерное пространство обозначил через  $C_p(\omega X)$ .

**Теорема 6.** Для того чтобы  $\omega X$  было равномерно псевдокомпактным, необходимо и достаточно, чтобы  $C_p(\omega X)$  было объединением счетного числа своих предкомпактных подпространств.

Аналогичная характеристика псевдокомпактных пространств в терминах равномерной структуры пространства непрерывных функций получена В. В. Успенским [3].

Топологические пространства  $X$  и  $Y$  называются  $u$ -эквивалентными [4], если  $C_p(X)$  и  $C_p(Y)$  равномерно гомеоморфны. Аналогично, равномерные пространства  $\omega X$  и  $\nu Y$  назовем  $u$ -эквивалентными, если  $C_p(\omega X)$  и  $C_p(\nu Y)$  равномерно гомеоморфны.

Из теоремы 6 следует, что равномерная псевдокомпактность сохраняется отношением  $u$ -эквивалентности. Но многие свойства равномерных пространств не сохраняются отношением  $u$ -эквивалентности. Например, предкомпактность, метризуемость, полнота и др.

**Теорема 7.** Для того чтобы равномерное пространство  $\omega X$  было  $u$ -эквивалентно некоторому предкомпактному пространству  $\nu Y$ , необходимо и достаточно, чтобы  $\omega X$  было равномерно псевдокомпактным.

Киргизский государственный университет

(Поступило 20.10.1988)

მათემატიკა

ა. ბორუბაიევი

თანაბრულ სივრცეთა სამი თვისების შესახებ

რეზიუმე

შესწავლილია თანაბრულ სივრცეთა შემდეგი თვისებები: თანაბრული ბმულობა, თანაბრული გადაბმულობა და თანაბრული ფსევდოკომპაქტობა.

MATHEMATICS

A. A. BORUBAYEV

ON THREE PROPERTIES OF UNIFORM SPACES

Summary

The properties of uniform connectedness, uniform chainableness and uniform pseudocompactness of uniform spaces are studied.

ლიტერატურა — ЛИТЕРАТУРА — REFERENCES

1. I. M. James. Topological and Uniform Spaces. New York. Springer 1987.
2. Е. А. Горин. УМН, т. 14, 5, 1959, 129—134.
3. В. В. Успенский. УМН, т. 37, вып. 4, 1982, 183—184.
4. А. В. Архангельский. УМН, т. 35, вып. 3, 1980, 3—30.





$(R, \tau_2)$  удовлетворяет аксиому  $T_2$ , локально бикompактно и имеет первую аксиому счетности.

Имеют место следующие предложения:

1) если  $f: X \rightarrow Y$   $s$ -неприводимо, то  $C(f) \cap \bar{fU} = \overline{fU} \cap C(f)$  для любого открытого в  $X$  множества  $U$ , где  $\bar{U}$ —замыкание множества  $U$  в  $X$ ;

2) если  $f: X \rightarrow Y$   $s$ -неприводимо, то  $\pi\omega X = \pi\omega Y$ ,  $s(X) = s(Y)$  и  $c(X) = c(Y)$ , где  $\pi\omega X$ — $\pi$ -вес,  $s(X)$ —плотность, а  $c(X)$ —число Суслина пространства  $X$  (см., напр. [6]);

3) если  $f: X \rightarrow Y$   $s$ -неприводимо и  $X$  пространство Бэра (см., напр. [7]), то и  $Y$  является пространством Бэра;

4) произвольное  $s$ -неприводимое отображение полуоткрыто [8] (т. е. образ любого открытого множества содержит открытое множество);

5) пусть пространство  $X$  допускает  $s$ -неприводимое отображение на некоторое метризуемое пространство  $Y$ ; если некоторое бикompактное расширение  $bX$  пространства  $X$  диадично, то  $X$ , а также  $bX$  и  $Y$  имеют счетную базу.

Определение [9]. Отображение  $f: X \rightarrow Y$  называется сильно неприводимым, если образ  $fF$  любого собственного замкнутого множества  $F \subseteq X$  не является всюду плотным в  $Y$ .

Теорема 1. Отображение  $f: X \rightarrow Y$   $s$ -неприводимо ( $s'$ -неприводимо) тогда и только тогда, когда оно сильно неприводимо и  $C(f)$  (соответственно,  $P(f)$ ) всюду плотно в  $Y$ .

Теорема 2. Пусть  $f: X \rightarrow Y$   $s$ -неприводимое отображение, где  $X$  пространство Бэра и Мура. Тогда существует такое всюду плотное в  $X$   $G_\delta$ -множество  $X'$ , что сужение  $f|_{X'}: X' \rightarrow fX'$  гомеоморфизм (ср. с [2] и [10]).

Теорема 3. Пусть дано отображение  $f: X \xrightarrow{\text{«на»}} Y$ , где  $X$ —пространство Мура, а  $Y$ —пространство Бэра. Тогда следующие условия эквивалентны: 1)  $f: X \rightarrow Y$ — $s$ -неприводимое отображение; 2)  $f: X \rightarrow Y$   $s'$ -неприводимое отображение; 3)  $f^{-1}A$ , где  $A = \{y \in C(f) : |f^{-1}y| = 1\}$ , всюду плотно в  $X$ .

Аартс показал, что замкнутые, неприводимые отображения сохраняют всюду плотные, полные в смысле Чеха подпространства. Аналогичный результат для  $p$ -пространств [11] получил В. Мишкин [12]. Имеют место более сильные

Теорема 4. Пусть  $f: X \rightarrow Y$ — $s$ -неприводимое отображение, где  $X$  является расширением полного в смысле Чеха пространства. Тогда  $Y$  является расширением полного в смысле Чеха пространства.

Теорема 5. Пусть  $f: X \rightarrow Y$   $s$ -неприводимое отображение, где  $X$  является расширением Бэровского  $p$ -пространства. Тогда  $Y$  является расширением  $p$ -пространства.

Теорема 6. Произведение  $f = \prod_{\alpha \in A} f_\alpha: \prod_{\alpha \in A} X_\alpha \rightarrow \prod_{\alpha \in A} Y_\alpha$   $s'$ -неприводимо тогда и только тогда, когда  $s'$ -неприводимо каждое отображение  $f_\alpha: X_\alpha \rightarrow Y_\alpha$ .

Пусть  $E$ —неметризуемый «еж». Рассмотрим на плоскости счетное число прямых  $\{l_i\}_{i=1, \infty}$ , проходящих через начало координат. Выберем на каждой

прямой  $I_i$  множество  $I_i^Q (I_i^P)$ , гомеоморфное пространству рациональных чисел (соответственно, иррациональных чисел) в евклидовой топологии. Пусть

$$E_Q = \bigcup_{i=1}^{\infty} I_i^Q \cup \{O\} \quad (E_P = \bigcup_{i=1}^{\infty} I_i^P \cup \{O\})$$

подпространство пространства  $E$ , где  $O$  начало координат. Тогда из предложения 5 и теоремы 6 получаем

**Следствие 1.** Пространства  $E_Q^\alpha$  и  $E_P^\alpha$  не имеют диадических бикompактных расширений, где  $1 \leq \alpha \leq \aleph_0$ .

**Теорема 7.** Если  $f: X \rightarrow Y$  — *s-неприводимое отображение*, то  $\beta f: \beta X \rightarrow \beta Y$  и  $\tilde{f}_\beta: \tilde{X}_\beta \rightarrow \tilde{Y}$  являются неприводимыми отображениями, где  $\beta f$  продолжение отображения  $f$  на стоун-чеховские расширения  $\beta X$  и  $\beta Y$ , а  $\tilde{f}_\beta$  максимальное бикompактное расширение отображения  $f: X \rightarrow Y$ .

**Теорема 8.** Если  $f: X \rightarrow Y$  — *s-неприводимое (s'-неприводимое) отображение*, то пространство  $X$  (пространство  $X^\alpha$  для произвольного кардинального числа  $\alpha$ ) имеет расширение соабсолютное пространству  $Y$  (соответственно, пространству  $Y^\alpha$ ).

Ясно, что пространства  $E$  и  $E_1$ ,  $X_1$  и  $Y_1$ ,  $(R, \tau_1)$  и  $(R, \tau_2)$  не соабсолютны, но как следует из теоремы 8, имеет место следующее

**Следствие 2.** Пространство  $E^\alpha$  (соответственно,  $X_1^\alpha$ ,  $(R, \tau_1)^\alpha$ ) для произвольного кардинального числа  $\alpha$ , имеет расширение соабсолютное пространству  $E_1^\alpha$  (соответственно,  $Y_1^\alpha$ ,  $(R, \tau_2)^\alpha$ ).

**Теорема 9.** Если  $f: X \rightarrow Y$  — *s-неприводимое (s'-неприводимое) отображение*, то пространства  $X$  и  $Y$  (соответственно,  $X^\alpha$  и  $Y^\alpha$  для произвольного кардинального числа  $\alpha$ ) слабо соабсолютны.

**Следствие 3.** Пространства  $E^\alpha$  и  $E_1^\alpha$ ,  $X_1^\alpha$  и  $Y_1^\alpha$ ,  $(R, \tau_1)^\alpha$  и  $(R, \tau_2)^\alpha$  слабо соабсолютны, где  $\alpha$  произвольное кардинальное число.

**Теорема 10.** Пусть  $f: X \rightarrow Y$  — *полуоткрытое, локально совершенное, монотонное (т. е.  $f^{-1}u$  бикompактно и связно для каждого  $u \in Y$ ) неприводимое отображение* финально компактного пространства  $X$  на пространство Бэра  $Y$ . Тогда  $f: X \rightarrow Y$  *s'-неприводимо*.

**Теорема 11.** Пусть  $f: X \rightarrow Y$  *приводимое [13], полуоткрытое уплотнение наследственно финально компактного пространства  $X$  на пространство Бэра  $Y$* . Тогда  $f: X \rightarrow Y$  *s'-неприводимо*.

Пусть  $Y = A \cup B$ , где  $A = \left\{1 - \frac{1}{n}, n = \overline{1, \infty}\right\}$  и  $B = [1, 2]$ .  $Y$  рассматривается, как подпространство прямой в евклидовой топологии. Пусть  $X$  — топологическая сумма подпространств  $A$  и  $B$  пространства  $Y$ . Тождественное отображение  $i_X: X \rightarrow Y$  является локально совершенным и полуоткрытым. Ясно, что пространства  $X$  и  $Y$  не соабсолютны, но  $X^\alpha$  и  $Y^\alpha$  слабо соабсолютны для произвольного кардинального числа  $\alpha$ .

რ. ორმოცაძე

## s-დაუყვანადი ასახვები

რეზიუმე

შემოტანილია s-დაუყვანადი ასახვის ცნება. ამ ასახვათა კლასი შეიცავს ჩაკეტულ, დაუყვანად ასახვათა კლასს. ზოგიერთი ცნობილი შედეგი ჩაკეტულ, დაუყვანად ასახვებზე გაძლიერებულია s-დაუყვანად ასახვებზე. მიღებული შედეგების საშუალებით დადგენილია ზოგიერთი ცნობილი სივრცის ხარისხების სუსტად თანაბსოლუტობა [1].

MATHEMATICS

R. N. ORMOTSADZE

## S-IRREDUCIBLE MAPPINGS

Summary

The notion of a s-irreducible mapping is introduced. The class of this mappings contains the class of closed, irreducible mappings. Some known results about closed, irreducible mappings is strengthened on s-irreducible mappings. Using the obtained results a weak coabsoluteness (1) of powers of some well-known spaces is ascertained.

## ლიტერატურა — ЛИТЕРАТУРА — REFERENCES

1. В. И. Пономарев, Л. Б. Шапиро. УМН, т. 31, № 5, 1976, 121—136.
2. И. А. Вайнштейн. Ученые записки МГУ, 155, 3—53.
3. R. Engelking. General Topology, Warszawa, 1977.
4. P. H. Ормоцадзе. Сообщения АН ГССР, 128, № 3, 1987, 497—499.
5. L. A. Steen, J. A. Seebach. Jr. Counterexamples in Topology, Springer-Verlag, New York, 1978.
6. А. В. Архангельский, В. И. Пономарев. Основы общей топологии в задачах и упражнениях. М., 1974.
7. R. C. Haworth, R. A. Messou. Dissertationes Math., 116, 1977, 1—77.
8. А. И. Полак. Ученые записки МГУ, 30, 1939, кн. 3, 165—178.
9. В. В. Мишкин, И. М. Тарасова. Материалы 10 научн. конф. мол. ученых и спец. Кемеров. ун-та, 1984, 9—14.
10. V. Mishkin. Bull. Acad. Polon. Sci., Ser. Sci. Math. Astronom. Phys., 23, № 3, 1975, 281—284.
11. А. В. Архангельский. Матем. сб., 67, 1965, 55—85.
12. V. Mishkin. Bull. Acad. Polon. Sci., Ser. Sci. Math. Astronom. Phys., 23, № 4, 1975, 425—429.
13. P. H. Ормоцадзе. Сообщения АН ГССР, 125, № 2, 1987, 241—244.



И. А. МЕЛАМЕД

АСИМПТОТИЧЕСКОЕ ПОВЕДЕНИЕ НЕКОТОРЫХ  
 СТАТИСТИЧЕСКИХ ОЦЕНОК В СХЕМЕ ОЦЕНИВАНИЯ  
 ПАРАМЕТРОВ ПО ВЫБОРКЕ СЛУЧАЙНОГО ОБЪЕМА

(Представлено академиком Б. В. Хведелидзе 16.11.1988)

Пусть  $v_p$ —случайная величина (с. в.) с  $E v_p = 1/p$ ,  $p \in (0, 1)$ , принимающая натуральные значения, причем  $\lim_{p \rightarrow 0} P \{p v_p < x\} = A(x)$ , где  $A(x)$ —функция распределения (ф. р.) с  $A(+0) = 0$ .

Пусть  $x_1, \dots, x_n, \dots$ —независимые одинаково распределенные (н. о. р.) с. в., независимые от  $v_p$  и имеющие распределение  $\frac{1}{2}P_\theta$ , где  $\theta \in \Theta \subset R^1$ —неизвестный параметр. Рассмотрим задачу оценивания  $\theta$  по выборке  $x_1, \dots, x_{v_p}$ . Справедлива следующая

Теорема 1<sub>A</sub> Пусть с. в.  $x_1, \dots, x_n, \dots, v_p$  удовлетворяют приведенным выше условиям, а оценка  $\tilde{\theta}_p = \tilde{\theta}_p(x_1, \dots, x_{v_p})$  при каждом фиксированном значении  $v_p = n$  совпадает с  $\tilde{\theta}_n = \tilde{\theta}_n(x_1, \dots, x_n)$ . Если (i)  $\lim_{n \rightarrow \infty} E_\theta \tilde{\theta}_n = \theta$  (символ  $E_\theta$  обозначает математическое ожидание, отвечающее мере  $P_\theta$ ), то

$$\lim_{p \rightarrow 0} E_\theta \tilde{\theta}_p = \theta. \tag{1}$$

Если (ii)  $\tilde{\theta}_p \xrightarrow{P} \theta$  при  $p \rightarrow \infty$  (символ  $\xrightarrow{P}$  означает сходимость по вероятности), то

$$\tilde{\theta}_p \xrightarrow{P} \theta \text{ при } p \rightarrow 0. \tag{2}$$

Если (iii) с. в.  $\sqrt{n}(\tilde{\theta}_n - \theta)$  асимптотически нормальна  $N(0, \sigma^2)$ ,  $0 < \sigma^2 < \infty$ , то во всех точках непрерывности предельной ф. р.

$$\lim_{p \rightarrow 0} P_\theta \left\{ \frac{1}{\sigma \sqrt{p}} (\tilde{\theta}_p - \theta) < x \right\} = F(x), \tag{3}$$

где  $F$ —ф. р. с характеристической функцией

$$\Phi(t) = \int_0^\infty \exp \left\{ -\frac{t^2}{2x} \right\} dA(x); \tag{4}$$

в то же время для любого множества положительных чисел  $u_p$  таких, что  $\lim_{p \rightarrow 0} u_p = \infty$ ,

$$(p^{1/2} u_p)^{-1} (\tilde{\theta}_p - \theta) \rightarrow 0 \text{ при } p \rightarrow 0. \tag{5}$$



Если  $(iv) \lim_{n \rightarrow \infty} E_0 [V \sqrt{n} (\tilde{\theta}_n - \theta)]^2 = \sigma^2$ , то

$$E_0 (\tilde{\theta}_p - \theta)^2 = O \left( E \left( \frac{1}{v_p} \right) \right). \quad (6)$$

Следствие 1. Пусть с. в.  $x_1, \dots, x_n, \dots, v_p$  те же, что в теореме 1, и пусть выполнено условие (iii). Тогда предельное распределение (3)—(4) будет нормальным  $N(0, 1/c)$  при некотором  $c > 0$  тогда и только тогда, когда ф. р.  $A$  вырождена в точке  $c$ .

Примеры.

1) Биномиальное распределение со сдвигом:  $P\{v_n = k+1\} = \binom{n}{k} \alpha^k (1-\alpha)^{n-k}$ ,  $k=0, 1, \dots, n$ ,  $0 < \alpha < 1$ . В этом случае  $p=1/(n\alpha+1)$ , ф. р.  $A$  вырождена в точке 1,  $F(x) = \Phi(x)$  ф. р. нормального закона  $N(0, 1)$ , а  $E(1/v_n) = 0 \left( \frac{1}{n} \right)$  при  $n \rightarrow \infty$ .

2) Распределение Пуассона со сдвигом:  $P\{v_\lambda = k+1\} = (\lambda^k/k!) e^{-\lambda}$ ,  $k=0, 1, \dots$ ,  $\lambda > 0$ . В этом случае ф. р.  $A$  вырождена в точке 1,  $F(x) = \Phi(x)$ , а  $E(1/v_\lambda) = 0(1/\lambda)$  при  $\lambda \rightarrow \infty$ .

3) Последовательность с. в.  $\{v_{p,m}\}_{m=1}^{\infty}$  ( $v_{p,1}$ —с. в., имеющая геометрическое распределение) с  $P\{v_{p,m}+1 = km\} = \left[ \prod_{j=0}^{k-1} \left( \frac{1}{m} + j \right) \right] / k! \cdot p^{1/m} (1-p)^k$  при  $k=1, 2, \dots$  и  $= p^{1/m}$  при  $k=0$ ,  $0 < p < 1$ . В этом случае  $E v_{p,m} = 1/p$ ,  $m=1, 2, \dots$ ,  $A$ —функция гамма-распределения с параметрами  $(1/m, 1/m)$  при  $m=2, 3, \dots$  и ф. р. показательного закона с плотностью  $e^{-x}$ ,  $x > 0$ , при  $m=1$ ;  $F$  имеет плотность  $f_m(x) = 2^{1/m} \cdot m^{1/2} B(1/m; 1/2) (2 + mx^2)^{-(m+2)/(2m)}$  (здесь и ниже  $B(\cdot, \cdot)$ —бета-функция),  $m=1, 2, \dots$  с бесконечной дисперсией (в частности,  $f_1(x) = (2+x^2)^{-3/2}$ );  $E(1/v_{p,m}) = 0(p \ln(1/p))$ , если  $m=1$  и  $= 0(p^{1/m})$ , если  $m=2, 3, \dots$  (при  $p \rightarrow 0$ ).

4) Распределение Паскаля со сдвигом:  $P\{v_{\alpha,m} = k+1\} = \binom{m+k-1}{k} \alpha^m (1-\alpha)^k$ ,  $k=0, 1, 2, \dots$ ,  $m=1, 2, \dots$ ,  $0 < \alpha < 1$ . В этом случае  $p = \alpha/(m - (m-1)\alpha)$ ,  $A$ —функция гамма-распределения с параметрами  $(m, m)$ ,  $m=1, 2, \dots$ ,  $F$ —ф. р. с плотностью  $f_m(x) = 2^m B(m; 1/2) (2m+x^2)^{-(2m+1)/2}$ , имеющей  $2m-1$  первых моментов,  $m=1, 2, \dots$ ,  $E(1/v_{\alpha,m}) = O(\alpha \ln(1/\alpha))$ , если  $m=1$  и  $= O(\alpha)$ , если  $m=2, 3, \dots$  (при  $\alpha \rightarrow 0$ ).

5) Распределение Пойа со сдвигом:  $P\{v_{\lambda,\beta} = k+1\} = (1+\beta\lambda)^{-1/\beta}$  при  $k=0$  и  $= (\lambda/(1+\beta\lambda))^k \left[ \prod_{j=0}^{k-1} (1+j\beta)/k! \right] (1+\beta\lambda)^{-1/\beta}$  при  $k=1, 2, \dots$  ( $\lambda > 0$ ,  $\beta > 0$ ). В этом случае  $p = 1/(\lambda+1)$ ;  $A$ —функция гамма-распределения с параметрами  $(1/\beta, 1/\beta)$ ;  $F$ —ф. р. с плотностью  $f_\beta(x) = 2^{1/\beta} \cdot \beta^{1/2} B(1/\beta; 1/2) (2+\beta x^2)^{-(\beta+2)/(2\beta)}$ , имеющей  $[2/\beta]$  первых моментов при  $0 < \beta < 1$  и с бесконечной дисперсией при  $\beta \geq 1$ ;  $E(1/v_{\lambda,\beta}) = O(1/\lambda)$  при  $0 < \beta < 1$ ,  $= O\left(\frac{1}{\lambda} \ln \lambda\right)$  при  $\beta=1$  и  $= O(\lambda^{-1/\beta})$  при  $\beta > 1$  (когда  $\lambda \rightarrow \infty$ ).

Приведем несколько оценок, для которых при определенных условиях выполнены соотношения (1)—(6). Мы будем рассматривать только квадратичную функцию потерь и ниже оговаривать это не будем.

Назовем  $\widehat{\theta}_{p,\pi} = \widehat{\theta}_{p,\pi}(x_1, \dots, x_{v_p})$   $v_p$ -байесовской оценкой  $\theta$  относительно априорного распределения  $\pi(\theta)$ , если  $\widehat{\theta}_{p,\pi}$  минимизирует априорный риск в классе оценок, построенных по выборке  $x_1, \dots, x_{v_p}$ .

**Теорема 2.** Пусть с. в.  $x_1, \dots, x_n, \dots, v_p$  те же, что в теореме 1 и выполнены условия I—IV из [1] и, кроме того,  $\pi(\theta)$ —плотность распределения на  $\Theta$ . Тогда для  $\widehat{\theta}_{p,\pi}$  справедливы соотношения (2)—(6).

Пусть  $T_p$ —класс инвариантных оценок  $\widehat{\theta}_p = \widehat{\theta}_p(x_1, \dots, x_{v_p})$  параметра сдвига  $\theta$  таких, что  $\widehat{\theta}_p(x_1+c, \dots, x_{v_p}+c) = \widehat{\theta}_p(x_1, \dots, x_{v_p})+c$ ,  $c \in R^1$ .

**Теорема 3.** Пусть с. в.  $x_1, \dots, x_n, \dots, v_p$  те же, что в теореме 1. Пусть выполнены условия 1, из [1] и, кроме того,  $f(x; \theta) = f(x-\theta)$ ,  $\mu$ —мера Лебега на  $R^1$ , плотность  $f(x)$  абсолютно непрерывна,

$\int_{R^1} x^2 f(x) dx < \infty$ ,  $J_1 = -f'(x)/f(x) \in L_f^2$ . Тогда в классе  $T_p$  существует

оптимальная оценка  $\widehat{\theta}_p$  с конечным риском. Эта оценка—несмещенная и для нее справедливы соотношения (2)—(6).

Обозначим  $V_p$  класс инвариантных оценок  $\widetilde{\sigma}_p = \widetilde{\sigma}_p(x_1, \dots, x_{v_p})$  параметра масштаба  $\sigma$  таких, что  $\widetilde{\sigma}_p(ax_1, \dots, ax_{v_p}) = a\widetilde{\sigma}_p(x_1, \dots, x_{v_p})$ ,  $a > 0$ , и пусть  $P_\infty$ —замыкание всех полиномов от одной переменной в пространстве  $L_f^2$ .

**Теорема 4.** Пусть с. в.  $x_1, x_2, \dots, v_p$  те же, что в теореме 1. Пусть выполнены условия 1 из [1], причем  $\mu$ —мера Лебега на  $R^1$ ,

$\Theta = R_+^1$ ,  $f(x; \sigma) = \frac{1}{\sigma} f\left(\frac{x}{\sigma}\right)$ ,  $\sigma > 0$ , плотность  $f(x)$  абсолютно непре-

рывна и  $\int_{R^1} x^2 f(x) dx < \infty$ . Тогда в классе  $V_p$  существует оптимальная

оценка  $\widehat{\sigma}_p$  с конечным риском и  $\lim_{p \rightarrow 0} \widehat{\sigma}_p = \sigma$ . Если, кроме того,  $J_2 = -(1+x f'(x)/f(x)) \in P_\infty$  и

$$\int_{R^1} x^j f(x) dx < \infty, \quad j=1, 2, \dots, \quad (7)$$

то  $\widehat{\sigma}_p$  обладает свойствами (2)—(6).

Рассмотрим теперь класс  $T_p^*$  эквивариантных оценок  $\widehat{\theta}_p(x_1, \dots, x_{v_p})$  параметра сдвига  $\theta$  при мешающем параметре масштаба  $\sigma$  таких, что  $\widehat{\theta}_p(ax_1+b, \dots, ax_{v_p}+b) = \widehat{\theta}_p(x_1, \dots, x_{v_p})+b$ ,  $a \in R_+^1$ ,  $b \in R^1$ .

**Теорема 5.** Пусть с. в.  $v_p$  та же, что и в теореме 1, а  $x_1, \dots, x_n, \dots$ —н. о. р. с. в. с плотностью  $\frac{1}{\sigma} f\left(\frac{x-\theta}{\sigma}\right)$  относительно меры Лебега, независимые от  $v_p$ . Пусть  $f(x)$  абсолютно непрерывна и  $\int_{R^1} x^2 f(x) dx < \infty$ . Тогда в классе  $T_p^*$  существует оптимальная оценка  $\theta_p^*$

с конечным риском, для которой  $\lim_{p \rightarrow 0} E_{\theta, \sigma} \theta_p^* = \theta$ . Если, кроме того,  $J_1 \in P_\infty$ ,  $J_2 \in P_\infty$  и выполнено (7), то  $\theta_p^*$  обладает свойствами (2)–(6).

Академия наук Грузинской ССР  
 Тбилисский математический институт  
 им. А. М. Размадзе

(Поступило 17.11.1988)

მათემატიკა

ი. მელამედი

ზოგნიერთი სტატისტიკური შეფასების ასიმპტოტური ურთიკვევა პარამეტრის შეფასების შემთხვევითი მოცულობის ამოკრევის სქემაში

რეზიუმე

შესწავლილია ალბათური განაწილების პარამეტრების სტატისტიკურ შეფასებათა ასიმპტოტური თვისებები, რომლებიც აგებულია შემთხვევითი  $v_p$  მოცულობის ამოკრევის საშუალებით. მოცემულ სქემაში გამოკვლეულია, თუ რა შემთხვევაშია შეფასების ზღვრული განაწილება ნორმალური. რამდენიმე კონკრეტული  $v_p$ -სთვის მიღებულია შეფასებათა ზღვრული განაწილების ცხადი სახე და მითითებულია შეფასებათა მაგალითები, რომელთათვისაც ქე-შმარტია ამ ნაშრომში მიღებული ზოგადი შედეგები.

MATHEMATICS

J. A. MELAMED

ASYMPTOTIC BEHAVIOUR OF SOME STATISTICAL ESTIMATORS  
 IN THE SET-UP OF PARAMETER ESTIMATION ON THE BASE  
 OF A RANDOM VOLUME SAMPLE

Summary

Asymptotic properties of estimators for parameters of probability distributions, which are constructed on the base of a sample with a random volume  $v_p$ , are studied in the paper. It is found when the limit distribution of the estimator in this set-up is normal. For several specific  $v_p$ s an explicit form of limit distributions of estimators has been obtained and the decrease rate of estimators' risk is found. The examples of estimators are given for which the general result stated in the present paper is valid.

ლიტერატურა — ЛИТЕРАТУРА — REFERENCES

1. И. А. Ибрагимов, Р. З. Хасьминский. Теория вероятн. и ее примен., т. 17, № 3, 1972, 469—486.
2. И. А. Ибрагимов, Р. З. Хасьминский. Теория вероятн. и ее примен., т. 18, № 1, 1973, 78—93.





Б. А. ПАСЫНКОВ, Е. В. САННИКОВА

О ПРОЕКЦИОННЫХ СПЕКТРАХ

(Представлено академиком Г. С. Чогошвили 15.11.1988)

Ниже под пространством понимается топологическое пространство, под отображением пространств — непрерывное отображение. Частично упорядоченное множество  $K$  будет автоматически рассматриваться как топологическое пространство с базой из всевозможных множеств вида  $\{y \in K : y \geq x\}$ ,  $x \in K$ .

В теории проекционных спектров давно и широко использовались (рассматриваемые первоначально в теории гомологий) покрытия из канонических ( $\equiv$ регулярных) замкнутых множеств. Эти покрытия хороши тем, что соответствующие им проекционные спектры транзитивны. Г. С. Чогошвили обратил внимание первого из авторов на использование в теории гомологий разбиений ( $\equiv$  дизъюнктивных покрытий), которые также гарантируют транзитивность соответствующих проекционных спектров.

1. (Эта часть статьи написана Б. А. Пасынковым). Оказалась возможным выделить некую общую ситуацию, в качестве подслучаев содержащую случаи спектров, соответствующих каноническим покрытиям и разбиениям.

Пусть дано пространство  $X \neq \emptyset$  и направленное множество индексов  $A$ . Пусть в соответствие каждому  $\alpha \in A$  поставлено плотное в  $X$  множество  $X_\alpha$  и (состоящее из непустых множеств) его разбиение  $\omega_\alpha$ , являющееся консервативной в  $X$  системой. При этом, если  $\alpha, \beta \in A$  и  $\beta > \alpha$ , то а)  $X_\beta \subset X_\alpha$ , б)  $\omega_\beta > \omega_\alpha$  (т. е.  $\omega_\beta$  вписано в  $\omega_\alpha$ ), в)  $G \subset [U\{H \in \omega_\beta : H \in G\}]_X$  для любого  $G \in \omega_\alpha$ .

По системе  $\Omega = \{\omega_\alpha : \alpha \in A\}$  следующим образом строится проекционный спектр  $S(\Omega)$ . Для  $\alpha \in A$  через  $K_\alpha$  (соответственно,  $K_\alpha f$ ) обозначим множество всех (соответственно, всех конечных) подсистем системы  $[\omega_\alpha] = \{[G] : G \in \omega_\alpha\}$  с непустым пересечением. Для  $t$  и  $t'$  из  $K_\alpha$  считаем  $t < t'$ , если  $t \supset t'$ . Очевидно, так частично упорядоченное множество  $K_\alpha$  является  $T_0$ -пространством. Пусть  $\beta > \alpha$ . Для  $t \in K_\beta$  через  $\pi_{\beta\alpha} t$  обозначим множество всех тех элементов разбиения  $\omega_\alpha$ , в которых содержится хотя бы один элемент системы  $t$ . Очевидно,  $\pi_{\beta\alpha} t \in K_\alpha$  (и  $\pi_{\beta\alpha} t \in K_\alpha f$  при  $t \in K_\beta f$ ). Полученное отображение  $\pi_{\beta\alpha} : K_\beta \rightarrow K_\alpha$  (будем называть его проекцией) непрерывно. При  $\gamma > \beta > \alpha$  имеет место условие транзитивности  $\pi_{\gamma\alpha} = \pi_{\beta\alpha} \cdot \pi_{\gamma\beta}$ . Обратный спектр  $\{K_\alpha, \pi_{\beta\alpha}; \alpha \in A\}$ , соответственно  $\{K_\alpha f, \pi_{\beta\alpha}; \alpha \in A\}$  и есть спектр  $S(\Omega)$ , соответственно  $Sf(\Omega)$ .

Интересны следующие частные случаи указанной конструкции.

1. Спектр  $f(X)$  Чогошвили [1]. Это случай, когда  $A$  состоит из всевозможных конечных разбиений  $\alpha$  пространства  $X$ ;  $\beta > \alpha$ , если  $\beta$  вписано в  $\alpha$ , и  $\omega_\alpha = \alpha$ ,  $X_\alpha = X$  для любого  $\alpha \in A$ .



2. Спектр  $fr(X)$  Куроша. В этом случае  $\Lambda$  состоит из всевозможных конечных, дизъюнктивных и открытых в  $X$  систем  $\alpha$ , плотных в  $X$  (т. е.  $[U\alpha]=X$ );  $\beta > \alpha$ , если  $\beta$  вписано в  $\alpha$ ;  $\omega_\alpha = \alpha$  и  $X_\alpha = U_\alpha$  для любого  $\alpha \in \Lambda$ .

3. Спектр  $lfr(X)$  Пономарева строится как спектр Куроша с заменой конечности систем  $\alpha$  на их локальную конечность (в  $X$ ).

4. Спектр  $lf(X)$  (соответственно,  $clf(X)$ ) получается заменой в построении спектра Чогошвили конечных разбиений  $\alpha$  на локально конечные (соответственно, локально конечные и счетные).

5. Пусть  $X'$  есть всюду плотное в  $X$  множество и пусть  $\Lambda$  состоит из всевозможных: а) соответственно, конечных, локально конечных в  $X$ , локально конечных в  $X$  и счетных разбиений  $\alpha$  множества  $X'$ ; б) соответственно, конечных, локально конечных в  $X$ , локально конечных в  $X$  и счетных дизъюнктивных открытых в  $X'$  и плотных в  $X'$  систем  $\alpha$ .

При этом:  $\beta > \alpha$ , если  $\beta$  вписано в  $\alpha$ ;  $X_\alpha = X'$  в случае а),  $X_\alpha = U_\alpha$  в случае б) и  $\omega_\alpha = \alpha$  для любого  $\alpha$ . Для получающейся системы  $\Omega = \{\omega_\alpha : \alpha \in \Lambda\}$  спектр  $S(\Omega)$  будем обозначать, соответственно, через а)  $f(X, X')$ ,  $lf(X, X')$ ,  $clf(X, X')$ , б)  $fr(X, X')$ ,  $lfr(X, X')$ ,  $clfr(X, X')$ .

Естественно возникающие (и обычные для теории проекционных спектров) вопросы таковы: 1) как связаны нижние пределы спектров из пунктов 1, 4, 5 с исходным пространством? В частности, 2) когда  $X$  будет нижним пределом этих спектров? Вообще, 3) какие требования надо положить на систему  $\Omega$  и (или) пространство  $X$ , чтобы оно было нижним пределом спектра  $S(\Omega)$ ?

II. (Результаты этой части статьи принадлежат Е. В. Санниковой). Всюду ниже  $X$  есть  $T_1$ -пространство.

**Теорема 1.** *Нижний предел спектра  $j(X)$  Чогошвили совпадает с волмэновской бикомпактификацией  $\omega X$ .*

**Следствие 1.** Пространство  $X$  есть нижний предел спектра  $j(X)$  Чогошвили тогда и только тогда, когда  $X$  есть бикомпактное пространство.

**Теорема 1** вытекает из приводимой ниже теоремы 2. Пусть (в обозначениях части 1)  $F(\Omega)$  есть система замыканий всех элементов всех разбиений  $\omega_\alpha$ . Пусть  $\omega_\alpha X$  есть множество всех максимальных центрированных систем элементов множества  $F(\Omega)$ , снабженное волмэновской топологией. В ней  $\omega_\alpha X$  есть бикомпактное  $T_1$ -пространство.

**Теорема 2.** *Если (1) система  $F(\Omega)$  конечно аддитивна, то нижний предел спектра  $S(\Omega)$  совпадает с  $\omega_\alpha X$ . Если, дополнительно, (2) для любой точки  $x$  и любой ее окрестности  $O$  существует  $\alpha \in \Lambda$  такое, что  $X \setminus U\{[A] : A \in \omega_\alpha, [A] \ni x\} \subset O$ , то  $X$  естественно вкладывается в полный предел спектра  $S(\Omega)$ . Наконец, если кроме условий (1) и (2) выполняется условие: 3) система  $\{\cap\{[A_{\alpha_i}] : A_{\alpha_i} \in \omega_{\alpha_i}, \alpha_i \in \Lambda, i=1, \dots, s\}$  есть сеть пространства  $X$ , то  $X$  естественным образом плотно вкладывается в нижний предел спектра  $S(\Omega)$ .*

Из теоремы 2 вытекает также результат В. И. Зайцева [2] о том, что нижний предел спектра  $fr(X)$  есть пространство Волмэна—Пономарева  $\omega_\alpha X$ .



Замечание. Рассмотрение локально конечных и консервативных разбиений приводит к результатам, аналогичным приведенным в части II.

Московский государственный университет

(Поступило 24.11.1988)

მათემატიკა

ბ. პასინკოვი, ე. სანიკოვა

პროექციული სპექტრების შესახებ

რეზიუმე

განხილულია ტრანზიტიული პროექციული  $T_0$ -სივრცეებისაგან შემდგარ სპექტრთა ზოგიერთი კლასი. ნაჩვენებია, რომ ყოველი ბიკომპაქტი წარმოადგენს ქვედა ზღვარს იმ სპექტრისა, რომელიც ეთანადება ამ ბიკომპაქტის ყველა სასრულ დიზიუნქციური დაფარვების სისტემას.

MATHEMATICS

B. A. PASYNKOV, E. V. SANNIKOVA

ON PROJECTIVE SPECTRA

Summary

Some classes of transitive projective (consisting of  $T_0$ -spaces) spectra are considered. It turns out that every bicomactum is the lower limit of the spectrum corresponding to the system of all finite disjunctive coverings of the bicomactum.

ლიტერატურა — ЛИТЕРАТУРА — REFERENCES

1. Г. С. Чогошвили. Изв. АН СССР, сер. матем., 15, 1951, 421—438.
2. В. И. Зайцев. Труды Моск. матем. о-ва, 27, 1972, 129—193.

Н. Г. ХОМАСУРИДZE, З. Ш. СИРАДZE, Т. Ш. ЭЛИЗБАРАШВИЛИ  
В. Д. ЛОРТКИПАНИДZE, Б. П. ЛОБЖАНИДZE

## К ВОПРОСУ РАЗРАБОТКИ ТЕОРЕТИЧЕСКИХ ОСНОВ ДЛЯ РАСЧЕТА НАПРЯЖЕНИЙ В ТВЕРДОЙ СРЕДЕ ПРИ ВЗРЫВНОМ РАСКАЛЫВАНИИ ЕЕ В ЗАДАННОМ НАПРАВЛЕНИИ

(Представлено членом-корреспондентом Академии Т. Г. Герелия 5.8.1988)

Создание направленной трещины в твердой среде необходимо при решении ряда инженерных задач, в частности, при контурном взрывании, подготовке блоков из естественных декоративных камней и т. п.

Существуют различные методы регулирования энергии взрыва, способствующие этому процессу.

Как показали эксперименты, наиболее эффективным из них для подготовки блоков является способ, заключающийся в размещении между стенками зарядной камеры и зарядом ВВ промежуточной среды в виде специального устройства, концентрирующего напряжения в заданном направлении. Концентратор напряжения состоит из двух металлических полуцилиндров с центральными продольными пазами для размещения заряда ВВ. При размещении указанного устройства в шпуре плоскость соприкосновения составных частей концентратора напряжений совпадает с плоскостью желаемого раскола среды [1].

При взрыве заряда ВВ металлические полуцилиндры разъединяются и начинают перемещаться перпендикулярно плоскости соприкосновения составных частей устройства, обуславливая тем самым в данном направлении существенное увеличение напряжений на стенки шпура. Представляет интерес аналитическое исследование напряжений взрыва при заданном расколе среды с помощью концентратора напряжений.

Исходя из вышеизложенного, можно воспользоваться граничной задачей статической плоской теории упругости [2, 3], как моделью рассматриваемой механической задачи. С этой целью необходимо решить системы дифференциальных уравнений

$$\frac{\partial K}{\partial r} - \frac{\partial B}{r \partial \Theta} = 0, \tag{1}$$

$$\frac{\partial K}{r \partial \Theta} + \frac{\partial B}{\partial r} = 0,$$

$$\frac{\partial (ru)}{\partial r} + \frac{\partial v}{\partial \Theta} = \frac{r}{\lambda + 2\mu} K,$$



$$\frac{\partial(rv)}{\partial r} - \frac{\partial u}{\partial \theta} = \frac{r}{\mu} B.$$

в области  $\bar{D} = \{r_0 \leq r < +\infty, 0 \leq \theta \leq \pi\}$ , с условиями на границе

$$v=0, \tau_{r\theta}=0 \text{ при } \theta=0 \text{ и } \theta=\pi,$$

$$\sigma_r = -p_1 - p_2 \cos 2\theta, \tau_{r\theta} = q \sin 2\theta \text{ при } r=r_0, \quad (2)$$

где  $p_1 > 0, p_2 > 0, q > 0$ , причем напряжения и смещения на бесконечности должны обращаться в нуль.

В (1) и (2)  $u, v$  — компоненты вектора смещения вдоль радиальной и окружной координат;  $\sigma_r, \sigma_\theta, \tau_{r\theta}$  — компоненты тензора напряжения  $\lambda = \frac{\nu E}{(1-2\nu)(1+\nu)}, \mu = \frac{E}{2(1+\nu)}$  — постоянные Ламе, а  $E$  и  $\nu$ , соответственно — модуль упругости и коэффициент Пуассона.

Легко показать, что решение данной граничной задачи имеет вид

$$\sigma_r = -p_1 \left(\frac{r_0}{r}\right)^2 - \frac{2(1+\nu_0)(p_0+q)}{2+\nu_0} \left(\frac{r_0}{r}\right)^2 \cos 2\theta + \frac{2(1+\nu_0)q+\nu_0 p_2}{2+\nu_0} \left(\frac{r_0}{r}\right)^4 \cos 2\theta, \quad (3)$$

$$\sigma_\theta = p_1 \left(\frac{r_0}{r}\right)^2 - \frac{2(1+\nu_0)q+\nu_0 p_2}{2+\nu_0} \left(\frac{r_0}{r}\right)^4 \cos 2\theta,$$

$$\tau_{r\theta} = -\frac{\nu_0(p_2+q)}{2+\nu_0} \left(\frac{r_0}{r}\right)^2 \sin 2\theta + \left(\frac{2(1+\nu_0)q+\nu_0 p_2}{2+\nu_0} \left(\frac{r_0}{r}\right)^4 \sin 2\theta\right),$$

где  $\nu_0 = \frac{\nu}{1-\nu}$ .

Из (3) следует, что максимальное растягивающее напряжение на контуре

$$\sigma_{\theta, \max} = p_1 + \frac{2(1+\nu_0)q+\nu_0 p_2}{2+\nu_0} \text{ имеем при } \theta = \frac{\pi}{2},$$

а минимальное значение

$$\sigma_{\theta, \min} = p_1 - \frac{2(1+\nu_0)q+\nu_0 p_2}{2+\nu_0} \text{ при } \theta=0.$$

Как следует из этих формул, напряженное состояние раскалываемой среды существенно зависит от значения касательных напряжений и коэффициента Пуассона.

Рассмотрим, для определенности, два случая:  $\nu_0=0,1$  и  $\nu_0=0,5$  при следующих значениях  $q$ :  $0, p_2$  и  $2p_2$  и когда  $p_1=2p_2$ .

В первом случае, когда  $\nu_0=0,1$ , имеем

$$\sigma_{\theta, \max} \approx 2,05 p_2, \sigma_{\theta, \min} \approx 1,95 p_2, q=0,$$

$$\sigma_{\theta, \max} \approx 3,1 p_2, \sigma_{\theta, \min} \approx 0,9 p_2, q=p_2,$$

$$\sigma_{\theta, \max} \approx 4,1 p_2, \sigma_{\theta, \min} \approx -0,1 p_2, q=2 p_2.$$

А во втором случае, когда  $\nu_0=0,5$ , будем иметь

$$\sigma_{\theta, \max} \approx 2,2 p_2, \quad \sigma_{\theta, \min} \approx 1,8 p_2, \quad q=0,$$

$$\sigma_{\theta, \max} \approx 3,4 p_2, \quad \sigma_{\theta, \min} \approx 0,6 p_2, \quad q=p_2,$$

$$\sigma_{\theta, \max} \approx 4,6 p_2, \quad \sigma_{\theta, \min} \approx -0,6 p_2, \quad q=2 p_2.$$

Таким образом, увеличение касательных напряжений и коэффициента Пуассона вызывает значительный рост максимальных растягивающих напряжений  $\sigma_{\theta}$  на контуре, обуславливающих создание трещины в заданном направлении.

Тбилисский государственный  
 университет  
 Институт прикладной математики  
 им. И. Н. Векуа

Академия наук Грузинской ССР  
 Институт горной механики  
 им. Г. А. Цулукидзе

(Поступило 17.11.1988)

შეჯამება

ბ. ხომასურიძე, ზ. სირაძე, ტ. ელიზბარაშვილი, ვ. ლორთქიფანიძე,  
 ბ. ლობჯანიძე

მოცემული მიმართულებით მყარი გარემოს აფეთქებით გაკოცვისას  
 მასში წარმოქმნილი დაძაბულობების ბათვილის თეორიული  
 საფუძვლების შემოუბამების საკითხისათვის

რეზიუმე

დრეკადობის თეორიის მეთოდებით გამოკვლეულია აფეთქებადი ნივთიერების აფეთქებისას გარემოს დაძაბული მდგომარეობა, როდესაც მუხტსა და შპურის კედლებს შორის მოთავსებულია ლითონის სპეციალური მოწყობილობა — დაძაბულობის კონცენტრატორი. მიღებულია შესაბამისი სასაზღვრო ამოცანის ზუსტი ამოხსნა. ჩატარებულია ამოხსნის თვისობრივი ანალიზი.

MECHANICS

N. G. KHOMASURIDZE, Z. Sh. SIRADZE, T. Sh. ELIZBARASHVILI,  
 V. D. LORTKIPANIDZE, B. P. LOBZHANIDZE

DEVELOPMENT OF THE THEORETICAL BASIS FOR  
 CALCULATION OF THE RIGID MEDIUM TENSION UNDER ITS  
 EXPLOSIVE SPLITTING IN A GIVEN DIRECTION

Summary

Methods of the theory of elasticity have been used to study the stressed state of a medium at blasting of an explosive when a special device metallic stress concentrator is placed between the charge and the side wall of the blast-hole. The exact solution of the corresponding boundary-value problem has been obtained. The qualitative analysis of the above-mentioned solution is given.

## ლიტერატურა — ЛИТЕРАТУРА — REFERENCES

1. Г. А. Бершвили, В. Д. Лорткипанидзе, Т. Ш. Элизбарашвили, Б. П. Лобжанидзе. Сб. «Механика и разрушение горных пород». Тбилиси. 1985, 6—15.
2. В. О. Новицкий. Теория упругости. М., 1975.
3. Н. Г. Хомасуридзе. Труды Всес. совещания семинара «Теория и численные методы расчета пластин и оболочек». т. 2. Тбилиси, 1984, 346—366.



М. С. ДЖИБУТИ, М. И. ЕПРЕМИДЗЕ, В. П. КОВАЛЕНКО

ПОСТРОЕНИЕ СРЕДСТВАМИ КОМПЬЮТЕРНОЙ ГРАФИКИ  
 НЕЛИНЕЙНЫХ ВОЛНОВЫХ ПОЛЕЙ В АКУСТИЧЕСКОМ  
 РЕЗОНАТОРЕ С РАСПРЕДЕЛЕННЫМИ ИСТОЧНИКАМИ  
 МАССЫ И ПОТОКАМИ ЭНТРОПИИ

(Представлено членом-корреспондентом Академии И. Т. Кигурадзе 24.6.1988)

В нелинейных задачах механики сплошной среды с распределенными источниками массы и потоками энтропии для системы гиперболических уравнений

$$\frac{\partial u}{\partial t} + A(x, t, u) \frac{\partial u}{\partial x} = B(x, t, u), \quad x \in [0, 1], \quad t \in [t_0, t_1],$$

с вектором начальных данных  $u^0 = \{u_1(x, t_0), \dots, u_n(x, t_0)\}$  возникает необходимость построения в пространстве переменных  $(x, t, u) \subseteq R^{n+2}$  двумерной интегральной поверхности  $u = u(x, t)$ . При этом предполагается, что матрица  $A(x, t, u)$  и вектор  $B = \{b_1(x, t, u), \dots, b_n(x, t, u)\}$  имеют непрерывные частные производные по всем аргументам в области  $D = \{(x, t, u) : x \in [0, 1], t \in [t_0, t_1], \|u\| \leq U\}$ .

Несобственным преобразованием [1] исходные уравнения приводят к характеристической форме

$$l^k(x, t, u) \left[ \frac{\partial u_\alpha}{\partial t} + \lambda_k(x, t, u) \frac{\partial u_\alpha}{\partial x} \right] = l^k_\alpha(x, t, u) b_\alpha(x, t, u), \quad k=1, \dots, n. \quad (1)$$

Дифференцирование в (1) производится вдоль характеристик

$$dx_k/dt = \lambda_k(x_k, t, u), \quad k=1, \dots, n,$$

а левые собственные векторы  $l^k(x, t, u)$  матрицы  $A$  удовлетворяют уравнению  $l^k(A - \lambda_k E) = 0$  и условию нормировки  $\|l^k\| = 1, k=1, \dots, n$ .

В общем случае уравнения (1) не имеют инвариантов. Однако, включая в число неизвестных также производные решения  $u(x, t)$ , можно привести расширенную таким образом [2] систему уравнений к инвариантам.

Пусть  $\partial u_\alpha / \partial t = q_\alpha, \partial u_\alpha / \partial x = p_\alpha$ , тогда система (1) переписывается в виде:

$$l^k_\alpha(q_\alpha + \lambda_k p_\alpha) = l^k_\alpha b_\alpha, \quad k=1, \dots, n. \quad (2)$$

После дифференцирования каждого уравнения по  $t, x$  полученные уравнения могут быть представлены в следующем виде:

$$l^k_\alpha \left( \frac{\partial q_\alpha}{\partial t} + \lambda_k \frac{\partial q_\alpha}{\partial x} \right) = \bar{F}_k(x, t, u, q, p), \quad (3)$$

$$l^k_\alpha \left( \frac{\partial p_\alpha}{\partial t} + \lambda_k \frac{\partial p_\alpha}{\partial x} \right) = \bar{\Phi}_k(x, t, u, q, p),$$

где  $\bar{\Phi}_k(x, t, u, q, p) = l^k_\alpha \frac{\partial b_\alpha}{\partial x} + b_\alpha \frac{\partial l^k_\alpha}{\partial x} + \left( l^k_\alpha \frac{\partial b_\alpha}{\partial u_\beta} + b_\alpha \frac{\partial l^k_\alpha}{\partial u_\beta} \right) p_\beta -$

$$- (q_\alpha + \lambda_k p_\alpha) \left( \frac{\partial l^k_\alpha}{\partial x} + \frac{\partial l^k_\alpha}{\partial u_\beta} p_\beta \right) - l^k_\alpha \left( \frac{\partial \lambda_k}{\partial x} + \frac{\partial \lambda_k}{\partial u_\beta} p_\beta \right) p_\alpha, \quad k=1, \dots, n.$$

Аналогичную форму имеет  $\bar{F}_k(x, t, u, q, p)$ . Если ввести новую переменную  $P_k = l^k_\alpha p_\alpha$ , то из (3) получается





$$\frac{\partial P_k}{\partial t} + \lambda_k \frac{\partial P_k}{\partial x} = \Phi_k \equiv \bar{\Phi}_k + p_\alpha \left[ \frac{\partial l_\alpha^k}{\partial t} + \lambda_k \frac{\partial l_\alpha^k}{\partial x} + (q_\beta + \lambda_k p_\beta) \frac{\partial l_\alpha^k}{\partial u_\beta} \right], \quad (4)$$

Из (2) с учетом  $p_k = (l_\alpha^k)^{-1} P_\alpha$  можно определить

$$q_k = b_k - (l_\alpha^k)^{-1} \lambda_\alpha P_\alpha, \quad k=1, \dots, n,$$

где  $(l_\alpha^k)^{-1}$  — элементы матрицы, обратной  $[l_\alpha^k]$ ; здесь  $k$  — номер строки,  $\alpha$  — номер столбца. А затем  $p, q$  исключаются из (4).

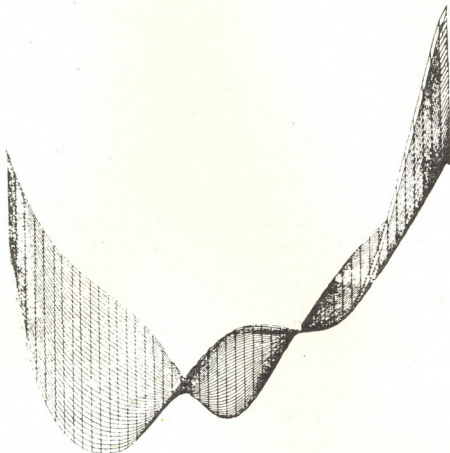


Рис. 1

Таким образом, решение задачи Коши для системы гиперболических уравнений сводится к интегрированию вдоль характеристик  $dx_k/dt = \lambda_k(x_k, t, u(x_k, t))$  уравнений в инвариантах;

$$\frac{du_k}{dt} = q_k(x_k, t, u(x_k, t)), \quad P(x_k, t), \quad (5)$$

$$\frac{dP_k}{dt} = \Phi_k(x_k, t, u(x_k, t)), \quad P(x_k, t), \quad k=1, \dots, n, \quad x_k \in [0, 1], \quad t > t_0$$

с начальными условиями  $u_k(x_k, t_0) = u_k^0, P_k(x_k, t_0) = P_k^0$ .

В результате строятся решения вида

$$u_k^{(i+1)}(x_k, t) = u_k^0 + \int_{t_0}^t q_k(x_k^{(i)}, t', u^{(i)}(x_k, t'), P^{(i)}(x_k, t')) dt',$$

$$P_k^{(i+1)}(x_k, t) = P_k^0 + \int_{t_0}^t \Phi_k(x_k^{(i)}, t', u^{(i)}(x_k, t'), P^{(i)}(x_k, t')) dt'. \quad (6)$$

Последовательности  $\{u_k^{(i)}(x_k, t)\}, \{P_k^{(i)}(x_k, t)\}$  равномерно сходятся к непрерывным функциям  $u_k(x_k, t)$  и  $P_k(x_k, t)$  соответственно в области  $\bar{D} \equiv D [1]$ .



Решения (6) используются для построения нелинейных волновых полей, возбуждаемых в полости резонатора газодинамической струей

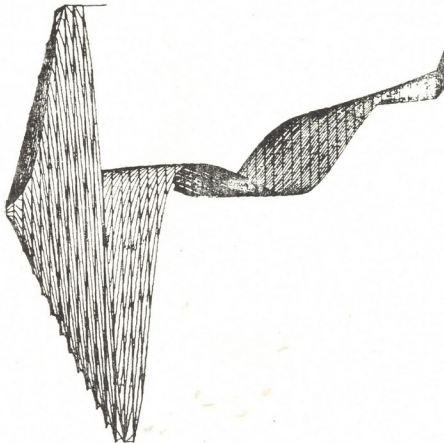


Рис. 2

с распределенными непрерывными источниками массы и потоками энтропии, описываемых уравнениями сохранения:

$$\begin{aligned} \frac{\partial \rho}{\partial t} + \frac{\partial}{\partial x} (\rho W) &= M(\rho, W, H), \\ \rho \left( \frac{\partial W}{\partial t} + W \frac{\partial W}{\partial x} \right) &= - \frac{\partial p}{\partial x} - WM(\rho, W, H), \\ \rho \left( \frac{\partial H}{\partial t} + W \frac{\partial H}{\partial x} \right) &= \frac{\partial p}{\partial t} - HM(\rho, W, H) + Q(\rho, W, H). \end{aligned}$$

Здесь  $\rho, W, H$ —плотность, скорость и полная энтальпия газового потока;  $M, Q$ —некоторые функции, определяющие производительность источников массы и тепла;  $t \in [t_0, t_1]$ — время;  $x$ — аксиальное расстояние в полости резонатора от входного участка, на концах интервала  $x \in [0, 1]$  допускается контактная граница с требованием непрерывности  $\rho$  и  $W$ . Уравнение состояния принимается в виде  $p = p(\rho, (H - W^2/2))$

Эти уравнения приводятся к характеристической форме (1) и записываются в инвариантах (5). Некоторые решения (6), описывающие поля плотности в полной энтальпии, в резонаторе изображены на рис. 1, 2 в виде аксонометрических проекций интегральной поверхности, которые построены с помощью графических программ [3]. Указанные проекции строятся с помощью следующей подпрограммы:

```
SUBROUTINE GRAF
COMMON XGR(50), YGR(50), UGR1(35,50), AM(200), AR(200)
CALL PAGE (30., 30., '01', 2, 0)&CALL INIT
CALL ISOMET&CALL TDROT (1, -35)&CALL TDROT 3, -90
```



CALL TDLIM (XGR, YGR, UGR1, 35, 50, 1, 35, 1, 50, S)  
 CALL REGION (2., 2., 20., 20., 01', 2, 0)  
 CALL THREED (XGR, YGR, UGR 1, 35, 50, 1, 35, 1, 50, 0, 100, AM, AR)  
 CALL ENDPG (01)&RETURN  
 END

Здесь двумерный массив  $UGR1$  значений функции  $u(t, x)$  и массивы аргументов  $XGR, YGR$  (для значений переменных  $x$  и  $t$  соответственно) формируются отдельной программой и передаются в подпрограмму через блок  $COMMON$ ;  $AM, AR$  — рабочие массивы для хранения границ экрана проекцирования и видимого участка сечения интегральной поверхности;  $S$  — коэффициент, равный отношению сторон прямоугольной области значений функции на картинной плоскости.

Построение требуемой проекции интегральной поверхности средствами компьютерной графики, позволяет исследовать нелинейный характер решений исходной системы гиперболических уравнений.

Тбилисский государственный университет  
 Институт прикладной математики  
 им. И. Н. Векуа

(Поступило 30.9.1988)

შეჯამება

ა. ჯიბუტი, ა. ეპრემიძე, ვ. კოვალენკო

მასის განაწილებული წყაროებისა და ენტროპიის ნაკადის მქონე აკუსტიკურ რეზონატორში არაწრფივი ტალღური ვილებების აბაზა კომპუტერული გრაფიკის საშუალებებით

რეზიუმე

მოყვანილია კოსმის ამოცანის მიახლოებითი ამოხსნა ჰიპერბოლურ განტოლებათა ერთი სისტემისათვის. იგი მიიღება რეზონატორის ღრუში მასის განაწილებული წყაროებისა და ენტროპიის ნაკადის მქონე გაზოდინამიური ქველით აღჭრული არაწრფივი ტალღური პროცესის აღწერისას. აგებულია ამოხსნის შესაბამისი ინტეგრალური ზედაპირის აქსონომეტრიული პროექცია პარალელურ კვეთათა მეთოდის და კომპუტერული გრაფიკის გამოყენებით.

MECHANICS

M. S. JIBUTI, M. I. EPREMIDZE, V. P. KOVALENKO

CONSTRUCTION OF THE NONLINEAR WAVE SPACES IN  
 THE ACOUSTIC RESONATOR WITH THE DISTRIBUTED MASS,  
 SOURCES AND ENTROPY FLOWS BY MEANS OF COMPUTER  
 GRAPHICS

Summary

An approximate solution of the Cauchy problem for a system of hyperbolic equations is given. This system is obtained by describing the nonlinear wave process excited by the gas dynamic jet with distributed mass sources and entropy flows in the resonator cavity. Axonometric projection of the integral surface of the solution is constructed by the method of parallel sections and computer graphics.

ლიტერატურა — ЛИТЕРАТУРА — REFERENCES

1. Б. Л. Рождественский, Н. Н. Яненко. Системы квазилинейных уравнений. М., 1968.
2. R. Courant, P. Lax. Commun Pure and Appl. Math., v. 2, 1949, 255—273.
3. Ю. М. Баяковский, В. А. Галактионов, Т. Н. Михайлова. Графоп. М., 1985.

А. Г. ГАБЕЛАЯ

## ОДИН ПОДХОД К РЕШЕНИЮ ЗАДАЧИ СТАБИЛИЗАЦИИ ЛИНЕЙНЫХ АВТОНОМНЫХ СИСТЕМ С НЕПОЛНОЙ ИНФОРМАЦИЕЙ

(Представлено академиком В. К. Чичинадзе 24.5.1988)

Рассмотрим задачу стабилизации линейных автономных систем с неполной информацией (см. [1])

$$\dot{x} = Ax + Bu, \quad (1)$$

$$y = Hx, \quad (2)$$

где  $x \in R^n$ ,  $u \in R^m$ ,  $y \in R^l$ , ( $m < n$ ;  $l < n$ ) — соответственно вектора состояния, управления и наблюдения системы;  $A$ ,  $B$ ,  $H$  — постоянные матрицы соответствующих размерностей, в классе управлений по выходу

$$u = Cy = CHx. \quad (3)$$

Здесь  $C$  — постоянная  $m \times l$ -матрица.

Будем считать, что для системы (1) — (2) выполнено необходимое условие стабилизируемости [2]

$$\begin{cases} \text{rank } (A - sE, B) = n, \\ \forall s, \text{Res} \geq 0 \\ \text{rank } (A^T - sE, H^T) = n, \\ \forall s, \text{Res} \geq 0 \end{cases} \quad (4)$$

Без ограничения общности будем считать, что матрица  $H$  имеет вид

$$H = (H_1, H_2),$$

где  $H_1$  — неособенная  $l \times l$ -матрица ( $|H_1| \neq 0$ ).

Неособым линейным преобразованием

$$z = Lx, \quad (5)$$

где

$$L = \begin{pmatrix} H_1 & H_2 \\ O & E_{n-l} \end{pmatrix},$$

( $|L| = |H_1| \neq 0$ ), систему можно привести к виду (см. [2])

$$\dot{z} = \tilde{A}z + \tilde{B}u, \quad (6)$$

$$y = z_1,$$

где  $z^T = (z_1, z_2)$

$$\tilde{A} = LAL^{-1}, \quad (7)$$

$$\tilde{B} = LB. \quad (8)$$

Таким образом, задача сводится к задаче стабилизации неполным вектором состояния  $z_1$ , точнее исходная задача стабилизации сводится к следующей задаче:



Найти управление вида

$$u = Cz_1,$$

стабилизирующее систему (6), т. е. такое, чтобы положение равновесия системы

$$\dot{z} = \tilde{A}z + \tilde{B}Cz_1, \quad (9)$$

было асимптотически устойчивым (см. [2])

Заметим, что систему (9) можно записать в виде

$$\dot{z} = [\tilde{A} + \tilde{B}(C, 0)]z. \quad (10)$$

Будем сейчас искать стабилизирующее управление системы (6) в виде

$$u = Cz_1 + C_0 z_2 = \tilde{C}z, \quad (11)$$

где  $\tilde{C} = (C, C_0)$ .

Т. е. будем решать задачу стабилизации системы с полной информацией (6), в классе управлений вида (11).

Тогда очевидно, что стабилизируемость исходной системы с неполной информацией (1)—(2) в классе управлений вида (3), эквивалентна стабилизируемости системы с полной информацией (6) в классе управлений вида (11), при условии что  $C_0 = 0$ .

Представим сейчас матрицу  $\tilde{C} = (C, C_0)$  в векторном виде

$$\tilde{c} = (c_1, c_2, \dots, c_{mn}),$$

где  $c_1, c_2, \dots, c_{ml}$  соответствует элементам подматрицы  $C$ , а  $c_{ml+1}, \dots, c_{mn}$  соответствуют элементам подматрицы  $C_0$ . Тогда характеристический полином замкнутой системы будет иметь вид

$$|sE - \tilde{A} - \tilde{B}\tilde{C}| = s^n + \beta_1(\tilde{c})s^{n-1} + \dots + \beta_n(\tilde{c}),$$

где  $\beta_i(\tilde{c})$ ,  $i=1, 2, \dots, n$  представляют собой полиномы от переменных  $c_1, c_2, \dots, c_{mn}$ . Тогда условие Лъенара—Шипара [3] асимптотической устойчивости замкнутой системы представляют собой систему неравенств вида

$$p_i(c_1, \dots, c_{mn}) > 0; \quad i=1, 2, \dots, n, \quad (12)$$

где  $p_i$  будут также полиномами от  $c_1, \dots, c_{mn}$ .

Следуя методу «многомерного результата» (см. [4]), заменим систему (12) (за счет дополнения переменных  $t_1, \dots, t_n$ ) эквивалентной системой однородных уравнений относительно  $n(m+1)$  переменных

$$f_i = t_i^2 p_i(c_1, \dots, c_{mn}) - 1 = 0; \quad i=1, 2, \dots, n$$

Рассмотрим сейчас следующую задачу минимизации

$$F = \sum_{i=1}^{ml} c_i^2 + M \sum_{i=ml+1}^{mn} c_i^2 + \sum_{i=1}^n t_i^2 \rightarrow \min, \quad (13)$$

где  $M > 0$ —достаточно большое число, при условии

$$\begin{cases} t_1^2 p_1(c_1, \dots, c_{mn}) - 1 = 0, \\ \dots \\ t_n^2 p_n(c_1, \dots, c_{mn}) - 1 = 0. \end{cases} \quad (14)$$

Тогда имеет место следующая

**Теорема 1.** Для стабилизируемости системы с полной информацией (1)—(2) в классе управлений вида (3) необходимо и достаточно, чтобы задача (13)—(14) имела решение удовлетворяющее условиям  $c_i^2 = 0$ ;  $i=ml+1, \dots, mn$ .



При этом такое решение задачи (13)—(14) определяет коэффициенты стабилизирующей обратной связи  $c_1^*, \dots, c_m^*$  (т. е. элементы матрицы  $C$ ).

Замечание 1. Заметим, что совместимость системы ограниченной (14) следует из условия (4), т. е. разрешимости задачи стабилизации для системы (1) в случае полной информации [5] (в случае, когда  $H$  — невырожденная  $n \times n$ -матрица). С другой стороны, существование решения задачи (13)—(14) сводится к совместимости системы (14) (см. [4]).

Таким образом, при выполнении условий (4) существование решения задачи (13)—(14) гарантировано, так что решая задачу минимизации (13)—(14), мы можем не только ответить на вопрос о стабилизируемости системы (1)—(2) в классе управлений вида (3), но и найти стабилизирующее решение (в случае стабилизируемости системы).

С другой стороны, если система с полной информацией не стабилизируема, решая задачу (13)—(14) мы получим коэффициенты обратной связи (т. е. матрицу  $\tilde{C}^*$ ), которая будет стабилизировать систему с полной информацией (6), получаемую из системы (1) неособым линейным преобразованием (5), т. е.  $\tilde{C}^*$  будет удовлетворять условию

$$\tilde{A} + \tilde{B}\tilde{C}^* = \tilde{P},$$

где  $\tilde{P}$  — некоторая гурвицева матрица. Тогда согласно (7) и (8) будем иметь

$$LAL^{-1} + LB\tilde{C}^* = \tilde{P},$$

откуда

$$A + B\tilde{C}^*L = L^{-1}\tilde{P}L.$$

Так как  $L^{-1}\tilde{P}L$  также будет гурвицевой матрицей [3], из последнего соотношения легко заключить, что управление вида

$$u = \tilde{C}^*Lx, \quad (15)$$

будет стабилизировать систему с полной информацией (1).

Таким образом, решая задачу минимизации (13)—(14) мы в худшем случае (если система с неполной информацией (1)—(2) не стабилизируема!) получаем решение, стабилизирующее систему с полной информацией (1).

Далее, т. к. матрица Якоби системы ограниченной задачи (13)—(14)

$\frac{\partial (f_1, \dots, f_n)}{\partial (t_1, \dots, t_n)}$  является невырожденной

$$\left| \frac{\partial (f_1, \dots, f_n)}{\partial (t_1, \dots, t_n)} \right| = \prod_{i=1}^n 2 t_i p_i \neq 0,$$

то для решения задачи (13)—(14) можно применить метод множителей Лагранжа (см. [4]).

Введя функцию Лагранжа в виде

$$L = \sum_{i=1}^{ml} c_i^2 + M \cdot \sum_{i=ml+1}^{mn} c_i^2 + \sum_{i=1}^n [t_i^2 + \lambda_i (t_i^2 p_i - 1)],$$

аналогично результатам работы [4] получаем следующее утверждение.

Теорема 2. Система с неполной информацией (1)—(2) стабилизируема в классе управлений вида (3) тогда и только тогда, когда система уравнений

$$\left\{ \begin{array}{l} 2c_i - \sum_{i=1}^n t_i^* \frac{\partial p_i}{\partial c_j} = 0; \quad j=1, 2, \dots, ml, \\ 2Mc_j - \sum_{i=1}^n t_i^* \frac{\partial p_i}{\partial c_j} = 0; \quad j=ml+1, \dots, mn, \\ t_i^* p_i - 1 = 0; \quad i=1, \dots, n, \end{array} \right.$$

имеет действительное решение удовлетворяющее условиям  $c_i = 0; i = ml+1, \dots, mn$ .

Притом, любое такое решение системы (16) будет определять коэффициенты стабилизирующей обратной связи  $c_1, c_2, \dots, c_{ml}$ .

З а м е ч а н и е 2. Согласно вышесказанному, система (16) всегда будет иметь действительное решение и в случае неустойчивости системы (1) — (2) решая (16) мы получаем по крайней мере управление вида (15), стабилизирующее систему с полной информацией (1).

З а м е ч а н и е 3. Конечно, для решения задачи (13) — (14) не обязательно пользоваться методами множителей Лагранжа, можно использовать различные численные методы оптимизации.

Институт управления народным  
хозяйством при ГКНТ ГССР

(Поступило 26.5.1988)

კიბერნეტიკა

ა. გაბელაია

წრფივი ავტონომიური სისტემების სტაბილიზაციის ერთი ხერხი  
არასრული ინფორმაციის შემთხვევაში

რეზიუმე

წრფივი ავტონომიური სისტემის სტაბილიზაციის ამოცანა არასრული ინფორმაციის შემთხვევაში მიყვანილია მათემატიკური დაპროგრამების ამოცანაზე. თუ სისტემა არასტაბილიზებადია, მოცემული ამოცანის ამონახსნი განსაზღვრავს ამოსავალი სისტემის მასტაბილიზებულ უკუკავშირს მდგომარეობის შესახებ სრული ინფორმაციის შემთხვევაში.

CYBERNETICS

A. G. GABELAYA

## ONE APPROACH TO THE STABILITY PROBLEM OF LINEAR AUTONOMOUS SYSTEMS WITH INCOMPLETE INFORMATION

Summary

The stability problem of linear autonomous systems with incomplete information is reduced to such a problem of mathematical programming that, in case of nonstabilizability, its solution determines the control to stabilize the system with complete information.

ლიტერატურა — ЛИТЕРАТУРА — REFERENCES

1. Е. И. Гальперин, Е. И. Дергачева. Автоматика и телемеханика, № 8, 1968
2. А. Г. Габелая, В. И. Иваненко, О. Н. Одарич. Сб. «Адаптирование системы автоматического управления». Киев, 1974.
3. Ф. Р. Гантмахер. Теория матриц. М., 1967.
4. В. Д. О. Anderson *et al.* IEEE Trans. Automat. Contr., 20, № 1, 1975.
5. А. Г. Габелая, В. И. Иваненко, О. Н. Одарич. Кибернетика, № 3, 1975.

Е. А. БЛАГИДЗЕ, Р. Э. ГУСЕИНОВ, Л. Э. КУБАНЕЙШВИЛИ,  
Н. И. МАРКОЗАШВИЛИ, Э. Н. ЦИГРИАШВИЛИ

## О ПРОГРАММНОЙ РЕАЛИЗАЦИИ АВТОМАТИЧЕСКОГО ВЫЧИСЛЕНИЯ ЗНАЧЕНИЙ ПРОИЗВОДНЫХ ФУНКЦИИ НЕСКОЛЬКИХ ПЕРЕМЕННЫХ

(Представлено академиком В. К. Чичинадзе 27.6.1988)

Для вычисления на компьютере значений производных функций нескольких переменных Р. Калаба и А. Тишлер предложили метод [1], дающий возможность получать точные значения производных без накопления дополнительной погрешности, в силу чего расчет ведется в рамках только машинной погрешности, зависящей от типа компьютера.

Основное отличие подхода [1] от подходов, применяемых в процедурах символьного дифференцирования (см. например, [2]), заключается в том, что процедуры символьного дифференцирования, получив на вход аналитическое выражение функции, на выходе дают аналитическое выражение ее производных, в то время как на выходе метода [1] мы получаем числа — точные значения производных исходной функции в заданной точке. А поскольку при вычислениях в задачах прикладной математики нас, как правило, интересуют именно значения производных, то выгоды такого подхода очевидны. Достаточно заметить, что при использовании процедур символьного дифференцирования требуется дополнительный этап ручного ввода пользователем полученных формул в свою программу.

Коротко опишем возможную реализацию подхода [1]. Пусть дана функция нескольких переменных, для определенности, скажем, трех. Поставим ей в соответствие двадцатикомпонентный вектор по следующим правилам:

- первая компонента содержит значение функции;
- следующие три компонента заполняются значениями первых производных;
- далее шесть компонент занимают значения вторых производных;
- наконец, последние десять компонент занимают значения третьих производных.

Точно такие же двадцатикомпонентные векторы поставим в соответствие каждой арифметической операции, каждому операнду и каждой элементарной функции, входящей в формулу, дающую аналитический вид функции. Например, векторы, соответствующие переменным  $x_1$  и  $x_2$ , имеют вид

$$(x_1, 1, 0, 0, \dots, 0),$$

$$(x_2, 0, 1, 0, \dots, 0),$$

а для операции перемножения этих переменных имеем

$$(x_1 \cdot x_2, x_2, x_1, 0, 0, 1, 0, \dots, 0).$$

Подчеркнем, что в этих векторах под  $x_1$  и  $x_2$  понимаются их числовые значения в конкретных точках. Эти векторы получаются в со-





ответствующих подпрограммах по специальному алгоритму. Например, векторы, соответствующие переменным  $x_1, x_2$ , получаются в подпрограмме с именем *LiN*, а вектор, соответствующий произведению, — в подпрограмме *MULT*. Таким образом, для данной функции пользователь должен написать программу, в которой вызываются эти подпрограммы в порядке, определяемом их приоритетом в формуле.

Поясним сказанное для функции

$$F(x_1, x_2, x_3) = (2 + x_3^2)^{1/2} / x_2.$$

Порядок выполнения арифметических операций будет следующим:

$$x_3 \cdot x_3 \rightarrow 2 + x_3^2 \rightarrow (2 + x_3^2)^{1/2} \rightarrow (2 + x_3^2)^{1/2} / x_2,$$

и в точно таком же порядке следует написать вызовы подпрограмм на псевдоязыке:

$$\begin{aligned} &LIN(x_1, x_2, x_3); MULT(x_3 \cdot x_3); CONST(2); \\ &ADD(2 + x_3^2); STP((2 + x_3^2)^{1/2}); DIV((2 + x_3^2)^{1/2} / x_2), \end{aligned}$$

где в скобках изображена первая компонента двадцатикомпонентного вектора. Результат содержится на выходе подпрограммы *DiV*.

Чтобы избавить пользователя от утомительной работы по составлению подобной программы (особенно в случае, когда функция имеет весьма сложный и громоздкий вид, а значит, и нет гарантии, что пользователь не ошибется [3]), нами разработан пакет фортранных программ, который генерирует правильную последовательность вызовов в виде отдельной фортранной подпрограммы, записываемой на внешний носитель. Эта подпрограмма далее транслируется вместе с остальными программами пользователя, и, таким образом, этап ручного ввода алгоритма для вычисления производных заменяется автоматическим вводом.

Реализация этой идеи основана на том факте, что дифференцирование функции происходит в соответствии с приоритетом арифметических операций, который может быть изменен скобками, входящими в формулу, дающую аналитический вид функции. С другой стороны, как известно [4], на аналогичных соображениях базируется польская запись арифметических выражений. Следовательно, порядок вычисления производных исходной функции совпадает с порядком следования операций в польской записи.

Так, например, для нашей функции обратная польская запись будет иметь вид

$$2 \ x_3 \ x_3 \times + \sqrt{\ } \ x_2 /,$$

а порядок вычисления производных, т. е. порядок вызова подпрограмм, следующий:

$$LIN, MULT, CONST, ADD, STP, DIV.$$

Пакет для автоматического вычисления значений производных состоит из трех основных частей:

- интерпретатора, переводящего входное выражение в обратную польскую запись;
- генератора текста подпрограммы, управляющей процессом вычисления производных;
- совокупности подпрограмм, осуществляющих вычисления производных для каждой арифметической операции и каждой элементарной функции.



Для функции из нашего примера пакет генерирует следующую управляющую подпрограмму:

```

SUBROUTINE CALLS (N, K, X, D1),
REAL X (12), A1 (100), A2 (100)
REAL D1 (100), D2 (100), D3 (100),
CALL LIN (1, X (1), A1),
CALL LIN (2, X (2), A2),
CALL CONST (K, .5, D1),
CALL CONST (K, 2., D2),
CALL STP (A1 (1), D2, D2),
CALL CONST (K, 2., D3),
CALL ADD (K, D3, D2, D2),
CALL STP (D2 (1), D1, D1),
CALL DIV (N, K, D1, A2, D1),
RETURN,
END.

```

В заключение отметим, что пакет программ апробирован на компьютере типа СМ-4 при решении задачи Коши методом разложения в ряд Тейлора и при реализации различных оптимизационных методов, использующих производные. Полное описание пакета программ вместе с примерами конкретного применения предполагается опубликовать в трудах ИВМ АН ГССР.

Академия наук Грузинской ССР  
Институт вычислительной математики  
им. Н. Н. Мухелишвили

(Поступило 24.6.1988)

კიბერნეტიკა

ა. ბლაბიძე, რ. ბუსინოვი, ლ. ყუბანოვილი, ნ. მარკოზაშვილი,  
ა. ციგრიავილი

რამდენიმე ცვლადის ფუნქციის წარმოებულების მნიშვნელობების  
ავტომატური გამოთვლის პროგრამული რეალიზაციის შესახებ

რ ე ზ ი უ მ ე

აღწერილია წარმოებულების ავტომატური გამოთვლის პროგრამათა პაკეტი, რომელიც შექმნილია რ. კალაბასა და ა. ტიშლერის ცხრილური მეთოდის საფუძველზე. პაკეტმა გაიარა აპრობაცია ეგმ СМ-4-ზე. კომის ამოცანის ამოხსნის ტილორის მწკრივად დაშლის მეთოდით და სხვადასხვა ოპტიმიზაციის ალგორითმების გამოყენებისას.

E. A. BLAGIDZE, R. E. GUSSEINOV, L. E. KUBANEISHVILI,  
N. I. MARKOZASHVILI, E. N. TSIGRIASHVILI

SOFTWARE PACKAGE CARRYING OUT AUTOMATIC  
CALCULATIONS OF DERIVATIVES

Summary

Software package based on the table method of R. Kalaba and A. Tishler, carrying out automatic calculations of derivatives is described. The package is approved on SM-4 type computer when solving the Cauchy problem by Taylor expansion and realizing some optimization problems.

ლიტერატურა — ЛИТЕРАТУРА — REFERENCES

1. R. Kalaba, A. Tishler. Dept. of Economics Working Paper 8212. Univ. of Southern California, 1982.
2. Дж. Ортега, У. Пул. Введение в численные методы решения дифференциальных уравнений. М., 1986.
3. Дж. Дэниелс, Р. Шнабель. Численные методы безусловной оптимизации и решения нелинейных уравнений. М., 1988.
4. Д. Грис. Конструирование компиляторов для цифровых вычислительных машин. М., 1975.



УДК 622.7(075.8)

КИБЕРНЕТИКА

Д. И. БАШАЛЕИШВИЛИ

МАТЕМАТИЧЕСКИЕ МОДЕЛИ НЕЛИНЕЙНЫХ УМЕНЬШАЮЩИХ  
 И УКРУПНЯЮЩИХ СИСТЕМ

(Представлено академиком В. В. Чавчанидзе 7.9.1988)

При описании уменьшающих и укрупняющих систем можно применить ряды или полиномы Вольтерра [1], составленные из зависящих от параметра  $x$  регулярных однородных функционалов. Такой ряд или полином задает нелинейный оператор, действующий из пространства плотностей распределения на входе системы  $\{f(y)\}$  в пространство выходных плотностей распределения  $\{\varphi(x)\}$ , причем размеры частиц входного и выходного потоков соответственно  $y$  и  $x$  принадлежат замкнутому интервалу  $[0, a]$ , где  $a > 0$ .

В общем случае математическая модель нелинейной неоднородной уменьшающей системы имеет вид (см. выражение (Б.2) в [2])

$$\varphi(x) = B[f(y), x \leq y \leq a], \quad \varphi(a) = 0, \quad 0 \leq x \leq a, \quad (1)$$

где  $B$  — нелинейный оператор.

Будем считать, что при любом фиксированном  $x \in [0, a]$  правая часть выражения (1) является непрерывным функционалом в пространстве  $C[0, a]$ . В силу теоремы Фреше [1] выражению (1) можно придать вид

$$\varphi(x) = \sum_{i=1}^{\infty} \Phi_i[f(y), x], \quad \varphi(a) = 0, \quad 0 \leq x \leq a, \quad (2)$$

где  $\Phi_i[f(y), x] = W_0(x)$  — некоторая непрерывная функция, не зависящая от  $i$  ( $y$ ), причем  $W_0(a) = 0$ , а

$$\Phi_i[f(y), x] = \int \dots \int_x^a W_i(x-y_1, \dots, x-y_i, y_1, \dots, y_i) f(y_1) \dots f(y_i) dy_1 \dots dy_i. \quad (3)$$

является регулярным однородным функционалом (при фиксированном  $x$ ) степени  $i$ . В силу того что функция  $\varphi(x)$  является плотностью распределения, должно выполняться условие

$$\sum_{i=1}^{\infty} c_i = 1, \quad (4)$$

где

$$c_i = \int_0^a \Phi_i[f(y), x] dx, \quad i = 0, 1, 2, \dots \quad (5)$$

При изучении линейной уменьшающей системы было установлено [2], что функция уменьшения  $W_1(x-y_1, y_1)$  удовлетворяет условиям

$$W_1(x-y_1, y_1) \geq 0, \quad \int_0^{y_1} W_1(x-y_1, y_1) dx = 1, \quad \forall y_1 > 0. \quad (6)$$

Следовательно,  $c_1 = 1$  для любой плотности распределения  $f(y)$  и выражение (4), в силу того что  $c_i \geq 0$ , не может выполняться в случае нелинейной системы.



Таким образом, непосредственное применение представления Фреше в виде выражения (2) к нелинейной уменьшающей системе не удобно и с физической точки зрения не оправдано. Требуется его модификация, для осуществления которой нужна информация лежит в самом представлении Фреше. Оно является суммой функционалов. Следовательно, нелинейная уменьшающая система является параллельным соединением линейной и нелинейных подсистем. Отсюда заключаем, что входной поток частиц делится на подпотоки (см. § 5 главы I в [3]), т. е. суммарная масса частиц входного потока, условно равная единице, представляется в виде

$$1 = \sum_{i=0}^{\infty} p_i,$$

где  $p_i$  — масса всех частиц  $i$ -го подпотока.

Таким образом, нелинейная неоднородная уменьшающая система (назовем ее аналитической [1]) представляется математической моделью

$$\varphi(x) = \sum_{i=0}^{\infty} p_i c_i^{-1} \Phi_i[f(y), x], \quad \varphi(a) = 0, \quad \sum_{i=1}^{\infty} p_i = 1, \quad 0 \leq x \leq a, \quad (7)$$

где  $c_i$  определяется выражением (5), функция  $\Phi_i[f(y), x]$  — выражением (3), а функция  $c_i^{-1} \Phi_i[f(y), x]$  является плотностью распределения для любого значения  $i$ .

Если вместо функционального ряда Вольтерра (7) рассмотреть функциональный полином Вольтерра степени  $n$ , то получим математическую модель полиномиальной неоднородной уменьшающей системы в виде

$$\varphi(x) = \sum_{i=0}^n p_i c_i^{-1} \Phi_i[f(y), x], \quad \varphi(a) = 0, \quad \sum_{i=0}^n p_i = 1, \quad 0 \leq x \leq a. \quad (8)$$

Аналогично, математическая модель аналитической неоднородной нелинейной укрупняющей системы имеет вид (см. выражение (B.1) в [2])

$$\varphi(x) = A[f(y), 0 \leq y \leq x] = \sum_{i=0}^{\infty} p_i l_i^{-1} F_i[f(y), x], \quad \varphi(0) = 0, \\ \sum_{i=0}^{\infty} p_i = 1, \quad 0 \leq x \leq a, \quad (9)$$

где  $A$  — нелинейный оператор,  $a > 0^{(1)}$ ;

$$F_i[f(y), x] = \int_0^x \dots \int_0^x K_i(x-y_1, \dots, x-y_i, y_1, \dots, y_i) f(y_1) \dots f(y_i) dy_1 \dots dy_i, \\ i = 1, 2, \dots; \quad (10)$$

$F_0[f(y), x] = K_0(x)$  — некоторая неотрицательная непрерывная функция, не зависящая от  $f(y)$ , причем  $K_0(0) = 0$  и

$$l_i = \int_0^a F_i[f(y), x] dx, \quad i = 0, 1, 2, \dots, \quad l_1 = 1.$$

<sup>(1)</sup> Бриллиант доказал теорему Фреше для случая  $a = \infty$  [4].



Полиномиальная неоднородная укрупняющая система представляется математической моделью

$$\varphi(x) = \sum_{i=0}^n p_i l_i^{-1} F_i[f(y), x], \quad \varphi(0) = 0, \quad \sum_{i=0}^n p_i = 1, \quad 0 \leq x \leq a. \quad (11)$$

В случае, когда ядро (см. выражение (10)) является функцией только первых  $i$  аргументов, выражения (9) и (11) представляют собой соответственно аналитическую однородную и полиномиальную однородную<sup>(1)</sup> укрупняющие системы.

Следует отметить, что постоянные  $c_i$  и  $l_i$  зависят от вида входной плотности распределения  $f(y)$ . Исключение составляет только случай  $i=1$  (случай линейных систем). Поэтому задача определения конкретной математической модели нелинейной (в отличие от линейной) уменьшающей или укрупняющей системы с помощью эксперимента (под последним понимается определение ядер по одной паре  $f(y)$  и  $\varphi(x)$ ) может быть решена только с точностью до множителей  $c_i$  или  $l_i$ ,  $i \neq 1$  соответственно, несмотря на то, что сама задача идентификации может быть решена точно. При использовании полученной модели указанные постоянные множители определяются однозначно для каждой возможной на входе плотности распределения  $f(y)$  с помощью выражения (5) или (9). С целью иллюстрации сказанного рассмотрим примеры решения задачи идентификации нелинейной системы.

**Пример 1.** Заданы  $f(y) = 2^{-1} y^2 e^{-y}$  и  $\varphi(x) = \lambda e^{-\lambda x}$ ,  $\lambda > 0$ . Требуется определить математическую модель нелинейной уменьшающей системы.

**Решение.** Вначале определяется линейная уменьшающая система, преобразующая  $f(y)$  в  $\varphi_1(x) = e^{-x}$ . Имеем  $W_1(x-y, y) = 2(y-x)y^{-2}$  (см.

(9) в [5]). Полином Вольтерра ищется в виде  $\tilde{\varphi}(x, p, n) = \sum_{i=1}^n p_i c_i^{-1} \varphi_i^*(x)$ ,

где  $c_i^{-1} = i$  (см. (8)). Минимизируется односторонняя метрика  $L_1 = \int_0^{\overline{s}} [\varphi(x) - \tilde{\varphi}(x, p, n)] dx$  по вектору  $p = (p_1, p_2, \dots, p_n)$ , или иначе,

$$\sum_{i=1}^n p_i \rightarrow \max, \quad p \in R = \{(p_1, p_2, \dots, p_n) \in E_n : p_i \geq 0, \tilde{\varphi}(x_j, p, n) \leq \varphi(x_j), j = \overline{1, s}\},$$

что является задачей линейного программирования. Она решалась микро-ЭВМ «Искра-226» для различных значений  $\lambda \geq 1$ , и во всех случаях были получены удовлетворительные результаты. В частности, при  $\lambda = 6,5$ ,  $n \geq 7$  и  $s = 11$  ( $x_0 = 0$  и  $x_s = 2$ ) оптимальный вектор имеет компоненты, равные нулю, кроме  $p_6$  и  $p_7$ . Следовательно, соответствующая математическая модель системы принимает вид  $\varphi(x) = 0,8035 c_6^{-1} \varphi_6^*(x) + 0,1868 c_7^{-1} \varphi_7^*(x)$ ,

где  $\varphi_1(x) = \int_x^{\infty} 2(y-x)y^{-2} f(y) dy$ , т. е. в правой части модели первое

слагаемое содержит шестикратный, а второе—семикратный интеграл.

<sup>(1)</sup> Понятие однородной системы [2] отличается от понятия однородной функции (функционала).



В случае  $\lambda=i$ , где  $i$  — натуральное число, задача решается без применения ЭВМ. Все компоненты оптимального вектора  $p$  равны нулю, кроме одной  $p_i=1$ .

В случае  $\lambda \leq 1$  применяется не полином Вольтерра, а выражение

$$\tilde{\varphi}(x, p, n) = \sum_{i=0}^9 p_{i+1} d_{i+1}^{-1} \varphi_1^{(10-i)10^{-1}}(x), \text{ где } d_{i+1} = \int_0^{\infty} \varphi_1^{(10-i)10^{-1}}(x) dx.$$

Пример 2. Заданы  $f(y)=e^{-y}$  и  $\varphi(x)=\lambda^{x+1} \Gamma^{-1}(\lambda+1)x^\lambda e^{-\lambda x}$ ,  $\lambda > 0$ , где  $\Gamma(z)$  — гамма-функция. Требуется определить математическую модель нелинейной укрупняющей системы.

Решение. Определяется линейная укрупняющая система, преобразующая  $f(y)$  в  $\varphi_1(x)=xe^{-x}$ . Имеем  $K_1(x-y, y)=e^{-(x-y)}$ . Дальнейшая процедура решения задачи совпадает с процедурой предыдущего примера. В частности, при  $\lambda=2,5$  математическая модель нелинейной укрупняющей системы принимает вид  $\varphi(x)=0,4382 I_2^{-1} \varphi_1^2(x) + 0,5554 I_3^{-1} \varphi_1^3(x)$ , где

$$\varphi_1(x) = \int_0^x e^{-(x-y)} f(y) dy.$$

Тбилисский государственный университет

(Поступило 7.9.1988)

კიბერნეტიკა

დ. ბაშალეიშვილი

არაწრფივი შემამცირებელი და გამამსხვილებელი სისტემების მათემატიკური მოდელი

რეზიუმე

აგებულია არაწრფივი შემამცირებელი და გამამსხვილებელი სისტემების მათემატიკური მოდელი ვოლტერას ფუნქციონალური მწკრივებისა და პოლინომების სახით. მოცემულია მარტივი მაგალითები არაწრფივი გამამსხვილებელი და შემამცირებელი სისტემების იდენტიფიკაციისა.

CYBERNETICS

D. I. BASHALEISHVILI

## MATHEMATICAL MODELS OF NONLINEAR REDUCING AND COARSENING SYSTEMS

Summary

The mathematical models of nonlinear reducing and coarsening systems in the form of Volterra's functional series and polynomials are constructed. A simple example of identification of nonlinear systems is given.

ლიტერატურა — ЛИТЕРАТУРА — REFERENCES

1. В. Вольтерра. Теория функционалов, интегральных и интегродифференциальных уравнений. М., 1982.
2. Д. И. Башалейшвили. Математическое обеспечение АСУ и САПР некоторых ТП (ч. I). Тбилиси, 1984.
3. Д. И. Башалейшвили. Математическое обеспечение АСУ и САПР некоторых ТП (ч. II). Тбилиси, 1985.
4. M. V. Brilliant. Technical Report 345, MIT, 1958.
5. Д. И. Башалейшвили. Сообщения АН ГССР, 132, № 2, 1988.



Р. А. КВАТАДЗЕ, Р. Г. ШАНИДЗЕ

ЭКСПЕРИМЕНТАЛЬНЫЕ ВОЗМОЖНОСТИ НАБЛЮДЕНИЯ  
 РАСПАДОВ  $\Lambda_c$  и  $\Xi_c^+$  БАРИОНОВ С УЧАСТИЕМ  $\Sigma^0$  ГИПЕРОНА

(Представлено академиком Н. С. Амэглобели 3.1.1989)

Изучение распадов очарованных барионов является важной экспериментальной и теоретической задачей. Несмотря на интенсивные экспериментальные исследования, сумма вероятностей всех зарегистрированных каналов распада  $\Lambda_c$ , наиболее изученного барионного состояния, не превышает 10% [1].

В настоящей работе проводится анализ распадов очарованных барионов  $\Lambda_c$  и  $\Xi_c^+$  с участием  $\Sigma^0 \rightarrow \Lambda \gamma$  гиперона, ( $\Lambda_c \rightarrow \Sigma^0 \pi^+ \pi^+ \pi^-$ ,  $\Xi_c^+ \rightarrow \Sigma^0 K^- \pi^+ \pi^+$ ). Изучаются возможности наблюдения сигналов от этих распадов в распределениях инвариантных масс  $\Lambda \pi^+ \pi^+ \pi^-$  и  $\Lambda K^- \pi^+ \pi^+$  систем, когда  $\gamma$ -квант от распада  $\Sigma^0$  не регистрируется. Из имеющихся мировых данных [2—11] определены отношения вероятностей распадов:

$$R_1 = \frac{Br(\Lambda_c \rightarrow \Sigma^0 \pi^+ \pi^+ \pi^-)}{Br(\Lambda_c \rightarrow \Lambda \pi^+ \pi^+ \pi^-)}, \quad (1)$$

$$R_2 = \frac{Br(\Xi_c^+ \rightarrow \Sigma^0 K^- \pi^+ \pi^+)}{Br(\Xi_c^+ \rightarrow \Lambda K^- \pi^+ \pi^+)}. \quad (2)$$

Инвариантная масса  $\Lambda \pi^+ \pi^+ \pi^-$  и  $\Lambda K^- \pi^+ \pi^+$  систем, образованных от распада очарованного бариона  $C$  (обозначим через  $\Lambda X$ ), когда  $\Lambda$  гиперон является продуктом распада  $\Sigma^0 \rightarrow \Lambda \gamma$ , равна

$$M_{\Lambda X} = M_c \sqrt{1 - \frac{2E_\gamma}{M_c}}, \quad (3)$$

где  $M_c$  — масса очарованного бариона;  $E_\gamma$  — энергия  $\gamma$ -кванта от распада  $\Sigma^0$  в системе покоя  $C$ . распределение  $M_{\Lambda X}$  полностью определяется энергией  $E_\gamma$ , что в свою очередь зависит от двух факторов: энерговыделения и матричного элемента распада.

Для изучения распределения  $M_{\Lambda X}$  было моделировано инклюзивное рождение очарованных барионов  $\Lambda_c$  и  $\Xi_c^+$  в нуклон-нуклонных взаимодействиях с последующими распадами:

$$\Lambda_c \rightarrow \Sigma^0 (\Lambda \gamma) \pi^+ \pi^+ \pi^-, \quad (4)$$

$$\Lambda_c \rightarrow \Lambda \pi^+ \pi^+ \pi^-, \quad (5)$$

$N + N \rightarrow$

$$\Xi_c^+ \rightarrow \Sigma^0 (\Lambda \gamma) K^- \pi^+ \pi^+, \quad (6)$$

$$\Xi_c^+ \rightarrow \Lambda K^- \pi^+ \pi^+. \quad (7)$$

При моделировании использовалась программа генерации событий для эксперимента БИС-2. В этом эксперименте зарегистрированы распады  $\Lambda_c$  по двум каналам:  $\Lambda \pi^+ \pi^+ \pi^-$  и  $K^0 p \pi^+ \pi^-$  [8]. БИС-2 регистрирует вторичные





частицы в области фрагментации пучка и во многом аналогичен экспериментальным установкам WA 62 и E-400.

Рождение очарованных барионов  $\Lambda_c$  и  $\Xi_c^+$  моделировалось по инвариантному распределению

$$E \frac{d^3\sigma}{dp^3} \sim (1 - X_F)^n e^{-bp_\perp}, \quad (8)$$

где  $X_F = \frac{p_z^*}{p_{\text{max}}^*}$  — отношение продольного импульса частицы к максимально возможному в системе центра масс, а  $p_\perp$  — поперечный импульс. Значение параметров  $n$  и  $b$  равны 1,5 и 2,5 в соответствии с результатами, полученными в эксперименте БИС-2 для  $\Lambda_c$ -барионов [8].

Импульс пучка брался равным 70 ГэВ/с. Распады очарованных частиц моделировались по фазовому объему, учитывалась возможность регистрации  $\Lambda\pi^+\pi^+\pi^-$  и  $\Lambda K^-\pi^+\pi^+$  состояний от распадов (4)÷(7) экспериментальной установкой.

На рис. 1 показаны распределения инвариантных масс  $\Lambda\pi^+\pi^+\pi^-$  и  $\Lambda K^-\pi^+\pi^+$  систем от распадов (4) и (6) без учета эффективности регистра-

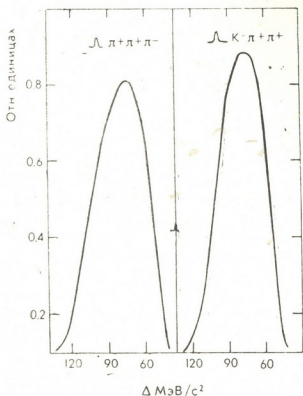


Рис. 1. Распределение инвариантных масс  $\Lambda\pi^+\pi^+\pi^-$  и  $\Lambda K^-\pi^+\pi^+$  систем, где

$$\Delta = M_c - M_{\Delta X}$$

ции установки. Как видно, ширина этих распределений на полувысоте составляет 56 и 48 МэВ/с<sup>2</sup>, соответственно. Центральные значения масс в этих распределениях сдвинуты относительно масс  $\Lambda_c$  и  $\Xi_c^+$  примерно на 75 МэВ/с<sup>2</sup>. Наблюдаемые в экспериментах распределения этих систем будут шире полученных значений из-за конечного разрешения экспериментальных установок по инвариантной массе. Однако, если экспериментальное разрешение  $\sim 15$  МэВ/с<sup>2</sup>, что типично для упомянутых экспериментов, сигналы от распадов (4), (6) должны быть зарегистрированы в распределениях по инвариантной массе  $\Lambda\pi^+\pi^+\pi^-$  и  $\Lambda K^-\pi^+\pi^+$  систем, с шириной  $\sim 60$  МэВ/с<sup>2</sup>.



На рис 2 приведены эффективности регистрации  $\Delta X$  систем от распадов (4) и (6). Как видно, эффективность регистрации этих состояний слабо зависит от инвариантной массы и составляет 2,3% для  $\Lambda\pi^+\pi^+\pi^-$  и 2,5% для  $\Lambda K^-\pi^+\pi^+$  систем. В пределах 5%-ной статистической ошибки эффективности регистрации  $\Delta X$  систем от распадов очарованных барионов ( $\Lambda_c$ ,  $\Xi_c^+$ ) с участием  $\Lambda$  и  $\Sigma^0$  гиперонов равны. Полученные значения эффективности не зависят от энергии пучка и экспериментальной установки регистрирующей состояния  $\Delta X$ .

Таким образом, распады очарованных частиц, идущие через ( $\Lambda_c \rightarrow \Sigma^0 \pi^+\pi^+\pi^-$ ,  $\Xi_c^+ \rightarrow \Sigma^0 K^-\pi^+\pi^+$ ), отражаются в распределениях инвариантных масс  $\Delta X$ . При этом сигналы от этих распадов имеют ширину  $\sim 60$  МэВ/с<sup>2</sup>, а центральное значение массы на 75 МэВ/с<sup>2</sup> меньше массы соответствующего очарованного бариона. Отношения вероятности распадов (1) и (2), будут равны отношению сигналов от распадов  $\Sigma^0 X$  и  $\Delta X$ , наблюдаемых в распределении инвариантных масс  $\Delta X$ .

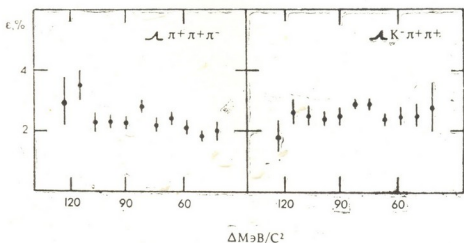


Рис. 2. Зависимость эффективности регистрации  $\Lambda\pi^+\pi^+\pi^-$  и  $\Lambda K^-\pi^+\pi^+$  систем от  $\Delta$

Отношение  $R_1$  было оценено из данных работы [10], где приводится распределение инвариантных масс  $\Lambda\pi^+\pi^+\pi^-$  систем, полученное в pp-взаимодействиях при энергии  $\sqrt{S}=63$  ГэВ, зарегистрированное в эксперименте R 608. В этом распределении наблюдается 620 событий распада  $\Lambda_c \rightarrow \Lambda\pi^+\pi^+\pi^-$ . Из отсутствия сигнала от распада  $\Lambda_c \rightarrow \Sigma^0 \pi^+\pi^+\pi^-$  в этом распределении, на 90% уровне достоверности, был оценен верхний предел отношения

$$R_1 = \frac{Br(\Lambda_c \rightarrow \Sigma^0 \pi^+\pi^+\pi^-)}{Br(\Lambda_c \rightarrow \Lambda\pi^+\pi^+\pi^-)} \leq 0,10.$$

Учитывая значение  $Br(\Lambda_c \rightarrow \Lambda\pi^+\pi^+\pi^-) = 2,8 \pm 0,7 \pm 1,1\%$ , определенное в  $e^+e^-$  аннигиляции [9], получим

$$Br(\Lambda_c \rightarrow \Sigma^0 \pi^+\pi^+\pi^-) \leq 0,3\%.$$

Отметим, что это первая экспериментальная оценка вероятности распада данного канала  $\Lambda_c$ .

Отношение  $R_2$  впервые было измерено при исследовании нейтрон-ядерных взаимодействий в эксперименте E-400, где получено [2]

$$R_2 = \frac{Br(\Xi_c^+ \rightarrow \Sigma^0 K^-\pi^+\pi^+)}{Br(\Xi_c^+ \rightarrow \Lambda K^-\pi^+\pi^+)} = 0,84 \pm 0,36.$$

Величину  $R_2$  можно также оценить из данных эксперимента WA-62 [3], в котором в распределении инвариантных масс  $\Lambda K^-\pi^+\pi^+$  систем обра-



зованных  $\Sigma^-Be$  взаимодействиях при энергии 135 ГэВ зарегистрировано 82 события распада  $\Xi_c^+ \rightarrow \Lambda K^- \pi^+ \pi^+$ . Из этого распределения на 90% уровне достоверности получим ограничение на величину отношения

$$R_2 \leq 0,45.$$

Этот результат в пределах двух стандартных отклонений не противоречит данным эксперимента E-400.

В заключение отметим, что метод, предложенный в данной работе, может быть применен при изучении других каналов распада очарованных частиц с участием  $\Sigma^0$  гиперонов.

Тбилисский государственный университет  
Институт физики высоких энергий

(Поступило 12.1.1989)

ფიზიკა

რ. კვატაძე, რ. შანიძე

$\Lambda_c$  და  $\Xi_c^+$  ბარიონების  $\Sigma^0$  ჰიპერონად დაშლის ექსპერიმენტულად  
დაგზავრის შესაძლებლობები

რეზიუმე

ნაჩვენებია, რომ  $\Lambda_c$  და  $\Xi_c^+$  ჩარმიანი ნაწილაკების დაშლა  $\Sigma^0$  ჰიპერონის მონაწილეობით შესაძლებელია დამზერილ იქნეს ექსპერიმენტებზე იმ შემთხვევაშიც, როდესაც არ ხდება  $\Sigma^0$  ნაწილაკის დაშლიდან მიღებული  $\gamma$  კვანტის რეგისტრაცია. მსოფლიოში არსებული მონაცემებით შეფასებულია  $\Lambda_c$  და  $\Xi_c^+$  ბარიონების  $\Sigma^0$  ნაწილაკით დაშლის ალბათობა.

PHYSICS

R. A. KVATADZE, R. G. SHANIDZE

## POSSIBILITIES OF EXPERIMENTAL OBSERVATION OF $\Lambda_c$ AND $\Xi_c^+$ BARYONS DECAY TO $\Sigma^0$ HYPERON.

Summary

It is shown that the decay of  $\Lambda_c$  and  $\Xi_c^+$  charm particles to  $\Sigma^0$  hyperon is observable in experiments when the photon from the decay of  $\Sigma^0$  particle is not detected. The branching ratios of  $\Lambda_c$  and  $\Xi_c^+$  baryons decaying to  $\Sigma^0$  are estimated using the existing data.

ლიტერატურა — ЛИТЕРАТУРА — REFERENCES

1. Review of Particle Properties, Phys. Lett. 170 B, 1986.
2. P. Coteus *et al.* Phys. Rev. Lett. 59, 1987, 1530.
3. S. F. Biagi *et al.* Phys. Lett. 122B, 1983, 455.  
S. F. Biagi *et al.* Z. Phys. C 28, 1985, 175.
4. S. Barlag *et al.* CERN—EP/88—106, 1988.
5. B. Knapp *et al.* Phys. Rev. Lett. 37, 1976, 882.
6. K. L. Giboni *et al.* Phys. Lett. 85 B, 1979, 437.
7. W. Lockman *et al.* Phys. Lett. 85 B, 1979, 443.
8. A. N. Aleev *et al.* Z. Phys. C 23, 1984, 333.
9. T. Bowcock *et al.* Phys. Rev. Lett. 55, 1985, 923.
10. P. Chauvat *et al.* Phys. Lett. 199 B, 1987, 304.
11. H. Albrecht *et al.* DESY—88—011, 1988.



В. С. ПАВЕРМАН, Д. О. ХАСИДАШВИЛИ

### НЕСТАЦИОНАРНАЯ ДИНАМИКА МОДУЛЯЦИОННОЙ НЕУСТОЙЧИВОСТИ «ЭЛЕКТРИЧЕСКОГО ГЕЛИКОНА»

(Представлено членом-корреспондентом Академии Н. Л. Цицадзе 28.12.1988)

Интенсивно разрабатываемые в последнее время дополнительные методы нагрева плазмы в установках УТС вызвали повышенный интерес к нелинейным процессам, которые могут развиваться во время такого нагрева. В частности, как было показано в работах [1, 2], при нагреве плазмы мощной циркулярно-поляризованной электромагнитной волной в режиме электронного циклотронного резонанса в определенных условиях релятивистский фактор может сильно увеличиться и в плазме будут одновременно распространяться вдоль постоянного магнитного поля  $\vec{B}_0$  две одинаково (право-) поляризованные электромагнитные волны с различными показателями преломления. Дисперсионное соотношение для одной из них, названной «электрическим геликоном», имеет вид

$$\omega_0 = (k_0^2 c^2 / \omega_c^2) \omega_E, \quad (1)$$

где  $\omega_\alpha$  — ленгмюровская частота частиц сорта  $\alpha$  ( $\alpha = e, i$ );  $k_0$  — волновой вектор падающей волны;  $\omega_E = |e| E_0 / m_e c$  ( $E_0$  — напряженность поля волны накачки). В работе [3] была изучена возможность модуляционной неустойчивости и самофокусировки этой волны. Было показано, что медленно меняющаяся амплитуда электрического геликона в определенных условиях описывается нелинейным уравнением Шредингера (НУШ) с квадратичной нелинейностью:

$$i \left( \frac{\partial}{\partial t} + V_g \frac{\partial}{\partial z} \right) \varepsilon + \frac{1}{2} V_g \frac{\partial^2 \varepsilon}{\partial z^2} + \omega_0 \left\{ \frac{1}{2} \frac{\omega_i^2}{4 \omega_0^2 - k_0^2 v_s^2} - 1 \right\} \frac{|\varepsilon| - \varepsilon_0}{\varepsilon_0} = 0. \quad (2)$$

При получении уравнения (2) предполагалось, что  $\varepsilon = \varepsilon(z, t)$  (магнитное поле  $\vec{B}_0$  направлено вдоль оси  $z$ ),  $v_s$  — скорость ионного звука,  $V_g = \frac{d\omega_0}{dk_0}$  — групповая скорость и  $V_g = \frac{dV_g}{dz}$ . Вводя далее автономную переменную  $\xi = (z - V_g t) / \sqrt{V_g}$  и полагая, что  $\varepsilon = \varepsilon(\xi, t)$ , из (2) легко получить

$$i \varepsilon_t + \frac{1}{2} \varepsilon_{\xi\xi} + q (|\varepsilon| - \varepsilon_0) \varepsilon = 0. \quad (3)$$

В этом уравнении индексы означают дифференцирование по соответствующей переменной и

$$q = \frac{\omega_0}{\varepsilon_0} \left\{ \frac{1}{2} \frac{\omega_i^2}{4 \omega_0^2 - k_0^2 v_s^2} - 1 \right\}.$$

Целью настоящей работы является изучение нестационарной динамики модуляционной неустойчивости электрического геликона, описывае-



мой НУШ [3]. При этом мы воспользуемся методом, примененным в [4] для изучения НУШ с кубической нелинейностью.

Вначале получим дисперсионное соотношение, связывающее частоту модуляции  $\Omega$  с ее волновым вектором  $k$ . Для этого представим поле в виде  $\mathbf{e} = E \exp(i\psi)$  ( $E$  и  $\psi$  — действительные функции  $\xi$  и  $t$ ). Тогда из (3) получим следующую систему уравнений:

$$E_t + E_\xi \psi_\xi + \frac{1}{2} E \psi_{\xi\xi} = 0, \quad (4a)$$

$$\psi_t - \frac{E_{\xi\xi}}{2E} + \frac{1}{2} \psi_\xi^2 - q(E - E_0) = 0. \quad (4б)$$

Представляя теперь  $E$  и  $\psi$  в виде

$$E = E_0 + \{E' \exp[i(\kappa\xi - \Omega t)] + k. c.\}, \quad \psi = \psi' \exp[i(\kappa\xi - \Omega t)] + k. c.$$

(где  $\kappa = \frac{k}{k_0} \sqrt{2\omega_0}$ ) и полагая величины  $E'$  и  $\psi'$  малыми, из (4) получаем искомое дисперсионное соотношение

$$\Omega^2 = \frac{k^2}{k_0^2} \omega_0^2 \left\{ 1 + \frac{k^2}{k_0^2} - \frac{1}{2} \frac{\omega_i^2}{4\omega_0^2 - k_0^2 v_s^2} \right\}. \quad (5)$$

Из (5) следует, что модуляционная неустойчивость электрического геликона будет осуществляться в достаточно узком интервале значений начальной амплитуды вблизи порогового значения  $E_n$ , для которого из (5) и (1) можно найти

$$\frac{E_n^2}{4\pi n_0 T_e} = \frac{1}{16} \frac{v_s^2}{c^2} \frac{\omega_i^2}{\omega_0^2}.$$

Будем изучать нестационарную динамику развития этой модуляционной неустойчивости при малом превышении начальной амплитуды  $E_0$  над пороговым значением  $E_n$ . Соответствующий параметр малости  $\Delta$  определим соотношением

$$\Delta = \left( \frac{E_0}{E_n} - 1 \right)^{1/2} \lesssim \frac{1}{2\sqrt{2}} \frac{\omega_i}{\omega_0}.$$

Тогда, ограничившись линейной стадией неустойчивости, для максимального значения инкремента получим

$$\Gamma_m = \frac{\omega_0}{2} \left\{ \frac{E_n}{E_0 - E_n} \frac{\omega_i^2}{8\omega_0^2} - 1 \right\}.$$

Это значение достигается для волновых векторов, равных

$$k = k_c \equiv \frac{k_0}{\sqrt{2}} \left[ \frac{E_n}{E_0 - E_n} \frac{\omega_i^2}{8\omega_0^2} - 1 \right]^{1/2}.$$

Вернемся к системе (4) и, ограничиваясь при ее анализе третьим порядком теории возмущений, представим  $E$  и  $\psi$  в виде

$$E = \sum_{l=0}^3 E_l \Delta^l, \quad \psi = \sum_{l=1}^3 \psi_l \Delta^l. \quad (6)$$

Тогда, подставляя (6) в (4), легко показать, что  $E_0 = \text{const}$ , а в первом порядке по  $\Delta$

$$E_1 = e(t) \exp(ix\xi) + k. c., \quad \psi_1 = \psi_1(t). \quad (7)$$



Ясно, что нелинейные члены в (4) будут генерировать гармоники основной моды  $\exp(i\alpha\xi)$ . Соответствующий гармонический анализ уравнений второго порядка малости дает

$$E_2 = E_{20} + \{E_{22} \exp(2i\alpha\xi) + k. c.\}, \quad (8a)$$

$$\psi_2 = \frac{4q}{\alpha^4} \frac{de}{dt} \exp(i\alpha\xi) + k. c., \quad (8b)$$

где

$$E_{20} = \frac{1}{q} \frac{d\psi_1}{dt} - \frac{4q}{\alpha^2} |e|^2; \quad E_{22} = \frac{2}{3} \frac{q}{\alpha^2} e^2. \quad (9)$$

Гармонический анализ третьего приближения теории возмущений приводит к следующим уравнениям:

$$\frac{d}{dt} \left\{ E_{20} + 2 \frac{q}{\alpha^2} |e|^2 \right\} = 0, \quad (10)$$

$$\frac{d^2 e}{dt^2} - \frac{\alpha^4}{4} e + \frac{7}{3} q^2 |e|^2 e = 0. \quad (11)$$

Таким образом, задача сводится к изучению уравнения (11) и нахождению функции  $e(t)$ , после чего с помощью (6)–(10) можно восстановить зависимость  $e(\xi, t)$  с точностью до  $\Delta^2$ .

С целью исследования уравнения (11) представим  $e(t)$  в виде  $e(t) = a(t) \exp[i\Phi(t)]$ , где  $a$  и  $\Phi$  — действительные функции. Тогда из (11) легко найти уравнение для  $a(t)$ :

$$a_t^2 + \frac{\alpha^2}{a^2} - \frac{\alpha^4}{4} a^2 + \frac{7}{6} q^2 a^4 = \beta. \quad (12)$$

Постоянные интегрирования  $\alpha$  и  $\beta$  определяются с помощью начальных условий следующим образом:

$$\alpha = \Omega_0 a_0^2, \quad \beta = \left( \Omega_0^2 - \frac{\alpha^4}{4} \right) a_0^2 + \frac{7}{6} q^2 a_0^4,$$

где использованы обозначения  $a(t=0) = a_0$ ,  $\Phi_t(t=0) = \Omega_0$ ,  $a_t(t=0) = 0$ .

Решение уравнения (12) можно представить в виде

$$a^2 = a_0^2 + X_1 - (X_1 - X_2) \operatorname{sn}^2 \left\{ \sqrt{\frac{7}{6} (X_1 - X_3)} qt - F(\Theta, S) \right\}, \quad (13)$$

где  $X_1 \geq X_2 \geq X_3$  — корни характеристического уравнения

$$X \left\{ X^2 + 3 \left( a_0^2 - \frac{\alpha^4}{14 q^2} \right) X - 2a_0^2 \left[ \frac{3}{7} E_n^2 \left( 1 + \frac{4 \Omega_0^2}{\alpha^4} \right) - a_0^2 \right] \right\} = 0, \quad (14)$$

а  $\operatorname{sn}(t, S)$  — функция Якоби;  $S = (X_1 - X_2)/(X_1 - X_3)$ ;  $\sin^2 \Theta = X_1/(X_1 - X_2)$ ;  $F(\Theta, S)$  — эллиптический интеграл I рода [5].

Из анализа решения (13) следует, что при  $a_0^2 = a_c^2 \equiv \frac{3}{7} E_n^2 (1 + 4 \Omega_0^2/\alpha^4)$

получаем тривиальное решение  $a \equiv a_c$ . При  $a_0^2 \neq a_c^2$  решение представляет собой периодические функции времени. Наиболее интересным представляется частный случай  $\Omega_0 = 0$ ,  $a_0^2 = \frac{6}{7} E_n^2$ . При этом решение есть колоколообразный импульс поля, имеющий вид

$$a^2 = a_0^2 ch^{-2} (k^2 \omega_0 t / k_0^2).$$

Таким образом, в зависимости от начальной амплитуды возмущения электрического геликона это возмущение на нелинейной стадии модуляционной неустойчивости может сформировать временной импульс падающей волны или же распространяться в виде периодически модулированной циркулярно-поляризованной электромагнитной волны.

Академия наук Грузинской ССР  
Институт физики

Тбилисский государственный  
университет

(Поступило 12.1.1989)

ფიზიკა

მ. პავერმანი, დ. ხასიდაშვილი

„ელექტრული ჰელიკონის“ მოდულაციური არამდგრადობის  
არასტაციონარული დინამიკა

რეზიუმე

შესწავლილია მარჯვენა პოლარიზაციის ულტრარელატივისტური ელექტრომაგნიტური ტალღის მოდულაციური არამდგრადობის არაწრფივი სტადია. ეს ტალღა („ელექტრული ჰელიკონი“) ვრცელდება მუდმივი მაგნიტური ველის გასწვრივ. ნაჩვენებია, რომ ბრტყელი ტალღის საწყისი ამპლიტუდის განსაზღვრული მნიშვნელობისას, რომელიც მცირედ აღემატება ზღურბლს, მოდულაციური არამდგრადობა იწვევს პლაზმაში ამ ტალღის დროითი იმპულსის წარმოქმნას.

PHYSICS

V. S. PAVERMAN, D. O. KHASIDASHVILI

## THE NONSTATIONARY DYNAMICS OF ELECTRIC HELICON MODULATION INSTABILITY

Summary

The nonlinear stage of modulation instability of the right-polarized ultrarelativistic electromagnetic wave, propagating along a constant magnetic field („electric helicon“) is studied. It is shown that if the initial amplitude of the plane wave slightly exceeds the threshold, the modulation instability generates a temporal impulse of this wave in plasma.

ლიტერატურა — ЛИТЕРАТУРА — REFERENCES

1. Н. А. Папуашвили, Э. Г. Цикаришвили, Н. Л. Цинцадзе. Физика плазмы, т. 6, 1980, 603.
2. N. A. Papuashvili *et al.* Plasma Phys. and Contrl. Fusion, 1985, v. 27, p. 91.
3. К. Нишикава, Н. Л. Цинцадзе, М. Ватанабе. Физика плазмы, т. 6, 1980, 1302.
4. P. A. E. M. L a n s s e s. Phys. Fluids, 1981, 24, p. 23.
5. Г. Корн, Т. Корн. Справочник по математике М., 1973, 753.

Д. К. ҚАРТВЕЛИШВИЛИ

## СКАЧКООБРАЗНЫЕ НАКЛОНЫ ПОВЕРХНОСТИ ЗЕМЛИ ПРИ БЛИЗКИХ ЗЕМЛЕТРЯСЕНИЯХ

(Представлено академиком Б. К. Балавадзе 14.7.1988)

На записях экстензометров и наклономеров, регистрирующих приливные деформации и наклоны поверхности Земли, при землетрясениях наблюдаются резкие неупругие смещения. Причиной таких смещений являются изменения упругой энергии земной коры в районе эпицентра в момент землетрясения. В настоящее время для объяснения этих явлений используется теория дислокации, которая первоначально применялась в кристаллофизике и металловедении, но после работ Стекетти [1, 2] вошла в науку о землетрясениях.

Применение методов упругой теории дислокации дает возможность исследовать разломы в земной коре, а также возникновение поверхностей упругих дислокаций и их воздействие на поле смещений на поверхности Земли. Поверхность дислокации — это поверхность, на которой нарушается непрерывность смещений [3]. В этом смысле любой разлом в теле Земли можно охарактеризовать как дислокацию огромных размеров.

В отделе земных приливов Института геофизики АН ГССР была сделана попытка для исследования дислокационных эффектов проанализировать остаточные наклоны, вызванные землетрясениями, происшедшими в районе, который ограничивается координатами:

$$\varphi = 41^{\circ},13 - 41^{\circ},43 \text{ с. ш.}; \quad \lambda = 43^{\circ},75 - 44^{\circ},00 \text{ в. д.}$$

Этот район характеризуется высокой сейсмичностью и за 1967—1986 гг. там произошло несколько сильных (Дманисское  $M=5,3$ , Параванское  $M=5,4$ ) и большое количество землетрясений с магнитудами  $M=3,6$  и выше.

Следует заметить, что часто бывает очень трудно получить качественную запись скачкообразных деформаций и наклонов, поскольку используемые при этом экстензометры и наклонометры относительно слабо реагируют на большие ускорения. Однако высокая чувствительность регистрации и близость очагов землетрясений (эпицентральное расстояние до Тбилиси 70—100 км) позволили зарегистрировать скачкообразные наклоны в Тбилиси даже от землетрясений с магнитудой  $M=3,6$ .

В табл. 1 приводятся основные параметры наиболее сильных землетрясений, для которых в Тбилиси были зарегистрированы скачкообразные наклоны и которые были использованы для изучения смещений в очаге землетрясений.

Данные этой таблицы позволили вывести соотношение, связывающее длину вектора остаточного наклона с магнитудой землетрясения:

$$M = 3,7 + 0,34 \lg |\Delta\varphi|.$$

Дислокационная поверхность создает поле смещений в области, близкой к нему, хотя никаких внешних сил на среду в этот момент не приложено. Оказалось, что поле смещений, вызванное сдвиговой дис-



Основные данные о землетрясениях

№	Дата	$\varphi$	$\lambda$	$M$	$\Delta\varphi_{c-10}$ мсек	$\Delta\varphi_{B-3}$ мсек	$\Delta\varphi$ мсек
1	22 <sup>h</sup> 35 <sup>m</sup> 8.9.1971	41°,26	44°,00	4,5	3,16	9,00	9,7
2	0 <sup>h</sup> 34 <sup>m</sup> 30.3.1974	41°,40	43°,98	3,9	6,00	5,20	7,9
3	19 <sup>h</sup> 42 <sup>m</sup> 14.3.1977	41°,40	44°,00	4,2	4,44	0,84	4,6
4	9 <sup>h</sup> 04 <sup>m</sup> 15.8.1978	41°,13	44°,00	4,6	4,40	6,00	7,4
5	8 <sup>h</sup> 44 <sup>m</sup> 13.5.1986	41°,43	43°,75	5,4	71,50	12,30	72,6

локацией, эквивалентно полю смещений, вызванному системой двойных пар сил, приложенной к элементу поверхности [3—5]. Используя этот принцип эквивалентности, можно получить выражения для полей смещения, вызванных дислокациями.

Пусть имеется поверхность дислокации  $\Sigma$ , на которой расположена точка  $P$ . Допустим, что  $\nu_l$ —нормаль к поверхности  $\Sigma$  в точке  $P(\xi_1, \xi_2, \xi_3)$  и смещение в точке  $P$  равно

$$\Delta u_k = u_k^+ - u_k^-, \quad (k = 1, 2, 3),$$

где  $u_k^+$ —смещение поверхности дислокации  $\Sigma^+$  по отношению к начальному положению, а  $u_k^-$ —смещение поверхности  $\Sigma^-$ .

Если обозначить элемент поверхности  $\Sigma$  через  $d\Sigma$ , то можно получить выражение поля смещений вне дислокаций в точках  $Q(x_1, x_2, x_3)$  в том случае, когда дислокационная поверхность расположена в полупространстве, а точка  $Q$ —на свободной поверхности этого полупространства. Если поверхность полупространства  $S$  совпадает с плоскостью  $x_3=0$  и положительная часть оси  $x_3$  направлена внутрь полупространства  $S$ , то на поверхности  $S$  для нормальных компонент напряжения будем иметь

$$\tau_{13} = \tau_{23} = \tau_{33} = 0 \quad \text{при} \quad x_3 = 0.$$

Выражение поля смещения имеет следующий вид:

$$u_m(Q) = \iint_{\Sigma} \Delta u_k(P) W_{kl}^m(P, Q) \nu_l d\Sigma, \quad (1)$$

где

$$W_{kl}^m = \frac{\lambda + \mu}{\lambda + 2\mu} \left[ \lambda \delta_{kl} \frac{\partial u_m^i}{\partial \xi_i} + \mu \left( \frac{\partial u_m^k}{\partial \xi_l} + \frac{\partial u_m^l}{\partial \xi_k} \right) \right]. \quad (2)$$

Если рассматриваемая нами упругая дислокация  $\Sigma$  вертикальна и размещается в плоскости  $\xi_3=0$ , то при допущении, что дислокационная поверхность имеет форму прямоугольника, из формулы (1) можно вывести

$$u_k(Q) = \frac{\lambda + \mu}{\lambda + 2\mu} \frac{U_3}{8\pi} \iint_{-Ld}^{LD} \left( \frac{\partial u_k^3}{\partial \xi_2} + \frac{\partial u_k^2}{\partial \xi_3} \right) d\xi_1 d\xi_3 \quad (3)$$

для вертикального разлома со скольжением по падению.



В этих уравнениях принято:  $\lambda, \mu$ —параметры Ляме;  $\delta_{ik}$ —символ Кронекера;  $U_3 = \Delta u_k(P) = u_k^+(P) - u_k^-(P) = \text{const}$ —смещение на дислокации;  $\frac{\partial u_k^m}{\partial \xi_l} + \frac{\partial u_k^l}{\partial \xi_m}$ —смещение в точке  $Q$ , вызванное двумя компланарными, взаимно перпендикулярными парами сил, приложенными в точке  $P$ .

Учитывая, что наклоны равны  $\Delta \varphi_k = \frac{\partial u_3}{\partial x_k}$  ( $k = 1, 2$ ), и подставляя выражения для  $u_k^l$  в формулу (3) из [4], можно получить

$$\frac{\partial u_3}{\partial x_1} = \frac{U_3}{2\pi} \left[ \frac{x_2 \xi_3}{s} \left( \frac{1}{s} + \frac{1}{(x_1 - \xi_1)^2 + x_2^2} \right) \right] \parallel, \quad (4)$$

$$\frac{\partial u_3}{\partial x_2} = \frac{U_3}{2\pi} \left[ \frac{\xi_3 (x_1 - \xi_1)}{x_2^2 + \xi_2^2} \left( \frac{\xi_3^2 - x_2^2}{s(x_1^2 + \xi_3^2)} + \frac{(x_1 - \xi_1)^2 + \xi_3^2}{s^3} + \frac{x_2^2 + \xi_2^2}{s((x_1 - \xi_1)^2 + x_2^2)} \right) \right] \parallel. \quad (5)$$

Здесь принято, что  $\lambda = \mu$ , подвижка по разлому однородна,  $P$  находится на поверхности дислокации,  $Q$ —на свободной поверхности полупространства,  $s^2 = (x_1 - \xi_1)^2 + x_2^2 + \xi_3^2$  и знак  $\parallel$  означает операцию

$$f(\xi_1, \xi_3) \parallel = f(L, D) - f(L, d) - f(-L, d) + f(-L, D).$$

С использованием данных табл. 1 по формулам (4) и (5) была составлена система из двух уравнений с двумя неизвестными:  $U_3$ —смещение на дислокации и  $\alpha$ —азимут поверхности дислокации. Согласно Ф. Прессу [4], здесь было принято, что  $D \approx L \sim \sqrt{E}$ .

По сейсмическим данным были известны также значения  $d = 10$  км. При вычислениях предполагалось, что для всех землетрясений эпицентрального расстояния до Тбилиси  $\Lambda = 100$  км и азимут направления на эпицентр из Тбилиси  $\kappa = -110^\circ$ .

Результаты вычислений приведены в табл. 2.

Т а б л и ц а 2

Дата	$M$	$\alpha$	$L=D$ км	$U_3$ м
8.9.1971	4,5	120°	23,5	1,75
14.3.1977	4,2	60°	20,0	3,65
15.8.1978	4,6	40°	24,6	0,91
13.5.1986	5,4	60°	30,0	8,97

В заключение следует отметить, что поля смещений достаточно велики, чтобы определять их значения на больших расстояниях, и применение дислокационной теории позволяет вычислять остаточные смещения на поверхности дислокации, вызванные сильными землетрясениями.

დ. კარტველიშვილი

ახლოგეოლოგიური მიწისძვრებით გამოწვეული დედაქვივის ზედაპირის  
 ნახტომისებური დახრებები

რეზიუმე

რღვევების დისლოკაციის თეორიის გამოყენებით გამოთვლილია ნარჩენი გადაადგილებები, გამოწვეული ახლო ( $\sim 100$  კმ) მიწისძვრებით. 1986 წ. 13 მაისის ფარავნის ( $M=5,4$ ) მიწისძვრით გამოწვეული ნარჩენი დახრები თბილისში ტოლი იყო 72,6 msec, ხოლო დისლოკაციის ზედაპირის შესაბამისმა გამოთვლილმა გადაადგილებამ შეადგინა დაახლოებით 9 მ.

GEOPHYSICS

D. K. KARTVELISHVILI

### STEP WISE TILTS AT NEAR EARTHQUAKES

Summary

The dislocation theory of faulting is used to compute the residual displacement caused by near ( $\sim 100$  km) earthquakes. It is shown that the displacement fields are large enough to be detected by modern tiltmeters. The residual tilt from the Paravani earthquake ( $M=5,4$ ) of May 13, 1986, observed in Tbilisi, amounted to 72.6 msec., and the computed displacement on the dislocation surface appeared to be  $\sim 9$  m.

ლიტერატურა — ЛИТЕРАТУРА — REFERENCES

1. J. A. Steketee. Can. J. Phys. 36, p. 1168—98. 1958.
2. J. A. Steketee. Can. J. Phys. 36, p. 192—205. 1958.
3. К. Касахара. Механика землетрясений. М., 1985.
4. F. Press. JGR. vol. 70, № 10, 1965 p. 2395—2412.
5. Л. Д. Ландау, Е. М. Лифшиц. Теория упругости. М., 1965.

А. Н. ТАРИЕЛАДЗЕ, П. В. МАНДЖГАЛАДЗЕ, З. А. КВАТАДЗЕ

## О СВЯЗИ ЭМИ С ДЕФОРМАЦИЯМИ В ПЕРИОД ПАРАВАНСКОГО ЗЕМЛЕТРЯСЕНИЯ 13 МАЯ 1986 ГОДА

(Представлено академиком Б. К. Балабадзе 25.7.1988)

Изменения параметров естественного электромагнитного излучения (ЭМИ), зарегистрированные в последние часы-сутки до многих крупных сейсмических событий, дают основание считать, что энергия процесса подготовки землетрясения имеет также электромагнитную составляющую [1].

Для определения механизма генерации ЭМИ при землетрясениях целесообразно установить связь параметров электромагнитного излучения с основными сейсмическими параметрами. Однако уже первые попытки такого рода показали, что это вызывает значительные трудности. Дело в том, что практически невозможно разделить степень влияния таких сейсмических характеристик, как магнитуда, эпицентральное расстояние, глубина очага и т. д., на какой-нибудь параметр поля ЭМИ, например интенсивность, спектр, энергия и т. п. Поэтому совершенно закономерно стремление исследователей связать параметры ЭМИ со средневзвешенными характеристиками сейсмичности. К последним относится, например, рассчитанная деформация, вызванная сейсмическими событиями в точке расположения пункта наблюдений ЭМИ [2]. При таком подходе одновременно можно учесть эффект влияния магнитуды землетрясения и эпицентрального расстояния. Для вычисления указанных деформаций пользуются формулами, предложенными в работе [3]:

$$\epsilon = \frac{10^{1.5 M - 9.18}}{r^3} \quad \text{при } M < 5$$

и

$$\epsilon = \frac{10^{1.3 M - 8.19}}{r^3} \quad \text{при } M \geq 5,$$

где  $r$  — эпицентральное расстояние, измеряемое в километрах. Магнитуда  $M$  определяется по поверхностным волнам. При необходимости можно пользоваться также энергетическим классом землетрясений [4].

Наблюдения ЭМИ проводились в подземном пункте в пещерном комплексе Вардзия (Южная Грузия). Аппаратура и методика наблюдений описаны в работе [5].

На рис. 1 приведен график изменения во времени количества импульсов ЭМИ в диапазоне 1—10 кГц в период конец апреля — конец мая 1986 г. График представляет собой скользящее среднее за 3 суток значения количества импульсов с шагом 1 сутки.

Основным сейсмическим событием, происшедшим за этот промежуток, было Параванское (13 мая 1986 г.) землетрясение ( $\varphi = 41^{\circ}27'$ ,  $\lambda = 43^{\circ}42'$ ,  $M = 5.8$ ). Эпицентральное расстояние от пункта наблюдений составляло  $\sim 30$  км. На рис. 2 представлен график скользящего среднего за 3 суток с шагом 1 сутки значения рассчитанных деформаций  $\epsilon$ . При выборе сейсмических событий для расчета мы руководствовались



рекомендациями работы [2]. Таким образом, за «фоновые значения» была выбрана деформация  $10^{-11}$ .

Сравнение графика среднего значения количества электромагнитных импульсов  $X = (x_1; x_2; \dots; x_{33})$  за период 27 апреля—29 мая 1986 г. с графиком деформаций  $Y = (y_1; y_2; \dots; y_{33})$ , вызванных близкими и удаленными землетрясениями в пункте наблюдения «Вардзия» ( $\varphi = 41^\circ 47'$ ;  $\lambda =$

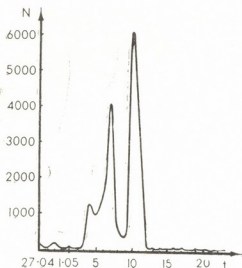
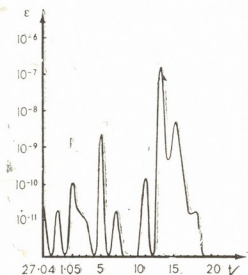


Рис. 1. Изменение количества импульсов ЭМИ во времени

$= 43^\circ 31'$ ), показывает, что экстремальные значения массива количества импульсов ЭМИ  $X = (x_i; i = \overline{1,33})$  опережают экстремальные значения массива деформаций  $Y = (y_i; i = \overline{1,33})$ .

Рис. 2. Изменение деформаций во времени



Для подтверждения этого был вычислен коэффициент корреляции  $\rho$  между  $X$  и  $Y$ , который выражается формулой

$$\rho = \frac{\sum_{i=1}^{33} x_i y_i - \left( \sum_{i=1}^{33} x_i \right) \left( \sum_{i=1}^{33} y_i \right) / 33}{\left[ \left( \sum_{i=1}^{33} x_i^2 - \left( \sum_{i=1}^{33} x_i \right)^2 / 33 \right) \left( \sum_{i=1}^{33} y_i^2 - \left( \sum_{i=1}^{33} y_i \right)^2 / 33 \right) \right]^{1/2}} \quad (1)$$

Максимальное значение коэффициента достигается при относительном смещении массивов на 3 дня. При этом коэффициент корреляции принимает значение  $\rho_3 = 0,737$ .



В качестве нулевой гипотезы мы приняли предположение, что исследуемые величины не коррелированы, т. е.  $\rho=0$ . Для проверки этого факта был использован критерий Стьюдента:

$$t = r \sqrt{\frac{v}{1-r^2}}, \quad (2)$$

где  $r = \rho_3 = 0,737$  и число степеней свободы  $v = n - 2 = 28$ , показавший, что  $t = 5,76$ . По двустороннему критерию с уровнем значимости  $t(0,05\%; 28) = 3,6739$ . Значит, гипотеза независимости должна быть отвергнута.

Таким образом, можно считать, что изменение количества импульсов ЭМИ в диапазоне 1—10 кгц, зарегистрированное в Вадзния, действительно вызвано сейсмическими процессами в период подготовки Параванского землетрясения. Интересно проверить, насколько время упреждения активностью ЭМИ сейсмогенных деформаций согласуется с эмпирической зависимостью между временами возникновения электромагнитных предвестников и магнитудой. По формуле С. И. Зубкова [6], аномалия ЭМИ должна возникать за 2—6 дней до землетрясения с  $M = 5,8$ . Рассчитанные нами времена смещения между массивами количества импульсов ЭМИ и деформаций  $X$  и  $Y$  попадают в этот интервал.

Академия наук Грузинской ССР  
Институт геофизики

(Поступило 8.9.1988)

გეოფიზიკა

ა. ტარიელაძე, პ. მანჯგალაძე, ჯ. კვათაძე

ფარავანის 1986 წ. 13 მაისის მიწისძვრის პერიოდში  
ელექტრომაგნიტური გამოსხივების დროგამაგნიტებთან კავშირის  
შესახებ

რეზიუმე

გამოკვლეულია კორელაციური კავშირი ელექტრომაგნიტური გამოსხივების იმპულსთა რაოდენობის ვარიაციასა და გამოთვლილ სეისმოგენურ დეფორმაციებს შორის. ნაჩვენებია, რომ კორელაციის ოპტიმალური კოეფიციენტი აღწევს 0,737-ს, როცა ფარდობითი დროითი წანაცვლება შეადგენს 3 დღეს. ეს წანაცვლება კარგად ეთანხმება ემპირიულ დამოკიდებულებას ელექტრომაგნიტური გამოსხივების წინამორბედი ანომალიების წარმოქმნის დროსა და მიწისძვრის მაგნიტუდას შორის.

G E O P H Y S I C S

A. N. TARIELADZE, P. V. MANJGALADZE, Z. A. KVATADZE

ON THE RELATIONSHIP BETWEEN ELECTROMAGNETIC  
EMISSION AND STRAIN DURING PARAVANI EARTHQUAKE  
OF 13. 05. 1986.

S u m m a r y

The correlation between the number of pulses of EME and calculated seismogenic strain was studied. It is shown that the correlation coefficient is equal to 0,737 at the relative time shift of days. This time shift corresponds well to the empirical relationship between the precursor time of EME and earthquake magnitude.



1. М. Б. Гохберг, В. А. Моргунов, И. В. Матвеев. Оперативные электромагнитные предвестники землетрясений. М., 1985, 115.
2. М. Б. Гохберг, И. В. Матвеев, В. А. Моргунов. Прогноз землетрясений, № 7, 1986.
3. И. П. Добровольский. Механика подготовки тектонического землетрясения. М., 1984.
4. Э. А. Джибладзе. Энергия землетрясений. Сейсмический режим и сеймотектонические движения Кавказа. Тбилиси 1980.
5. F. Vella *et al.* Il Nuovo Cimento, 10 C, 5, 1987.
6. С. И. Зубков. Изв. АН СССР, сер. «Физика Земли», 5, 1987.



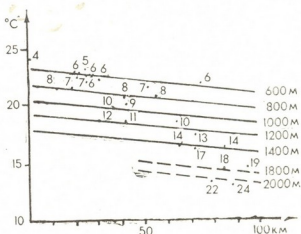
Э. Ш. ЭЛИЗБАРАШВИЛИ

## О ВЛИЯНИИ МАССИВНОСТИ БОЛЬШОГО КАВКАЗА НА ПОЛЕ ТЕМПЕРАТУРЫ

(Представлено академиком Б. К. Балавадзе 30.5.1988)

Создание надежной базы климатологической информации для горных районов Кавказа, необходимой в связи с освоением этих районов, требует всесторонней оценки климатообразующего влияния горного рельефа. В предыдущих наших исследованиях были выполнены подробные оценки климатообразующего влияния высоты местности [1, 2], крутизны и экспозиции склонов [3], а также всего комплекса морфометрических факторов рельефа [4]. Ниже рассматривается влияние массивности гор Главного Кавказского хребта на приземное поле температуры.

Рис. 1. Зависимость средней месячной температуры воздуха от высоты местности и расстояния до широты Тбилиси. Центральная часть Южного склона Большого Кавказа. Июль. Цифры у точек обозначают высоту станции в сотнях метров



На рис. 1 представлен пример комплексной зависимости средней месячной температуры воздуха от высоты и широты местности для центральной части Южного склона Большого Кавказа. Подобные зависимости, построенные для различных районов и сезонов года, позволили оценить вклады вертикальной и горизонтальной составляющих температурного градиента (см. табл. 1).

Составляющие градиента температуры на Южном склоне Большого Кавказа

Составляющие	Западная часть		Центральная часть	
	Январь	Июль	Январь	Июль
Вертикальная, °C/100 м	0—50—0,52	0,53—0,55	0,53—0,54	0,62—0,66
Широтная, °C/100 км	1,0—1,1	2,0—2,3	1,0	2,0—2,2





Если учесть, что средний планетарный градиент температуры равен  $0,5^\circ$  на 100 км, то влияние массивности гор Кавказа летом определяется величиной, равной  $1,5-1,8^\circ\text{C}$  на 100 км.

Представленные в таблице данные послужили основой для построения полей температуры, приведенных к высоте и широте Тбилиси. Данные станций, расположенных на Колхидской низменности, приведены к высоте Тбилиси с помощью вертикальных градиентов, обоснованных в [2]. Использованы данные наблюдений 50 метеорологических станций.

Полученное, с учетом изложенных условий, поле летних температур является однородным. Величины средних месячных температур июля изменяются в диапазоне не более  $1^\circ$  и составляют  $24-25^\circ\text{C}$ . Хотя наименьшие температуры преобладают на западе, все же значимый допотопный эффект не обнаруживается.

Поле зимних температур характеризуется исключительной неоднородностью, величины температур меняются в пределах от 0 до  $5^\circ\text{C}$ . Существенное повышение температуры отмечается в западной части Кавказа и на Колхидской низменности.

Причину столь существенного возрастания температуры на западе в холодный период года следует искать не только в оттепляющем влиянии Черного моря, но и в сезонном характере синоптических процессов атмосферы. Летом преобладающими являются западные процессы, их повторяемость составляет 54%, практически не наблюдаются вторжения воздушных масс с востока [2]. Западные процессы последовательно распространяются на всей территории Грузии и вызывают некоторое сглаживание поля температуры, вследствие чего не обнаруживается долготный эффект.

Зимой повторяемость западных процессов уменьшается и активизируются восточные процессы, при которых в Восточной Грузии преобладает пасмурная погода с низкими облаками слоистых форм, туманами, осадками и понижением температуры. Восточные процессы не оказывают существенного влияния на Западную Грузию, где удерживается преимущественно ясная, сухая погода с повышенными температурами, что и отражается на поле январских температур.

Результаты анализа трендов температуры показали, что вековой ход температуры в Тбилиси в основных чертах согласуется с вековым ходом, характерным для внеэкваториальной зоны северного полушария [5]. Вместе с тем, естественная изменчивость атмосферных процессов часто в ходе температур проявлялась слабо или имела второстепенное значение. Более того, начиная с 50-х годов, в период похолодания температура воздуха в Тбилиси резко повысилась (особенно в холодный период года). Причиной этого являлось влияние городских условий.

В горной и высокогорной зонах (Гудаури, Казбег) закономерного повышения температуры за этот период не отмечалось. Не отмечалось также закономерного падения температуры, обусловленного эпохой похолодания. Таким образом, в ходе ступенчатых трендов температуры в горах слабее, чем в низинах, проявляется естественная изменчивость атмосферных процессов. Более того, на общем фоне потепления в низинной зоне в горах может наблюдаться даже похолодание. На это впервые было обращено внимание Ф. Ф. Давитая [6], объяснившего такую разность особенностями характера подстилающей поверхности в горах с наличием ледников.

Такой характер изменения трендов температуры воздуха в различных высотных зонах позволил установить зависимость изменчивости вертикального градиента температуры от изменчивости температуры на исходном уровне (см. рис. 2).



Из рис. 2 следует, что зависимость летом имеет линейный характер, а зимой близка к гиперболической. Сложный характер зависимости в зимний период, очевидно, связан с характерными для зимы мощными температурными инверсиями [1].

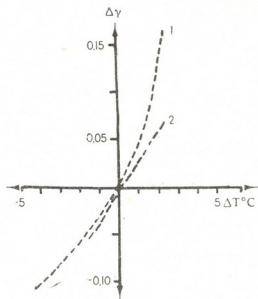


Рис. 2. Зависимость отклонения вертикального градиента температуры от отклонения температуры на исходном уровне относительно многолетних данных

Методом наименьших квадратов выполнены оценки параметров многочленов и установлены следующие виды зависимостей:

$$\Delta\gamma_1 = 0,006 \Delta T_1^2 + 0,007 \Delta T_1 - 0,002,$$

$$\Delta\gamma_2 = 0,028 \Delta T_2 - 0,013,$$

где индексы 1 и 2 соответствуют январю и июлю.

С учетом составляющих градиентов и полученных формул рассчитаны фоновые значения температуры воздуха и ее изменчивости в высокогорной зоне Главного Кавказского хребта.

НИИ курортологии физиотерапии  
Грузинской ССР

(Поступило 2.6.1988)

გამოცემა

ე. ელიაბაძე

დიდი კავკასიონის მასივობის გავლენის შესახებ ტემპერატურის ველზე

რეზიუმე

გამოყოფილია ტემპერატურის გრადიენტის ვერტიკალური და ჰორიზონტალური მდგენელები. მიღებულია ტემპერატურის ველები დაყვანილი სიმაღლისა და განედის საერთო დონეებზე, შეფასებულია შავი ზღვის და ატმოსფეროს სინოპტიკური პროცესების გავლენა ტემპერატურის ველზე. გამოკვლეულია ტემპერატურის საუკუნითი სვლა სხვადასხვა სიმაღლით სარტყელში.

E. Sh. ELIZBARASHVILI

ON THE EFFECT OF THE GREATER CAUCASUS MASSIVENESS  
UPON THE TEMPERATURE FIELD

## Summary

The paper deals with the determination of horizontal and vertical constituents of temperature gradients and fields of reduced temperatures, evaluation of the influence of the Black Sea and atmospheric synoptic processes upon the temperature field, and investigation of the secular course of temperature in different altitudinal zones.

## ლიტერატურა — ЛИТЕРАТУРА — REFERENCES

1. Э. Ш. Элизбарашвили. Изв. АН СССР, сер. геогр., № 4, 1978, 97—104.
2. З. Б. Хведелидзе, Э. Ш. Элизбарашвили. Влияние рельефа на атмосферные процессы. Тбилиси, 1984, 47.
3. Э. Ш. Элизбарашвили. Изв. АН СССР, сер. геогр., № 2, 1984, 77—84.
4. Э. Ш. Элизбарашвили, Т. В. Хеладзе. Изв. АН СССР, сер. геогр., № 1, 1988, 106—112.
5. М. И. Будыко. Климат в прошлом и будущем. Л., 1989, 350.
6. Ф. Ф. Давитая. Изв. АН СССР, сер. геогр., № 6, 1972, 3—12.

З. В. ХВЕДЕЛИДЗЕ, Э. Ш. ЭЛИЗБАРАШВИЛИ, Т. В. ХЕЛАДЗЕ

К ОБЪЕКТИВНОЙ КЛАССИФИКАЦИИ ГОРНЫХ  
 МЕТЕОРОЛОГИЧЕСКИХ СТАНЦИЙ ПО МЕСТОПОЛОЖЕНИЮ

(Представлено академиком Б. К. Балавадзе 1.4.1988)

Выполненные в последние годы работы по горной климатологии Средней Азии и Закавказья [1, 2] позволили близко подойти к проблеме объективной классификации горных метеорологических станций.

В работе [2] разработана схема классификации горных метеорологических станций по местоположению. Однако в ней морфометрические факторы рельефа представлены дискретно, нет обоснованного деления критериев на градации. Характеристика же станций набором морфометрических факторов рельефа не означает их классификации. Объективная классификация подразумевает установление строгих границ между различными классами морфометрических факторов рельефа. Границы классов обосновываются с учетом статистических связей и доверительных интервалов информативных морфометрических факторов рельефа, выявленных ранее для Южного склона Большого Кавказа [3].

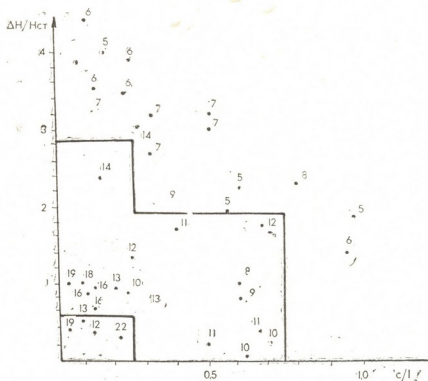


Рис. 1. Зависимость  $\frac{l_{ст}}{l}$  и  $\frac{\Delta H}{H_{ст}}$  от высоты местности по материалам [3]. Цифры у точек обозначают высоту местности в сотнях метров

Из рис. 1 следует, что станции с высотой более 2000 м (будем их называть высокогорными) расположены лишь в верхней части долины, где  $\frac{l_{ст}}{l} < 0,25$ , станции с высотой 1000—2000 м (среднегорные) распо-

ложены как в верхней части долины, так и в ее центре, где  $\frac{l_{ст}}{l} \leq 0,75$ , а в нижней части долины, где  $\frac{l_{ст}}{l} > 0,75$ , имеем одни низкогорные станции с высотой менее 1000 м. В соответствии с этими критериями выделены следующие классы: верховье долины ( $\frac{l_{ст}}{l} \leq 0,25$ ), ее центральная часть ( $0,26-0,75$ ) и низовье долины ( $\frac{l_{ст}}{l} \leq 0,75$ ).

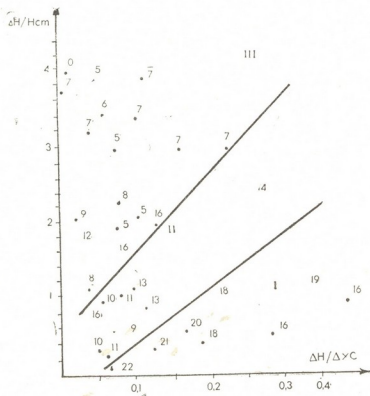


Рис. 2. Зависимость  $\frac{\Delta H}{H_{ст}}$  В и  $\frac{\Delta H}{\Delta x}$  С от высоты местности по материалам [3]. Обозначения те же, что на рис. 1

Из того же рисунка следует, что  $\frac{\Delta H}{H_{ст}}$  В в верховьях долин для высокогорных станций составляет менее 0,5, для среднегорных станций изменяется в диапазоне от 0,5 до 2,8 (при этом здесь преобладают станции верхнего пояса среднегорной зоны с высотой более 1500 м), а для низкогорных станций превышает 2,8. В центральной части долины высокогорные станции отсутствуют; для большинства среднегорных станций (преимущественно нижнего пояса, с высотой менее 1500 м)  $\frac{\Delta H}{H_{ст}}$  В составляет менее 1,9, а для низкогорных станций — более 1,9. В низовьях долин расположены лишь низкогорные станции. Эти критерии используются для выделения границ высотных зон.

На рис. 2 четко выделяются три зоны зависимости  $\frac{\Delta H}{H_{ст}}$  и  $\frac{\Delta H}{\Delta x}$  от высоты местности. Первая зона соответствует районам, высота которых приближается к 2000 м или превышает ее, вторая зона ох-

ватувает основную часть среднегорных станций, а в третьей зоне преобладают низкогорные станции.

Средняя защищенность (экранированность) для станций первой зоны составляет 0,20, а для станций третьей зоны — 0,5. Эти критерии положены в основу классификации станций по защищенности.

Схема классификации горных метеорологических станций по местоположению  
для Южного склона Большого Кавказа

Параметр	Градация	Словесная характеристика	Код
$\frac{X}{L}$	0—0,20	Западная периферия горной системы	1
	0,21—0,40	Западная часть	2
	0,41—0,60	Центральная " "	3
	0,61—0,80	Восточная " "	4
	0,80—1,00	Восточная периферия " "	5
$\frac{I_{ст}}{l}$	0—0,25	Верхнее долины	6
	$\frac{\Delta H}{H_{ст}} < 0,25$	а) высокогорная зона	6а
$\frac{I_{ст}}{l}$	$\frac{\Delta H}{H_{ст}} = 0,25—2,8$	б) среднегорная зона (верхний пояс)	6б
	$\frac{\Delta H}{H_{ст}} > 2,8$	в) низкогорная зона	6в
$\frac{I_{ст}}{l}$	0,26—0,75	Центральная часть долины	7
	$\frac{\Delta H}{H_{ст}} < 1,9$	б) среднегорная зона (нижний пояс)	7б
$\frac{I_{ст}}{l}$	$\frac{\Delta H}{H_{ст}} > 1,9$	в) низкогорная зона	7в
	0,76—1,00	Низовье долины	8
$\frac{s_{ст.д.}}{s_{ст.д.}}$	$> 1,00$	Низкогорная зона	8в
	$< 0$	За пределами долины	9
	$= 0—0,25$	Правый склон	10
$\frac{s}{l}$	$= 0,26—0,75$	Подножье правого склона	11
	$= 0,76—1,00$	Ось долины	12
	$> 1,00$	Подножье левого склона	13
		Левый склон	14
$\frac{s}{l}$	$= 0—0,25$	Ущелье	15
	$= 0,26—0,75$	Долина	16
	$\geq 0,76$	Котловина	17
$\frac{\Delta H}{\Delta x}$	$= 0, —0,05$	Малая защищенность	18
	$= 0,06—0,20$	Умеренная защищенность	19
	$\geq 0,21$	Значительная защищенность	20

При выделении критериев для остальных морфометрических факторов рельефа надежные статистические связи не обнаружены. Доверительные границы критериев, соответствующих центральной части горной системы, обоснованы с помощью параметра

$$\varepsilon = t(p, k) \frac{\sigma}{\sqrt{n}}, \quad (1)$$

где  $\varepsilon$  — доверительный интервал,  $t(p, k)$  — параметр Стьюдента,  $\sigma$  — средняя квадратическая ошибка,  $n$  — число станции,  $k$  — число степеней свободы.

Подставляя в (1) соответствующие значения о надежности  $P+0,99$ , получаем  $\varepsilon = 2,704 \frac{0,19}{\sqrt{42}} = 0,08$ .



Следовательно, в качестве центральной части горной системы Кавказа в конкретном случае можно принять интервал  $0,50 \pm 0,08$ , т.е. границами данного класса являются 0,40 и 0,60 (среднее значение  $\frac{X}{L}$  близко к 0,50). Если  $\frac{X}{L} < 0,40$ , то имеем западную часть, а при  $\frac{X}{L} > 0,60$  — восточную часть горной системы Кавказа.

В этих классах следует выделить периферийные части, где наиболее четко проявляется влияние Черного моря (запад) или, наоборот, усиливается континентальность (восток).

Классификация формы рельефа  $\left(\frac{s}{l}\right)$  и местоположения относительно оси долины  $\left(\frac{s_{\text{ц}}}{s_{\text{сг.д}}}\right)$ , обоснованная с учетом их изменчивости, представлена в таблице.

Разработанный принцип объективной классификации горных метеорологических станций может быть использован при рациональном планировании сети метеорологических станций в горах, подборе станций-дублеров, реперных станций и др.

Академия наук Грузинской ССР  
Институт геофизики

Тбилисский государственный университет  
НИИ курортологии и физиотерапии Грузии

(Поступило 22.4.1988)

გეოფიზიკა

ზ. ხვედელიძე, ე. შ. ელიზბარაშვილი, თ. ხელადე

მთის მებთმორგოლოგიური სადგურების ობიექტური კლასიფიკაციის  
აღრიგდებარემოგის მიხედვით

რეზიუმე

მთავარი კავკასიონის სამხრეთ ფერდობის მაგალითზე დამუშავებულია მთის მეტეოროლოგიური სადგურების ობიექტური კლასიფიკაციის პრინციპი, დამყარებული რელიეფის მორფომეტრიული ფაქტორების ურთიერთკავშირებზე.

GEOPHYSICS

Z. V. KHVEDELIDZE, E. Sh. ELIZBARASHVILI, T. V. KHELADZE

## UNBIASED CLASSIFICATION OF MOUNTAIN METEOROLOGICAL STATIONS BY THEIR SITES

Summary

The principle of unbiased classification for mountain meteorological stations based on statistical relationship of the terrain morphometric factors has been worked out, with the southern slope of the Greater Caucasus used as an example.

ლიტერატურა — ЛИТЕРАТУРА — REFERENCES

1. Т. В. Хеладзе, Э. Ш. Элизбарашвили, Д. В. Гогнашвили. Сообщения АН ГССР, 126, № 3, 1987.
2. С. Г. Чанышева, О. И. Субботина. Метеорология и гидрология, № 3, 1987.
3. Э. Ш. Элизбарашвили, Т. В. Хеладзе. Изв. АН СССР, сер. геогр., № 1, 1988.



ОБЩАЯ И НЕОРГАНИЧЕСКАЯ ХИМИЯ

Г. Г. ДЖИНЧАРАДЗЕ, С. Н. ПАПУАШВИЛИ, М. А. ГОРДАДЗЕ,  
К. Г. ГОЗАЛИШВИЛИ

ПРИМЕНЕНИЕ ПОРОШКОВОГО ПОЛНОПРОФИЛЬНОГО  
РЕНТГЕНОСТРУКТУРНОГО АНАЛИЗА ПРИ ИЗУЧЕНИИ  
ЦЕМЕНТНОГО КЛИНКЕРА

(Представлено членом-корреспондентом Академии Г. В. Цинцадзе 28.9.1988)

Разработка новых строительных материалов различного назначения все более опирается на изучение фундаментальных взаимосвязей структурных характеристик и других физико-химических свойств веществ. Наиболее полную информацию о структурном состоянии вещества дает рентгеноструктурный анализ поликристаллических объектов. Применение вычислительной техники для обработки данных и автоматизация эксперимента создает дополнительные возможности для надежного, прецизионного и экспрессного решения широкого круга структурных задач. При этом весьма актуальными являются качественный и количественный фазовый анализ, индцирование порошковых дифрактограмм и определение параметров решетки, размеров частиц, механических напряжений и т. д.

Во время технологического процесса природные материалы, входящие в состав сырьевых смесей, претерпевают сложные изменения с образованием различных минеральных фаз, составляющих основу технических продуктов. Колебания минерального состава могут быть весьма разнообразны как качественно, так и количественно, что дает заметное различие в физико-химических свойствах.

Сравнительно новым средством для получения информации по этим вопросам является метод порошкового полнопрофильного рентгеноструктурного анализа (ППА) [1].

Этот метод по программе «Поликристалл», разработанный в Институте катализа СО АН СССР, был опробован нами на цементном клинкере Руставского цементного завода.

Эксперимент проводился на рентгеновских дифрактометрах ДРОН-3 и НВГ с использованием  $\text{CuK}_\alpha$ - и  $\text{CuK}_\beta$ -излучений соответственно. При съемке использовались две системы щелей Соллера с углом расходимости 2:30. Условия съемки  $\tau = 10$ ,  $v = \frac{1}{8}$ , время экспозиции  $1 \times 10$ , скорость бумаги 1 мм/мин.

Рентгенофазовый анализ показал, что образцы в основном содержат трехкальцевый силикат и браунмиллерит:



Для расчета теоретических дифрактограмм были использованы структурные данные (параметры ячейки, пространственная группа





симметрией, координаты атомов) для синтетических  $C_3S$  и  $C_4AF$ , приведенные в работах [2, 3].

Расчет проводился на ЭВМ-ЕС8040. В частности, были рассчитаны межплоскостные расстояния, интенсивности и дифракционные индексы для  $C_3S$  и  $C_4AF$ .

Результаты расшифровки дифрактограммы, снятой для ППА с разделением наложившихся дифракционных максимумов, с получением независимых интегральных интенсивностей, и теоретические данные приведены в таблице.

Теоретическая и экспериментальная рентгенограммы образца цементного клинкера для ППА

Фазы	$2\theta_{\text{эк}}$	$2\theta_{\text{теор}}$	$d\beta_{\text{эк}}$	$d\beta_{\text{теор}}$	$I_{\text{эк}}$	$I_{\text{теор}}$	$hkl_{\text{теор}}$
$C_4AF$	10,95	11,019	7,289	7,250	60	75	020
$C_3S$	26,44	26,406	3,044	3,047	20	28	141
$C_3S$	26,67	26,61	3,019	3,025	100	50	303
$C_3S$	27,087	26,989	2,973	2,983	10	11	204
$C_3S$	29,075	29,073	2,773	2,773	35	39	044
$C_3S$	29,287	20,205	2,754	2,761	50	46	012
$C_3S$	29,419	29,438	2,741	2,739	35	43	402
$C_4AF$	30,387	30,554	2,657	2,641	10	100	141
$C_3S$	30,95	30,852	2,608	2,617	35	35	105
$C_3S$	34,938	34,886	2,319	2,325	10	26	501
$C_4AF$	37,537	37,739	2,163	2,159	15	25	442
$C_3S$	42,075	42,069	1,939	1,939	20	22	600
$C_4AF$	42,098	42,105	1,937	1,937	15	10	202
$C_4AF$	42,275	42,305	1,930	1,829	50	50	080
$C_4AF$	43,85	43,852	1,863	1,864	10	16	222
$C_4AF$	45,505	45,170	1,80	1,812	10	23	080

Наблюдаемые небольшие отклонения между теоретическими и экспериментальными интенсивностями, а также межплоскостными расстояниями однозначно указывают на то, что структура исследуемого объекта отличается от механических смесей синтетических  $C_4AF$  и  $C_3S$ .

Для объяснения причины отличия был применен метод проб и ошибок. При неизменных координатах атомов менялись атомные факторы и рассчитывались факторы расходимости  $R$ .

Как показал расчет, минимальное значение  $R$ -фактора получается, если атомы алюминия заменить атомами магния. В частности, атомы магния занимают в ромбоэдрической ячейке четырехкратную позицию с относительными координатами  $x=0,9280$ ;  $y=0,2500$ ;  $z=0,9450$ .

Замещение атомов алюминия на магний подтверждается химическим анализом образцов, указывающим на высокое содержание магния в образце.

Таким образом, можно констатировать, что даже неполное использование возможностей метода полнопрофильного анализа по программе «Поликристалл» показывает интересную перспективу его дальнейшего применения.

КНИИСМ «ГрузНИИстром»

(Поступило 13.10.1988)

ბ. ჯინჩარაძე, ს. პაპუაშვილი, მ. გორდაძე, ძ. გოზალიშვილი

ფხვნილური სრულპროფილიანი რენტგენოსტრუქტურული ანალიზის გამოყენება ცემენტის კლინკერის შემსწავლაში

რეზიუმე

სრულპროფილიანი რენტგენოსტრუქტურული ანალიზის მეთოდი აპრობირებულია ცემენტის კლინკერის მიმართ. ძირითადი მინერალების  $C_3S$  და  $C_4AF$  შესწავლისას გამოიჩინა, რომ  $C_4AF$ -ის ნაწილში ალუმინის ატომები ჩანაცვლებულია მაგნიუმით.

GENERAL AND INORGANIC CHEMISTRY

G. G. JINCHARADZE, S. N. PAPUASHVILI M. A. GORDADZE,  
K. G. GOZALISHVILI

APPLICATION OF THE POWDER FULL-PROFILE X-RAY  
DIFFRACTION ANALYSIS IN THE STUDY OF CEMENT CLINKER

Summary

The method of full-profile X-ray diffraction analysis was applied to the cement clinker of the Rustavi cement plant. A study of  $C_3S$  and  $C_4AF$  base minerals showed that in  $C_4AF$  the atoms of aluminium are replaced by the Atoms of Magnium.

ლიტერატურა — ЛИТЕРАТУРА — REFERENCES

1. Сб. «Рентгеноструктурный анализ поликристаллов (полнопрофильный анализ)». Элиста, 1986.
2. Н. И. Головастиков, Р. Г. Матвеев, Н. В. Белов. Кристаллография, 20, № 4, 1975.
3. E. T. Veriaut. Blum P. "Acta Cryst.", 13, 12, 1959.



ОБЩАЯ И НЕОРГАНИЧЕСКАЯ ХИМИЯ

З. Б. ЧАЧХИАНИ, Э. У. ЦУЦКИРИДЗЕ, Л. Г. ЧАЧХИАНИ,  
 А. В. ПЕЧЕННИКОВ, А. С. КАШИНЦЕВ

МАГНИТНЫЕ СВОЙСТВА ТВЕРДЫХ РАСТВОРОВ СИСТЕМЫ  
 $\text{ErFe}_2 - \text{ErNi}_2$

(Представлено членом-корреспондентом АН ГССР Г. В. Цинцадзе 10.7.1988)

Настоящая работа посвящена исследованию магнитных свойств соединений эрбия с 3d-металлами и их твердых растворов, обладающих кубической структурой типа  $\text{MgCu}_2$  (С 15), а именно соединений  $\text{ErFe}_2$ ,  $\text{ErNi}_2$  и псевдобинарных соединений системы  $\text{ErFe}_2 - \text{ErNi}_2$ , где  $x = 5; 15; 15; 20; 25; 30; 40; 50; 60; 70; 75; 80; 85; 90$ ; и  $95 \text{ ErNi}_2$ .

Образцы готовились в дуговой печи в атмосфере аргона. Гомогенизирующий отжиг проводился в двойных вакуумированных кварцевых ампулах при 1150 К в течение одного месяца. Рентгенофазовый и микроструктурный анализы показали, что все образцы имеют кубическую фазу С15 и их параметры хорошо согласуются с литературными данными [1]. Во всех сплавах присутствует небольшое количество второй фазы. Магнитные свойства синтезированных образцов исследовались в температурном интервале 80—1000 К в магнитных полях напряженностью до 12 кЭ. В области низких температур измерения осуществлялись с помощью вибрационного магнитометра, а при температурах выше ферромагнитной температуры Кюри использовались маятниковые магнитные весы [2]. Градуировка установок осуществлялась при помощи электрического никеля.

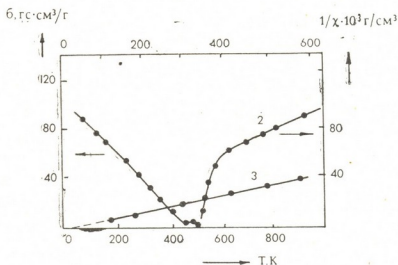


Рис. 1. Температурная зависимость удельной намагниченности  $\sigma$  для соединения  $\text{ErFe}_2$  (1) и обратной величины магнитной восприимчивости  $1/\chi$  для соединений  $\text{ErFe}_2$  (2) и  $\text{ErNi}_2$  (3)

Результаты исследования исходных бинарных соединений  $\text{ErNi}_2$  и  $\text{ErFe}_2$  показали, что соединение  $\text{ErNi}_2$  в исследованном температурном интервале является парамагнетиком, восприимчивость которого подчиняется закону Кюри—Вейсса с  $\Theta_p = 19 \text{ K}$  и  $\mu_{\text{эф}} = 9,3 \mu_B$  (рис. 1). По данным работы [1],  $\Theta_p = 21 \text{ K}$ , а  $\mu_{\text{эф}} = 9,4 \mu_B$ .

Соединение  $\text{ErFe}_2$  является ферромагнетиком, самопроизвольная намагниченность  $\sigma_s$ , которого с увеличением температуры монотонно уменьшается и ниже 500 К наблюдается точка магнитной компенсации (рис. 1), при которой  $\sigma_s$  близка к нулю. Ферромагнитная температура Кюри  $Q_f$  этого соединения равна 570 К, а значение магнитного момента при 80 К —  $5,9 \mu_B$ . Это значение удовлетворительно согласуется с предположением о наличии в этом соединении двух антипараллельных магнитных подрешеток — атомов железа и атомов эрбия. Согласно этой модели, которая была подтверждена для соединений типа  $\text{RFe}_2$  нейтронографическими исследованиями [3], магнитный момент на формульную единицу определяется по соотношению

$$\mu = \nu_1 \mu_{\text{Er}} - \nu_2 \mu_{\text{Fe}},$$

где  $\nu_1$  и  $\nu_2$  — атомная концентрация атомов эрбия и железа.

Полученное значение эффективного магнитного момента для соединения  $\text{ErNi}_2$  (9,3—9,4)  $\mu_B$  показало, что в этом соединении у атома никеля магнитный момент отсутствует, что можно объяснить пе-

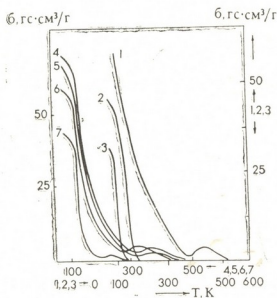


Рис. 2. Температурная зависимость удельной намагниченности  $\sigma$  для соединений состава: 1—5; 2—7; 3—8; 4—10; 5—20; 6—30; 7—60 ат%  $\text{ErNi}_2$ ; ост.  $\text{ErFe}_2$

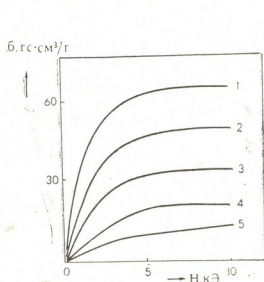


Рис. 3. Изотермы намагничивания для  $\text{ErFe}_2$ — $\text{ErNi}_2$ : 1—80; 2—100; 3—150; 4—200; 5—300 К

реходом электронов от атомов РЗЭ к никелю, заполнением  $3d$ -состояния и образованием нейтрального атома никеля с конфигурацией  $3d^{10}$ . Что касается значения магнитного момента атома эрбия в  $\text{ErNi}_2$  и  $\text{ErFe}_3$ , то он оказался меньше теоретического значения для трехвалентного иона эрбия, что объясняется замораживанием орбитальной составляющей [5].

Таким образом, в соединении  $\text{ErNi}_2$  общий магнитный момент обусловлен только атомами эрбия, а в  $\text{ErFe}_2$  также атомами железа.

На рис. 2 показана температурная зависимость спонтанной удельной намагниченности для некоторых образцов системы  $\text{Er}(\text{Fe}_{1-x}\text{Ni}_x)_2$ , а на рис. 3 — изотермы намагниченности для одного из них.

Точка магнитной компенсации наблюдается у образцов до 40 ат%  $\text{ErNi}_2$  и с увеличением содержания никеля смещается в область низких температур (рис. 4). Коэрцитивная сила  $H_c$ , определенная при 80 К, также с увеличением содержания никеля уменьша-

ется от 400 Э для  $\text{ErFe}_2$  до 130 Э для состава с 90 ат %  $\text{ErNi}_2$  (рис. 4 и 5). С повышением температуры при приближении к точке компенсации как со стороны высоких, так и низких температур  $H_c$  резко возрастает, а в непосредственной окрестности  $\Theta_k$   $H_c$  уменьшается почти до нуля, что объясняется компенсацией магнитных моментов подрешеток железа и эрбия. Аналогичное поведение наблюдается в ферритах-гранатах [6], что указывает на определенное сходство в их магнитных структурах.

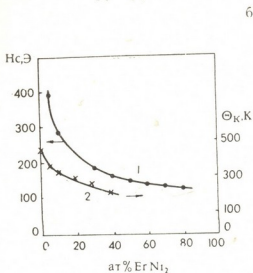


Рис. 4. Зависимость коэрцитивной силы  $H_c$  (1) и температуры компенсации  $\Theta_k$  от состава (2)

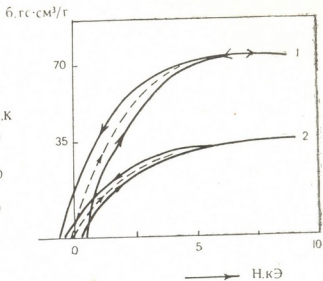


Рис. 5. Петли гистерезиса для составов: 1—10; 2—70 ат %  $\text{ErNi}_2$ , ост.  $\text{ErFe}_2$

Что касается ферромагнитной температуры Кюри  $\Theta_f$ , то она также с увеличением никеля уменьшается. В парамагнитной области от  $T$  изменяется по сложному закону.

В изученной нами системе  $\text{Er}(\text{Fe}_{1-x}\text{Ni}_x)_2$  следует рассматривать три типа взаимодействий, а именно  $R-R$ ,  $R-d$  и  $d-d$ . Самым слабым является косвенное взаимодействие  $R-R$ , которое осуществляется через спиновую поляризацию электронов проводимости. Взаимодействие  $d-d$  значительно сильнее и подавляет взаимодействие  $R-R$ . Но в некоторых случаях, когда  $3d$ -металлы не имеют магнитного момента, как в случае соединения  $\text{ErNi}_2$ , можно изучить взаимодействие  $R-R$ . Взаимодействие  $R-d$  по своей величине лежит между взаимодействиями  $R-R$  и  $d-d$  и осуществляется косвенным образом через электроны проводимости.

В исследованной системе у сплавов с большим содержанием никеля преобладает слабое  $R-R$ -взаимодействие, которое и обуславливает небольшие значения температуры Кюри. По мере замещения атомов никеля атомами железа увеличивается роль взаимодействия  $d-d$  между атомами железа, что и приводит к резкому увеличению  $\Theta_f$ , и у соединения  $\text{ErFe}_2$  она принимает максимальное значение. Что касается взаимодействия  $R-d$ , то оно такого же порядка, что и  $R-R$ , и не может оказывать существенного влияния на магнитные свойства исследованных соединений.

Таким образом, результаты исследования магнитных свойств системы  $\text{ErFe}_2-\text{ErNi}_2$  показали, что в ней существуют две магнитные подрешетки:  $4f$  и  $3d$ -металлов, суммарные магнитные моменты кото-



рых ориентированы антипараллельно, при этом преобладающим типом взаимного взаимодействия является прямое взаимодействие между атомами железа.

Грузинский политехнический институт  
им. В. И. Ленина

(Поступило 27.10.1988)

ზოგადი და არაორგანული ქიმია

ზ. ჩაჩხიანი, ე. ცუცკერიძე, ლ. ჩაჩხიანი, ა. პეჩენიკოვი, ა. კაშინტსევი

$\text{ErFe}_2\text{—ErNi}_2$  მქარი ხსნარების მაგნიტური თვისებები

რეზიუმე

შესწავლილია  $\text{ErFe}_2\text{—ErNi}_2$  მქარი ხსნარების მაგნიტური თვისებები 80—1000K ტემპერატურისა და კონცენტრაციის სრულ შუალედში.

განსაზღვრულია კიურის ტემპერატურის და კოერციული ძალის ტემპერატურული დამოკიდებულება.

ნაჩვენებია, რომ შესწავლილ ხსნარებში არსებობს ორი მაგნიტური ქვე-მესერი, რომლებიც ერთმანეთის მიმართ ორიენტირებულია ანტიპარალელურად.

უპირატესი გაცვლითი ურთიერთქმედება ხდება რკინის ატომებს შორის.

GENERAL AND INORGANIC CHEMISTRY

Z. B. CHACHKIANI, E. U. TSUTSKIRIDZE, L. G. CHACHKIANI,  
A. V. PECHENNIKOV, A. S. KASHINTSEV

MAGNETIC PROPERTIES OF  $\text{ErFe}_2\text{—ErNi}_2$  SYSTEM SOLID SOLUTIONS

Summary

Magnetic properties of  $\text{ErFe}_2\text{—ErNi}_2$  system solid solutions throughout the domain of concentration within the temperature range of 80—1000 K are investigated.

Concentration dependences of Curie ferro-magnetic temperature, temperatures of magnetic compensation and coercive force are determined. It is shown that in the system under study there are two magnetic sublattices with antiparallely oriented magnetic moments. Interrelation between ferrum atoms is the predominant exchange interrelation.

ლიტერატურა — ЛИТЕРАТУРА — REFERENCES

1. К. Тейлор. Интерметаллические соединения редкоземельных металлов. М., 1974.
2. В. И. Чечерников. Магнитные измерения. М., 1969.
3. I. Morean *et al.* James W. J de Phys. 1971, 32, p. 670.
4. K. Buschow, RP. Van Stapelle. J. App. Phys. 1970, 41, p. 4066.
5. B. Bleaney. Proc. Roy Soc. 1963, A 276, p. 28.
6. К. П. Белов, А. М. Бислаев, С. А. Никитин, В. Е. Колесниченко. ФММ, 34, вып. 3, 1972, 470.

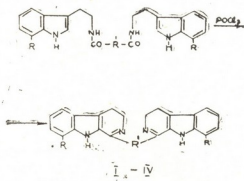
ОРГАНИЧЕСКАЯ ХИМИЯ

Д. Р. ЛАГИДЗЕ, Л. Я. ТАЛАКВАДЗЕ, Т. Н. РЕВАЗИШВИЛИ,  
 Р. М. ЛАГИДЗЕ (член-корреспондент АН ГССР)

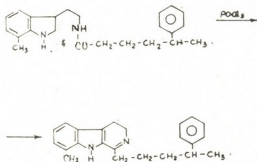
СИНТЕЗ  $\beta$ -КАРБОЛИНОВ НА ОСНОВЕ АМИДОВ АДПИНОВОЙ,  
 ИЗОФТАЛЕВОЙ И 4-ФЕНИЛПЕНТАНОВОЙ КИСЛОТ

Ранее нами был описан синтез ряда новых жирноароматических аналогов мелатонина, некоторые из которых характеризуются выраженной противоопухолевой активностью. Впервые было показано также, что продукты их циклизации—соответствующие  $\beta$ -карболины представляют интерес в качестве потенциальных гипотезивных веществ [1—3]. Позже было установлено, что выраженной противоопухолевой активностью обладают также диамиды янтарной, глутаровой, адипиновой и изофталевой кислот триптамина и 7-метилтриптамина [4, 5].

В настоящей работе мы осуществили синтез пяти новых  $\beta$ -карболинов (I—V) взаимодействием хлорангидридов вышеперечисленных кислот с триптамином и 7-метилтриптамином и последующей циклизацией соответствующих амидов в обычных условиях реакции Бишлера—Напиральского:

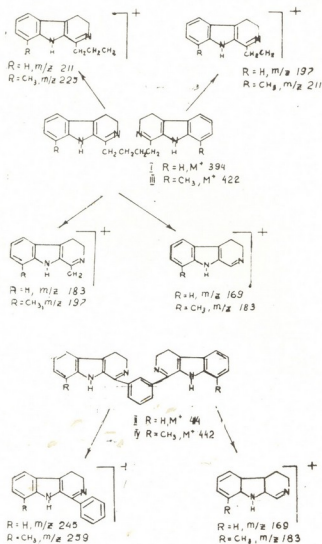


- I.  $R = H, R' = (CH_2)_4$ ; II.  $R = H, R' = \text{C}_6\text{H}_5$ ;  
 III.  $R = CH_3, R' = (CH_2)_4$ ; IV.  $R = CH_3, R' = \text{C}_6\text{H}_5$ ;



В ИК-спектрах производных  $\beta$ -карболина (I—V) наблюдаются характеристические полосы поглощения  $C=N$ -связи шестичленного кольца при  $1640 \text{ см}^{-1}$  и  $NH$ -индольного кольца в области  $3400 \text{ см}^{-1}$ . В масс-спектрах этих соединений отмечаются соответствующие пики

молекулярных ионов, распад которых происходит с образованием характерных для них фрагментов (см. схему). Распад молекулярного иона (V) происходит аналогично распаду ранее описанных нами производных  $\beta$ -карболина [6]:



ИК-спектры сняты на спектрофотометре UR-20 в таблетках KBr, масс-спектры — на масс-спектрометре MX-1303. Контроль за ходом реакции и чистотой полученных соединений осуществлялся методом ТСХ на незакрепленном слое окиси алюминия (II степени активности) в системе растворителей бензол-ацетон 1:1.

1,4-/1,1-бис(3,4-дигидро- $\beta$ -карболин)/бутан (I). К раствору 1 г (2 ммоль) бис/2-(индолил-3)этиламида/адиновой кислоты в 30 мл сухого бензола прибавляют 3,6 мл POCl<sub>3</sub> и реакционную смесь кипятят 2 ч. Затем растворитель упаривают, сухой остаток растворяют в небольшом количестве уксусной кислоты и кипятят 30 мин. Горячий раствор фильтруют, при охлаждении добавляют 25%-ный водный раствор аммиака, образовавшуюся суспензию экстрагируют хлороформом (5×15 мл). Объединенные хлороформенные вытяжки промывают водой и высушивают над Na<sub>2</sub>SO<sub>4</sub>. Растворитель упаривают и образовавшийся желтый остаток хроматографируют через колонку с окисью алюминия, элюируя бензолом. Выход 0,5 г (54%), т. пл. 176°C (разл.), RI 0,4. ИК-спектр, см<sup>-1</sup>: 3400 (NH индольного кольца), 1640 (C=N). Найдено, %: C 78,92; H 6,40; N 13,90. M<sup>+</sup>·394 (масс-спектрометрически). C<sub>26</sub>H<sub>26</sub>N<sub>4</sub>. Вычислено, %: C 79,19; H 6,59; N 14,21. M 394.

Соединения (II—V) получены в условиях, аналогичных предыдущему опыту.



1,3-/1,1-бис(3,4-дигидро- $\beta$ -карболин)/бензол (II). Получают из 1 г (2 ммоль) бис/2-(индолил-3)этиламида/изофталевой кислоты. Выход 0,35 г (38%), т. пл. 165°C (разл.),  $R_f$  0,38. ИК-спектр,  $cm^{-1}$ : 3380 (NH индольного кольца), 1626 (C=N). Найдено, %: C 81,43; H 5,63; N 13,72.  $M^+$  414 (масс-спектрометрически).  $C_{28}H_{22}N_4$ . Вычислено, %: C 81,18; H 5,31; N 13,53.  $M$  414.

1,4-/1,1-(8-метил-3,4-дигидро- $\beta$ -карболин)/бутан (III). Получают из 0,8 г (1 ммоль) бис/2-(7-метилиндолил-3)этиламида/адипиновой кислоты и 3,5 мл  $POCl_3$ . Выход 0,25 г (46%), т. пл. 91°C (разл.),  $R_f$  0,35. ИК-спектр,  $cm^{-1}$ : 3395 (NH индольного кольца), 1164 (C=N). Найдено, %: C 79,60; H 7,08; N 13,28.  $M^+$  422 (масс-спектрометрически).  $C_{28}H_{30}N_4$ . Вычислено, %: C 79,62; H 7,11; N 13,27.  $M$  422.

1,3-/1,1-бис(8-метил-3,4-дигидро- $\beta$ -карболин)/бензол (IV). Получают из 0,5 г (1 ммоль) бис/2-(7-метилиндолил-3)этиламида/изофталевой кислоты. Выход 0,35 г (37%), т. пл. 270°C (разл.),  $R_f$  0,40. ИК-спектр,  $cm^{-1}$ : 3400 (NH индольного кольца), 1644 (C=N). Найдено, %: C 81,32; H 5,73; N 13,02.  $M^+$  442 (масс-спектрометрически).  $C_{28}H_{26}N_4$ . Вычислено, %: C 81,45; H 5,88; N 13,27.  $M$  442.

8-метил-1-(2-фенилбутил)-3,4-дигидро- $\beta$ -карболин (V). Получают из 1 г (3 ммоль) 2-(7-метилиндолил-3)этиламида 4-фенилпентановой кислоты и 1,4 мл  $POCl_3$ . Выход 0,5 г (55%), т. пл. 124°C (разл.),  $R_f$  0,50. ИК-спектр,  $cm^{-1}$ : 3435 (NH индольного кольца), 1646 (C=N). Найдено, %: C 83,36; H 7,59; N 8,50.  $M^+$  316 (масс-спектрометрически).  $C_{22}H_{24}N_2$ . Вычислено, %: C 83,52; H 7,59; N 8,86.  $M$  316.

Органический научный  
центр  
МЗ ГССР

Грузинский политехнический  
институт  
им. В. И. Ленина

(Поступило 16.6.1968)

ორგანული ქიმია

ჯ. ლაღიძე, ლ. თალაკვაძე, თ. რევაზიშვილი, რ. ლაღიძე (საქ. სსრ  
მეცნ. აკადემიის წევრ-კორესპონდენტი)

$\beta$ -კარბონილების სინთეზი ადიპინის, იზოფტალის და 4-  
ფენილპენტანის მჟავების ამიდების საფუძველზე

რეზიუმე

ადიპინის, იზოფტალის და 4-ფენილპენტანის მჟავების ამიდების ციკ-  
ლიზაციით ბოშლერ-ნაპირალსკის რეაქციის პირობებში განხორციელებულა  
ხუთი ახალი  $\beta$ -კარბონილის სინთეზი.

ORGANIC CHEMISTRY

J. R. LAGIDZE, L. I. TALAKVADZE, T. N. REVAZISHVILI, R. M. LAGIDZE

SYNTHESIS OF  $\beta$ -CARBONYLS ON THE BASE OF ADIPIC,  
ISOPHTHALIC AND 4-PHENYL-PENTANIC ACIDS

Summary

Five new  $\beta$ -carbonyls have been synthesized by the interaction of adipic, isophthalic and 4-phenylpentanic acids with tryptamine and 7-methyltryptamine, and the cyclization of corresponding amids under usual conditions of the Bichler-Napiralsky reaction.

## ლიტერატურა — ЛИТЕРАТУРА — REFERENCES

1. Д. Р. Лагидзе, Л. Я. Талаквადзе, Л. А. Цулукидзе, Р. М. Лагидзе. Изв. АН ГССР, сер. хим. 1, № 2, 1975, 157.
2. J. R. Lagidze *et al.* *Planta Medica*. France. 1980. v. 39. p. 277.
3. Д. Р. Лагидзе, Л. Я. Талаквადзе, Т. Н. Ревазишвили, Л. А. Цулукидзе, Р. М. Лагидзе. Изв. АН ГССР, сер. хим., 6, №3, 1980, 225.
4. Д. Р. Лагидзе, Т. Н. Ревазишвили, Л. Я. Талаквადзе, И. Г. Абесадзе, Р. М. Лагидзе. Сообщения АН ГССР, 115, № 1, 1984, 92.
5. Д. Р. Лагидзе, Л. Я. Талаквადзе, Т. Н. Ревазишвили, Л. Г. Умекашвили, Р. М. Лагидзе. Сообщения АН ГССР, 120, № 2, 1985, 301.
6. Д. Р. Лагидзе, Л. Я. Талаквადзе, Р. М. Лагидзе. Сообщения АН ГССР, 80, № 3, 1975, 597.



УДК 547.655

ОРГАНИЧЕСКАЯ ХИМИЯ

Р. М. ЛАГИДЗЕ (чл.-корр. АН ГССР), Ю. В. ГАТИЛОБ, Ю. А. СТРЕЛЕНКО

СТРУКТУРА ПРОДУКТА ТРАНСАННУЛЯРНОГО  
 ВЗАИМОДЕЙСТВИЯ 1,2,5,6-ДИБЕНЗО-3,3,7,7-  
 ТЕТРАМЕТИЛЦИКЛООКТАНДИОНА-4,8 С МЕТИЛАМИНОМ

В предыдущих сообщениях [1,2] на основании данных  $^{13}\text{C}$  и НЯМР спектров высокого разрешения было показано, что продукты трансаннулярного взаимодействия 1,2,5,6-дibenзо-3,3,7,7-тетраметилциклооктандиона-4,8 с различными стерически незатрудненными первичными аминами относятся к окса-гетероциклическим системам типа 4,4,8,8-тетраметил-2,3,6,7-дibenзо-9-оксабицикло(8,3,1)нонан-1-НН-алкил-5-ола, а не альтернативной аза-гетероциклической структуре типа 4,4,8,8-тетраметил-2,3,6,7-дibenзо-9-азабицикло(3,3,1)нонадиола-1,5, как об этом предполагали ранее [3]. Ниже приводим результаты  $^{13}\text{C}$  ЯМР спектров и рентгеноструктурного анализа 4,4,8,8-тетраметил-2,3,6,7-дibenзо-9-оксабицикло(3,3,1)нонан-1-НН- $\text{CH}_3$ -5-ола (1), которые характерны также для всей группы синтезированных нами данного класса соединений.

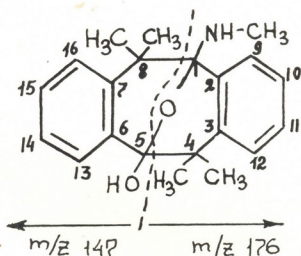


Рис. 1

Соединение (1) — т. пл. 149,5—150°. Масс-спектр получен при температурах испарения образца 120—220°C (температура ионного источника 200°C, ток эмиссии 50 мкА, энергия ионизирующих электронов 70 и 12 эВ) ( $\text{M}^+$ , 100%) 323, и характерные фрагменты:  $m/z$  292 (323— $\text{CH}_3\text{NH}_2$ ),  $m/z$  147, 176 и 160, которые при снижении энергии ионизирующих электронов до 12 эВ остаются практически единственными в молекулярной области. Из них ион с  $m/z$  147 может образоваться из дикетонной структуры (термический распад продукта с выбросом  $\text{CH}_3\text{NH}_2$ ).

$m/z$  (интенсивность в % от максимального пика) 70 эВ: 35(4), 36(12), 38(3) 39(7), 41(8), 42(3), 43(8), 44(2), 51(5), 58(4), 63(2), 65(8), 66(2), 77(14), 78(8), 79(3), 89(3), 91(20), 92(2), 101(2), 102(3), 103(13),

104(4), 105(6), 115(18), 116(9), 117(18), 118(8), 128(8), 129(22), 130(8), 131(15), 147(100), 148(19), 158(5), 159(2) 160(17), 161(6), 174(7), 176(14), 177(4), 259(5), 261(4), 277(5), 279(2) 290(4), 292(5), 308(8), 323 (M<sup>+</sup>, 223).

12 эВ: 147(100), 160(13), 174(6), 176(12), 277(6), 279(3), 290(4), 292(9), 306(2), 308(7), 323 (M<sup>+</sup>; 7).

<sup>13</sup>СЯМР; M—250 (DMSO—d<sub>6</sub>), м.д. 146,4, 145,3 (C<sub>3</sub> и C<sub>7</sub>); 135,4, 132,1 (C<sub>2</sub> и C<sub>6</sub>); 129,2, 128,8 (C<sub>12</sub> и C<sub>13</sub>); 128,1, 127,6 (C<sub>9</sub> и C<sub>16</sub>); 125,1, 124,85 (C<sub>10</sub> и C<sub>15</sub>); 124,75, 124,55 (C<sub>11</sub> и C<sub>14</sub>); 99,15, 95,25 (C<sub>1</sub> и C<sub>5</sub>); 43,4, 43,3 (C<sub>4</sub> и C<sub>8</sub>); 28,75, 27,8, 27,8, 23,2 (попарно гем. диметильные группы).

<sup>13</sup>С ЯМР моноацетата соединения (1) т. пл. 236,5—237° 142,8 145,8 (C<sub>3</sub> и C<sub>17</sub>); 134,35 (C<sub>6</sub>); 127,0 (C<sub>9</sub> и C<sub>12</sub>); 128,05, 128,85 (C<sub>13</sub> и C<sub>16</sub>); 129,85 (C<sub>2</sub>); 100,25, 94,35 (C<sub>1</sub> и C<sub>5</sub>). 28,9. 28,45. 27,9. 23,1 (CH<sub>3</sub> при C<sub>4</sub> и C<sub>8</sub>), 22,4 (CH<sub>3</sub>, ацетата).

Рентгеноструктурный эксперимент провели на дифрактометре «SYNTEX P2<sub>1</sub>» используя Cu-излучение с графитовым монохроматором. Кристаллографические данные a=13,454(1), b=13,392(1), c=20,145(2). A,b=96,159°, пространственная группа P2<sub>1</sub>, c,Z=8, C<sub>21</sub>H<sub>25</sub>NO<sub>2</sub>+1/2 C<sub>2</sub>H<sub>5</sub>OH, d<sub>расч.</sub> = 1,28 г/см<sup>3</sup>. Интенсивности 4773 независимых отражений с 2θ<116° измерили методом θ:2θ—сканирования. В расчетах использовали 4014 отражений с I>2σ без

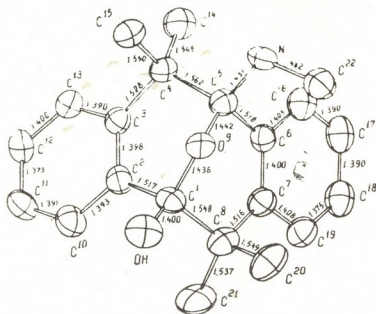


Рис. 2

учета поглощения (размер образца 0,25×0,12 мм<sup>3</sup>). Структуру расшифровали прямым методом по программе MU LTAN 78 и уточнили методом наименьших квадратов в анизотропно-изотропном приближении по программе SHELX 76, разделив переменные на два блока, до R=0,076 и R<sub>D</sub>=0,076 W<sup>-1</sup>=σ<sub>p</sub>+0,0001P<sup>2</sup>. Положения атомов водорода задавали геометрически в каждом цикле уточнения. Полученные координаты неводородных атомов даны в табл. 1.

Строение молекулы соединения (1). На рисунке приведены усредненные по двум независимым молекулам длины связей (Å), вероятная погрешность которых равна 0,005—0,008Å.

Таблица 1

Координаты неводородных атомов (умножено на  $10^4$ , в долях ячейки)

Атом	x	y	z	x	y	z
C <sup>1</sup>	7334(4)	2026(4)	3761(3)	1656(3)	1769(3)	7089(2)
C <sup>2</sup>	6848(4)	2243(3)	3066(2)	1386(-)	2466(3)	6500(2)
C <sup>3</sup>	6502(4)	3205(4)	2874(2)	0573(3)	3106(3)	6480(2)
C <sup>4</sup>	6650(3)	4082(3)	3356(2)	-0161(3)	3072(3)	7011(2)
C <sup>5</sup>	6823(4)	3669(4)	4087(2)	0403(3)	2615(3)	7655(2)
C <sup>6</sup>	5910(4)	1197(4)	4334(2)	1247(3)	3259(3)	7988(2)
C <sup>7</sup>	5835(4)	2151(4)	4386(3)	2246(3)	3027(3)	7944(2)
C <sup>8</sup>	6658(4)	1460(4)	4216(3)	2550(4)	2083(4)	7587(2)
C <sup>9</sup>	7623(2)	2948(3)	4093(2)	0810(2)	1668(2)	7461(1)
C <sup>10</sup>	6798(4)	1482(4)	2594(3)	1948(4)	2430(4)	5957(2)
C <sup>11</sup>	6360(4)	1645(5)	1943(3)	1732(4)	3041(4)	5409(3)
C <sup>12</sup>	6009(4)	2573(5)	1757(3)	0940(4)	3703(4)	5395(3)
C <sup>13</sup>	6083(4)	3366(5)	2225(3)	0364(4)	3730(4)	5926(2)
C <sup>14</sup>	7584(4)	4664(4)	3187(3)	-0597(4)	4113(4)	7135(3)
C <sup>15</sup>	5750(4)	4814(4)	3257(3)	-1028(3)	2375(4)	6737(2)
C <sup>16</sup>	5177(4)	3797(4)	4567(3)	1006(4)	4106(4)	8361(2)
C <sup>17</sup>	4359(4)	3392(5)	4845(3)	1755(4)	4686(4)	8688(2)
C <sup>18</sup>	4267(4)	2361(4)	4871(3)	2753(4)	4438(4)	8650(2)
C <sup>19</sup>	4986(4)	1749(5)	4649(3)	2987(4)	3623(4)	8286(2)
C <sup>20</sup>	7294(5)	1178(6)	4878(3)	2775(4)	1269(4)	8113(3)
C <sup>21</sup>	6251(5)	0474(4)	3895(4)	3496(4)	2262(5)	7231(3)
C <sup>22</sup>	7479(5)	4171(5)	5231(3)	0125(4)	1891(4)	8757(2)
N	7173(3)	4476(3)	4534(2)	-0305(3)	2369(3)	8126(2)
O	8219(3)	1481(3)	3747(2)	1851(2)	0807(2)	6862(2)
молекула этанола						
C	0257(5)	4560(5)	0182(3)			
O*	0955(5)	4862(5)	0782(4)			

\* Фактор занятости позиции равен 0,5

Строение одной из двух кристаллографически независимых молекул показано на рис. 1. Длины связей обеих молекул обычные и совпадают между собой с точностью  $3\sigma$  за исключением связей C<sup>2</sup>—C<sup>3</sup> и C<sup>12</sup>—C<sup>13</sup>, для которых расхождение достигает 4,5 $\sigma$ . Симметрия остова молекулы близка к C<sub>2</sub>—ось второго порядка проходит через O<sup>9</sup> и среднюю точку между C<sup>1</sup> и C<sup>5</sup>. Отметим, что из пяти найденных в Кембриджском банке кристаллографических данных [4] производных бицикло/3.3.1/нонан-2,6-диена три — 1,3,5,7-тетракарбометоксибицикло/3.3.1/нонан-2,6-диен-2,6-диол (II) [5], 2,6-дицианбицикло/3.3.1/нонан-2,6-диен (III) [5], 4,8-дибром-2,6-дицианбицикло/3.3.1/нонан-2,6-диен [6] имеют кристаллографическую симметрию C<sub>2</sub>. Аналогичные производным II—IV, оксабицикло/3.3.1/нонадисновая система в I находится в конформации двух слегка искаженных полукресел. Бензольные циклы плоские в пределах  $\pm 0,017\text{\AA}$ .

Сольватная молекула этанола разупорядочена по двум положениям вокруг центра симметрии кристалла. Две молекулы (1) связаны с молекулой этанола с помощью водородных связей типа O—H...OH с расстояниями 0 ... 0 2,716 и 2,755 А. Кроме того, молекулы (1) объединены водородной связью ... Н ... ОН, в которой расстояние ... О равно 2,901 А.

რ. ლაღიძე, (საქ. სსრ მეცნ. აკად. წევრ-კორესპონდენტი). ი. ბატილოვი,  
 ი. სტრელენკო

1,2,5,6-დიბენზო-3,3,7,7-ტეტრაამთილციკლოოქტანდიონ-4,8-ის  
 მეთილაგინთან ტრანსანულარული ურთიერთქმედების პროდუქტის  
 სტრუქტურა

რეზიუმე

სპექტროსკოპული და რენტგენოსტრუქტურული ანალიზის მონაცემების  
 საფუძველზე დადგენილია, რომ ზემოთ დასახელებული პროდუქტის სტრუქ-  
 ტურა შეესაბამება 4,4,8,8-ტეტრაამეთილ-2,3,6,7-დიბენზო-9-ოქსაბიციკლო (3,3,  
 1)ნონან-1-NH-CH<sub>3</sub>-5-დიოლს.

ORGANIC CHEMISTRY

R. M. LAGIDZE, Yu. V. GATILOV, Yu. A. STRELENKO

THE STRUCTURE OF THE PRODUCT OF TRANSANNULAR  
 INTERACTION OF 1,2,5,6-DIBENZO-3,3,7,7- TETRAMETHYL-  
 CYCLOOCTANDION-4,8 WITH METHYLAMINE

Summary

Based on spectroscopic investigations and rentgenostructural analysis it  
 is shown that the structure of the above mentioned product corresponds to  
 4,4,8,8-tetramethyl-2,3,6,7-dibenzo-9-oxabicyclo(3,3,1)nonane-1-NH-CH<sub>3</sub>-5-ol.

ლიტერატურა — ЛИТЕРАТУРА — REFERENCES

1. R. M. Lagidze *et al.* F. E. C. S. Third International Conference on Chemistry and Biotechnology of Biologically Active Natural Products. September 16—21, 1985, Sofia, Bulgaria, Vol. 5, 241—244.
2. P. С. Девдариანი. Автореферат канд. дисс., Тбилиси, 1986.
3. P. M. ლაგიძე. Синтез и превращения замещенных дибензопентанов и аракилгалогенидов. Тбилиси, 1984.
4. Cambridge Crystallographic. Data Base. Release 1985.
5. M. D. Radcliffe *et al.* J. Am. Chem. Soc., 1984, Vol 104, № 3, 682—687.
6. M. Quest *et al.* Chem. Ber. 1984, Vol 117, № 8, 2745—2760.



ОРГАНИЧЕСКАЯ ХИМИЯ

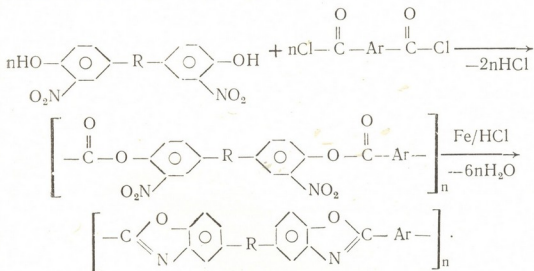
З. Ш. ДЖАПАРИДZE, Л. Д. КИКНАDZE, Г. В. БОРОДИНА

СИНТЕЗ КАРДОВЫХ ПОЛИБЕНЗОКСАЗОЛОВ МЕТОДОМ ВОССТАНОВИТЕЛЬНОЙ ПОЛИГЕТЕРОЦИКЛИЗАЦИИ

(Представлено академиком Л. Д. Меликадзе 19.4.88)

За последние 10 лет существенный вклад в область синтеза термостойких полимеров внес метод восстановительной полигетероциклизации [1].

Наиболее перспективными из группы полибензалолов, синтезированных по указанному методу, представляются ароматические полибензоксазолы (ПБОА), получаемые по следующей схеме [2]:



Высокая термостойкость в сочетании с клеящими, вяжущими, пленкообразующими свойствами определяет широкую область применения ПБОА [3]. Однако проведенные исследования пока не вышли за рамки лабораторных исследований по ряду причин и, в частности, из-за отсутствия дешевых бис-[(о-нитро)фенолов] и трудностей на пути переработки в изделия. С целью устранения этих недостатков нами была исследована возможность применения в качестве сомомера динитропроизводных кардовых бис-фенолов, выпускаемых отечественной промышленностью, типа фенолфталеина и фенолфталеинида.

Введение же фталидных и фталимидиновых групп, как известно, приводит к улучшению растворимости полигетероариленов, их перерабатываемости в изделия методом прессования [4].

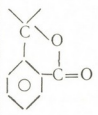

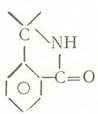
Синтез поли-[(о-нитро)эфиров] (ПНЭ) осуществляли методом низкотемпературной акцепторно-каталитической этерификации в ацетоне и поликонденсацией на разделе фаз [5].

Установлено, что более высокомолекулярный ПНЭ получается в случае использования о,о'-динитрофенолфталеина и в обоих случаях реакция поликонденсации протекает в гетерогенных условиях.

Полученные ПНЭ растворимы в смеси тетрахлорэтан:фенол 3:1 и из растворов образуют эластичные пленки  $\eta_{sp} = 1,5 - 2,2$  дл/г.

Исследования термических характеристик ПНЭ показали, что эфиры указанной структуры не плавятся и по термостойкости значительно превосходят свои предшествующие ПНЭ.

Таблица 1

№ п/п	R	Ar	Растворимость				$\eta^*$ пр дл/г	T <sub>разл.</sub> °C	Выход, %
			ТХЭ: фенол	ТГФ	ДХЭ	N-МП			
I			+	—	Н	р. д.	1,8	260	95
II		„	+	—	Н	р. д.	1,3	270	93

+ — Растворим; — — не растворим; Н — набухает; Р. Д. — разрушается  
\* — вязкость определена в смеси ТХЭ: фенол 3:1 при 20°C.

Реакцию восстановительной полигетероциклизации проводили в растворе N-метил-2-пирролидона (N-МП) по разработанной методике [6]. Выявлено, что полибензоксазолы (ПБОА) на основе о,о'-динитрофенолфталеина получают с более высокими вязкостными характеристиками и образуют прозрачные пленки  $\eta_{пр} = 1,0-1,2$  дл/г.

В ИК-спектрах полученных полимеров отсутствуют полосы поглощения 1350, 1540  $\text{см}^{-1}$ , характерные для  $\text{NO}_2$ , и появляются новые полосы поглощения характерные для ПБОА: 930, 1480, 1555, 1620  $\text{см}^{-1}$ .

Наличие в ИК-спектрах полос поглощения 1670, 1740  $\text{см}^{-1}$ , характерных для амидной и сложноэфирной группы, приписывали к фталидной и фталимидной группировкам [7].

Согласно анализу термограмм, на воздухе потеря массы образца составляет 5—8% при 400°C, что свидетельствует о высокой степени восстановления и циклизации исходного ПНЭ в ПБОА (рис. 1).

Исследования теплостойкости показали, что ПБОА на основе кардовых бис-[о-нитро]-фенолов имеют несколько более высокие температуры размягчения, чем аналоги не кардового типа (рис. 2). Это можно объяснить и влиянием кардовых группировок, позволяющим проведение процесса восстановительной полигетероциклизации в гомогенных условиях до глубокой степени превращения, после чего ПБОА в виде мелкого порошка выпадает из раствора [8].

Синтез исходных бис-[о-нитро]фенолов. В трехгорлую колбу загружают 0,1 моль бисфенола, растворяют в 300 мл ледяной уксусной кислоты и при интенсивном перемешивании из капельной воронки медленно добавляют смесь азотной ( $d=1,38$ ) и уксусной кислот в соотношении 32:135 мл соответственно при температуре 20—25°C. После добавления всего количества нитрующей смеси перемешивание продолжают еще 1 час. После охлаждения до 5—10°C выпадают желтые кристаллы. Продукт отфильтровывают, осадок хо-



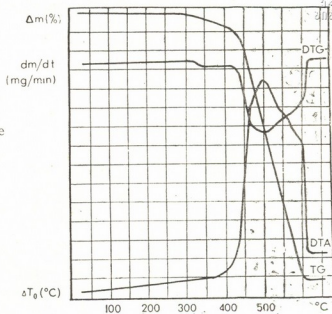


Рис. 1. Термодинамические кривые ПБОА



Рис. 2. Термомеханические кривые ПБОА: 1—ПБОА с кардовым заместителем; 2—ПБОА не кардового типа

Основные характеристики ПБОА

Таблица 2

№ п/п	R	Ar	Растворимость				$\eta_{пр}^*$ дл/г	$T_{раз}^{**}$ °C	$T_{раз}^{***}$ °C
			ТХЭ: фенол	H <sub>2</sub> SO <sub>4</sub>	CF <sub>3</sub> COOH	N-МП			
I			+	+	+	-	1,2	250— 270	370
II		"	+	+	+	-	0,8	270— 290	380

\*— Вязкость определена в смеси ТХЭ:фенол 3:1 при 20°C; \*\*— температура размягчения определена по термомеханической кривой; \*\*\*— начало уменьшения массы образца.

рошо отжимают, промывают водой до нейтральной реакции, затем изопропанолом и сушат при температуре 80°C  $T_{пл}=196-197^{\circ}\text{C}$  (I), выход 80% и  $T_{пл}=270-271^{\circ}\text{C}$  (II), выход 82%.



Синтез ПНЭ проводили соответственно [5], синтез ПБОА соответственно [6].

НИИ стабильных изотопов  
г. Тбилиси

(Поступило 28.4.1988)

ორგანული ქიმია

ზ. ჯაპარიძე, ლ. კიკნაძე, გ. ბოროდინა

კარდული ტიპის პოლიბენზოქსაზოლების სინთეზი ალდენითი  
კოლივებტეროციკლიზაციის მეთოდით

რეზიუმე

შესწავლილ იქნა კარდული ტიპის პოლიბენზოქსაზოლების სინთეზის შე-  
საძლებლობა კარდული ტიპის ბის[ო-ნიტრო)ფენოლების] ბაზაზე. მიღებულ  
იქნა 0,0'-დინიტროფენოლფტალეინი და 0,0'-დინიტროფენოლფტალეინის  
იმიდი.

მიღებულია კარდული ტიპის პოლი[ო-ნიტრო)ეთერები] დაბალტემპერა-  
ტურული აქცეპტორულ-კატალიზური პოლიკონდენსაციის მეთოდით.

კარდული ტიპის პოლი[(ო-ნიტრო) ეთერებიდან] ალდენითი პოლივებტე-  
როციკლიზაციის მეთოდით მიღებულ იქნა შესაბამისი პოლიბენზოქსაზოლები.

ORGANIC CHEMISTRY

Z. Sh. JAPARIDZE, L. D. KIKNADZE, G. V. BORODINA

## SYNTHESIS OF CARDOUS POLYBENZOXASOLES BY THE REDUCING POLYHETEROCYCLING METHOD

### Summary

The possibility of cardous polybenzoxasoles synthesis based on cardous bis (o-nitro) phenols has been investigated. Phenolphthalein and phenolphthalein imide nitration reactions have been studied. Cardous poly(o-nitro)-esters were obtained by the method of low-temperature acceptor catalytic polycondensation.

The corresponding polybenzoxasoles were obtained from cardous poly-(o-nitro)esters by the reducing polyheterocycling method.

### ლიტერატურა — ЛИТЕРАТУРА — REFERENCES

1. В. В. Коршак, А. Л. Русанов, Д. С. Тугуши. УХ, вып. 12, 1981, 2250.
2. В. В. Коршак, А. Л. Русанов, Д. С. Тугуши, Л. Г. Кипиани, З. Ш. Джапаридзе, А. С. Шубашвили, И. М. Гвердцители. Изв. АН ГССР, сер. хим., № 2, 1980, 122.
3. А. Я. Черников, Д. А. Соловых, М. Н. Яковлев, В. А. Исаева, Н. В. Леонтьева, Р. В. Маркина, Б. С. Попова, Б. Е. Восторгов. Пласт. массы № 7, 1977, 40.
4. В. В. Коршак, С. В. Виноградова и Д. Р. Тур. Изв. АН СССР, сер. хим. № 2, 1969, 439.
5. В. В. Коршак, А. Л. Русанов, З. Ш. Джапаридзе, Д. С. Тугуши. Сообщения АН ГССР, 96, № 3, 1979, 585.
6. З. Ш. Джапаридзе. Автореферат канд. дисс. Тбилиси, 1980.
7. Л. Белами. Инфракрасные спектры сложных молекул. М., 1963.
8. В. В. Коршак, А. Л. Русанов, Д. С. Тугуши, З. Ш. Джапаридзе, Г. М. Цейтлин, А. Я. Черников. ДАН СССР, 240, № 4, 1978, 873.

М. С. БАТИАШВИЛИ, Р. Ш. АДАМИЯ (член-корреспондент АН ГССР)

## ИССЛЕДОВАНИЕ ПОЛИПРОПИЛЕНА МЕТОДОМ ЭЛЕКТРЕТНО-ТЕРМИЧЕСКОГО АНАЛИЗА

Исследование релаксационных процессов и температурных переходов в полимерах имеет большое научное и практическое значение, так как позволяет получить информацию о природе и типах движения макромолекул и их частей, высказать предположения относительно упаковки макромолекул в надмолекулярных образованиях и характера последних, выяснить наиболее выгодные температурные условия эксплуатации полимерных материалов. Объектами исследования служили чистый и модифицированный полипропилен (ТУ 6—05—1849—78) с показателем текучести расплава (ПТР) 1,5 г/10 мин. Полипропилен (ПП) модифицировали 0,5 масс. % дибутилового эфира полипропиленгликольадипината с молекулярной массой 1000-ППА-7.

Влияние модифицирующей добавки на релаксационные переходы ПП изучали методом электретно-термического анализа (ЭТА). Метод заключается в предварительной поляризации полимерного образца в постоянном электрическом поле высокой напряженности, охлаждении его в этом поле и в последующей деполяризации образца при постоянном нагреве [1]. Исследования проводили в области температур от 138 до 413 К на образцах диаметром  $3 \cdot 10^{-2}$  м и высотой  $0,15 \cdot 10^{-2}$  м.

Основные результаты приведены на рис. 1 в виде зависимости величины тока деполяризации от температуры, где отчетливо видно несколько областей релаксационных переходов, обозначенных (со стороны низких температур) как  $\beta$ -,  $\alpha'$ -,  $\alpha_a$ - и  $\alpha_c$ -переходы.

$\beta$ -переход, наблюдаемый в области отрицательных температур, связан, очевидно, с подвижностью в армофизированных и дефектных областях кристаллической фазы. Положение низкотемпературного  $\beta$ -перехода практически не меняется при введении в ПП добавки.

Известно, что основные характеристики молекулярной подвижности существенно зависят от характера надмолекулярной организации аморфных областей в кристаллических полимерах. Большой интерес с этой точки зрения представляет изучение сегментальной подвижности, размораживание которой происходит в области перехода аморфных областей из стеклообразного в высокоэластическое состояние. Анализ зависимости тока деполяризации от температуры в случае образцов модифицированного ПП показывает, что в области стеклования наблюдается двойной температурный переход (при температурах 211—213 и 253—254 К). Такой двойной температурный переход в области стеклования наблюдался ранее и у других кристаллических аморфных линейных полимеров [2—4]. Он обусловлен, очевидно, двумя уровнями надмолекулярной организации аморфной прослойки ПП. Можно предположить, что при температуре 211—213 К происходит размораживание сегментальной подвижности в неупорядоченных областях аморфной прослойки ПП, а при температуре 253—254 К — в более упорядоченных или более плотно упакованных областях аморфной прослойки (в переходных слоях от кристаллической к аморфной фазе). Наиболее интересным является тот факт, что у чистого ПП ре-



лаксационный переход в области температур 211—213 К не наблюдался. Это является доказательством того, что модифицирующие добавки располагаются в неупорядоченных областях аморфной фазы полимера.

При смешении полимеров наиболее информативной является температура стеклования ( $T_{ст}$ ) композиционного материала, по положению которой судят о совместимости этих полимеров [5]. Поэтому целесообразно было исследовать, как влияет добавка ПП-7 на  $T_{ст}$  полипропилена. Как видно из рисунка и таблицы,  $T_{ст}$  полипропилена при введении модификатора остается практически неизменной, что свидетельствует об их несовместимости.

Релаксационные переходы в чистом и модифицированном ПП

Образцы	Релаксационные переходы									
	$\beta$		$\alpha'$		$\alpha_a$		$\alpha_c$			Е. Дж моль·град
	$I_m \cdot 10^{13},$ А	Т, К	$I_m \cdot 10^{13},$ А	Т, К	$I_m \cdot 10^{13},$ А	$T_{ст},$ К	$I_m \cdot 10^{13},$ А	Т, К	$\tau, c$	
ПП чистый	1,4	163	—	—	2,3	254	31,0	375	475	61431
ПП+0,5 в.ч. ППА-7	1,7	162	2,2	213	9,0	253	54,0	372	340	56303

Принятая трактовка высокотемпературного  $\alpha_c$ -максимума [6] состоит в предположении, что при данной температуре реализуется подвижность звеньев макромолекул в складках на поверхности ламелей. Из рис. 3 видно, что модифицирование ПП приводит к сужению

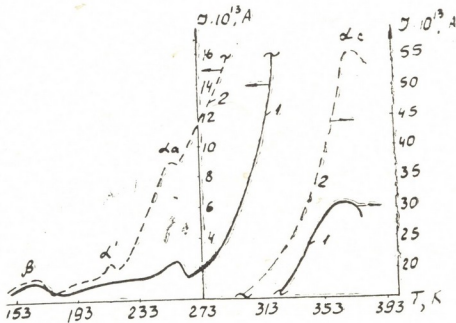


Рис. 1. Температурная зависимость токов термополяризации: 1 — ПП чистый, 2 — ПП+0,5 в. ч. ППА-7

области  $\alpha_c$ -релаксационного перехода, что говорит об узком распределении времен релаксаций и соответственно об образовании однородной по размерам структуры полимера. Для  $\alpha_c$ -релаксационных пе-

переходов исследуемых материалов были рассчитаны энергия активации  $E$  и время релаксации  $\tau$ . Результаты расчетов приведены в таблице; наличие большого фонового тока помешало провести подобные расчеты для низкотемпературных  $\beta$ -,  $\alpha'$ - и  $\alpha_c$ -переходов. Из данной таблицы видно, что исследуемые образцы модифицированного полипропилена характеризуются пониженными значениями  $\tau$  и  $E$ , по сравнению с чистым ПП. Таким образом, несомненным является факт ускорения релаксации напряжений за счет применения модифицирующих добавок, вызывающих увеличение подвижности элементов структуры полимера. Интересно отметить, что для образцов ПП, модифицированных дибутыловым эфиром полипропиленгликолядипината, во всем интервале температур на кривых температурной зависимости тока термодеполяризации наблюдаются зоны повышенных его значений, наличие которых свидетельствует об увеличении подвижности всей системы, что, в свою очередь, позволит расширить область переработки полимера.

Академия наук Грузинской ССР  
 Кутаисский комплексный  
 научный центр  
 Института металлургии  
 им. 50-летия СССР

(Поступило 20.10.1988)

ფიზიკური ქიმია

ა. ბატიაშვილი, რ. ადამია (საქ. სსრ მეცნ. აკადემიის წევრ-კორესპონდენტი)

### პოლიპროპილენის შესწავლა ელექტრეთულ-თერმული ანალიზით რეზიუმე

ელექტრეთულ-თერმული ანალიზის მეთოდით შესწავლილია რელაქსაციური პროცესები როგორც სუფთა, ისე მოდიფიცირებულ პოლიპროპილენში.

დადგენილია, რომ პოლიპროპილენის მოდიფიცირება დიბუტილპოლიპროპილენგლიკოლადიპინატის ეთერით იწვევს შიგა დაძაბულობათა რელაქსაციის აჩქარებას და მთელი სისტემის ძვრადობის გადიდებას, რაც საშუალებას გვაძლევს გავზარდოთ პოლიმერის გადამუშავების სფერო.

PHYSICAL CHEMISTRY

M. S. BATIASHVILI, R. Sh. ADAMIA

### A STUDY OF POLYPROPYLENE BY ELECTRET THERMOANALYSIS

#### Summary

Relaxation processes in pure and modified polypropylene have been studied by electret thermoanalysis.

It is shown that modification of polypropylene by dibutyl ether of polypropylene glycoladipate leads to accelerated relaxation processes in the polymer.

## ლიტერატურა — ЛИТЕРАТУРА — REFERENCES

1. Г. А. Лушейкин. Полимерные электреты. М., 1974
2. В. И. Бекнчев, Г. М. Бартегов. Высокомол. соед., сер. А, т. 12, № 6, 1970  
1240.
3. И. И. Перенечко, О. В. Старцев. Акустический ж., т. 22, № 5, 1976,  
749.
4. Г. А. Лушейкин, Л. И. Войтешонок. Высокомол. соед., сер. А, т. 17,  
№ 2, 1975, 429.
5. В. Н. Кулезнев. Смеси полимеров. М., 1980.
6. В. П. Соломко и др. ДАН УССР, сер. Б, № 11, 1975, 1019.



М. М. КАШИТАДЗЕ, З. Г. ДЗОПЕНИДЗЕ, М. Д. МУСЕРИДЗЕ,  
Г. С. БЕЗАРАШВИЛИ, Т. В. КОКОЧАШВИЛИ

## ИССЛЕДОВАНИЕ РЕКОМБИНАЦИИ АТОМОВ ВОДОРОДА НА ПОВЕРХНОСТЯХ НЕКОТОРЫХ ЦЕОЛИТСОДЕРЖАЩИХ ГОРНЫХ ПОРОД ГССР

(Представлено членом-корреспондентом Академии Л. М. Ханашвили 15.7.1988)

Хорошо известно применение цеолитов во многих областях народного хозяйства. Как хорошие адсорбенты, они должны эффективно захватывать активные центры горения и этим подавлять процесс горения. В настоящее время существует несколько огнетушащих порошковых композиций, в состав которых входят цеолиты [1].

Целью данной работы являлось исследование рекомбинирующей эффективности природных цеолитов Грузии восьми месторождений.

Эксперимент проводился на статической вакуумной установке методом I предела воспламенения [2]. Кварцевый реактор ( $d_r = 5$  см,  $l = 13$  см) покрывался изнутри тонким слоем исследуемого образца цеолита. Температура менялась в интервале 770—910 К. Исследуемые образцы обрабатывались многократными вспышками гремучей смеси для получения воспроизводимых результатов.

Горение водорода вблизи I предела воспламенения описывается совокупностью следующих элементарных реакций [3]:



Условием I предела является следующее выражение:

$$K_4 = 2K_2[\text{O}_2],$$

где  $K_f$  — константы скоростей элементарных реакции из вышеприведенной схемы;  $[\text{O}_2]$  — концентрация молекулярного кислорода на I пределе:

$$[\text{O}_2] = \frac{P_1}{6,23 \cdot 10^6 \cdot T} (\% \text{ O}_2).$$

Здесь  $P_1$  — экспериментально определенное значение первого предела воспламенения смеси « $2\text{H}_2 + \text{O}_2$ »;  $T$  — температура опыта.

Коэффициент рекомбинации атомов водорода

$$\gamma_{\text{H}} = \frac{K_{\text{R}} \cdot d_r}{U_{\text{H}}},$$

где  $d_r$  — диаметр реакционного сосуда;  $U_{\text{H}}$  — скорость теплового движения



атомов водорода ( $U_H = 1,45 \cdot 10^4 \sqrt{T}$ );  $K_R^H$  — константа скорости гетерогенной рекомбинации атомов Н при ее осуществлении в кинетической области:

$$\frac{1}{K_R^H} = \frac{1}{K_A} - \frac{1}{K_D^H}$$

Здесь  $K_D^H$  — константа скорости рекомбинации атомов Н при обрыве цепей в диффузионной области.

Экспериментально определяли значение  $l$  предела воспламенения смеси « $2H_2 + O_2$ ».

Результаты представлены в таблице.

Образцы цеолит-содержащих горных пород	Интервал Т, К	$\gamma^0$	$\ln \gamma^0$	E, $\frac{\text{ккал}}{\text{моль}}$	$\tau$	$F_{\text{экс}}$	$F_{0,95}$	$\gamma_H$ 850К
Ломонтит* (Коджори)	793—883	1,91	$0,64 \pm 0,03$	$8,1 \pm 1,2$	0,98	67	18,5	$1,6 \cdot 10^{-2}$
Клиноптилолит (Дзегви)	772—892	1,78	$0,61 \pm 0,01$	$6 \pm 2,6$	0,89	84,4	18,5	$5,4 \cdot 10^{-2}$
Клиноптилолит (Армази)	823—912	1,66	$0,58 \pm 0,03$	$8,3 \pm 1,1$	0,99	52,1	18,5	$1,31 \cdot 10^{-2}$
Клиноптилолит + Монтмориллонит (Мартази)	821—912	7,19	$1,22 \pm 0,02$	$9,3 \pm 0,7$	0,997	356,2	18,5	$3 \cdot 10^{-2}$
Ломонтит* (Тбилиси)	817—880	36,00	$1,92 \pm 0,04$	$10,3 \pm 2$	0,98	36,8	18,5	$8,4 \cdot 10^{-2}$
Гейландит* Клиноптилолит (Абрамети)	813—904	4,00	$0,37 \pm 0,05$	$8 \pm 1,9$	0,96	26,3	18,5	$0,95 \cdot 10^{-2}$
Клиноптилолит (Хекодзула)	818—903	5,16	$1,64 \pm 0,01$	$9,8 \pm 0,4$	0,999	791	18,5	$1,65 \cdot 10^{-2}$
Клиноптилолит (Телзами)	820—903	8,71	$2,17 \pm$	$10,8 \pm 3,8$	0,95	19,1	18,5	$1,5 \cdot 10^{-2}$

\* — Эти образцы при температурах нашего эксперимента подвергаются термическому разложению [4], поэтому экспериментально полученные  $\gamma$  соответствуют процессу рекомбинации на продуктах разложения.

Полученные результаты были обработаны методами корреляционного и регрессионного анализа [5]. Расчет эмпирического коэффициента корреляции ( $\tau$ ) между параметрами  $\ln \gamma$  и  $1/T$  показал, что значения  $\tau$  приближаются к 1. Это означает, что с высокой степенью достоверности температурную зависимость величины  $\gamma$  можно описать уравнением Аррениуса.

Методом наименьших квадратов были рассчитаны предэкспоненциальные множители и энергии активации для параметра  $\gamma$ ; полученные данные представлены в таблице. С целью проверки адекватности уравнения регрессии были установлены экспериментальные значения критерия Фишера  $F_{\text{экс}}$  и соответствующие критические значения —  $F_{0,95}$  для 95%-ной доверительной вероятности. Как видно из таблицы,  $F_{\text{экс}} > F_{0,95}$ . Это означает, что установленные нами предэкспоненциальные множители ( $\gamma^0$ ) и энергии активации (E), входящие в уравнение Аррениуса, адекватно отражают результаты эксперимента.





Данные, представленные в таблице, показывают, что на образцах исследуемых цеолитов вероятность гибели атомов водорода достаточно высока:  $\gamma_{H^{*},K} \sim 0,01$ . Следовательно, указанные цеолиты можно рекомендовать в качестве составных компонентов огнетушащих порошковых композиций.

Тбилисский государственный университет

(Поступило 16.9.1988)

ფიზიკური ქიმია

ა. კაციტაძე, ზ. ძოჭენიძე, მ. მუსერიძე, ბ. ბეზარაშვილი, თ. კოკოჩაშვილი

წყალბადის ატომების ჰეტეროგენული რეკომბინაციის გამოკვლევა  
საქ. სსრ ზოგირითი ცეოლითში შემცველი ბუნებრივი ქანის  
ზედაპირებზე

რეზიუმე

შესწავლილია წყალბადის ატომების ჰეტეროგენული რეკომბინაცია სხვადასხვა ადგილმდებარეობის ცეოლიტების — ლომონტიტის, ჰეილანდიტის და კლინოპტილოლიტის ზედაპირზე. აღმოჩნდა, რომ გამოკვლეულ ზედაპირებზე წყალბადის ატომები ეფექტურად „ილუბება“:  $\gamma_H \sim 10^{-2}$ . ამის გამო აღნიშნული ცეოლიტები შეიძლება გამოვიყენოთ ცეცხლქრობი კომპოზიციების შემადგენელ კომპონენტებად.

#### PHYSICAL CHEMISTRY

M. M. KATSITADZE, Z. G. DZOTSENIDZE, M. D. MUSERIDZE,  
G. S. BEZARASHVILI, T. V. KOKOCHASHVILI

### THE INVESTIGATION OF HYDROGEN ATOMS RECOMBINATION ON THE SURFACE OF SOME ZEOLITE-CONTAINING ROCKS FROM GEORGIA

#### Summary

Heterogenous recombination of hydrogen atoms has been studied on the surface of the following zeolite-containing rocks: lomontite, heulandite and clinoptilolite. It turned out that these zeolites effectively recombine hydrogen atoms on their surface, the coefficient of heterogeneous recombination being:  $\gamma_H \sim 10^{-2}$ . Therefore these zeolites can be used as components in fire-extinguishing compositions.

#### ლიტერატურა — ЛИТЕРАТУРА — REFERENCES

1. В. М. Жартовский, А. В. Антонов, Г. В. Цицишвили, О. Г. Ломтадзе, В. В. Манк, С. В. Паховчишин. Способ получения огнетушащего порошка. А. с. № 950411. Б. И., 1982, № 30.
2. Н. Н. Семенов. О некоторых проблемах химической кинетики и реакционной способности. М., 1958, 686 с.
3. А. Б. Налбандян, В. В. Воеводский. Механизм окисления и горения водорода. М., 1948.
4. Д. Брек. Цеолитовые молекулярные сита. М., 1976.
5. С. Л. Ахназарова, Б. В. Кафарова. Оптимизация эксперимента в химии и химической технологии. М., 1978.



ФИЗИЧЕСКАЯ ХИМИЯ

Е. М. БЕНАШВИЛИ, К. Е. КВИТАИШВИЛИ, Н. И. ЧЕРКЕЗИШВИЛИ

АДСОРБЦИОННОЕ ВЫДЕЛЕНИЕ МЕРКАПТАНОВ ИЗ ЖИДКИХ  
ТОПЛИВ С ПРИМЕНЕНИЕМ КЛИНОПТИЛОЛИТСОДЕРЖАЩИХ  
ТУФОВ

(Представлено членом-корреспондентом Академии Т. Г. Андроникашвили 14.10.1988)

В работе [1] представлены результаты адсорбционного выделения гетероатомных соединений из реактивных топлив ТС-1, содержащих различные количества общей и меркаптановой серы, а также нафтеновых кислот с применением природного клиноптилолита Тедзамского месторождения (Грузинской ССР), содержащего 80% цеолитной фазы. Выделение проводилось в динамических условиях в проточной системе при комнатной температуре в соотношении сырье:адсорбент 1:3.

Результаты адсорбционного выделения сераорганических соединений из нефтяных фракций с применением природных, кислотномодифицированных клиноптилолитов и анальцимовых песчаников приведены в работах [2, 3].

В настоящей работе, в отличие от [1—3], исследованы процессы демеркаптанации реактивного топлива ТС-1 при различном соотношении адсорбент:сырье, до полного насыщения адсорбента меркаптанами сырья или достижения равновесного состояния. Исследовалось также влияние температуры и объемной скорости на степень демеркаптанации в сравнимых условиях опытов. В качестве адсорбента использовался клиноптилолитсодержащий туф месторождения Дзегви (участок Хекордзула), но с тем же содержанием (80%) цеолитной фазы и с размерами зерен 0,25—0,50 мм [1].

Объектом исследования являлся дистиллят ТС-1 с содержанием меркаптановой серы (MS) 0,029%,  $d_4^{20}$  0,7884,  $S_{06}$  0,26 % (продукция Батумского НПЗ).

В табл. 1 представлены результаты адсорбционной демеркаптанации реактивного топлива при 100°C и объемной скорости ( $v$ ) 15,0 час<sup>-1</sup>.

Из данных этой таблицы видно, что с увеличением количества пропускаемого сырья на единицу адсорбента постепенно уменьшается степень демеркаптанации топлива от 98,7% при соотношении 1:0,3 до 6,2% в суммарном рафинате при соотношении адсорбент:сырье 1:32,2.

При комнатной температуре адсорбционное выделение меркаптанов производилось при  $v$  2,0 и 5,4 час<sup>-1</sup> (табл. 2, 3).

Из этих таблиц видно, что адсорбция меркаптанов уменьшается при комнатной температуре и с повышением объемной скорости. Так, при  $v$  2,0 час<sup>-1</sup> полное насыщение адсорбента наступает при соотношении адсорбент:сырье 1:30,6, когда степень демеркаптанации уменьшается от 86,6 до 7,2% для суммарного рафината (табл. 2).

Результаты демеркаптаннизации топлива ТС-1 при 100 °С и объемной скорости 15,0 час<sup>-1</sup>. Количество адсорбента 50 г

Количество рафината, г (мл)	Соотношение адсор- бент: сырье, г/г	Содержание MS в ра- финатах, %	Степень демеркап- таннизации, %
15,8 (20)	1: 0,3	0,00038	98,7
31,6 (40)	1: 0,7	0,0035	87,9
47,3 (60)	1: 1,0	0,0077	73,4
78,9 (100)	1: 1,6	0,0142	51,0
157,8 (200)	1: 3,2	0,0185	36,2
236,7 (300)	1: 4,8	0,0209	27,9
315,6 (400)	1: 6,4	0,0222	23,5
394,5 (500)	1: 8,1	0,0230	20,7
473,3 (600)	1: 9,7	0,0239	17,6
552,2 (700)	1: 11,3	0,0245	15,5
631,1 (800)	1: 12,9	0,0249	14,1
710,0 (900)	1: 14,5	0,0253	12,8
788,9 (1000)	1: 16,1	0,0256	11,7
867,8 (1100)	1: 17,7	0,0259	10,7
946,7 (1200)	1: 19,3	0,0261	10,0
1025,5 (1300)	1: 20,9	0,0263	9,3
1104,5 (1400)	1: 22,5	0,0265	8,6
1183,4 (1500)	1: 24,2	0,0267	7,9
1262,2 (1600)	1: 25,8	0,0268	7,6
1341,1 (1700)	1: 27,4	0,0269	7,2
1420,0 (1800)	1: 29,0	0,0270	6,8
1498,9 (1900)	1: 30,6	0,0271	6,5
1577,8 (2000)	1: 32,2	0,0272	6,2

В условиях  $v = 5,4$  час<sup>-1</sup> полное насыщение адсорбента происходит при соотношении адсорбент:сырье 1:25,8, а демеркаптаннизация уменьшается от 73,7 до 5,2% (табл. 3).

Таблица 2

Результаты демеркаптаннизации топлива ТС-1 при комнатной температуре и объемной скорости  $v = 2,0$  ч<sup>-1</sup>. Количество адсорбента 50 г

Количество рафината, г (мл)	Соотношение адсор- бент: сырье, г/г	Содержание MS в ра- финатах, %	Степень демеркап- таннизации, %
15,8 (20)	1: 0,3	0,0039	86,6
31,6 (40)	1: 0,7	0,0086	70,3
47,3 (60)	1: 1,0	0,0111	61,7
78,9 (100)	1: 1,6	0,0155	46,6
157,8 (200)	1: 3,2	0,0200	31,0
236,7 (300)	1: 4,8	0,0220	24,1
315,6 (400)	1: 6,4	0,0230	20,7
394,5 (500)	1: 8,1	0,0237	18,3
473,3 (600)	1: 9,7	0,0243	16,2
552,2 (700)	1: 11,3	0,0246	15,1
631,1 (800)	1: 12,9	0,0250	13,7
710,0 (900)	1: 14,5	0,0253	12,8
788,9 (1000)	1: 16,1	0,0255	12,1
867,8 (1100)	1: 17,7	0,0257	11,4
946,7 (1200)	1: 19,3	0,0258	11,0
1025,5 (1300)	1: 20,9	0,0260	10,3
1104,5 (1400)	1: 22,5	0,0262	9,7
1183,4 (1500)	1: 24,2	0,0263	9,3
1262,2 (1600)	1: 25,8	0,0265	8,6
1341,1 (1700)	1: 27,4	0,0266	8,3
1420,0 (1800)	1: 29,0	0,0267	7,9
1498,9 (1900)	1: 30,6	0,0269	7,2



Таблица 3

Результаты демеркаптаннизации топлива ТС-1 при комнатной температуре и объемной скорости  $v=5,4 \text{ ч}^{-1}$

Количество рафината, г (мл)	Соотношение адсорбент: сырье (г/г/)	Содержание MS в рафинатах, %	Степень демеркаптаннизации, %
15,8 (20)	1: 0,3	0,0076	73,7
31,6 (40)	1: 0,7	0,0128	55,9
47,3 (60)	1: 1,0	0,0157	45,9
78,9 (100)	1: 1,6	0,0191	34,1
157,8 (200)	1: 3,2	0,0225	22,4
236,7 (300)	1: 4,4	0,0240	17,2
315,6 (400)	1: 6,4	0,0249	14,1
344,5 (500)	1: 8,1	0,0255	12,1
473,3 (600)	1: 8,7	0,0259	10,7
552,2 (700)	1: 11,3	0,0262	9,7
631,1 (800)	1: 12,9	0,0265	8,6
710,0 (900)	1: 14,5	0,0267	7,9
788,9 (1000)	1: 16,1	0,0268	7,6
867,8 (1100)	1: 17,7	0,0269	2,2
946,7 (1200)	1: 19,3	0,0271	6,6
1025,5 (1300)	1: 20,9	0,0272	6,2
1104,5 (1400)	1: 22,5	0,0273	5,9
1183,4 (1500)	1: 24,2	0,0274	5,5
1262,2 (1600)	1: 25,8	0,0275	5,2

Исследование влияния температуры на степень демеркаптаннизации показало, что с повышением температуры до 100—150°C повышается адсорбция меркаптанов; например, при соотношении адсорбент: сырье 1:1 и  $v$  1,0  $\text{час}^{-1}$  при комнатной температуре—от 71,0% до 99,3 и 96,2% соответственно в условиях 100 и 150°. При том же соотношении адсорбент:сырье 1:1 и комнатной температуре с изменением объемной скорости от 0,4 до 3,0  $\text{час}^{-1}$  демеркаптаннизация уменьшается от 76,9 до 61,0% соответственно.

Академия наук Грузинской ССР  
 Институт физической  
 и органической химии  
 им. П. Г. Мелкишвили

(Поступило 14.10.1988)

ფიზიკური ქიმია

0. ბანაშვილი, კ. კვიციანი, ნ. ჩარაიანი

თხევადი საწვავებიდან მერკაპტანების აღსორბციული გამოყოფა კლინობტილოლიტშიმცველი ტუფების გამოყენებით

რეზიუმე

შესწავლილია კლინობტილოლიტშიმცველი ტუფების აღსორბციული თვისებები თხევად საწვავში შემავალი მერკაპტანების მიმართ აღსორბენტის სრული გაჯერების პირობებში, სხვადასხვა მოცულობითი სიჩქარის (2; 5,4; 15 სთ<sup>-1</sup>)დროს, ოთახის ტემპერატურაზე და 100°-ზე.

ნაჩვენებია, რომ მაქსიმალური დემერკაპტანიზაცია მიმდინარეობს 100°-ზე, 15,0 სთ<sup>-1</sup> მოცულობითი სიჩქარის პირობებში და აღსორბენტის სრული გაჯერება ხდება აღსორბენტის ნედლეულთან 1:32,2 შეფარდების დროს.



E. M. BENASHVILI, K. E. KVITAISHVILI, N. I. CHERKEZISHVILI

SEPARATION OF MERCAPTANES FROM LIQUID FUELS USING  
CLINOPTILOLITE-CONTAINING TUFFS

## Summary

Adsorptive properties of clinoptilolite-containing tuffs in relation to mercaptanes being in the content of liquid fuels have been studied under conditions of the adsorbent complete saturation at different volume velocities (2; 5,4; 15 h<sup>-1</sup>), at room temperature and at 100°C.

It is shown that the maximum demercaptanization goes on at 100°C, with volume velocity—15,0 h<sup>-1</sup>; the complete saturation of the adsorbent takes place at the ratio adsorbent: raw material equal to 1:32,2.

## ლიტერატურა — ЛИТЕРАТУРА — REFERENCES

1. E. M. Бенашвили, Т. Г. Учаненшвили, М. С. Алибегашвили, Н. И. Черкезишвили, К. Е. Квитаишвили, Сообщения АН ГССР, 118, № 3, 1985, 537.
2. E. M. Benashvili *et al.* An International Conference on the Occurrences, Properties and Utilization of Natural Zeolites. Volume of Abstracts. Budapest-Hungary, p. 53.
3. E. M. Benashvili *et al.* 9<sup>th</sup> International Congress of Chemical Engineering, Chemical Equipment, Design and Automation. Chisa, 87. Praha, Czechoslovakia Program, p. 62, D. 3. 32[1181].

ЭЛЕКТРОХИМИЯ

Р. К. КВАРАЦХЕЛИЯ, Т. Ш. МАЧАВАРИАНИ, Г. Р. КВАРАЦХЕЛИЯ

ХРОНОВОЛЬТАМПЕРОМЕТРИЯ ОКСИАНИОНОВ ГАЛОГЕНОВ

(Представлено членом-корреспондентом Академии Л. Н. Джапаридзе 20.10.1988)

Вольтамперометрия оксианионов галогенов изучена ранее методами классической полярографии [1—4] и вращающегося дискового электрода [5, 6]; показаны вольтамперометрическая инертность оксианионов хлора ( $\text{ClO}_3^-$  и  $\text{ClO}_4^-$ ) и наличие хорошо развитых волн оксианионов брома и иода ( $\text{BrO}_3^-$ ,  $\text{BrO}_4^-$ ,  $\text{IO}_3^-$ ,  $\text{IO}_4^-$ ). Представляло интерес исследование электровосстановления оксианионов Br и I весьма информативным методом хроновольтамперометрии с целью получения кинетических параметров данных процессов еще одним независимым методом и сравнения их с ранее полученными значениями.

Хроновольтамперометрические измерения (объекты — бромат и подат) производились с помощью осциллографического полярографа ПО 5122 (модель 3) в закрытой ячейке в атмосфере гелия на электродах из высокочистых Cd, Zn, Cu, Sn и амальгамированной меди (методика подготовки электродов к измерениям описана в [5]). Все использованные в работе соли были дважды перекристаллизованы из бидистиллята или имели квалификацию «ос. ч.». В качестве электрода сравнения применяли насыщенный каломелевый электрод.

Осуществление хроновольтамперометрических измерений целесообразнее в данном случае на стационарных электродах, так как параметр  $\sigma$  [7], регулирующий возможность установления необходимого для хроновольтамперометрических измерений режима нестационарной диффузии и равный (для случая полностью необратимой реакции первого порядка, характерного для восстановления анионов  $\text{BrO}_3^-$  и  $\text{IO}_3^-$ )

$$\sigma = 2,59 \alpha n F V / RT \omega (\nu / D)^{1/3} \quad (1)$$

(где  $\alpha$  — коэффициент переноса;  $n$  — число электронов;  $V$  — скорость развертки;  $\omega$  — скорость вращения электрода;  $\nu$  — кинематическая вязкость;  $D$  — коэффициент диффузии; остальные величины имеют обычный смысл), имеет при обычных рабочих скоростях вращения электрода (900—1000 об/мин) очень низкое значение ( $\ll 1$ ), свидетельствующее о наличии нежелательного в данном случае режима стационарной диффузии.

На рис. 1 показана хроновольтамперограмма (ХВАГ) аниона  $\text{BrO}_3^-$ , снятая на Cd-электроде в 0,1M LiCl. Эта кривая, имеющая обычный для ХВАГ вид (при использовании треугольной развертки напряжения не наблюдаются анодные токи пика, что свидетельствует о существенной необратимости процесса), позволяет рассчитать кинетические параметры реакции по известным уравнениям хроно-



вольтамперометрии. Значение  $\alpha n$  можно рассчитать из разности значений потенциалов пика и полупика по уравнению Мацуды—Аябе [8, 9]

$$E_{p/2} - E_p = 0,048/\alpha n, \quad (2)$$

а также по уравнению [8, 9]

$$E_p = E^0 - \frac{RT}{\alpha n F} (0,78 - \ln k_s + \ln \sqrt{Db}), \quad (3)$$

где

$$b = \alpha n F V / RT, \quad (4)$$

а  $E^0$  — стандартный потенциал реакции. Из уравнения (3) следует, что угол наклона зависимости  $E_p - \lg V$  равен

$$dE_p/d \lg V = 0,03/\alpha n. \quad (5)$$

Отсюда также можно рассчитать значение  $\alpha n$ . Величины  $\alpha n$ , рассчитанные по уравнению (2) и из графика  $E_p - \lg V$  с учетом соотношения (5), равны соответственно 0,63 и 0,58 (полученное нами ра-

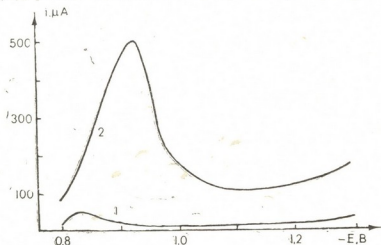


Рис. 1. Хроновольтамперограмма бромат-иона на Cd-электроде, 0,1M LiCl; 0,08 В/С; 25°C; 1 — фон; 2 — фон + 0,001 М CsBrO<sub>3</sub>

нее методом вращающегося диска значение  $\alpha n$  для восстановления бромата на Cd равно 0,6). По уравнению [8]

$$E_p = -1,14 \frac{RT}{\alpha n F} + \frac{RT}{\alpha n F} \ln \frac{k_0}{D^{1/2}} - \frac{RT}{2\alpha n F} \ln \alpha n V \quad (6)$$

рассчитано значение константы скорости  $k_0$  (при  $E=0$  отн. нас. к. э.), по уравнению (3) — значение стандартной константы скорости  $k_s$ . Эти значения равны  $k_0 = 3,2 \cdot 10^{-12}$  см/с;  $k_s = 3,98 \cdot 10^{-15}$  см/с. Значения, определенные методом вращающегося диска [6], равны  $k_0 = 1,1 \cdot 10^{-11}$  см/с;  $k_s = 1,63 \cdot 10^{-15}$  см/с. Таким образом, значения  $\alpha n$ ,  $k_0$  и  $k_s$  процесса восстановления аниона BrO<sub>3</sub><sup>-</sup> на кадмиевом электроде, определенные двумя независимыми методами, близки друг другу.

ХВАГ бромата, снятые на других электродах — Zn, Cu, Sn, Cu-Hg, не имеют четких максимумов тока, что затрудняет использование

закономерностей хроновольтамперометрии для расчета кинетических параметров.

ХВАГ были сняты также для процесса восстановления подата на различных электродах. На рис. 2 показана ХВАГ  $10_3^-$ -иона для

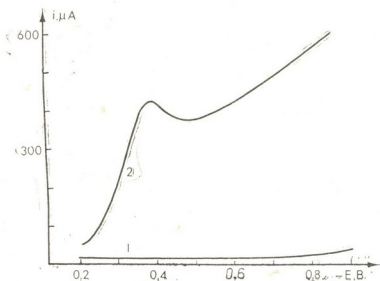


Рис. 2. Хроновольтамперограмма подата-иона на Cu-Hg-электроде. 0,1 М HCl; 0,08 В/с; 25°C; 1 — фон; 2 — фон + 0,0005 М  $K10_3$

случая электрода из Cu-Hg в 0,1 М HCl, по которой рассчитаны величины  $an$  и  $k_s$ , равные соответственно 0,60 и  $5,1 \cdot 10^{-16}$  см/с (ранее эти параметры для данного случая не рассчитывались).

В таблице приводятся значения  $an$  и  $k_s$  процесса восстановления подата на различных электродах, полученные методом вращающегося диска [5] и методом хроновольтамперометрии.

Электрод и фон	Вращающийся диск		Хроновольтамперометрия	
	$an$	$k_s$ , см/с	$an$	$k_s$ , см/с
Cd (0,1 М LiCl)	0,43	$0,9 \cdot 10^{-13}$	0,50	$5,1 \cdot 10^{-11}$
Zn (0,1 М KCl)	0,55	$3,0 \cdot 10^{-14}$	0,48	$1,1 \cdot 10^{-14}$
Cu (0,1 М SrCl <sub>2</sub> )	0,40	$6,1 \cdot 10^{-10}$	0,43	$2,4 \cdot 10^{-9}$
Cu-Hg (0,1 М SrCl <sub>2</sub> )	0,54	$4,8 \cdot 10^{-15}$	0,53	$3,2 \cdot 10^{-13}$

Как видно из таблицы, значения  $an$  и  $k_s$ , определенные двумя независимыми методами, находятся в удовлетворительном согласии друг с другом (с учетом величин порядков констант скорости).





რ. კვარაცხელია, თ. მაჩავარიანი, ზ. კვარაცხელია

## ჰალოგენთა ოქსიანიონების ქრონოვოლტამპერიმეტრი

რეზიუმე

ქრონოვოლტამპერიმეტრიის მეთოდით განსაზღვრულია ბრომატ- და იოდატ-ანიონების ელექტროდგენის პროცესების კინეტიკური პარამეტრები  $\alpha n$ ,  $k_0$  და  $k_s$  სხვადასხვა ელექტროდებზე. ნაჩვენებია, რომ ისინი კარგად ეთანხმებიან მბრუნავი დისკის მეთოდით მიღებულ მნიშვნელობებს.

## ELECTROCHEMISTRY

 R. K. KVARATSKHELIYA, T. Sh. MACHAVARIANI, G. R. KVARATSKHELIYA  
 CHRONOVOLTAMMETRY OF THE OXIANIONS OF HALOGENS

## Summary

Kinetic parameters of the processes of electroreduction of the bromate and iodate anions ( $\alpha n$ ,  $k_0$ ,  $k_s$ ) have been calculated by the chronovoltammetric method at the various electrodes. It has been shown that these parameters are in good agreement with the values obtained by the rotating disk method.

## ლიტერატურა — ЛИТЕРАТУРА — REFERENCES

1. В. И. Зыков, С. И. Жданов. ЖФХ, 32, № 3, 1958, 644.
2. В. И. Зыков, С. И. Жданов. ЖФХ, 32, № 4, 1958, 791.
3. A. M. Shams El Din, T. M. H. Saber, H. A. El Shaye b. J. Electroanalyt. Chem., 36, № 2, 1972, p. 411.
4. A. M. Shams El Din, T. M. H. Saber, H. A. El Shaye b. J. Electroanalyt. Chem., 57, № 1, 1974, p. 241.
5. P. K. Kvaratskheliya, T. Sh. Machavariani. Электрохимия, 20, № 3, 1984, 303.
6. P. K. Kvaratskheliya, T. Sh. Machavariani, G. R. Kvaratskheliya. Электрохимия, 22, № 12, 1986, 1612.
7. М. Р. Тарасевич, Е. И. Хрущева, В. Ю. Филиновский. Вращающийся дисковый электрод с кольцом. М., 1987.
8. З. Галюс. Теоретические основы электрохимического анализа. М., 1974.
9. В. И. Гороховская, В. М. Гороховский. Практикум по электрохимическим методам анализа. М., 1983.



ЭЛЕКТРОХИМИЯ

Р. И. АГЛАДЗЕ (академик АН ГССР), М. Н. ДЖАЛИАШВИЛИ,

Г. Н. МЧЕДЛИШВИЛИ, М. Б. КЕРЕЧАШВИЛИ, Д. Г. ДЖИНЧАРАДZE

ЗАВИСИМОСТЬ СВОЙСТВ ФЕРРИТОВОГО СЫРЬЯ ОТ УСЛОВИЙ  
 ЭЛЕКТРОЛИЗА

Изготовление электролитического сырья для синтеза ферритов системы  $MnO-ZnO-Fe_2O_3$  осуществляется совместным электролизом синтетического сплава  $Fe-Mn$  и цинкового анода в 1 М растворе хлористого натрия с различным значением рН (8 и 11,8). Полученный продукт электролиза содержит около 6% ионов натрия, для удаления которых требуется трехкратная промывка осадка водой.

Было замечено, что как промытые, так и непромытые образцы, высушенные при комнатных условиях, характеризуются довольно высокой величиной удельной намагниченности насыщения. Поэтому интересным для исследования являлось изучение зависимости удельной намагниченности насыщения продуктов от степени очистки образцов от ионов натрия, рН рабочего электролита, а также температуры обжига порошков.

Измерение удельной намагниченности насыщения образцов проводилось динамическим весовым методом Сексмита.

Как показали исследования, независимо от температуры обжига и рН рабочего электролита химические составы порошков, обожженных в одних и тех же температурных режимах, не отклоняются от аналитически допустимых норм и являются идентичными (табл. 1).

Таблица 1

Химический состав электролитической ферритовой шихты

Т обжига, °С	Шихта, полученная при рН 8			Шихта, полученная при рН 11,8		
	Fe	Mn	Zn	Fe	Mn	Zn
140	48,01	12,72	11,88	48,83	12,54	11,20
240	50,51	13,00	8,80	49,19	12,89	9,62
550	51,63	13,18	7,33	52,19	12,60	7,29
950	48,01	12,79	11,88	48,01	12,79	11,88

Измерение удельной намагниченности насыщения электролитической шихты показало, что между  $\sigma_s$  и фазовым составом образцов имеется хорошая корреляция.

С повышением температуры обжига удельная намагниченность насыщения порошков падает (табл. 2). Эта зависимость значительно выражается при обжиге образцов, изготовленных в электролите с рН 11,8.

$\sigma_s$  образцов, обожженных изотермически при 500°С, снижается до 0,59 Гс·см<sup>3</sup>/г, тогда как удельная намагниченность насыщения для порошков, полученных в электролите с рН 8,0, в том же температурном интервале отвечает 28,6 Гс·см<sup>3</sup>/г.

Зависимость удельной намагниченности насыщения электролитической шихты от рН электролита и температуры обжига

Т обжига, °С	рН 8,0		рН 11,8	
	Помол	$\sigma_s$ , Гс·см <sup>3</sup> /г	Помол	$\sigma_s$ , Гс·см <sup>3</sup> /г
140	да	40,21	да	12,00
240	нет	40,99	нет	12,50
240	да	39,73	да	12,94
	нет	39,40	нет	13,29
300	да	38,72	да	12,55
	нет	39,71	нет	14,59
500	да	28,60	да	0,59
	нет	19,71	нет	6,86
550	да	17,57	да	0,36
	нет	17,81	нет	0,84
950	да	6,30	да	2,55
	нет	6,74	нет	2,16

Что касается влияния дезагрегации образцов, наблюдается незначительное влияние помола порошков на абсолютные величины удельной намагниченности насыщения, в особенности для образцов, изготовленных при рН 8,0. Однако остается ясным, что при обжиге, во всех температурных интервалах высокими значениями  $\sigma_s$  характеризуется электролитическое сырье, изготовленное электролизом железо-марганцевого сплава совместно с цинковым анодом в 1 М растворе хлористого натрия с рН 8,0. Значения удельной намагниченности насыщения в 3 раза превышают таковые для образцов, изготовленных при рН 11,8.

Идентификация фазового состава дала возможность объяснения причины различия в величинах намагниченности насыщения обоих образцов (табл. 3).

Таблица 3

Фазовые изменения электролитической ферритовой шихты в процессе обжига

Т обжига, °С	Шихта, изготовленная при рН 8,0		Шихта, изготовленная при рН 11,8	
	Фазовый состав	Параметр решетки	Фазовый состав	Параметр решетки
140	шпинель	8,37	шпинель+ $\beta$ (Fe, Mn) ООН	8,44
240	то же	8,34	то же	8,35
300	то же	8,31	то же	8,33
550	$\alpha$ =Fe <sub>2</sub> O <sub>3</sub> +шпинель	8,42	$\alpha$ =Fe <sub>2</sub> O <sub>3</sub> +шпинель	8,39
950	то же	8,43	то же	8,42

Электрохимическое сырье, изготовленное при рН 8, однофазно до 550°С и состоит из шпинельной структуры, тогда как продукт электролиза в растворе с рН 11,8, наряду с шпинельной фазой, содержит смесь моногидратов марганца и железа — (Fe, Mn) ООН, что, очевид-



ნო, является причиной занижения намагниченности насыщения электролитического сырья.

Степень очистки сырья от ионов натрия является значительным фактором в технологии изготовления ферритов. По оценке только удельной намагниченности насыщения можно сделать вывод, что удельная намагниченность насыщения электролитического сырья, промытого от ионов натрия, отличается не на значительную величину от непромытых образцов (табл. 4).

Таблица 4  
Удельная намагниченность насыщения электролитического марганец-цинкового ферритового сырья

Промывка	Т обжига, °С	Фазовый состав	Удельная намагниченность насыщения, Гс·см <sup>3</sup> /г
да	140	шпинель	40,99
нет		то же	33,05
да	240	то же	39,40
да	300	то же	39,71
да	500	$\alpha = \text{Fe}_2\text{O}_3 + \text{шпинель}$	19,71
да	550	то же	17,81
да	600	то же	0,84
да	950	шпинель + $\alpha = \text{Fe}_2\text{O}_3$	6,74
нет		то же	5,04
да	1260	шпинель	83,96

С увеличением доли фазы  $\alpha\text{-Fe}_2\text{O}_3$  удельная намагниченность насыщения падает до 0,84 Гс·см<sup>3</sup>/г. Значение  $\sigma_s$  повышается с повышением температуры обжига, когда вновь начинается перестройка фаз с увеличением количества шпинельной фазы, и к 1260°C и достигает 83,96 Гс·см<sup>3</sup>/г.

Академия наук Грузинской ССР  
Институт неорганической химии  
и электрохимии

(Поступило 8.12.1988)

ელექტროქიმიის

რ. აბლაძიძე (საქ. სსრ მეცნ. აკადემიის აკადემიკოსი), მ. ჯალიაზიშვილი,  
ბ. მამაღლიშვილი, მ. ძირაშვილი, დ. ჯინაბაძე

საფერით კაჟმის თვისებების დამოკიდებულება ელექტროლიზის პირობებთან

რეზიუმე

რკინა-მანგანუმის შენაღობისა და თუთიის ანოდის თანაური ელექტროლიზით 1M ნატრიუმის ქლორიდის ხსნარში pH 8 და 11,8 დროს დამზადებული საფერიტე კაჟმი. ხვედრითი მაგნიტური შეღწევადობის გაზომვით, რენტგენოფაზური და ქიმიური ანალიზით დადგენილია, რომ pH 8-ზე მიღებული ელექტროლიტური საფერიტე კაჟმის ფაზური შემადგენლობა უპასუხებს შპინელურ სტრუქტურას და მიუხედავად ქიმიური შემადგენლობის იდენტურობისა მისი  $\sigma_s$  სამჯერ აღემატება იგივე კაჟმის მახასიათებლებს, რომელიც



მზადდება pH 11,8 დროს და წარმოადგენს ორფაზურ სისტემას, სადა მონოჰიდრა-  
ნელთან ერთად არსებობს რკინისა და მანგანუმის უანგეულთა მონოჰიდრა-  
ტების ნარევი.

ELECTROCHEMISTRY

R. I. AGLADZE, M. N. JALIASHVILI, G. N. MCHEDLISHVILI,  
M. B. KERECHASHVILI, D. G. JINCHARADZE

THE INTERRELATION BETWEEN THE FERRITE MIX PROPERTIES  
AND THE ELECTROLYSIS CONDITIONS

Summary

The ferrite mix has been prepared by the electrolysis of iron-manganese alloy and zinc anodes in the 1 M NaCl solution at pH 8 and 11,8. It has been established by specific saturation magnetization measuring, X-ray and chemical analysis that the phase composition of the electrolytic ferrite mix prepared at pH 8 corresponds to a spinel structure and, despite the identity of the chemical composition, its  $\sigma_s$  is three times greater than the similar characteristics of the mix which is prepared at pH 11,8 and which corresponds to the two-phase system where the mixture of the iron and manganese oxides monohydrates exists together with a spinel.

В. В. ШАВГУЛИДЗЕ, М. Р. ЧАГУНАВА

## ИССЛЕДОВАНИЕ МЕХАНИЗМА ЭЛЕКТРОВОССТАНОВЛЕНИЯ КОМПЛЕКСОВ НИКЕЛЯ (II) С N,N-ДИЭТИЛНИКОТИНАМИДОМ И ОПРЕДЕЛЕНИЕ ЕГО КОНСТАНТЫ УСТОЙЧИВОСТИ НА ОСНОВЕ ПОЛЯРОГРАФИЧЕСКИХ КАТАЛИТИЧЕСКИХ ТОКОВ

(Представлено членом-корреспондентом Академии Л. Н. Джанаридзе 7.12.1988)

Каталитический эффект при электровосстановлении комплексов никеля (II) с N,N-диэтилникотинамидом (ДЭНА) исследовался в работах [1, 2]. Было установлено, что ДЭНА образует каталитическую предволну при потенциалах менее отрицательных, чем потенциал разряда акваионов никеля (II), и что каталитическая предволна связана с восстановлением комплексов никеля (II) в адсорбционном слое.

В настоящей работе для количественного исследования каталитического процесса в системе  $Ni^{2+}$ -ДЭНА- $H_2O$  использовано общее уравнение необратимой поверхностной кинетической (каталитической) волны, обусловленной замедленной рекомбинацией частиц [3]. Опыты проводились при условии соблюдения для ДЭНА адсорбционной изотермы Генри (низкие концентрации ДЭНА, капаящий ртутный электрод с лопаточкой). Учитывая относительно небольшую устойчивость комплексов никеля (II) с ДЭНА, образованием комплексов в объеме раствора при низких концентрациях ДЭНА ( $c_{ДЭНА} = 6,0 \cdot 10^{-4}$  моль/л) можно пренебречь.

Использованное нами уравнение поверхностной каталитической предволны на основе работы [3], упрощенное впоследствии в работе [5], предусматривает выполнение следующих условий: низкие концентрации фонового электролита ( $\leq 0,1$  MNaClO<sub>4</sub>), деполяризатора ( $\leq 5 \cdot 10^{-5}$  M) и лиганда ( $c_{ДЭНА} = 6 \cdot 10^{-4}$  M).

Исследование проводилось с помощью полярографа ОН-102 (ВНР) в термостатированной ячейке [6] при  $25 \pm 0,1^\circ C$  в атмосфере гелия капаящим ртутным электродом с принудительным отрывом капель (электрод с лопаточкой [4]). Фоновым электролитом служил 0,1 MNaClO<sub>4</sub>, не содержащий поверхностно-активных веществ. Концентрацию ДЭНА меняли от  $5 \cdot 10^{-5}$  до  $6 \cdot 10^{-4}$  моль/л; концентрация нитрата никеля составляла  $5 \cdot 10^{-5}$  моль/л. Безводный ДЭНА был получен из 25% раствора отгонкой воды и последующей вакуумперегонкой. Все растворы были приготовлены на бидистилляте. Электродом сравнения служил насыщенный каломельный электрод, нестандартность которого устанавливалась аналогично [5]. Применялся потенциометрический контроль потенциала (компаратор напряжения Р-3003). Пределный каталитический ток измерялся при  $E = -0,90$  В, предельный диффузионный ток — при  $E = 1,20$  В.

На рис. 1 показаны полярограммы восстановления ионов никеля (II) на фоне перхлората натрия в присутствии ДЭНА. Величина предельного каталитического тока ( $i_{п}^k$ ) (кр. 2, 3, 4, 5 рис. 1) зависит от природы и концентрации фонового электролита.  $i_{п}^k$  увеличивается в направлении  $Cs^+ < Na^+ < Li^+$  и уменьшается с ростом ионной

сиялы раствора, создаваемой перхлоратом натрия. Это указывает на поверхностную природу каталитической реакции и на образование положительно заряженного электроактивного комплекса с адсорбированным лигандом.

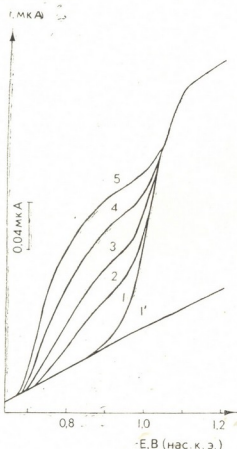
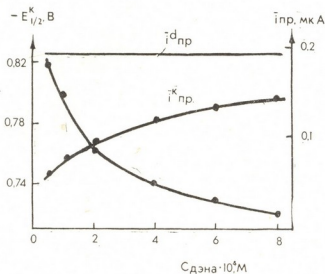


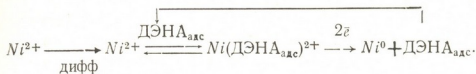
Рис. 1. Каталитические предволны и диффузионная волна (1) ионов никеля (II) в 0,1 М  $\text{NaClO}_4 + 5 \cdot 10^{-5} \text{M Ni}^{2+} + x \text{M ДЭНА}$ ;  $x \cdot 10^4$ , М: 1—0; 2—0,5; 3—1,0; 4—2,0; 5—4,0; 1'—кривая в 0,1 М  $\text{NaClO}_4$

На основании уравнений (7) и (8) работы [5] были рассчитаны кинетические параметры каталитической предволны. С использованием найденного по уравнению (7)  $\alpha n_a = 0,98 \pm 0,04$  и величин  $E_{1/2}^k$ ,  $i_{np}^k$  и  $i_{np}^d$  (рис. 2)

Рис. 2. Зависимость потенциала полуволны каталитической предволны, предельного диффузионного и предельного каталитического токов в 0,1 М  $\text{NaClO}_4 + 5 \cdot 10^{-5} \text{M Ni}^{2+} + \text{ДЭНА}$  от концентрации ДЭНА;  $E_{1/2,p}^k = -0,90 \text{ В}$

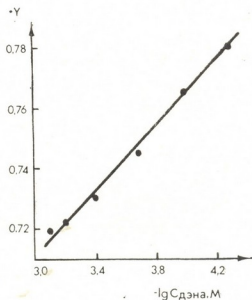


было подтверждено уравнение (8) [5] (рис. 3). Наклон прямой  $Y = \lg c_{\text{ДЭНА}}$  равен 0,059, что при указанном значении  $\alpha n_a$  дает  $h + 1 = 0,99$ . Отсюда можно принять, что  $h + 1 \approx 1$  и, следовательно,  $h = 0$ . Это соответствует каталитическому процессу, описываемому схемой



Таким образом, каталитический ток в системе  $Ni^{2+}$ -ДЭНА- $H_2O$  в изученных нами экспериментальных условиях определяется комплексобразованием акваионов никеля (II) с адсорбированным на электроде *N,N*-диэтилникотинамидом.

Рис. 3. Зависимость величины  $\gamma$  от концентрации ДЭНА: 0,1 М  $NaClO_4 + 5 \cdot 10^{-5}$  М  $Ni^{2+} + xM$  ДЭНА;  $x \cdot 10^4 M$ : 1—0,5; 2—1,0; 3—2,0; 4—4,0; 5—6,0; 6—8,0



Комплексы никеля (II) с производными монопиридинкарбоновых кислот — биологически важные объекты, однако устойчивость их в растворе изучена недостаточно. В настоящей работе нами была определена константа устойчивости *N,N*-диэтилникотинамидного комплекса никеля (II) на основе полярографических каталитических то-

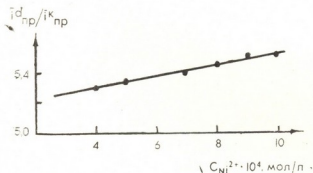
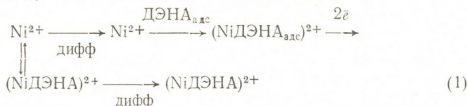


Рис. 4. Зависимость  $i_{пр}^d / i_{пр}^k$  от концентрации никеля (II)

ков. Для описания электродного процесса при избытке никеля (II) использовалась следующая схема:



При избытке никеля (II) в схеме (1) можно пренебречь каталитическим взаимодействием  $(Ni\text{ДЭНА})^{2+}$  с адсорбированным ДЭНА. При условии  $C_{\text{ДЭНА}} \ll C_{Ni^{2+}}$  можно ограничиться учетом лишь монолигандного комплекса никеля (II) в объеме раствора. В данном случае при  $C_{\text{ДЭНА}} = \text{const}$  и





$i_{\text{np}}^k \ll i_{\text{np}}^d$  применимо кинетическое уравнение (уравнение (329) в работе [8]):

$$i_{\text{np}}^d / i_{\text{np}}^k = k + k \beta_1 c_m, \quad (2)$$

где  $i_{\text{np}}^d$  — предельный диффузионный ток никеля (II);  $i_{\text{np}}^k$  — предельный каталитический ток.

Как видно из рис. 4, уравнение (2) хорошо согласуется с опытными данными. Из рис. 4 и уравнения (2) была найдена константа устойчивости комплекса  $(\text{Ni ДЭНА})^{2+}$   $\beta_1 = 43 \pm 1,15$  ( $\mu = 0,1$ ;  $25^\circ\text{C}$ ). Найденное значение  $\beta_1$  хорошо согласуется с результатами, полученными в работе [7] потенциометрическим методом.

Академия наук Грузинской ССР  
Институт неорганической химии  
и электрохимии

(Поступило 15.12.1988)

ელექტროქიმია

3. შავგულიძე, მ. ჩაგუნავა

N, N-დიეთილნიკოტინამიდთან ნიკელის (II) კომპლექსის  
ელექტროდღებენის მქანისთვის შესწავლა და კოლაროგრაფიულ  
კატალიზურ დენებზე დასრდნობით მისი მდგრადობის მუდმივას  
განსაზღვრა

რეზიუმე

დადგენილია, რომ კატალიზური დენი სისტემაში  $\text{Ni}^{2+}-\text{N}$ , N-დიეთილნიკოტინამიდი —  $\text{H}_2\text{O}$  განპირობებულია  $\text{Ni(II)}$ -ის აკვაციონების კომპლექს-წარმოქმნით ელექტროდზე ადსორბირებულ N,N-დიეთილნიკოტინამიდთან. განსაზღვრულია აღნიშნული კომპლექსის მდგრადობის მუდმივა  $\beta_1 = 43 \pm 1,5$  (იონური ძალა  $\mu = 0,1$ ;  $25^\circ\text{C}$ ).

ELECTROCHEMISTRY

V. V. SHAVGULIDZE, M. R. CHAGUNAVA

## A STUDY OF THE MECHANISM OF ELECTROREDUCTION OF NICKEL (I) COMPLEX WITH N, N-DIETHYLNICOTINAMIDE AND DETERMINATION OF ITS STABILITY CONSTANT ON THE BASIS OF POLAROGRAPHIC CATALYTIC CURRENTS

### Summary

It is shown that the catalytic current in the  $\text{Ni}^{2+}-\text{N,N}$ -diethylnicotinamide— $\text{H}_2\text{O}$  system is determined by the complexing of Ni (2) aquo ions with N,N-diethylnicotinamide adsorbed on the electrode surface. The stability constant of the mentioned complex  $\beta_1 = 43 \pm 1,5$  (ionic strength  $\mu = 0,1$ ;  $25^\circ\text{C}$ ) has been obtained.

### ლიტერატურა — ЛИТЕРАТУРА — REFERENCES

1. В. В. Шавгулидзе, Э. Д. Гецадзе. Электрохимия, т. 16, 1980, 308.
2. В. В. Шавгулидзе, Э. Д. Гецадзе, Н. Г. Бекаури. Сообщения АН ГССР, 94, № 1, 1979, 101.
3. Я. И. Турьян. Химические реакции в полярографии. М., 1980, 60.
4. Е. М. Скобец, Н. С. Кавецкий. Зав. лаб., т. 15, 1949, 1299.
5. Я. И. Турьян, И. И. Москатов. Электрохимия, т. 18, 1982, 1039.
6. С. Г. Майрановский, Ф. С. Титов. ЖАХ, т. 15, 1980, 121.
7. Х. Х. Хакимов, М. А. Азизов, К. С. Хакимова. ЖНХ, т. 16, 1971, 128.



Э. Я. САБАДЗЕ

МЕТОДЫ ПРИБЛИЖЕННОЙ ОЦЕНКИ ПАРАМЕТРОВ  
 РАСПРЕДЕЛЕНИЯ  $S_B$  ДЖОНСОНА

(Представлено членом-корреспондентом Академии Г. Г. Сванидзе 16.12.1988)

В гидрологической практике широко применяются различные типы распределения, среди которых в последнее время для описания речного стока рекомендуют распределение  $S_B$  Джонсона [1], которое обладает рядом преимуществ перед другими распределениями.

Плотность распределения  $S_B$  Джонсона имеет следующий вид:

$$f(x) = \frac{1}{\sigma_\tau \sqrt{2\pi}} \cdot \frac{b-a}{(x-a)(b-x)} \exp \left\{ -\frac{1}{2\sigma_\tau^2} \left[ \ln \left( \frac{x-a}{b-x} \right) - m_\tau \right]^2 \right\}, \quad (1)$$

где  $a$  и  $b$  — соответственно нижняя и верхняя границы случайной величины  $x_i$ ;  $m_\tau$  и  $\sigma_\tau$  — математическое ожидание и среднее квадратическое отклонение нормально распределенной последовательности  $\tau_i$ ,  $\tau_i = \ln \left( \frac{x_i - a}{b - x_i} \right)$ .

Основная трудность при использовании  $S_B$  Джонсона связана с определением его границ  $a$  и  $b$ . Исходя из физических соображений стока с уверенностью можно сказать, что параметр  $a$  изменяется от 0 до наименьшего наблюдаемого значения, а параметр  $b$  — от наивысшего наблюдаемого значения до бесконечности.

Выбор границ распределения  $S_B$  Джонсона производится с помощью последовательного перебора сочетаний этих границ с использованием разных статистических критериев проверки соответствия теоретических и эмпирических функций распределения [2].

Здесь мы рассмотрим лишь приближенные оценки параметров, которые являются простыми и удобными.

1. Если заданы параметры  $a$  и  $b$ , для оценки  $m_\tau$  и  $\sigma_\tau$  в [3] используются приближенные формулы:

$$m_\tau^* = \ln \left( \frac{1-a}{b-1} \right) \quad (2), \quad \sigma_\tau = \frac{b-a}{(1-a)(b-1)} c_v, \quad (3)$$

где  $1 = \bar{K} \left( K_i = \frac{Q_i}{\bar{Q}} \right)$  является модульным коэффициентом расхода воды). Однако формулы (2) и (3) при больших значениях коэффициента вариации ( $C_v$ ) дают значительные ошибки, поэтому построенные по этим параметрам теоретические кривые обеспеченности заметно расходятся с эмпирическими точками (рис. 1).

В результате проведенного анализа и изучения характера взаимосвязи параметром  $S_B$  Джонсона с параметрами  $C_v$  и  $C_s$  исходного ряда эмпирическим путем получены следующие формулы:

$$m_{\tau}^{**} = \ln \left( \frac{1-a}{(b-1) \sqrt{1 + \left( \frac{C_s}{1-a} \right)^2}} \right), \quad (4)$$

$$\sigma_{\tau}^{**} = \frac{b+a + \frac{2C_s}{2b-1}}{b+a-1} \cdot (1+a) \cdot C_v. \quad (5)$$

Если за истинные значения  $m_{\tau}$  и  $\sigma_{\tau}$  принять оценку методом моментов, который для нормальной последовательности дает такой же результат, что и метод наибольшего правдоподобия, то окажется, что

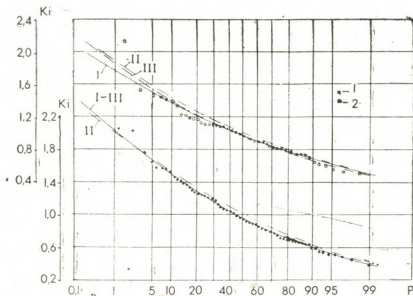


Рис. 1. Кривые наблюдаемых среднегодовых (1 — р. Дон, г. Калач), 2 — р. Десна, г. Брянск) расходов воды и теоретических (с параметрами: I —  $a, b, m_{\tau}, \sigma_{\tau}$ , II —  $a, b, m_{\tau}^{**}, \sigma_{\tau}^{**}$ , III —  $a, b, m_{\tau}^{**}, \sigma_{\tau}^{**}$ ) кривых обеспеченностей

формулы (4) и (5) дают более надежные значения  $m_{\tau}$  и  $\sigma_{\tau}$  (таблица) и соответственно кривая, построенная по этим параметрам, более четко описывает эмпирическое распределение, чем кривая с параметрами ( $a, b, m_{\tau}^{**}, \sigma_{\tau}^{**}$ ), (рис. 1).

2. Если известно значение расхода воды 50% обеспеченности ( $K_{0.5}$ ) и параметра, который для малых соотношений  $C_s/C_v$  можно приравнять нулю, то для определения верхнего предела распределения  $S_B$  Джонсона рекомендуем формулу

$$b = \frac{(1-a)^2 \cdot K_{0.5} - (K_{0.5} - a) \cdot \sqrt{C_v^2 + (1-a)^2}}{(1-a)^2 - (K_{0.5} - a) \sqrt{C_v^2 + (1-a)^2}}. \quad (6)$$

Оценку остальных  $m_{\tau}$  и  $\sigma_{\tau}$  параметров можно получить с помощью формул (4) и (5). Кроме (4), для вычисления  $m_{\tau}$  можно использовать и формулу

$$m_{\tau} = \ln \left( \frac{K_{0.5} - a}{b - K_{0.5}} \right). \quad (7)$$

Как видно, указанный способ является довольно простым и удобным

Параметры  $m_\tau$  и  $\sigma_\tau$  распределения  $S_B$  Джонсона, определенные разными формулами

Река—пункт	Характеристики $C_v; C_s; a; b$	Метод моментов		$m_\tau^*$	$\sigma_\tau^*$	$m_\tau^{**}$	$\sigma_\tau^{**}$
		$m_\tau$	$\sigma_\tau$				
Вента (Абава)	0,27; 0,49; 0; 11,83	-2,417	0,293	-2,382	0,295	-2,417	0,296
Десна (Чернигов)	0,35; 0,49; 0,2; 178	-5,465	0,370	-5,399	0,383	-5,467	0,368
Дон (Калач)	0,345; 0,78; 0,15; 4,2	-1,394	0,541	-1,326	0,514	-1,402	0,540
Неман (Смолинский)	0,16; 0,55; 0; 6,12	-1,646	0,193	-1,633	0,191	-1,646	0,194

для расчета. Анализ кривых распределения показывает удовлетворительное соответствие теоретической кривой с эмпирическими точками.

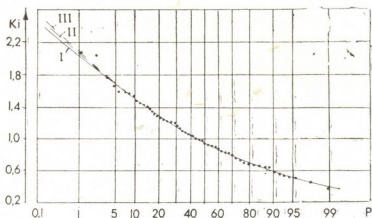


Рис. 2. Кривые наблюдаемых сверднегодовых расходов воды р. Дон (г. Калач) и теоретических (при: I— $a=0$ , II— $a=0,1$ , III— $a=0,15$ ) кривых обеспеченностей

В заключение можно сделать следующие выводы:

- а) при известных параметрах  $a$  и  $b$  оценку  $m_\tau$  и  $\sigma_\tau$  можно получить с помощью формул (4) и (5);
- б) увеличение параметра  $a$  ведет к повышению асимметричности ряда, которое в ряде случаев практически незаметно;
- в) при известном параметре  $a$  (который часто приравнивается нулю) для оценки параметров  $b$ ,  $m_\tau$  и  $\sigma_\tau$  рекомендуются формулы (6), (4) и (5), которые дают хорошие результаты.

Закавказский региональный  
научно-исследовательский  
институт

(Поступило 16.12.1988)

ჰიდროლოგია

0. საბაძო

ჯონსონის  $S_B$  განაწილების ფუნქციის პარამეტრების შეფასების  
მიახლოებითი მეთოდი

რეზიუმე

ჰიდროლოგიურ განგარიშებებში ფართოდ გამოიყენება ჯონსონის  $S_B$   
განაწილების ფუნქცია. განვილულია პარამეტრების შეფასების მიახლოებითი



მეთოდები, რომლებიც გამოირჩევიან სიმარტივით, სხვადასხვა მდინარეებზე ჩატარებულმა გაანგარიშებებმა დაადასტურეს აღნიშნული მეთოდების პრაქტიკულად გამოყენების შესაძლებლობა.

---

 HYDROLOGY
 

---

E. Ya. SABADZE

 APPROXIMATE ESTIMATION METHODS OF JONSON  $S_n$   
 DISTRIBUTION FUNCTION PARAMETERS

## Summary

Jonson  $S_n$  distribution function is widely used in hydrological calculations. Simple methods of approximate estimation of parameters are discussed. The possibilities of practical application of these methods are supported by calculations at different rivers.

## ლიტერატურა — ЛИТЕРАТУРА — REFERENCES

1. Г. Г. Сванидзе. Математическое моделирование гидрологических рядов. Л., 1977.
2. Г. Л. Григолия. Водные ресурсы, № 6, 1979.
3. Н. Д. Кодуа. Стохастические методы описания колебаний речного стока и пути применения стохастических моделей водно-энергетических расчетов. Отчет по теме ГПИ им. В. И. Ленина. Тбилиси, 1984.

З. А. ПИРАНАШВИЛИ, Э. Я. САБАДЗЕ

## К ВОПРОСУ ОЦЕНКИ ОДНОМЕРНОЙ ФУНКЦИИ РАСПРЕДЕЛЕНИЯ РЕЧНОГО СТОКА

(Представлено членом-корреспондентом Академии Г. Г. Сванидзе 1.12.1988)

Для вероятностного описания и расчета метеорологических и гидрологических величин, которым свойственна повышенная асимметрия (например, характеристики дождевых паводков), нередко к хорошим результатам приводит использование логарифмически-нормального распределения. Имея простую взаимосвязь с нормальным распределением, его легко и удобно можно использовать при моделировании гидрологических рядов для решения разных гидроэнергетических и хозяйственных задач.

Плотность лог-нормального распределения имеет следующий вид:

$$f(x) = \frac{1}{\sqrt{2\pi}\sigma_\tau} \cdot \frac{1}{(x-a)} \exp\left\{-\frac{1}{2\sigma_\tau^2} [\ln(x-a) - m_\tau]^2\right\}, \quad (1)$$

где  $a$  — нижняя граница случайной величины  $x$  (часто в гидрологической практике берется  $a=0$ ),  $m_\tau$  и  $\sigma_\tau$  — математическое ожидание и среднеквадратическое отклонение нормально распределенной последовательности  $\tau_i$ ,  $\tau_i = \ln(x_i - a)$ .

— Оценку параметров ( $a$ ,  $m_\tau$ ,  $\sigma_\tau$ ) можно получить несколькими методами. Здесь мы рассмотрим следующие методы:

1. Метод моментов, который для нормальной последовательности дает такой же результат, что и метод наибольшего правдоподобия [1].

Можно рассмотреть два случая:

а) когда параметр  $a$  известен, часто приравнивается нулю и, таким образом, получается двухпараметрическое лог-нормальное распределение;

б) когда параметр  $a$  известен.

Отдельно рассмотрим эти случаи:

а) при известном параметре  $a$  оценку остальных  $m_\tau$  и  $\sigma_\tau$  параметров можно получить формулами

$$m_\tau = \frac{\sum_{i=1}^n \ln(x_i - a)}{n}, \quad (2)$$

$$\sigma_\tau = \sqrt{\frac{\sum_{i=1}^n (\ln(x_i - a) - m_\tau)^2}{n - 1}}. \quad (3)$$

Однако использование формул (2) и (3) не всегда удобно. Авторы для оценки  $m_\tau$  и  $\sigma_\tau$  предлагают довольно простые для расчета формулы [2], [3]

$$m_{\tau} = \ln \left[ \frac{1-a}{\sqrt{\frac{C_v^2}{(1-a)^2} + 1}} \right], \quad (4)$$

$$\sigma_{\tau}^2 = \ln \left( \frac{C_v^2}{(1-a)^2} + 1 \right), \quad (5)$$

где  $C_v$ —коэффициент вариаций исходного ряда.

б) Установив связь между параметрами ( $a$ ,  $m_{\tau}$ ,  $\sigma_{\tau}$ ) и моментами ис-

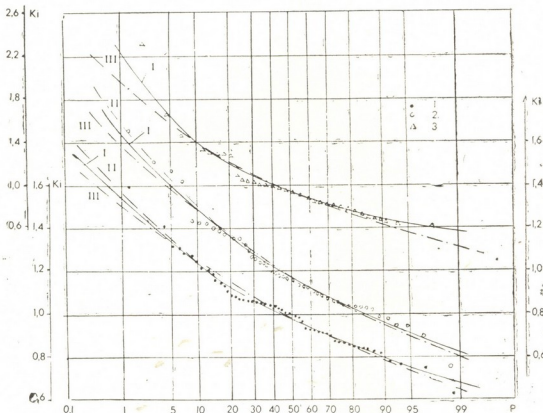


Рис. 1. Сопоставление наблюдаемых: среднегодовых (1—р. Бзыбь, с. Джирхва, 2—р. Кура, с. Минадзе) и максимальных (3—р. Бзыбь, Джирхва) расходов воды и теоретических (с оценкой параметров: I—методом моментов, II—процентилей и III—моментов при  $a=0$ ) кривых обеспеченностей

одного ряда [2], после некоторых преобразований получаем систему трех уравнений с тремя неизвестными:

$$\begin{cases} 3 = (\alpha - x) \cdot \frac{\gamma}{\beta^2} - \frac{\beta}{(\alpha - x)^3}, \\ y^2 + 2 = (\alpha - x) \cdot \frac{\gamma}{\beta^2}, \\ Z = \frac{\alpha - x}{y}, \end{cases} \quad (6)$$

где  $\alpha$ —начальный момент I порядка исходного ряда,  $\beta$  и  $\gamma$ —центральные моменты соответственно II и III порядка;  $x = a$ ;  $y = \exp\left\{\frac{1}{2} \sigma_{\tau}^2\right\}$ ;  $Z = \exp\{m_{\tau}\}$ ; ( $y > 0$ ;  $Z > 0$ ). Однако надо заметить, что решение системы (6) не совсем удобно.

распределение, среди которых последнее можно считать более подходящим.

Надежную оценку параметров дает метод моментов, однако можно использовать и графо-аналитический способ.

Закавказский региональный  
 научно-исследовательский  
 гидрометинститут

(Поступило 1.12.1988)

ჰიდროლოგია

ზ. შირანაშვილი, ე. საბაძე

მდინარის ჩამონადენის ერთგანზომილებიანი განაწილების  
 ფუნქციის შეფასება

რეზიუმე

განხილულია ჰიდროლოგიურ ვაანგარიშებებში ლოგ-ნორმალური განაწილების ფუნქციის გამოყენების საკითხი. მოცემულია მისი პარამეტრების შეფასების სხვადასხვა მეთოდი, რომელთა საიმედოობა და პრაქტიკულად გამოყენების შესაძლებლობა ნაჩვენებია საქართველოს მდინარეებზე ჩატარებული ვაანგარიშებების საფუძველზე.

HYDROLOGY

Z. A. PIRANASHVILI, E. Ya. SABADZE

## TOWARDS THE EVALUATION OF ONE-DIMENSIONAL FUNCTION OF RIVER FLOW DISTRIBUTION

Summary

The question of utilizing the lognormal distribution function in hydrological calculations is discussed. Various methods for the estimation of its parameters are given. The reliability of these methods and the possibility of their practical application are shown based on calculations carried out on Georgian rivers.

### ლიტერატურა — ЛИТЕРАТУРА — REFERENCES

1. Г. Крамер. Математические методы статистики. М., 1975.
2. Г. Г. Сванидзе. Математическое моделирование гидрологических рядов. Л., 1977.
3. Г. Г. Сванидзе, А. Ф. Торонджадзе, М. Г. Эдиберидзе, Р. Я. Читашвили, З. А. Пиранашвили. Сообщения АН СССР, 53, № 1, 1969, 161—164.
4. Г. Хан, С. Шапиро. Статистические модели в инженерных задачах. М., 1963.
5. Е. Г. Блохинов. Распределение вероятностей величин речного стока. М., 1974.





Н. Ш. САЛУКВАДЗЕ

## К ВОПРОСУ О БИОФАЦИАЛЬНОМ РАЙОНИРОВАНИИ КАВКАЗА В ПАЛЕОЦЕН-ЭОЦЕНОВОЕ ВРЕМЯ

(Представлено академиком И. П. Гамкрелидзе 5.10.1988)

Исследователи, изучающие палеогеновые отложения юга СССР и содержащихся в них представителей фауны и флоры, нередко указывают, что на территории современного Кавказа и смежных регионов в палеоцен-эоценовое время существовали биофациальные (биогеографические) подразделения высокого ранга. Однако при разрешении вопроса о границе между ними возникают разногласия. Одни ее проводят по широте оз. Севан, другие — по северным склонам Малого Кавказа, а некоторые — по водоразделу Большого Кавказа. Имеется и иная точка зрения, согласно которой отмеченная граница в среднем эоцене проходила по Триалетскому хребту и по широте оз. Севан, а в верхнем эоцене — по хребтам Большого Кавказа [1]. Н. И. Мрелишвили [2] считает, что присутствие в Аджаро-Триалетском эоценовом море типично средиземноморских нуммулитов говорит о принадлежности этого бассейна в средне- и, возможно, позднеэоценовое время к южной (Средиземноморской) нуммулитовой провинции.

Анализируя новый материал по пространственному размещению нуммулитов, в том числе и нижнеэоценовых, и учитывая при этом, что гранулированные их разновидности обитали обычно в южных морях, можно заключить, что граница между северной и южной провинциями в течение всего эоцена проходила примерно по северной окраине Малого Кавказа.

Не следует упускать из виду и ареалы других характерных групп органического мира, которые, на наш взгляд, могут также послужить неплохим источником информации для биогеографического районирования. Эхиноиды, населяющие верхнепалеоценовое море Грузинской глыбы (Цебельдинский, Лечхумский и другие участки), в Малокавказском бассейне становятся весьма редкими или отсутствуют. Аналогичная картина наблюдается и в расселении ниже- и верхнепалеоценовых моллюсков.

Вместе с тем, следует отметить, что палеоценовые и эоценовые литостратиграфические подразделения Грузинской глыбы и синхронные им образования на другой стороне Большого Кавказа и Крыма содержат близкостоящие по составу и характеру сменяемости комплексы представителей разных групп ископаемой фауны (планктонные и бентосные фораминиферы, нуммулиты, моллюски, морские ежи, раннеолигоценовая ихтиофауна). Более того, палеоценовые ассоциации моллюсков Грузинской глыбы (мачарские и келасурские комплексы), Северного Кавказа (эльбурганские комплексы) и Крыма (инкерманский и качинский комплексы) обнаруживают сходство с моллюсками Днепровско-Донецкой впадины Северной Украины (лузановский и сумский комплексы) и регионов Западной Европы (монский, тенетский, зеленский и другие комплексы). Судя по всему, на месте Большого Кавказа в палеоцен-эоценовое время были развиты небольшие островные поднятия (типа кордильер), являвшиеся источником сноса. Через межостровные пространства осуществлялось, очевидно,



довольно свободное сообщение между палеогеновыми морями Грузинской глыбы и Северного Кавказа.

Изложенное дает достаточное основание полагать, что по показателям разных групп фауны границу между северными и южными биофациальными подразделениями предпочтительно проводить вдоль северного края Малого Кавказа. Именно здесь происходили наиболее значительные изменения в составе биот.

Надо отметить, что температурные данные для палеоцен-эоценового времени хотя и малочисленны и в некоторой степени противоречивы, но тем не менее дают основание предполагать, что различия в климатических условиях в пределах Кавказа, по-видимому, более всего были выражены между Северокавказскими биофациальными районами, с одной стороны, и южными районами Малого Кавказа (юг Армении и Нахичевани), — с другой. Промежуточные районы являлись переходными. В предполагаемой пограничной полосе палеогенового морского бассейна, даже во времена минимального его распространения (регрессивные периоды), как видно, не существовало непреодолимой для водообмена и миграции фауны ярко выраженной естественной преграды в виде барьера суши. Биофациальные подразделения, скорее всего, разделялись здесь разломом глубокого заложения (консидиментационный разлом) и, возможно, отдельными надводными возвышенностями. Стало быть, рассматриваемый рубеж не мог существенно препятствовать проникновению водных масс из холодноводных (северных) и тепловодных (южных) морей. вполне возможно, что многие биофациальные единицы, расположенные с обеих сторон отмеченной границы, подвергались — где больше, где меньше — влиянию южных и северных водоемов. Примером могут служить нижнепалеоценовые (датские) морские ежи Грузии, часть которых принадлежит к средиземноморскому типу, другая часть населяла южные и северные моря, некоторые же — исключительно северные водоемы [3].

Все вышесказанное позволяет заключить, что морские бассейны, расположенные на территории Грузинской глыбы, Северного Кавказа и Крыма, представляли собой части одного палеобиогеографического подразделения — Крымско-Большекавказской провинции. В западную часть последней входили также биофациальные районы Северного Причерноморья (Причерноморская впадина и южный склон Украинского щита). Названная провинция, в свою очередь, являлась составной частью Североевропейской (бореальная или северная, у некоторых авторов) палеобиогеографической области. С западноевропейскими палеобассейнами (Южная Англия, Бельгия, Дания и др.) Крымско-Большекавказская провинция общалась главным образом через древние моря, располагавшиеся севернее Украинского щита (Днепровско-Донецкая впадина и др.), относившиеся уже к другой провинции Североевропейской области.

Хотелось бы отметить, что флишевые бассейны Большого Кавказа, входящие в состав рассматриваемой биофациальной провинции, населялись сравнительно бедными в таксономическом отношении сообществами организмов. Анализ систематического состава, к тому же, далеко не густонаселенных флишевых водоемов показывает, что по степени солёности и температурным условиям они не отличались или почти не отличались от соседних мелководных морей. Фауна и в одном, и в другом районах в палеоцен-эоценовое время обитала преимущественно в условиях нормальной солёности. Сказанное, кстати, полностью относится и к раннеолигоценовым (хадумским) водоемам Грузинской глыбы и Северного Кавказа. Труднопреодолимыми барьерами для заселения основной массы фауны и флоры в флишевые бассейны, видимо, являлись изменение характера режима осадко-



накопления, усиление привноса терригенного материала в прикордиль-  
ерных частях, состав илов.

В палеоцен-эоценовое время на месте южной части Кавказа и смежных регионов располагалась вторая, пожалуй, не менее значительная биофациальная единица — Малокавказская провинция. Последняя охватывала Аджаро-Гриалетский и расположенные южнее водоемы Армении и Азербайджана, а также примыкающие территории Ирана и Турции. Для этой провинции, разумеется и для ее грузинской части, характерны многочисленность и многообразие крупных и мелких фораминифер, в том числе и гранулированных нуммулитов. Условия существования фауны и флоры были близки к относительно теплым субтропическим. Соленость вод в течение палеоцен-эоцена и раннего олигоцена (ходумское время) была в основном нормально-морская, близкая к океанической, о чем свидетельствуют стеногалинные комплексы моллюсковой фауны, а также крупных и мелких фораминифер, не переносящих сколько-нибудь серьезных отклонений солености от нормальной в сторону засоления или опреснения.

Систематический состав нуммулитов (за малым исключением эндемиков) и их распространение в пространстве и во времени указывают, что Малокавказская провинция была связана со Средиземно-морской биогеографической областью (последняя являлась частью Карибско-Гималайского биогеографического пояса). Связь, по всей вероятности, осуществлялась через полеоморя, развитые южнее Добруджи и заливавшие современные Балканы, Турцию, Иран.

Академия наук Грузинской ССР  
Геологический институт  
им. А. И. Джанелидзе

(Поступило 6.10.1988)

გეოლოგია

ნ. სალუკვაძე

კავკასიის პალეოცენურ-ეოცენური დროის ბიოფაციების  
დარბიონების საკითხისათვის

რეზიუმე

კავკასიის და მიმდებარე რეგიონების ტერიტორიებზე პალეოცენურ-ეოცენურ დროში გაირჩევა ყირიმი-კავკასიონის და მცირე კავკასიონის ბიოგეოგრაფიული ერთეულები.

GEOLOGY

N. Sh. SALUKVADZE

ON THE BIOFACIES ZONATION OF THE CAUCASUS DURING  
THE PALEOCENE-EOCENE

Summary

In the Paleocene-Eocene two biogeographic units are distinguished in the territory of the Caucasus and the adjacent regions—the Crimean-Gr. Caucasian and Lesser Caucasian biofacies provinces.



1. Г. И. Немков. Изв. вузов, № 7, 1970.
2. Н. И. Мревлишвили. Нуммулиты Грузии и их стратиграфическое значение. Тбилиси, 1978.
3. Г. С. Гонгадзе. Поздне меловые эхиноидеи Грузии и их стратиграфическое значение. Тбилиси, 1979.



УДК 558.321 (379.223)

ПЕТРОЛОГИЯ

А. В. ОКРОСЦВАРИДZE

О РАСПРЕДЕЛЕНИИ НЕКОТОРЫХ РЕДКИХ ЭЛЕМЕНТОВ  
 В ПАЛЕОЗОЙСКИХ ГРАНИТОИДАХ И МАГМАТИТАХ АБХАЗИИ

(Представлено членом-корреспондентом Академии Г. М. Заридзе 26.6.1988)

Изучением закономерностей распределения редких элементов в палеозойских гранитоидах и мигматитах, развитых на территории Абхазии, еще никто не занимался, в то время как известно, что геохимические особенности магматических пород зависят от геодинамической обстановки генерации магмы [1—3]. Следовательно, в результате геохимического изучения магматических пород, кроме практических результатов, могут быть получены достоверные генетические критерии для их расчленения.

Нам из разных генетических видов палеозойских гранитоидов и мигматитов Абхазии [4] удалось определить в 95 образцах содержание Pb, Zn, Cu, Mo, Co, V, Cr и Ni (таблица).

Средний состав редких элементов (г/т) в палеозойских гранитоидах и мигматитах Абхазии

Кол-во образцов	Pb	Zn	Cu	Mo	Co	V	Cr	Ni
Мигматиты макерской серии								
15	33	77	27	2	14	176	491	131
Двуслюдяные плагиограниты и плагиогнейсы макерской серии								
12	34	44	15	2	9	80	675	13
Двуслюдяные граниты макерской серии								
15	30	26	20	1	8	39	671	2
Порфиробластовые граниты макерской серии								
13	41	14	17	2	7	39	630	14
Лейкократовые гранитоиды макерской серии								
10	36	34	не опр.	2	6	6	461	6
Кварцевые диориты-гранодиориты буульгевской серии								
16	27	88	18	2	16	250	510	37
Плагиогранитгнейсы кристаллических выступов Бешта-Каменистая								
14	7	70	53	14	17	90	575	42

Анализы на Pb, Zn, Mo, Ni, Co, V и Cr выполнены в лаборатории отдела геохимии ГИН АН ГССР методом количественного спектрального анализа. Аналитики — З. Н. Абашидзе, Е. А. Чхаидзе, Н. Д. Гварамадзе.

Анализы на Cu выполнены в лаборатории физико-химических методов анализа горных пород ГИН АН ГССР методом пламенной

атомно-абсорбционной спектрофотометрии. Аналитик — М. Ш. Мачавариани.

Анализируя данные о распределении и поведении свинца (рис. 1) в изученных породах, приходим к выводу, что мигматиты и гранитоиды макерской серии имеют положительную свинцовую специализацию (в 1,5—2 раза больше кларковой<sup>(1)</sup>). На это указывает и низкое значение отношений К/Pb. Этот коэффициент для названных гранитоидов в среднем 550, а для аналогичных образований Локского и Храмского выступов Закавказского срединного массива соответственно 1850 и 1550 [6]. Содержание свинца резко понижено в плагиигранитоидных кристаллических выступов Бешта-Каменистая, где оно в 3 раза ниже кларкового. В отличие от свинца, в изучаемых породах отмечается близкларковое содержание цинка (рис. 1).

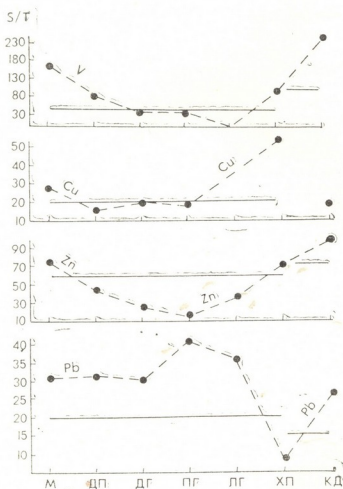


Рис. 1. Вариационная диаграмма среднего состава для палеозойских гранитоидов и мигматитов Абхазии. Линией отмечены кларки. М — мигматиты, ДП — двуслюдяные плагииграниты и плагиигнейсы, ДГ — двуслюдяные граниты, ЛГ — лейкократовые гранитоиды, ПГ — порфириобластовые граниты, ХП — плагиигранитгнейсы, КД — кварцевые диорит-гранодиориты

В гранит-мигматитовом комплексе макерской серии наблюдается тенденция уменьшения содержания этого элемента в генетическом ряду: мигматиты → двуслюдяные плагииграниты → двуслюдяные граниты → порфириобластовые граниты. Содержание меди в гранит-мигматитовом комплексе отмеченной серии и кварцевых диоритах-гранодиоритах буульгенской серии близкларковое (рис. 1), а в плагиигранитоидных кристаллических выступов Бешта-Каменистая в 2,5 раза больше (53 г/т), чем кларковое, что резко отличает их от остальных генетических типов изучаемых гранитоидов. Подобная картина распределения наблюдается и в случае молибдена (рис. 2). Содержание этого элемента в плагиигранитгнейсах в 14 раз больше кларкового, а в остальных генетических типах содержание Мо близкларковое.

Причину такого резкого различия в содержании Мо и Cu следует искать в генезисе этих гранитоидов. По Т. В. Иваицкому [6],

(<sup>1</sup>) Кларки даны по А. П. Виноградову [5].



обогащение Си обнаруживают доскладчатые гранитоиды, а по В. Питчеру [2] в гранитоидах J типа наблюдается концентрация Мо и Си.

В изучаемых породах особый интерес вызывает распределение хрома (рис. 2). Его содержание в этих породах варьирует от 460 до 675 г/т, а кларковый показатель — 83 г/т. Следует отметить, что в процессе эволюции двуслюдяного гранитоидного магматизма уменьшается содержание Сг. В целом палеозойские гранитоиды и мигматиты Абхазии имеют явную хромовую специализацию и в этом отношении заслуживают особого внимания.

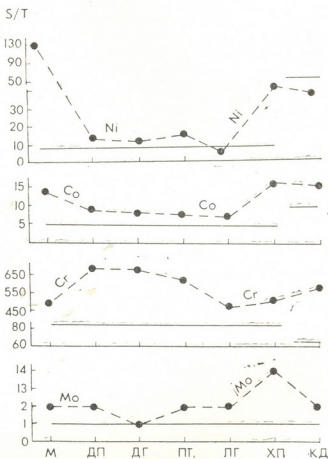


Рис. 2. Вариационная диаграмма среднего состава для палеозойских гранитоидов и мигматитов Абхазии. Условные обозначения см. на рис. 1

Содержание кобальта в мигматитах и гранитоидах макерской серии выше кларкового (рис. 2). В плагиогранитгнейсах и кварцевых диоритах-гранодиоритах эта разница резко увеличивается (соответственно до 17 и 16 г/т). В распределении ванадия устанавливается его прямая зависимость от содержания темноцветных минералов, понижение которых вызывает уменьшение содержания ванадия, а в лейкократовых гранитоидах она вообще отсутствует (рис. 1). Вышекларковое содержание ванадия отмечается в кварцевых диоритах-гранодиоритах, что резко отличает эти гранитоиды от остальных генетических видов. Содержание никеля в большинстве генетических видов близкларковое (рис. 2), и только в мигматитах и плагиогранитгнейсах фиксируется его повышение.

Анализом вышеприведенных данных о палеозойских гранитоидах и мигматитах Абхазии выясняется, что в распределении редких элементов имеется определенная группировка по генетическим типам, что хорошо согласуется с геологическими, петрологическими и петрохимическими данными. В мигматитах и генетически связанных с ними гранитоидах макерской серии обнаруживается вышекларковое содержание Рb. Резко повышенное содержание Мо, Си и Ni фиксируется в плагиогранитгнейсах кристаллических выступов Бешта-Каменистая. Кварцевые диориты-гранодиориты буульгенской серии характеризуются явно выраженным вышекларковым содержанием ванадия. В целом в



изучаемых породах особый интерес представляет концентрация хрома, которая в 5—7 раз больше кларковой. По этим данным, рассматриваемый район следует считать положительной хромовой провинцией.

Установлено, что отмеченные генетические типы гранитоидов формируются в разных геодинамических обстановках. Плагиигранитнейсы кристаллических выступов Бешта-Каменная отвечают гранитоидам голтового ряда и формировались в раннегеосинклиналиную стадию эволюции геосинклиналиного магматизма. Гранитоиды буульгенской серии образуются в позднегеосинклиналиную стадию и, очевидно, являются результатом сложного взаимодействия мантийного и корового материала; что касается гранитоидов и мигматитов макерской серии, то они, вероятно, связаны с региональным метаморфизмом и анатексисом верхнекоркового материала, образвавшегося в позднегеосинклиналиную стадию эволюции магматизма [7].

Таким образом, генетические виды палеозойских гранитоидов и мигматитов Абхазии выявляют различную специализацию по содержанию редких элементов, что укрепляет важными критериями отмеченную тектонно-формационную модель образования палеозойских гранитоидов и мигматитов Абхазии.

Академия наук Грузинской ССР

Геологический институт

им. А. И. Джанелидзе

(Поступило 30.6.1988)

პეტროლოგია

ა. ოკროსცვარიძე

ზოგიერთი იზოკონი ელემენტის განაწილების შესახებ აფხაზეთის კალეოზოურ ბრანიტოიდებში და მიგმატიტებში

რეზიუმე

აფხაზეთის პალეოზოურ გრანიტოიდებში და მიგმატიტებში განსაზღვრულია Pb, Zn, Cu, Mo, Co, V, Cr და Ni შემცველობა.

დადგენილია, რომ მათ განაწილებაში აღინიშნება გარკვეული დაჯგუფებანი სხვადასხვა გრანიტული ტიპების მიხედვით, რაც გამოწვეული უნდა იყოს უკანასკნელთა ფორმირების თავისებურებებით.

PETROLOGY

A. V. OKROSTSVARIDZE

## ON DISTRIBUTION OF SOME RARE ELEMENTS IN PALEOZOIC GRANITOIDS AND MIGMATITES OF ABKHAZIA

### Summary

The contents of Pb, Zn, Cu, Mo, Co, V, Cr and Ni have been defined in the Paleozoic granitoids and migmatites of Abkhazia. It is established that certain groups can be observed in their distribution according to different granite types, which must be resultant from the peculiarities of their formation.

### ლიტერატურა — ЛИТЕРАТУРА — REFERENCES

1. Г. М. Заридзе. Эндогенные формации орогенных областей. М., 1970.
2. Л. В. Таусон. Геохимические типы и потенциальная рудоносность гранитоидов. М., 1977.
3. М. И. Кузьмин. Геохимия магматических пород фанерозойских подвижных поясов. Новосибирск, 1985.
4. А. В. Окросцваридзе. Сообщения АН ГССР, 124, № 1, 1986.
5. А. П. Виноградов. Геохимия, № 4, 1962.
6. Т. В. Иваницкий. В кн.: «Критерии отличия метаморфогенных и магматических гидротермальных месторождений». Новосибирск, 1985.
7. А. В. Окросцваридзе. Автореферат канд. дисс. Тбилиси, 1987.





Д. М. ШЕНГЕЛИА, Г. Л. ЧИЧИНАДЗЕ, А. В. ОКРОСЦВАРИДЗЕ

## НОВЫЕ ДАННЫЕ О ПЛАГИОГРАНИТОГНЕЙСАХ БЕШТЫ И ГОРЫ КАМЕНИСТОЙ (ГОРНАЯ АБХАЗИЯ)

(Представлено членом-корреспондентом Академии Г. М. Заридзе 30.5.1988)

Домезозойские тектонические выступы плагиогранитогнейсов Бешты (верховья одноименной реки) и горы Каменистой (верховья р. Лашипсе) обнажаются в Западной Абхазии на Южном склоне Большого Кавказа. Первые наблюдаются среди нижнеюрских отложений. Выходы горы Каменистой обнаруживают тектонический контакт с нижнеюрскими отложениями или палеозойскими метаморфитами лаштракской, аджарской и дамхурцевской свит.

Район выходов плагиогранитогнейсов Бешты и горы Каменистой, как и все выходы метаморфитов западной части зоны Главного хребта Большого Кавказа (истоки рек Белая, Цахвоа, Дамхурц, Лашипсе и Лаштрак), характеризуется сложным геологическим строением. Г. И. Баранов [1] допустил аллохтонность лаштракской и аджарской свит, что подтвердилось последующими исследованиями [2, 3]. Лаштракская и аджарская свиты по набору пород (порфиroidы, кварциты, мраморы с фауной кринонидей) и характеру метаморфизма (кианит- и ставролитовые сланцы) резко отличаются от других метаморфитов Главного хребта Большого Кавказа. Аналоги лаштракской свиты предполагаются на Передовом хребте Большого Кавказа в выходах Ацгаринского тектонического покрова [4]. Помимо плагиогранитогнейсов Бешты и горы Каменистой, с метаморфитами лаштракской и аджарской свит ассоциируют роговообманковые гнейсы, амфиболиты, а также серпентинизированные ультрабазиты. Как известно, метаморфиты и гранитоиды зоны Главного хребта Большого Кавказа отнесены к островодужным формациям, а парный пояс регионального метаморфизма высоких давлений, отвечающий зонам глубоководных желобов, в этом регионе не устанавливается. Однако некоторые исследователи полагают, что парагенезисы лаштракской и аджарской свит характерны для метаморфических комплексов не только умеренных, но и повышенных давлений [5—7]. Метаморфиты этих свит, в основном первично миопелагические и хемогенные осадки, видимо, сформировались в глубоководных океанических условиях. Авторы полагают, что в результате судетской фазы сжатия в погружающейся литосферной плите сформировалась узкая полоса метаморфических пород повышенных давлений, впоследствии испытавших мощное воздействие наложенного, относительно высокотемпературного метаморфизма умеренного и низкого давлений. В современном срезе тектонические чешуи лаштракской и аджарской свит непосредственно сопрягаются с метаморфическим поясом низких давлений.

Массивы Бешты и горы Каменистой главным образом сложены плагиогранитогнейсами, подчиненную роль играют связанные с последними постепенными переходами и не образующие самостоятельных тел диоритогнейсы и габбро-диоритогнейсы. Все эти разновидности пород интенсивно хлоритизированы, эпидотизированы и катаклазированы. Гнейсовидность обусловлена чередованием кварц-полевошпато-

Средние химические анализы (масс. %), АФМ и КФ коэффициенты по кислотным группам А, Б, В и Г [8] палеозойских плагиигранитоиднейсов Бешты и горы Каменистой

Группы	SiO <sub>2</sub>	TiO <sub>2</sub>	Al <sub>2</sub> O <sub>3</sub>	Fe <sub>2</sub> O <sub>3</sub>	FeO	MnO	MgO	CaO	Na <sub>2</sub> O	K <sub>2</sub> O	К	Ф	А	Б	М
А	58,23	0,37	16,24	2,41	5,20	0,18	3,64	5,10	2,90	0,50	9,4	54,8	15,5	55,5	28,9
Б	64,60	0,30	15,26	2,23	3,19	0,12	2,19	5,27	2,82	0,59	10,8	57,5	37,0	47,8	20,7
В	71,03	0,23	13,68	0,89	2,55	0,06	1,08	2,96	3,60	1,04	17,3	67,7	48,0	38,8	13,2
Г	77,80	0,11	11,82	0,08	1,18	0,03	0,11	0,85	5,03	0,90	15,6	85,4	72,0	25,9	0,2

вых полос с хлорит-эпидотовыми. Минеральный состав — плагиоклаз, кварц, хлорит, минералы группы эпидота; роговая обманка, актинолит и гранат наблюдаются редко; характерные акцессорные породы — сфен и рудный минерал. Калиевые минералы — калишпат и слюды, как правило, отсутствуют.

С помощью микрозонда исследованы породообразующие минералы плагиигранитоиднейсов. В гранитоидах горы Каменистой установлен



Рис. 1. Диаграмма КФ для герцинских гранитоидов Главного хребта большого Кавказа

$$\left( K = \frac{K_2O}{K_2O + Na_2O} 100\% ; \right.$$

$$\left. \Phi = \frac{Fe^{2+} + Fe^{3+} + Mn}{Fe^{2+} + Fe^{3+} + Mn + Mg} 100\% \right).$$

1, 2 и 3 те же, что на рис. 1

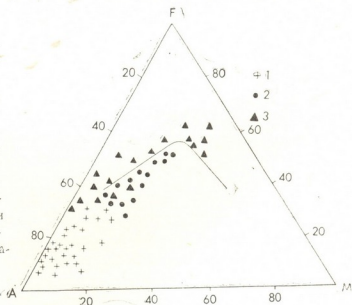
минеральный парагенезис  $Gr_{68-78} + Xl_{30-33} + Pl_{37} + Ep + Ka + Kв$ . Гранат обнаруживает ясно выраженную регрессивную зональность — от ядра кристалла граната к краю падает содержание MgO (от 7,23 до 4,23 масс. %) и возрастают значение железистости (от 68 до 78 %) и содержание MnO (от 4,42 до 8,84 масс. %). В плагиигранитоиднейсов массива Бешты в парагенезисе  $Gr_{69-77} + Xl_{36-49} + Akt_{43} + Pl_{19} \pm Pr_{53} +$



Эп+Кв зональность граната имеет прогрессивный характер — от центра порфириобласта граната к периферийной части падают содержание MnO (от 5,68 до 2,73 масс.%) и значение железистости (от 77 до 69%) и возрастает содержание MgO (от 4,48 до 7,12 масс.%). Минеральные парагенезисы плагиигранитогайеисов горы Каменистой и массива Бешты по аналогии с аджарской и лаштракской свитами свидетельствуют, что они метаморфизованы в условиях ставролитовой фации кианитового барического типа.

Средние химические анализы плагиигранитогайеисов Бешты и горы Каменистой по кислотным группам А, Б, В и Г [8] показывают, что эти породы характеризуются высоким содержанием SiO<sub>2</sub>, низким — K<sub>2</sub>O и резким преобладанием Na<sub>2</sub>O над K<sub>2</sub>O (таблица), а на диаграмме КФ (рис. 1) наглядно видно, что они по этому показателю также резко отличаются от других серий гранитоидов Главного хребта Большого Кавказа. Среди герцинских гранитоидов зоны Главного хребта Большого Кавказа четко выделяются две серии гранитоидов [9]. Первая — двуслюдяные плагииграниты и плагиигнайеисы → двуслюдяные граниты → порфириобластовые граниты → аляскиты и пегматоиды — фиксируется среди метаморфитов макерской серии; вторая — диориты → кварцевые диориты → гранодиориты → адамеллиты при

Рис. 2. Диаграмма АФМ для герцинских гранитоидов зоны Главного хребта Большого Кавказа (А = Na<sub>2</sub>O + K<sub>2</sub>O; F = FeO + 0,9 Fe<sub>2</sub>O<sub>3</sub>; M = MgO в масс.%). Линией разделены толейтовая (сверху) и известково-щелочная (внизу) серии [10]. Серии гранитоидов: 1 — двуслюдяные плагииграниты и плагиигнайеисы → двуслюдяные граниты → порфириобластовые граниты → аляскиты и пегматоиды; 2 — диориты → кварцевые диориты → гранодиориты адамеллиты; 3 — плагиигранитогайеисы Бешты и горы Каменистой



урочена к метаморфитам буульгенской серии. Диаграмма АФМ (рис. 2) показывает также, что, в отличие от последних, фигуративные точки этих пород падают в поле толентовой серии магм. Таким образом, плагиигранитогайеисы Бешты и горы Каменистой генетически близко стоят к плагиигранитам толентового ряда, которые встречаются в верхней части офиолитового комплекса и образуются путем частичного плавления океанической коры, являясь конечным продуктом дифференциации субщелочной базальтовой магмы.

Таким образом, плагиигранитогайеисы Бешты и горы Каменистой по минеральному составу и петрохимическим параметрам явно отличаются от герцинских гранитоидов Главного хребта Большого Кавказа и соответствуют плагиигранитам толентового ряда. Как известно, плагииграниты толентового ряда приурочены лишь к офиолитовому комплексу. Авторы предполагают, что в районе исследования обна-



жаются фрагменты океанической коры — имеется неполный, разобщенный разрез метафиолитовой ассоциации: серпентинизированные ультрамафиты, роговообманковые гнейсы и амфиболиты, плагиогранито-диоритгнейсы и габбро-диоритгнейсы и метаморфизованные глубоко-водные океанические осадочные образования.

Академия наук Грузинской ССР  
Геологический институт  
им. А. И. Джанелидзе

Грузинский политехнический  
институт  
им. В. И. Ленина

(Поступило 3.6.1988)

კატეგორია

დ. შენგელია, გ. ჭიჭინაძე, ა. ოკროსცვარიძე

ახალი მონაცემები ბეშთისა და კამენისტაიას (მთიანი აფხაზეთი) გრანიტოიდების შესახებ

რეზიუმე

შესწავლილი გრანიტოიდები წარმოდგენილია კინტიპური ტიპის სტაუროლითური ფაციესის პირობებში მეტამორფიზებული პლაგოგრანტენისებით. დადგენილია, რომ ისინი მინერალური შედგენილობით და პეტროქიმიური პარამეტრებით მნიშვნელოვნად განსხვავდებიან კავკასიონის ჰერცინული გრანიტოიდებისაგან და შეესაბამებიან ტოლეიტური რიგის პლაგოგრანიტებს.

PETROLOGY

D. M. SHENGELIA, G. L. CHICHINADZE, A. V. OKROSTSVARIDZE

## NEW DATA ON PLAGIOGRANITE GNEISSES OF THE BESHTA AND MOUNT KAMENISTAYA (UPPER ABKHAZIA)

Summary

It is shown that granitoids of the Beshta and mount Kamenistaya are represented by plagiogranite gneisses metamorphized under conditions of the cyanite type staurolite facies. It is stated that they differ in their mineralogical composition and petrological parameters from the Hercynian Caucasian granitoids and correspond to tholeiitic plagiogranites.

ლიტერატურა — ЛИТЕРАТУРА — REFERENCES

1. Г. И. Баранов, С. М. Кропачев. В кн.: «Геология Большого Кавказа». М., 1976.
2. Д. М. Шенгелиа. Тез. докл. XXIII респ. НТК ГПИ им. В. И. Ленина, 1981.
3. Ш. А. Адамия. В кн.: «Тектоника и металлогения Кавказа». Тбилиси, 1984.
4. Д. М. Шенгелиа, Г. Л. Чичинадзе и др. Изв. АН СССР, сер. эвол., № 5, 1986.
5. G. M. Zaridze and D. M. Shengelia. Acta Geologica Academiae Scientiarum Hungaricae. Т. 21 (1—3), 1977.
6. Т. Г. Чхотуа. Сообщения АН ГССР, 87, № 1, 1977.
7. Д. М. Шенгелиа, Д. Н. Кецховели. Труды ГИН АН ГССР, вып. 78, 1982.
8. Д. А. Великовладинский, Н. А. Елисейев, К. О. Кратц. Вариационный анализ эволюции магматических систем. Л., 1984.
9. А. В. Окросцваридзе. Сообщения АН ГССР, 124, № 1, 1986.
10. T. N. Ygrvine, W. H. Borgert. Canad. J. Earth Sci., v. 8, 1971.

Д. Ш. ЦАГАРЕПШВИЛИ, Д. Г. ТАТИШВИЛИ, Г. Г. ГВЕЛЕСИАНИ  
(академик АН ГССР), И. Б. БАРАТАШВИЛИ, Г. В. ЦАГАРЕИШВИЛИ  
(член-корреспондент АН ГССР), Т. Д. АБАШИДЗЕ, К. Р. ДЖАОШВИЛИ

## ВЫСОКОТЕМПЕРАТУРНАЯ СВЕРХПРОВОДИМОСТЬ В СИСТЕМЕ Y-Ba-Cu-F-O

Высокотемпературная сверхпроводимость в системе Y-Ba-Cu-F-O впервые исследована в работе [1]. Установлено, что в интервале 77 — 300 К температурная зависимость электрического сопротивления  $R(T)$  образца с химическим содержанием  $YBa_2Cu_3F_xO_y$  при  $x=1$  аналогична кривой  $R(T)$ , характерной для фазы  $YBa_2Cu_3O_{7-6}$ . В образцах с  $x=3$  и  $x=4$  высокотемпературная сверхпроводимость не обнаружена. Однако при стехиометрии с  $x=2$  электрическое сопротивление образца резко падает с температурой и вблизи  $T=155$  К он переходит в сверхпроводящее состояние. В работах [2, 3] также изучено влияние частичного замещения кислорода фтором в соединении  $YBa_2Cu_3O_{7-6}$  на величину его критической температуры  $T_c$ ; в частности, показано, что с увеличением содержания фтора  $T_c$  образца уменьшается от 95 до 91–89 К. Авторы работы [4] указывают, что высокотемпературные керамические сверхпроводники состава  $YBa_2Cu_3F_xO_y$  являются нестабильными, невоспроизводимыми и характеризуются отсутствием объемной сверхпроводимости.

В настоящей работе высокотемпературную сверхпроводимость в системе Y-Ba-Cu-F-O изучали путем частичной замены количества кислорода фтором в образце состава  $Y_2Ba_6Cu_7O_y$ , критическая температура которого по результатам проведенных исследований равна 95 К. В частности, был синтезирован керамический образец состава  $Y_2Ba_6Cu_7F_4O_y$ .

Образец был приготовлен с использованием стандартной керамической технологии. Исходные порошки  $Y_2O_3$ , BaO, CuO и  $BaF_2$ , взятые в молярном соотношении 1:3:7:2, тщательно перемешивали в агатовой ступке и брикетировали. Полученные таблетки диаметром 18 мм и толщиной 2 мм помещали в корундовые тигли. Прокаливание шихты проводили на воздухе в шахтной электропечи при 900°C в течение 30 ч. Полученную керамику далее тщательно измельчали, вновь перемешивали и брикетировали. Таблетки прокаливали на воздухе при 1000°C в течение 25 ч и охлаждали медленно вместе с печью. После остывания были получены плотные образцы, характеризующиеся высокой твердостью.

Наличие сверхпроводящего перехода в полученном нами образце определяли двумя способами: по измерению температурной зависимости его электрического сопротивления и высокочастотной магнитной восприимчивости  $\chi(T)$ . Электрическое сопротивление измеряли четырехконтактным методом с помощью потенциометрической схемы по-



стоянного тока. Измерительный ток не превышал 1 мА. Измерение магнитной восприимчивости проводили бесконтактным индуктивным методом [5] по изменению самоиндукции исследуемого образца в зависимости от температуры. Измерения были выполнены в области температур 77—300 К, как при понижении, так и при повышении температуры. При этом зависимости  $R(T)$  и  $\chi(T)$  стабильно воспроизводились.

На рисунке представлены кривые температурной зависимости относительного электрического сопротивления образца (кривая 1) и его высокочастотной магнитной восприимчивости (кривая 2).

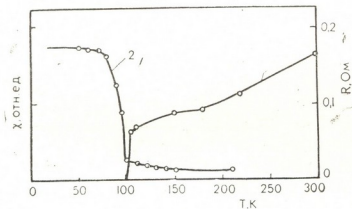


Рис. 1. Зависимость электрического сопротивления (кривая 1) и магнитной восприимчивости (кривая 2) сверхпроводника  $Y_2Ba_5Cu_7F_4O_y$  от температуры

Из рисунка видно, что у исследуемого нами образца сверхпроводящий переход начинается вблизи 105 К и полностью заканчивается при 101 К. Кроме более резкого сверхпроводящего перехода, образец характеризуется также явно выраженным металлическим характером зависимости  $R(T)$ . Наряду с этим, на отдельных участках его кривой  $R(T)$  наблюдаются различные значения  $dR/dT$ . Заметим, что, согласно данным работы [1], аналогичные аномалии имеют место также на кривой  $R(T)$  фторсодержащего высокотемпературного сверхпроводника состава  $YBa_2Cu_3F_2O_y$ .

Из приведенной на рисунке зависимости  $\chi(T)$  следует, что начало диамагнитного отклика примерно совпадает с началом резистивного перехода. Однако, в отличие от последнего, сверхпроводящий диамагнитный переход намного растянут и ширина его составляет более 20 К, что свидетельствует о наличии в образце разных сверхпроводящих фаз с различными критическими температурами.

Академия наук Грузинской ССР  
Институт металлургии  
им. 50-летия СССР

(Поступило 24.11.1988)

მეტალურგია

დ. ცაგარეიშვილი, დ. ტატიშვილი, ზ. გველსიანი (საქ. სსრ მეცნ. აკადემიის აკადემიკოსი), ი. ბარათაშვილი, ზ. ცაგარეიშვილი (საქ. სსრ მეცნ. აკადემიის წევრ-კორესპონდენტი), თ. აბაშიძე, ძ. ჯაოშვილი

მაღალტემპერატურული ზემამტარობა Y-Ba-Cu-F-O სისტემის

რეზიუმე

კერამიკული ტექნოლოგიით სინთეზირებულია მაღალტემპერატურული ზემამტარი  $Y_2Ba_5Cu_7F_4O_7$ , რომლის კრიტიკული ტემპერატურაა 101К.

D. Sh. TSAGAREISHVILI, D. G. TATISHVILI, G. G. GVELESIANI,  
I. B. BARATASHVILI, G. V. TSAGAREISHVILI, T. D. ABASHIDZE  
K. R. JAOSHVILI

## HIGH-TEMPERATURE SUPERCONDUCTIVITY IN THE SYSTEM Y-Ba-Cu-F-O

### Summary

High-temperature superconductor  $Y_2Ba_3Cu_7F_4O_y$  with the critical temperature 101 K has been synthesized using the ceramic technology.

### ლიტერატურა — ЛИТЕРАТУРА — REFERENCES

1. S. R. Ovshinsky *et al.* Phys. Rev. Letters, v. 58, № 24, 1987, p. 2579—2581.
2. C. Perrin *et al.* International conference on high-temperature superconductors and materials and mechanisms of superconductivity, February 29-March 4, 1988, Switzerland, Papers Abstracts B 271.
3. R. Herrmann *et al.* International conference on high-temperature superconductors and materials and mechanisms of superconductivity. February 29-March 4, 1988, Switzerland, Papers Abstracts B 273.
4. Z. Z. Sheng, A. M. Hermann. Letters to Nature, v. 332, № 3, 1988, p. 138—139.
5. В. И. Чечерников. Магнитные измерения. М., 1969.



МЕТАЛЛУРГИЯ

Г. Г. ГВЕЛЕСИАНИ (академик АН ГССР), Г. Б. ЦАГАРЕИШВИЛИ  
(член-корреспондент АН ГССР), А. Т. АВАЛИАНИ, И. Б. БАРАТАШВИЛИ,  
Д. Ш. ЦАГАРЕИШВИЛИ, Т. Д. АБАШИДЗЕ, Д. Г. ТАТИШВИЛИ,  
В. Ш. МЕТРЕВЕЛИ, К. З. УКЛЕБА

ПРИГОТОВЛЕНИЕ ВЫСОКОТЕМПЕРАТУРНЫХ  
СВЕРХПРОВОДНИКОВ СИСТЕМЫ Y-Ba-Cu-O КОЛЛОИДНЫМ  
МЕТОДОМ

В настоящее время высокотемпературные сверхпроводники (ВТСП) системы Y-Ba-Cu-O в основном получают с использованием стандартной керамической технологии. Для изготовления указанным способом совершенных образцов ВТСП операции перемешивания шихты, брикетирования и проковки следует повторять многократно. Данное обстоятельство обуславливает загрязнение исходной смеси, что может иметь исключительно важное значение при промышленном производстве высокотемпературных керамических сверхпроводников.

Исходя из вышесказанного, при приготовлении шихты для синтеза ВТСП предпочтительнее следует отдать технологии, исключающей указанные операции. Таковой следует считать коллоидный метод — осаждение исходной шихты из раствора.

В [1] указывается, что высокотемпературные керамические сверхпроводники системы Y-Ba-Cu-O можно синтезировать с применением шихты, полученной выпариванием раствора, содержащего  $Y_2O_3$ , нитраты бария и меди.

В работе [2] предложена новая технология синтеза ВТСП системы Y-Ba-Cu-O с использованием шихты, состоящей из стехиометрической смеси порошков  $Y_2O_3$ , BaO и CuO, полученных разложением смеси осажденных из раствора гидроксидов иттрия, бария и меди. Однако следует отметить, что синтезированный по этой технологии образец ВТСП не является высококачественным: в интервале 300—95 К его электрическое сопротивление (R) возрастает с уменьшением температуры, а сверхпроводимость проявляется вблизи 95 К и R приближается к нулю при 75 К. Наряду с этим, применение этой технологии требует использования дорогостоящих осадителей (гидроксида тетраметиламмония или гипобромита тетраметиламмония).

В работах [2, 3] указывается, что ВТСП системы Y-Ba-Cu-O можно получить также прокаливанием смеси оксалатов иттрия, бария и меди, осажденных из раствора, однако подробное описание соответствующей технологии отсутствует.

В настоящей работе описаны два способа синтеза ВТСП системы Y-Ba-Cu-O.

По первому способу смесь, состоящую из хлоридов иттрия, меди и бария (можно использовать и соответствующие оксиды с последую-





щим их растворением в разбавленной соляной кислоте), взяты согласно стехиометрии фазы «1:2:3» ( $\text{YBa}_2\text{Cu}_3\text{O}_{7-\delta}$ ), растворяли в дистиллированной воде и при тщательном перемешивании добавляли раствор щавелевокислого калия, вследствие чего осаждали катионы металлов в виде оксалатов. Далее проводили доосаждение иттрия и меди в виде гидроксидов путем добавления раствора КОН. После перемешивания пульпы в течение 15–30 мин ее отстаивали, фильтровали и промывали водой. Осадок высушивали при 110–130°C. В результате получали зеленовато-коричневый мелкодисперсный порошок смеси оксалатов иттрия, бария, меди и гидроксидов иттрия и меди.

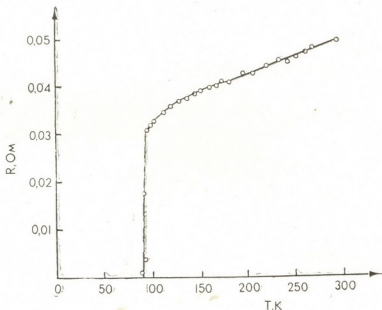


Рис. 1. Температурная зависимость электрического сопротивления сверхпроводника  $\text{YBa}_2\text{Cu}_3\text{O}_{6.69}$  полученного коллоидным методом

По второму способу к раствору хлоридов добавляли при тщательном перемешивании раствор КОН, вследствие чего осаждали Y и Cu в виде гидроксидов, а затем раствор щавелевокислого калия для осаждения бария в виде оксалата. Далее пульпу обрабатывали с использованием методики, описанной в первом способе. В результате получали буроватого цвета мелкодисперсный порошок смеси, состоящей из  $\text{Y}_2\text{O}_3$ ,  $\text{CuO}$  и оксалата бария.

Для синтеза высокотемпературного сверхпроводника исходные порошки, полученные вышеописанными способами, брикетировали, таблетки помещали в корундовые тигли, прокачивали на воздухе в шахтной электропечи при 950°C в течение 15 ч и медленно охлаждали вместе с печью со средней скоростью 100°/ч. При использовании первого способа получали рыхлый образец (№ 1) ВТСП черного цвета с большой пористостью, а в результате применения второго способа — сравнительно плотный образец (№ 2) также черного цвета.

На рисунке изображена кривая зависимости электрического сопротивления (R) образца № 2 от температуры (T) в интервале 77–300 К, полученная с использованием четырехконтактного метода и потенциометрической схемы постоянного тока. Измерительный ток не превышал 1 мА.



Приведенная кривая  $R(T)$  свидетельствует о высоком качестве синтезированного нами образца № 2 высокотемпературного сверхпроводника  $YBa_2Cu_3O_{6,69}$  (количество кислорода в образце определяли иодометрическим методом); электрическое сопротивление образца № 2 с достаточно высокой скоростью уменьшается с температурой; отношение  $R_{300}$  к  $R_n$  (начало перехода) равно приблизительно 2, 0; сверхпроводимость проявляется при 94 К, а состояние  $R=0$  достигается при 92 К. Ширина сверхпроводящего перехода  $\Delta T_c=2,0$  К.

Академия наук Грузинской ССР  
Институт металлургии  
им. 50-летия СССР

(Поступило 24.11.1988)

მეტალურგია

ბ. გველესიანი (საქ. სსრ მეცნ. აკადემიის აკადემიკოსი), ბ. ცაბარაშვილი, (საქ. სსრ მეცნ. აკად. წევრ-კორესპონდენტი), ა. ავალიანი, ი. ბარათაშვილი, დ. ცაბარაშვილი, თ. აბაშიძე, დ. ტატიშვილი, ვ. მიტრეველი, კ. უკლება

Y-Ba-Cu-O სისტემის მაღალტემპერატურული ზემამბარების დამზადება კოლოიდური მეთოდით

რეზიუმე

აღწერილია Y-Ba-Cu-O სისტემის მაღალტემპერატურული ზემამბარების დამზადების კოლოიდური მეთოდი. საწყისი კაზმის სახით გამოყენებულია ფხვნილთა ნარევი, რომელიც შედგება ხსნარიდან დალექილი Y, Ba, Cu ოქსალატებისა და Y, Cu ჰიდროქსიდებისაგან ან Y, Cu უანგისა და Ba ოქსალატისაგან. ამ მეთოდით მიღებულია ზემამბარი  $YBa_2Cu_3O_{6,69}$ , რომლის კრიტიკული ტემპერატურაა 92K.

METALLURGY

G. G. GVELESIANI, G. V. TSAGAREISHVILI, A. T. AVALIANI,  
I. B. BARATASHVILI, D. Sh. TSAGAREISHVILI, T. D. ABASHIDZE,  
D. G. TATISHVILI, V. Sh. METREVELI, K. Z. UKLEBA

PREPARATION OF HIGH-TEMPERATURE SUPERCONDUCTORS  
OF THE Y-Ba-Cu-O SYSTEM BY COLLOIDAL METHOD

Summary

The colloidal method of preparation of Y-Ba-Cu-O system high-temperature superconductors has been described. Powder mixture consisting of Y, Ba, Cu oxalates and Y, Cu hydroxides or Y, Cu oxides and Ba oxalates, precipitated from the solution has been used as a starting material. A superconductor  $YBa_2Cu_3O_{6,69}$  with the critical temperature 92K has been obtained by this method.

ლიტერატურა — ЛИТЕРАТУРА — REFERENCES

1. Y. S y o n o *et al.* Jap. J. Appl. Phys. v. 26, № 4, 1987, L 498-L 501.
2. M. F u j i k i *et al.* Jap. J. Appl. Phys., v. 26, № 7, 1987, L 1159-L 1160.
3. N. Z. W a n g *et al.* International conference on high-temperature superconductors and materials and mechanisms of superconductivity, February 29—March 4, 1988, Switzerland, Papers Abstracts A 269.

М. В. ХВИНГИЯ (академик АН ГССР), Т. В. ЖИЖБАЯ, А. Л. ГОГАВА

### ЧИСЛЕННОЕ МОДЕЛИРОВАНИЕ КОЛЕБАНИЙ ЦИЛИНДРИЧЕСКИХ ПРУЖИН С УЧЕТОМ ДЕМПФИРОВАНИЯ

Пространственные колебания цилиндрических пружин приводят к появлению дополнительных напряжений в материале и, как следствие, к уменьшению надежности конструкций.

Система дифференциальных уравнений Кирхгофа—Клебша описывает колебания пружины как тонкого упругого стержня двойкой кривизны [1, 2], точность и полнота описания которой значительно выше чем у других методов, в основу которых лежит теория эквивалентного бруса.

Рассматривается вращающаяся система координат  $x, y, z$  совпадающая по направлению с нормалью, бинормалью и касательной к винтовой оси пружины (рис. 1), которая включает в себя соотноше-

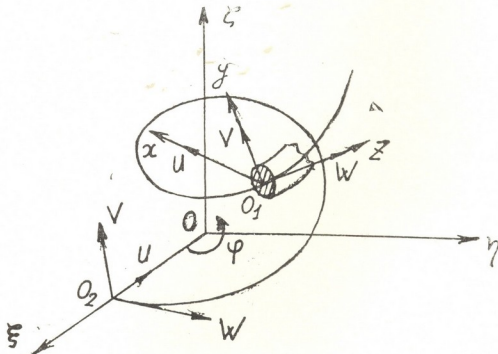


Рис. 1

ния между перемещениями  $U, V, W$ , углами  $\alpha_x, \beta_y, \gamma_z$  и соответствующими кривизнами  $p, q, r$ .

Эти уравнения устанавливают связь между упругими и инерционными силами, но не учитывают демпфирования, которое оказывает значительное влияние на амплитуду колебаний вблизи резонанса.

С учетом демпфирования, по гипотезе Е. С. Сорокина [3], линеаризованные уравнения движения пружины [2] имеют комплексный вид, при этом все перемещения  $U, V, W$  и углы поворотов  $\alpha_x, \beta_y, \gamma_z$  являются комплексными величинами:

$$\begin{aligned}
 (1+i\mu_1)(V'_x+q_0V_z+qV_{z0}-(r_0V_y+rV_{y0})) &= \rho\lambda^2FU, \\
 (1+i\mu_2)(V'_y+r_0V_x+rV_{x0}-(p_0V_z+pV_{z0})) &= \rho\lambda^2FV, \\
 (1+i\mu_3)(V'_z+p_0V_y+pV_{y0}-(q_0V_x+qV_{x0})) &= \rho\lambda^2FW, \\
 (1+i\mu_4)(L'_x+q_0L_z+qL_{z0}-(r_0L_y+rL_{y0})) - V_y &= \rho\lambda^2I_xA_x, \\
 (1+i\mu_5)(L'_y+r_0L_x+rL_{x0}-(p_0L_z+pL_{z0})+V_x) &= \rho\lambda^2I_yB_y, \\
 (1+i\mu_6)(L'_z+p_0L_y+pL_{y0}-(q_0L_x+qL_{x0})) &= \rho\lambda^2I_p\Gamma_z
 \end{aligned} \tag{1}$$

где  $\mu_k (k=1 \div 6)$  — коэффициенты внутреннего демпфирования в материале пружины по направлениям перемещений  $U, V, W$  и поворотов  $\alpha_x, \beta_y, \gamma_z$ , (рис. 1):  $\rho, F, I_x, I_y$  — плотность материала, площадь и моменты инерции, относительно осей  $x, y$ , поперечного сечения.  $V_x, V_y, V_z; L_x, L_y, L_z$  — упругие силы и моменты в направлениях  $x, y, z, i = \sqrt{-1}$ .

Уравнения (1) можно привести к системе:

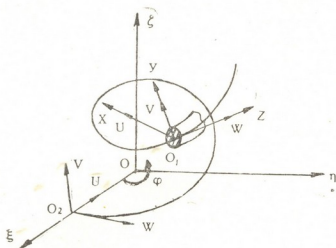


Рис. 2

$$\begin{aligned}
 -A_{11}W^{VI} + A_{12}W^{IV} + A_{13}W^{II} + A_{14}W + A_{15}V^{IV} + A_{16}V^{II} - \\
 -A_{17}V - A_{18}\Gamma_z^{II} - A_{19}\Gamma_z = L_1; \\
 -A_{21}W^{IV} + A_{22}W^{II} + A_{23}W - A_{24}V^{IV} + A_{25}V^{II} - A_{26}V + A_{27}\Gamma_z^{II} - A_{28}\Gamma_z = L_2; \\
 A_{31}W^{II} + A_{32}W + A_{33}V^{II} - A_{34}V - A_{35}\Gamma_z^{II} - A_{36}\Gamma_z = L_3,
 \end{aligned} \tag{2}$$

где  $L_1, L_2$  и  $L_3$  имеют аналогичный смысл, что и в работе [4] но каждая из координат, входящих в  $L_{1,2,3}$  умножается на комплексный сомножитель вида:

$$a_k = \frac{1}{1+i\mu_k} \quad (k=1 \div 6)$$

Например,  $\gamma_2 a_0, \nu a_2, \omega a_1$  и т. д.

Систему (2) решаем относительно высших производных и решение представляем в виде суммы вещественной и мнимой частей.

При этом применяем следующие обозначения: действительная часть  $W$  обозначается через  $W_1$ , мнимая часть —  $W_{13}$ , действительная часть



$W' - W_2$ , мнимая —  $W_{14}$ , действительная часть  $V - W_7$  и т. д., располагая их по возрастанию индексов. Через  $(\beta_{i,j})$  ( $i=1 \div 6, j=1 \div 23$ ) обозначаем коэффициенты при перемещениях.

Высшие производные в каждом из уравнений обозначаются: действительная часть  $W^{VI} - Z_6$ , мнимая часть —  $Z_{18}$ ; действительная часть  $V^{IV} - Z_{10}$ , мнимая —  $Z_{22}$ , действительная часть  $\Gamma_z^{II} - Z_{12}$ , мнимая —  $Z_{24}$ .

К полученным уравнениям добавляем 18 уравнений:

$$Z_{k-1} = W_k,$$

при  $k=1 \div 5, 7 \div 9, 11, 13, \div 17, 19 \div 21, 23$ , после чего приходим к нормальной системе 24-х линейных обыкновенных дифференциальных уравнений первого порядка

$$\{Z\} = [A] \{W\}, \quad (4)$$

где  $\{W\} = \{W_1, W_2, \dots, W_{24}\}^T$  — вектор перемещений;

$\{Z\} = \{Z_1, Z_2, \dots, Z_{24}\}^T$  — вектор производных перемещений.

$[A]$  — матрица коэффициентов.

В случае линейных краевых условий решение задачи сводится к решению задачи Коши методом пристрелки и, для численной реализации которой, применяется метод прогноза и коррекции Хемминга четвертого порядка [1].

Для реализации метода задаемся функцией вынужденных колебаний  $A \cos \omega t$  по направлению  $V$ , например для жестко заделанных краевых условий, допускалась  $V = A \cos \omega t, W = 0, \Gamma_z = 0$  ( $A = \text{const}, A/H_0 \leq 10^{-6} \div 10^{-7}$ ).

В качестве примера проводились вычисления для пружины со следующими параметрами: Свободная высота  $H_0 = 66,3$  мм, диаметр проволоки  $d = 5$  мм, число рабочих витков 7, средний диаметр пружины  $D = 21$  мм, коэффициент внутреннего демпфирования  $\mu_k = 0,02$  ( $k = 1 \div 6$ ).

В результате вычислений были получены резонансные частоты:

$$f_1 = 520, f_2 = 530, f_3 = 590, f_4 = 658, f_5 = 1088,$$

$$f_6 = 1136, f_7 = 1188, f_8 = 1258, f_9 = 1604, f_{10} = 1738,$$

$f_{11} = 1784$  (в герцах), которые хорошо совпадают с результатами решения по МКЭ.

Описанный метод вычислений с успехом применяется для определения амплитуд резонансных колебаний.

Академия наук Грузинской ССР

Институт механики машин

(Поступило 29.12.1988)

მანკანათმცოდნეობა

მ. ხშიზია (საქ. სსრ მეცნ. აკად. აკადემიკოსი), თ. შიშაია, ა. გოგავა  
ცილინდრული ზამბარების რხევების რიცხვითი მოდელირება  
დემპფირების გათვალისწინებით

რეზიუმე

ორმაგი სიმრუდის ძელის რხევის განტოლებათა საფუძველზე (კირხჰოფი-კლემის სისტემა) გამოკვლეულია ზამბარის კვეთის დაძაბულ-დემფორმირებული მდგომარეობა. განსაზღვრულია საკუთარი სიხშირეების სპექტრი.

М. В. ХВИНГИЯ, Т. В. ЖИЗЬБАЯ, А. Л. ГОГАВА

NUMERICAL MODELLING OF COIL SPRING OSCILLATIONS WITH  
REGARD FOR DAMPING

## Summary

On the basis of equations of motion of the thin double-curvature elastic rod (Kirchhoff-Klebsh system) with regard for internal damping the strain-deformed state of the cross-section spring is investigated. The frequency spectrum of natural oscillations is defined.

## ЛИТЕРАТУРА — ЛИТЕРАТУРА — REFERENCES

1. С. Д. Пономарев, В. Л. Бидерман и др. Расчеты на прочность в машиностроении, т. 3. М., 1959.
2. М. В. Хвингия. Вибрации пружин. М., 1969.
3. Е. С. Сорокин. К теории внутреннего трения при колебаниях упругих систем. М., 1960.
4. Пакет научных подпрограмм на языке Фортран, книга 2. Минск, 1982.

Т. Н. ЛОЛАДЗЕ (академик АН ГССР), Г. Н. КЕМАЛАДЗЕ,  
А. И. МИКАНАДЗЕ, О. В. КОЧИАШВИЛИ, Г. С. ТАБАТАДЗЕ

### УСКОРЕННАЯ ДИАГНОСТИКА ЭФФЕКТИВНОСТИ СМАЗЫВАЮЩЕ-ОХЛАЖДАЮЩЕЙ ЖИДКОСТИ

Известен способ выбора эффективной смазывающе-охлаждающей жидкости (СОЖ) для заданных инструментального и обрабатываемого материалов и условий обработки [1]. Эффективную СОЖ выбирают по графикам зависимости  $T=f(v)$  для сравниваемых жидкостей, как обеспечивающую наибольшую стойкость инструмента  $T$  при заданных условиях. Недостатком этого способа является трудоемкость и большой расход обрабатываемого материала.

Указанный недостаток может быть устранен путем применения известного способа выбора рационального инструментального материала [2, 3].

Сущность использования этого способа по новому назначению состоит в определении интенсивности начального относительного износа предварительно отполированных контактных поверхностей инструмента  $\Delta$  после кратковременного резания в среде сравниваемых СОЖ, с последующим построением кривых зависимостей  $\Delta=f(v)$  и выявлением СОЖ, обеспечивающей наименьшее  $\Delta$  для заданного режима обработки.

Относительный износ  $\Delta$  представляется в виде отношения суммарной площади изъянов и повреждений на передней или задней поверхности инструмента  $S_u$  к площади контакта стружки с передней или обработанной поверхностью с задней поверхностью инструмента  $S_k$ . Методика определения  $S_u$  и  $S_k$  приведена в [2, 3].

Рассмотрим конкретный пример. Допустим, необходимо установить эффективность применения эмульсии из канифольного мыла [4] в случае нарезания резьбы с крупным шагом ( $S=3,175 \cdot 10^{-3}$  м) на заготовках из стали 36Г2С ( $\sigma_b \approx 750$  МПа).

На рис. 1 представлены кривые зависимости величины относительного износа от скорости резания  $\Delta=f(v)$  для 5%-ных эмульсий канифольного мыла (кривая 2) и сравниваемой с ней стандартной эмуль-

სინი из эмульсола Э2 (кривая 1). Анализ этих кривых показывает, что для заданных условий интенсивность износа резбового резца Т15К6 в среде канифольного мыла ниже, чем в случае стандартной эмульсии. Это позволяет сделать вывод об эффективности эмульсий канифольного мыла при нарезании резьбы на заготовках из стали, что подтверж-

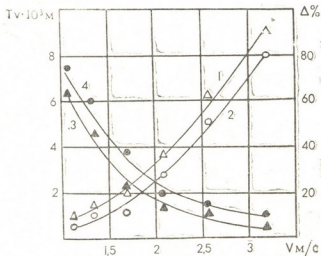


Рис. 1

дается также данными полных стойкостных опытов (кривые 3 и 4 зависимости  $T \cdot v = f(v)$  на рис. 1) [5].

Предложенный способ выбора эффективной СОЖ по интенсивности начального относительного износа  $\Delta$  позволяет существенно сократить по сравнению с «классическим» трудоемкость выбора СОЖ (в 3—4 раза) и расход обрабатываемого материала (до 50 раз).

Грузинский политехнический институт  
им. В. И. Ленина

(Поступило 23.12.1988)

განმანათლებლოვნობა

თ. ლოლაძე (საქ. სსრ მეცნ. აკადემიის აკადემიკოსი), ზ. ტყემალაძე, ა. შივანაძე,  
ო. კოჩიაშვილი, ზ. ტაბატაძე

საპოზ-გამაცივებელი სითხის ეფექტურობის დაჩქარებული  
დიაგნოსტიკა

რეზიუმე

მოყვანილია საპოზ-გამაცივებელი სითხის (სგს) ეფექტურობის დადგენის დაჩქარებული მეთოდი, რომელიც დამყარებულია მჭრელი იარაღის მუშა ზედაპირების საწყისი ფარდობითი ცვეთის განსაზღვრაზე შესადარებელ სემ-ის არეში ხანმოკლე ჭრის შემდეგ. განხილულია სგს-ის დიაგნოსტიკის კონკრეტული მაგალითი. ნაჩვენებია ეკონომიკური ეფექტი.



T. N. LOLADZE, G. N. TKEMALADZE, A. I. MIKANADZE,  
O. V. KOCHIASHVILI, G. S. TABATADZE

## QUICK DIAGNOSIS OF THE EFFECTIVENESS OF THE LUBRICANT-COOLANT LIQUID

### Summary

The paper describes a new method of quick diagnosis of the effectiveness of the lubricant-coolant liquid, based on determination of the primary relative wear of contact surfaces during short-time cutting in the medium of compared lubricant-coolant liquids. A specific example of the diagnosis of a lubricant-coolant liquid is considered. The economic effect of the method is shown.

### ლიტერატურა — ЛИТЕРАТУРА — REFERENCES

1. А. В. Панкин, В. Н. Бурдов. Изготовление и применение новых смазывающе-охлаждающих жидкостей. М., 1964.
2. Т. Н. Лоладзе, А. И. Миканадзе, Г. Н. Ткемаладзе, О. В. Қочиашвили, А. с. № 1202715, СССР, заявл. 25.07.84, № 3776106, опубл. в Б. И. 1986, № 1, МКИ в 23 В.
3. Т. Н. Лоладзе, А. И. Миканадзе, Г. Н. Ткемаладзе, О. В. Қочиашвили. Сообщения АН ГССР, 124, № 2, 1986, 365—368.
4. Р. Н. Ошер. Производство и применение СОЖ (для обработки материалов резанием). М., 1963.
5. Г. Н. Ткемаладзе. Автореферат канд. дисс. Тбилиси, 1972.

К. М. АВАЛИАНИ

## ГРАФОАНАЛИТИЧЕСКОЕ РАССМОТРЕНИЕ ВЛИЯНИЯ УГЛА В ПЛАНЕ РЕЗЦА НА СИЛУ РЕЗАНИЯ

(Представлено академиком Т. Н. Лоладзе 29.12.1988)

Настоящее графоаналитическое рассмотрение зависимости угла в плане  $\varphi$  на силу резания при точении ставит целью найти характер зависимости силы от угла в плане резца. Такая задача обычно в резании металлов решается только эмпирическим путем. В настоящей работе путем анализа степенной зависимости вида

$$\alpha = x^m y^n \quad (1)$$

и предположением корреляционной зависимости между напряжениями, возникающими в теле резца и силой резания устанавливается закономерность изменений силы от угла в плане резца. Эта закономерность связана с изменением напряжения в теле резца, которое, как известно, равно

$$\sigma = \frac{M_{u \max}}{W} \leq [\sigma]. \quad (2)$$

Напряжение по (2) достигает минимума в том случае, когда принимает максимальное значение. Сам момент сопротивления сечения резца, который равен  $W \approx \frac{1}{6} B H^3$ , может быть рассмотрен как степенная функция вида (1). Показателями степени этой функции могут быть положительные числа, как целые, так и дробные. Так как  $B$  и  $H$  являются сторонами прямоугольного тела резца, то переменные  $X$  и  $Y$  (т. е.  $B$  и  $H$ ) могут быть связаны соотношением

$$x^2 + y^2 = d^2. \quad (3)$$

Для определения экстремума функции достаточно приравнять ее производную к нулю и найти величины переменных. С этой целью подставим значение  $x = \sqrt{d^2 - y^2}$  в (2), обозначим  $\xi = \alpha^2$  и найдем производную:

$$\xi' = [(d^2 - y^2)^m] y^{2n} + (d^2 - y^2)^m \cdot (y^{2n})'. \quad (4)$$

Приравняв (4) к нулю, после элементарных преобразований получим

$$nd^2 - ny^2 = my^2,$$

откуда

$$y = \frac{d \sqrt{n}}{\sqrt{m+n}}.$$

Исследование функции (1) показывает, что в критической точке она имеет максимум. Подставив это значение в (3), найдем

$$x = \frac{d \sqrt{m}}{\sqrt{m+n}}.$$

Принимая  $d = \sqrt{m+n}$ , получаем  $y = \sqrt{n}$ ;  $x = \sqrt{m}$ .

В частном случае, когда степень при  $X$  равна единице, будем иметь  $y = \sqrt{n}$ ;  $x = 1$ .

Геометрическую сущность установленных зависимостей можно уяснить из рис. 1-а, б.



Если указанные величины сторон прямоугольников  $ABCD$  внесем в функции  $\alpha = x^m y^n$  и  $\beta = x' y'^n$ , получим их максимальное значение, при всех же других значениях этих сторон (при постоянном значении диаметра  $d$ ) данные функции будут убывать.

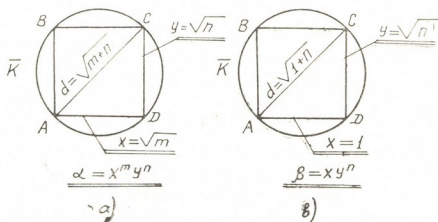


Рис. 1. Геометрическая сущность установленных (а, б) зависимостей

Известно, что напряжение  $\sigma$  в теле державки реза зависит от величины силы резания. Сила резания, в свою очередь, изменяется от угла в плане резца  $\varphi$ . Учитывая, что величина сечения  $i \times Sab$ , главным образом, влияет на силу, а также связана с углом в плане  $\varphi$ , то поэтому между сечением среза и сечением державки можно рассмотреть корреляционную связь. При этом угол между гипотенузой и катетом основания может быть принят за угол в плане  $\varphi$ . Это создает возможность графоаналитического рассмотрения влияния угла  $\varphi$  на напряжения, возникающие в теле реза.

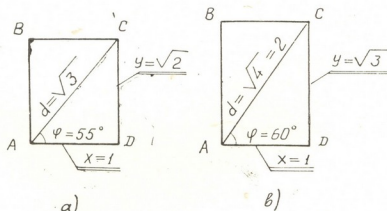


Рис. 2. Графоаналитическое рассмотрение влияния (а, б) угла  $\varphi$  на напряжения, возникающие в теле реза

В прямоугольниках с единичным основанием и высотами  $h = \sqrt{2}$  и  $h = \sqrt{3}$  углы между основанием и гипотенузой соответственно равны:  $\varphi = 55^\circ$  и  $\varphi = 60^\circ$ , где  $\text{tg } 55^\circ = \sqrt{2}$ , а  $\text{tg } 60^\circ = \sqrt{3}$  (рис. 2-а, б).

Таким образом, при угле в плане  $\varphi = 60^\circ$  мы имеем наименее напряженное тело державки реза и, по-видимому, рациональное значение силы резания. Характер изменения функции (1) в числовом виде проще всего представить с помощью изменения сторон указанного прямоугольника синусами и косинусами угла  $\varphi$ . Очевидно, что измене-

ние  $\alpha$  будет соответствовать изменению  $W$ , что при возрастании  $\alpha$  будет понижать силу.

$$\begin{aligned} \cos 58^\circ &= 0,530, & \sin 58^\circ &= 0,848; \\ \cos 59^\circ &= 0,515, & \sin 59^\circ &= 0,857; \\ \cos 60^\circ &= 0,500, & \sin 60^\circ &= 0,866; \\ \cos 61^\circ &= 0,484(8), & \sin 61^\circ &= 0,874(6). \end{aligned}$$

Так как функция имеет вид  $t^1 S^3$ , то в тригонометрических функциях ее изменение, для отмеченных углов, будет происходить в следующем соответствии:

$$\begin{aligned} \cos 58^\circ \times \sin^3 58^\circ &= 0,530 \times 0,609 = 0,322; \\ \cos 59^\circ \times \sin^3 59^\circ &= 0,515 \times 0,630 = 0,324; \\ \cos 60^\circ \times \sin^3 60^\circ &= 0,500 \times 0,650 = 0,325 - \text{max}; \\ \cos 61^\circ \times \sin^3 61^\circ &= 0,484(8) \times 0,670 = 0,315. \end{aligned}$$

Изменение значений степенных функций  $t^1 s^1$ ,  $t^1 s^2$ ,  $t^1 s^3$  при изменении угла  $\varphi$  от  $0^\circ$  до  $90^\circ$  показано в наглядной форме на рис. 3. Те же функции, как отмечалось ранее, для угла  $\varphi$  можно представить и в виде

$$\alpha = x^m y^n = x^{m/m} y^{n/m} = x^1 y^{n/m}.$$

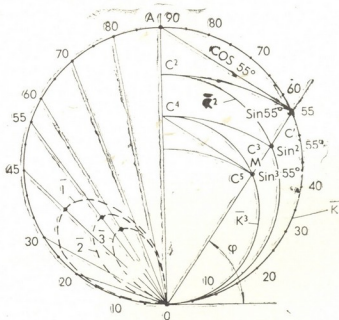


Рис. 3. Схема графического построения функции  $z = xy^n$

Кривые построены по точкам, соответствующим значениям функции при изменении величины угла  $\varphi$  с интервалами в пять градусов:

- кривая 1 — для функции  $t^1 s^1 - \sin \varphi \cos \varphi$ ;
- кривая 2 — для функции  $t^1 s^2 - \sin^2 \varphi \cos \varphi$ ;
- кривая 3 — для функции  $t^1 s^3 - \sin^3 \varphi \cos \varphi$ .

С целью упрощения расчет произведен графически. Полученные результаты в наглядной форме дают характерную картину процессов убывания значений степенной функции от ее максимального значения до нуля.

Теперь кратко поясним графические построения.

На рис. 3 диаметр  $|OA|$  окружности  $\bar{K}$  равен единице. Поэтому пучок хорд с центром в точке  $O$  и концами на  $\bar{K}$  изображает значения синусов соответствующих углов, а пучок хорд с центром в  $A$  и концами на  $\bar{K}$  — значения косинусов тех же углов. Величины  $\sin^2 \varphi$ ;  $\sin^3 \varphi$  и т. д. определяются следующим образом, засекаем (см. правую часть рисунка) напри-



мер, дугой  $\bar{K}$  радиуса  $|OC^1| = \sin 55^\circ$  диаметр  $|OA|$  в точке  $C^2$  на отрезке  $|OC^2|$ , как на диаметре, строим полуокружность  $\bar{K}^2$ . В результате пересечения  $\bar{K}^2$  с  $|OC^1|$  (в точке  $C^3$ ) получим отрезок  $|OC^3| = \sin^2 \varphi$ . Продолжая аналогичные построения, получим отрезок  $|OC^5| = \sin^3 \varphi$  и т. д.

Для графического нахождения произведения  $|AC^1| \times |OC^3| = \cos 55^\circ \times \sin^2 55^\circ$ , достаточно отметить от точки  $O$  отрезок  $|AC^3|$  на прямой  $|OA|$  и из точки  $C^4$  провести прямую, параллельную  $|AC^1|$  до пересечения с  $|OC^1|$  в точке  $M$ . Тогда отрезок  $|C^4M|$  будет равен величине  $\cos 55^\circ \times \sin^2 55^\circ$ .

Проведенный анализ подтверждается рядом исследований [1—4], которые также показывают, что минимальная сила резания возникает при  $\varphi = 60^\circ$ .

Принятая методика исследований ставила цель найти взаимосвязь между степенными зависимостями и геометрическими характеристиками резца, рассматриваемого как стержень под действием силы резания.

Полученные данные использованы также для повышения эффективности обдирочного точения нагретого металла путем подбора рационального сочетания глубины резания и подачи.

Грузинский политехнический институт  
им. В. И. Ленина

(Поступило 29.12.1988)

განკანთმცოდნეობა

ბ. ავალნანი

საჭრისის გეგმაში მთავარი კუთხის ზრის ძალაზე გავლენის  
გრაფოანალიზური განხილვა

რეზიუმე

ლითონების ჭრით დამუშავების დროს ჭრის ძალის მინიმალური მნიშვნელობის განსაზღვრისათვის გამოყენებულია გრაფოანალიზური მეთოდი.

ჩატარებული ანალიზის შედეგად დადგენილია ჭრის სიღრმისა და მიწოდებას შორის თანაფარდობა, რომელიც დაცული უნდა იქნეს ჭრის ძალის მინიმალური მნიშვნელობის მისაღწევად საჭრისის გეგმაში მთავარი კუთხის სათანადო მნიშვნელობის დროს.

MACHINE BUILDING SCIENCE

K. M. AVALIANI

## GRAPHOANALYTICAL DETERMINATION OF THE INFLUENCE OF PLANE ANGLE ON CUTTING FORCE

Summary

The paper describes the graphoanalytical method for obtaining the minimal value of cutting force during turning. It is shown that there is a certain relation between the depth of cutting and the feed which should be followed in order to obtain the minimal value of the force.

ლიტერატურა — ЛИТЕРАТУРА — REFERENCES

1. А. М. Вульф. Резание металлов. М., 1973.
2. В. А. Аршинов, Г. А. Алексеев. Резание металлов и режущий инструмент. М., 1976.
3. В. Ф. Бобрров. Основы теории резания металлов. М., 1975.
4. Г. И. Грановский, В. Г. Грановский. Резание металлов. М., 1985.



Т. Ф. КУРДАДЗЕ, З. Я. КИКВИДZE

## ОСМОТИЧЕСКОЕ ДАВЛЕНИЕ У ЭФЕМЕРОИДОВ ВЫСОКОГОРИЙ ЦЕНТРАЛЬНОГО КАВКАЗА

(Представлено членом-корреспондентом Академии Г. Ш. Нахуцришвили 7.9.1988)

Высокогорные эфемероиды приспособлены к своеобразному сочетанию благоприятных и неблагоприятных экологических факторов, таких как высокое световое довольствие и обильное водоснабжение на фоне сильно колеблющейся температуры и ночных заморозков, действие которых мало смягчается еще не сформированным травостоем, и ограниченных сроков вегетации. Один из важных физиологических показателей — осмотическое давление. Этот показатель позволяет судить о водно-солевом режиме растений и в определенной мере отражает действие таких факторов, как недостаток влаги и отрицательные температуры [1]. Нами исследовалось изменение осмотического давления у некоторых эфемероидов Центрального Кавказа вдоль высотного градиента. Исследования проводились в Казбегском районе (42°48 с. ш. и 44°39 в. д., среднемесячная температура весной 5—6°C, относительная влажность летом 70—75%, годовая сумма осадков 700—900 мм). Были выбраны четыре представителя весенних эфемероидов: *Primula amoena* M. B. (нетипичный эфемероид), *Primula algida* Adam, *Fritillaria lutea* Mill., *Gentiana angulosa* M. B. Растения собирались по мезосклону северо-западной экспозиции на высотах 2100, 2450, 2700 и 2900 м над уровнем моря. При сборе немедленно фиксировались ассимиляционные органы, осмотическое давление измерялось в лабораторных условиях криоскопическим методом [2]. При сборе растения находились в фазе цветения. Повторность измерений 6—8-кратная, относительная ошибка средней арифметической 0,2—1,6%, достоверность различия оценивалась по критерию Стьюдента для 1%-ного уровня значимости [3].

На рис. 1 представлены значения осмотического давления у эфемероидов на различной высоте над уровнем моря. У *P. amoena* и *G. angulosa* существенных и достоверных различий в величинах осмотического давления не обнаружены, а у видов *P. algida* и *F. lutea* изменение осмотического давления вдоль высотного градиента хорошо выражено, с существенным увеличением с возрастанием высоты над уровнем моря. Первые два вида, видимо, следует отнести к стеноосмотическим видам, а последние два — к эвриосмотическим. Можно также предположить различные механизмы адаптации этих растений к ухудшению водного баланса по высотному градиенту. В частности, предполагается напряжение водного режима с увеличением высоты над уровнем моря при прочих равных условиях в связи с возрастанием

сухости и повышением испарения; снижаются также средние значения температуры, в особенности почвы, доля отрицательных температур в балансе увеличивается. Такое ухудшение водного баланса эвриосмотические виды могут компенсировать увеличением осмотического давления, что и наблюдается у *P. algida* и *F. lutea*. Стеноосмотические же виды, такие как *P. amoena* и *G. angulosa*, видимо, регулируют водный режим иными физиологическими механизмами. Таким образом, различные механизмы адаптации к условиям среды могут действовать и в пределах одного рода, как например у рода *Primula*.

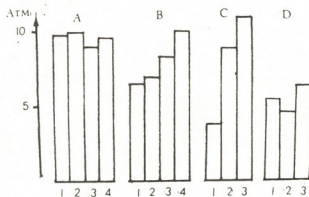


Рис. 1. Потенциальное осмотическое давление эфемероидов на различной высоте над уровнем моря: 1—2100 м; 2—2400 м; 3—2700 м; 4—2900 м; А—*Primula amoena* М. В.; В—*Primula algida* Adam.; С—*Fritillaria lutea* Mill.; Д—*Gentiana angulosa* М. В.

Диапазон абсолютных значений потенциального осмотического давления, определенный нами у эфемероидов высокогорий Центрального Кавказа (3,9—11 атм), несколько уступает по величине значениям осмотического давления луговых растений и трав влажных лесов [4], хотя в большей степени перекрывается их диапазоном. Такие относительно низкие значения потенциального осмотического давления по сравнению с другими луговыми растениями, видимо, отражают своеобразие физиологических свойств эфемероидов как экологической группы, связанное с относительно обильным и равномерным водоснабжением весной высокогорных лугов Центрального Кавказа.

Академия наук Грузинской ССР  
Институт ботаники  
им. Н. Н. Кецихели

(Поступило 22.9.1988)

ბოტანიკა

თ. შურაბაძე, ზ. კიკვიძე

ცენტრალური კავკასიონის მაღალმთის ეფემეროიდების ოსმოსური  
წნევა

რეზიუმე

ზღვის დონიდან სხვადასხვა სიმაღლეზე (2000—3000 მ) განესაზღვრეთ ცენტრალური კავკასიონის ეფემეროიდების (*Primula amoena* М. В., *Primula algida* Adam., *Fritillaria lutea* Mill., *Gentiana angulosa* М. В.) ოსმოსური

წნევა. *P. amoena*-სა და *G. angulosa*-ს პოტენციური ოსმოსური წნევა პრიმულა და გენტიანა მნიშვნელოვნად ზღვის დონიდან სიმაღლის მიხედვით, ხოლო *P. algida*-ს და *F. lutea*-ს ოსმოსური წნევა ზღვის დონიდან სიმაღლის მიხედვით მნიშვნელოვნად იზრდება. ამის გამო მცენარეთა პირველი ორი სახეობა მიეკუთვნა სტენოოსმოსურ, ხოლო ორი უკანასკნელი — ეურიოსმოსურ სახეობებს. შესაბამისად ივარაუდება წყლის რეგემის რეგულაციის განსხვავებული მექანიზმები მცენარეთა ამ ორ ჯგუფს შორის.

BOTANY

T. F. KURDADZE, Z. Ya. KIKVIDZE

## OSMOTIC PRESSURE IN HIGH-MOUNTAIN EPHEMEROIDS OF THE CENTRAL CAUCASUS

### Summary

Osmotic pressure was assayed through altitudinal gradient (2000—3000 m) in the following high-mountain ephemeroids of the Central Caucasus: *Primula amoena* M. B., *Primula algida* Adam, *Fritillaria lutea* Mill., and *Gentiana angulosa* M. B. *P. amoena* and *G. angulosa* showed relatively constant osmotic pressure without significant variations, *P. algida* and *F. lutea* demonstrated the increasing pressure through the uphill altitudinal gradient. Accordingly, the former two plants are grouped with stenoosmotic species, whereas the latter two ones—with euri-osmotic species. It is assumed that these two groups of plants have different mechanisms of adaptation and regulation of their water relations.

### ლიტერატურა — ЛИТЕРАТУРА — REFERENCES

1. В. М. Свешникова. Водный режим растений и почв высокогорных пустынь Памира. Душанбе, 1962, 158.
2. К.—Н. К р е е б. Methoden der Pflanzenökologie. VEB Gustav Fischer Verlag. Jena 1977.
3. Г. Ф. Л а к и н. Биометрия. М., 1980.
4. Н. W a l t e r. Einführung in die Phytologie 111/1. Standortlehre. E. Elmer, Stuttgart, 2. Aufl. 1960.





ბ. ღვალაძე, ლ. ჩხაიძე, მ. ჯაოშვილი

ხორბლის სახეობათა შორისი ჰიბრიდის (*TRITICUM AESTIVUM* NEV. x *TRITICUM COMPACTUM* HOST.) მიკროსპორმოგენეზი

(წარმოადგინა აკადემიის წევრ-კორესპონდენტმა გ. ნახტარიშვილმა 23.9.1988)

შორეული ჰიბრიდიზაცია კომბინაციური ცვალებადობის წყალობით ქმნის მძლავრ სამომავლო რეზერვს სელექციური მუშაობისათვის. მაგრამ ცნობილია, რომ ჰიბრიდები უმეტეს შემთხვევაში ხასიათდებიან დაბალი ნაყოფიერებით ან სრული სტერილობით, რაც ძირითადად გამეტოგენეზისა და მეიოზის ანომალიური მიმდინარეობითაა გაპირობებული. ამდენად ჰიბრიდთა მეიოზის შესწავლას დიდი ხანია განსაკუთრებული ყურადღება ეთმობა [1—5].

ჩვენი კვლევის ობიექტს წარმოადგენდა *T. aestivum* Nev. x *T. compactum* Host. ჰიბრიდების პირველი თაობა.

ჰიბრიდული მცენარეების ზრდა-განვითარებას ვსწავლობდით აღმოცენებიდან სავეგეტაციო პერიოდის ბოლომდე, ხოლო რაოდენობრივ მაჩვენებლებს ვადგენდით მცენარეთა მომწიფებისა და აღების შემდეგ.

ჰიბრიდული მცენარეები ხასიათდება სამეურნეო თვალსაზრისით საყურადღებო ნიშან-თვისებებით — კარგი ლეწვადობით, არამტკრევადი ღეროთი, საწყის მცენარეებთან შედარებით ცილებისა და შეუნაცვლევი ამინომჟავების უფრო მაღალი შემცველობით.

ციტოლოგიური კვლევისათვის მასალას ვაფიქსირებდით კარნუსს ხსნარით. გაუწყლოვება და პარაფინირება მიმდინარეობდა მიკროტექნიკაში ცნობილი წესით. ანათლების სისქე არ აღემატებოდა 20 მიკრონს. პრეპარატებს ვღებავდით მჟავე გემალაუნით მაიერის მიხედვით. კვლევას და მიკროფოტოგრაფირებას ვაწარმოებდით სინათლის მიკროსკოპზე „პოლივარი“.

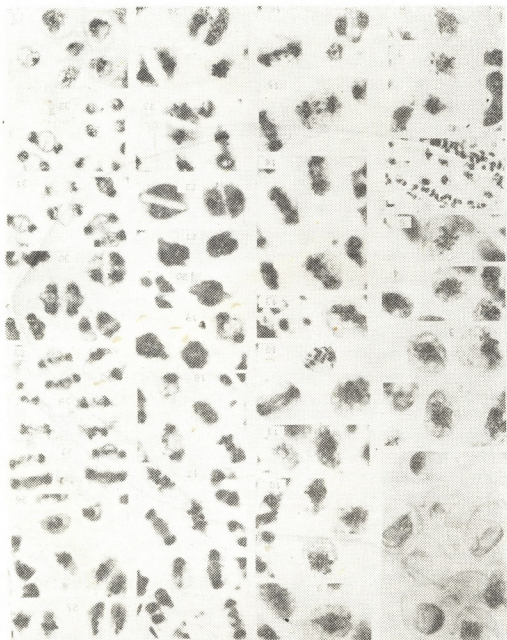
ჰიბრიდების სამტკრე პარკებში არქესპორული უჯრედები მორფოლოგიურად არაერთგვაროვანია (მიკროფოტო 1). ზოგ მათგანში შეინიშნება დეგენერაციის აშკარა ნიშნები — ბირთვის მოყვანილობა ატიპურია, ციტოპლაზმა დეფორმირებული.

მეიოზური დარღვევები აშკარად ვლინდება უკვე პროფაზა პირველიდანვე. დარღვევები ძირითადად გამოიხატება ქრომოსომების არასრულ კონიუგაციაში, რაც შეაფილტ ჩანს მეტაფაზურ ფირფიტაზე (მიკროფოტო 2—12). მეტაფაზა პირველის დროს გაყოფის თითისტარას ეკვატორულ სიბრტყეზე ქრომოსომების თავმოყრაც ასინქრონულია (მიკროფოტო 13). მოგვიანებით ქრომოსომების უმეტესი ნაწილი ნორმალურ მდებარეობას იღებს. ზოგიერთი ქრომოსომის მეტაფაზური მოძრაობა იმდენად დარღვეულია, რომ რჩება გაყოფის თითისტარას მიღმა (მიკროფოტო 2—13). ასეთი ქრომოსომები მეტწილად უნივალენტებია.

ჰიბრიდების მიკროსპოროგენეზის მეტაფაზა პირველში აღვილად ხერხდება ქრომოსომების რაოდენობის დადგენა ( $n=21$ ).

ანაფაზა პირველში ქრომოსომების პოლუსებისაკენ გადაადგილება აგრეთვე ასინქრონულია. ნაკვიანევად გადაადგილებული უნივალენტებისა და ბივალენტების რაოდენობის მიხედვით დარღვევები არაერთგვაროვანი და ქრელია

(მიკროფოტო 14—18). ეკვატორზე შედარებით ხანგრძლივად შერჩენილი ბივალენტების რიცხვი ორი-სამია, ხოლო უნივალენტებისა — ორი-ექვსი. იშვიათად ხდება ბივალენტის მთლიანად ერთი პოლუსისაკენ გადაადგილება. ანაფაზის ბოლოს და ადრეულ ტელოფაზაში ქრომოსომების უმეტესი ნაწილი დაგვიანებით, მაგრამ მაინც, აღწევს პოლუსებამდე (მიკროფოტო 19). საკმაოდ ხშირ შემთხვევებში ბირთვის გარეთ რჩება ქრომატინის გარკვეული ნაწილი, წარმოდგენილი მომრგვალო, იშვიათად მოგრძო სხეულის სახით (მიკროფოტო 22).



სურ. 1

გვიანი ტელოფაზა პირველის დროს მიკროსპორას დედა უჯრედების დიდი ნაწილი აშკარად დეგენერირებულია — გაყოფის თითისტარა დეფორმირებულია, პოლუსებთან თავმოყრილი ქრომატინი ატიპურად მუქადღებად და უსწორო მოხაზულობის მასას ქმნის (მიკროფოტო 19—21).

დიადის უჯრედების მხოლოდ მცირე ნაწილი გამოიყურება ნორმალურად. უმეტესად კი დიადის ერთი ან ორივე უჯრედი შეიცავს მიკრონუკლეუსებს

(მიკროფოტო 22), რომელსაც ქმნის გვიან ტელოფაზაში ბირთვის მიღმა დარჩენილი ქრომატინი. ამ ფაზაშიც შეინიშნება დიადის ერთი ან ორივე უჯრედის დეგენერაცია (მიკროფოტო 22).

მეიოზი მეორე აგრეთვე დარღვევებით მიმდინარეობს. დარღვევები მეიოზ ბირველის დარღვევების მსგავსია, მაგრამ მათი სიხშირე და სიღრმე უფრო ნაკლებადაა გამოხატული.

მეიოზ მეორის მეტაფაზაშიც აშკარაა მეტაფაზური ფირფიტებიდან ქრომატინის გამოვარდნა (მიკროფოტო 23—26).

მეიოზ მეორის ანაფაზაში საკმაოდ ხშირია ქრომოსომების ანომალური გადაადგილების შემთხვევები (მიკროფოტო 27—29).

მეიოზი მეორის ტელოფაზის მხოლოდ მცირე ნაწილი გამოიყურება ნორმალურად, უმეტესწილად კი იგი ატიპურია (მიკროფოტო 30—32). აღსანიშნავია, რომ უჯრედების დეგენერაცია მიმდინარეობს მაშინაც, როცა ქრომოსომული აბერაციები ვიზუალურად არ არის გამოხატული (მიკროფოტო 30).

მეიოზის შედეგად ფორმირებული ტეტრაედების მხოლოდ მცირე ნაწილია ტიპური, მათი მნიშვნელოვანი რაოდენობა კი მიკრონუკლეუსებით ხასიათდება (მიკროფოტო 32).

ზემოთ აღნიშნული ანომალიების გვერდით მეიოზურ მტერის პარკებში იშვიათად, მაგრამ მაინც, შეინიშნება მეიოზის ბალანსირებული, გაწონასწორებული მიმდინარეობა.

აღსანიშნავია კიდევ ერთი ანომალია, რომელიც მთელ სამტერე პარკს მოიცავს. ეს არის მიკროსპოროგენეზის მკვეთრად გამოხატული ასინქრონულობა ერთი სამტერე პარკის ფარგლებში (მიკროფოტო 12, 15, 16, 17, 19, 23, 25, 29, 30, 32), სამტერე პარკის სიგრძივი ლერძის მიმართულებით. დაყოფის ტალღები უმეტესად იწყება სამტერე პარკის ერთი რომელიმე ბოლოდან. ასე რომ სამტერე პარკის მთელ სიგრძეზე შეგვიძლია ვნახოთ მეიოზური დაყოფის ფაზების თანმიმდევრული მონაცვლეობა. იშვიათ შემთხვევაში დაყოფის ტალღები იწყება სამტერე პარკის ცენტრალური ნაწილიდან და მიემართება ორივე ბოლოსაკენ. ცალკეულ შემთხვევებში ასინქრონულობა აღინიშნება ერთი დიადის ფარგლებშიც.

ამრიგად, შესწავლილ ჰიბრიდებში (*T. aestivum* Nev. x *T. compactum* Host.) მიკროსპოროგენეზის ძირითად ანომალიებად შეიძლება ჩაითვალოს ანაფაზური ქრომოსომების გადაადგილების დარღვევა, რაც ამ პროცესის ასინქრონულობას განაპირობებს და ქრომოსომების გამოვარდნა დაყოფის თითისტარას მოქმედების სფეროდან. ქრომოსომების ასინქრონული გადაადგილება ყოველთვის არ მოქმედებს უარყოფითად მიკროსპორების ფორმირებაზე, რადგან ქრომოსომები ნავიანევიად, მაგრამ მაინც აღწევენ თითისტარას პოლუსებს. ქრომოსომების გამოვარდნა დაყოფის თითისტარას მოქმედების სფეროდან კი განაპირობებს სტრუქტურულ ცვლილებებს, კერძოდ, მტერის მარცვლებში აღინიშნება მიკრონუკლეუსების თანაბონიერება (მიკროფოტო 33). მიუხედავად ასეთი ღრმა და ხშირი დარღვევებისა, მაინც ხდება მცირე რაოდენობით ნორმალური მტერის ფორმირება, რაც უზრუნველყოფს დამტვერვა-განაყოფიერების მიმდინარეობას.

საქართველოს სსრ მეცნიერებათა აკადემია  
ნ. კეცხოველის სახელობის ბოტანიკის ინსტიტუტი

(შემოვიდა 25.10.1988)

Г. Е. ГВАЛАДЗЕ, Л. К. ЧХАИДЗЕ, М. Ш. ДЖАОШВИЛИ

МИКРОСПОРОГЕНЕЗ МЕЖВИДОВОГО ГИБРИДА ПШЕНИЦЫ  
(*TRITICUM AESTIVUM* NEV. x *TRITICUM COMPACTUM* HOST.)

Резюме

У гибридов (*T. aestivum* Nev. x *T. compactum* Host.) первого поколения основными аномалиями в микроспорогенезе можно считать асинхронное передвижение анафазных хромосом на экваториальной пластинке веретена деления и выпадание хромосом из сферы действия веретена. Асинхронное передвижение анафазных хромосом не всегда отражается на формировании пыльцы, т. к. хромосомы в большинстве случаев с опозданием, но все-таки, достигают полюсов веретена. Выпадение же хромосом обуславливает структурные изменения, а именно, наличие микронуклеусов в пыльце.

В редких случаях происходит сбалансированное протекание мейоза и возникшая в данном случае пыльца обеспечивает осуществление процесса оплодотворения.

BOTANY

G. E. GVALADZE, L. K. CHKHAIDZE, M. Sh. JAOSHVILI

MICROSPOROGENESIS OF THE INTERSPECIES HYBRID OF WHEAT  
(*TRITICUM AESTIVUM* NEV. x *TRITICUM COMPACTUM* HOST)

Summary

The drop-out of chromosomes from the division spindle's sphere of action and asynchronous movement of anaphased chromosomes on the equatorials plate of the division spindle can be considered as the basic anomalies in the microsporogenesis of the first generation hybrids. The asynchronous movement of anaphased chromosomes does not always affect the formation of pollen grains since chromosomes reach the spindle poles, though with a delay. But the drop-out of chromosomes cause structural changes of pollen grains, namely, the appearance of micronuclei in the pollen. Sometimes there occurs the balanced meiosis, and in this case pollen grains encourage fertilization.

ლიტერატურა — ЛИТЕРАТУРА — REFERENCES

1. В. А. Поддубная-Ариольди, Н. А. Стешина, А. А. Сосновец. Ботанический журнал, 19, 4, 1934, 338—366.
2. Н. В. Цици. Отдаленная гибридизация растений. М., 1954.
3. И. Гершкович. Генетика. М., 1968.
4. Г. В. Канделаки. Отдаленная гибридизация и ее закономерности. Тбилиси, 1969.
5. М. С. Навашин. Проблемы кариологии и цитогенетики в исследованиях на видах рода Крепис. М., 1985.



УДК 612.171/796.015/

## ФИЗИОЛОГИЯ ЧЕЛОВЕКА И ЖИВОТНЫХ

В. С. ШАГИНЯН, Ф. О. ШРАПМАН, Г. А. БОЧОРИШВИЛИ

## К ИЗУЧЕНИЮ МЕХАНИЗМА АДАПТАЦИИ К ФИЗИЧЕСКОЙ НАГРУЗКЕ У ЮНЫХ СПОРТСМЕНОВ МЕТОДОМ КАРДИО-СПИРОЭРГОМЕТРИИ

(Представлено академиком Т. Н. Овиани 24.2.1988)

Как известно [1], понятие миокардиального резерва характеризуется как запас функциональной способности метаболизма и сократимости миокарда, обеспечивающий прирост сердечного выброса пропорционально величине нагрузки возрастающей мощности.

Цель работы — изучение механизма адаптации к физической нагрузке и оценка физической работоспособности у юных спортсменов под влиянием кардио-спироэргометрии.

Клинически обследованы 20 юных спортсменов-боксеров в возрасте от 12 до 17 лет со спортивным стажем от 2 до 6 лет. Проводили непрерывно возрастающий трехминутно-ступенчатый велоэргометрический нагрузочный тест PWC<sub>170</sub> с синхронной регистрацией ЭКГ, тетраполярной грудной реографии с расчетом ударного объема (УО) сердца по Кубичеку [2] и спирографией. АД измерялось по Н. С. Короткову. Кардио-спироэргометрически выделены 2 группы: I — 15 спортсменов с мощностью нагрузочного теста  $732,0 \pm 33,99$  кгм/мин при максимально достигнутой ЧСС  $168,7 \pm 7,21$  в минуту и II — 5 спортсменов с пороговой мощностью нагрузки  $540,0 \pm 0$  кгм/мин при максимальной ЧСС  $159,0 \pm 9,22$  в минуту. Результаты исследований подвергнуты дифференциально-корреляционному анализу с использованием ЭВМ М-4030.

Таблица указывает на меньшее потребление кислорода у спортсменов II группы, что объясняет уменьшение величины МПК/ПО<sub>2</sub>/кг ( $P < 0,001$ ). Кислородный долг [3] на 1 кг массы тела ( $O_{2d}/O_{2n}/кг$ ) во II группе намного превышал таковой в I группе, что указывало на высокую «кислородную стоимость» работы при меньшей ЧСС ( $P < 0,05$ ). Величина расходования ритмо-инотропных резервов (ИРИРС) сердца [4] во II группе также превышала таковую в I группе ( $P < 0,01$ ), что подтверждает высокую «энергетическую стоимость» нагрузки у спортсменов II группы при низком уровне коэффициента (КВ) восстановления ( $P < 0,05$ ). Максимальная ЧСС у спортсменов II группы при низкой пороговой мощности нагрузки ( $P < 0,001$ ) увеличивает «ватт-пульс» [5] или  $ЧСС/W_{max}$  ( $P < 0,02$ ), что выражает снижение адаптации к физической нагрузке на грани анаэробного энергообеспечения организма, понижен также индекс гемодинамической активности [6] систолы (ИГАС) на высоте нагрузки ( $P < 0,02$ ). На уменьшение миокардиального резерва во II группе указывает снижение метаболической активности (ИМА) миокарда [7].

В результате корреляционного анализа у спортсменов I группы в 77 сочетаниях параметров кардио-респираторной системы выявлена коррелятивная взаимосвязь, характеризовавшаяся физиологическим детерминантно-рефлекторным взаимодействием параметров кардио-гемодинамики и внешнего дыхания в экстремальной ситуации нагрузки PWC<sub>170</sub>.

Уменьшение оптимальности рабочего режима сердца у спортсменов II группы усложняет интеграцию приспособительных реакций вазомоторного центра [8], что снижает рефлекторную активность взаимозависимости параметров кардио-гемодинамики и МПК. Действительно, в отличие от I группы, у спортсменов II группы коррелятивная взаимосвязь параметров выявлена только в 53 сочетаниях.

Показатели кардио-спирометрического исследования у юных спортсменов под влиянием нагрузки  $PWC_{170}$  ( $M \pm m$ )

Группы обследованных	ФР, кгм/кг	ЧСС/ $W_{max}$ уд/Вт	КП, мл/мин/кг	ИРИРС, усл. ед.	ИГАС, усл. ед.	КЭСВ, мДж	МПК/ $PO_2$ /мл/мин/кг	КВ
I	14,01 $\pm 0,42$	1,435 $\pm 0,08$	21,49 $\pm 1,70$	5,77 $\pm 0,55$	57,42 $\pm 5,44$	94,34 $\pm 21,35$	13,49 $\pm 0,193$	4,13 $\pm 0,25$
II	11,50 $\pm 0,53$	1,770 $\pm 0,089$	14,78 $\pm 2,04$	8,34 $\pm 0,60$	31,57 $\pm 10,43$	44,68 $\pm 8,77$	8,0 $\pm 1,207$	2,66 $\pm 0,56$
P	<0,01	<0,02	<0,05	<0,01	<0,02	<0,05	<0,001	<0,05

Условные обозначения: ФР — физическая работоспособность на 1 кг массы тела; ЧСС/ $W_{max}$  — отношение максимальной ЧСС к максимальной мощности нагрузочного теста [5]; КП — кислородный пульс на 1 кг массы тела на высоте нагрузки; ИРИРС — индекс расходования ритмо-инотропных резервов сердца [4]; ИГАС — индекс гемодинамической активности систолы [6]; КЭСВ — кинетическая энергия сердечного выброса [9]; МПК/ $PO_2$ /кг — отношение максимального потребления кислорода к потреблению кислорода в покое на 1 кг массы тела; КВ — коэффициент восстановления (отношение величин МПК к  $PO_2$  в периоде восстановления).

Нам представляется, что нарушение адаптации к физической нагрузке, или деадаптацию, у спортсменов II группы следует понимать не только как следствие нарушения аэробного энергообеспечения организма и миокардиального резерва, но и как расстройство рефлекторной взаимосвязи между параметрами кардио-респираторной системы в чрезвычайной ситуации падения оптимальности рабочего режима сердца под влиянием нагрузки  $PWC_{170}$ .

Однако сложность методики тормозит внедрение ее в практику, что вынудило упростить методику до уровня практического применения в поликлинике при наличии электрокардиографа и реоплетизмографа или синхронной записи ЭКГ и сфигмограммы сонной артерии, а ударный объем сердца определять с помощью формулы Старра.

Комплексные показатели производительной части работы сердца в результате математических преобразований (физик-теоретик Е. Г. Гурвич) приняли вид

$$КЭСВ = 5 \cdot 10^{-5} \cdot \frac{УО^3}{Q^2 \cdot Н^2}, \quad ИГАС = 10^{-5} \cdot \frac{УО^2 \cdot F}{Н},$$

где УО — ударный объем сердца, мл; F — ЧСС; Q — площадь поперечного сечения аорты,  $см^2$  [10]; Н — длительность фазы изгнания, с.

Показатели непроизводительной части работы сердца являются ЧСС/ $W_{max}$  или «ватт-пульс» [5] и ИРИРС [4].

На рисунке представлена диаграмма (Е. Г. Гурвич) с производительной частью работы сердца (КЭСВ+ИГАС) по оси ординат и непроизводительной частью (ЧСС/W<sub>max</sub>+ИРИРС) по оси абсцисс.

На диаграмме приведены величины показателей у обеих групп юных спортсменов по отношению абсолютных величин показателей

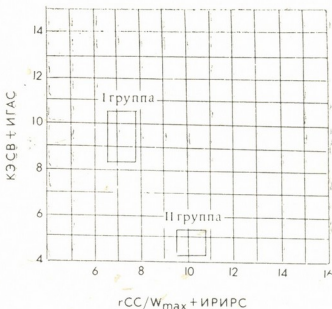


Рис. 1 Пояснения в тексте

II группы к величинам I группы. Для практического использования диаграммы величины показателей у обследуемого, рассчитанные по упрощенным формулам, следует разделить: КЭСВ—на 18,9, ИГАС—на 11,5, ЧСС/W<sub>max</sub>—на 0,29, ИРИРС—на 1,15.

Координаты центров прямоугольников равны средним значениям суммы соответствующих показателей по данной группе, а стороны прямоугольников—их удвоенным погрешностям. Точка пересечения перпендикуляров на оси ординат на уровне суммы КЭСВ+ИГАС и на оси абсцисс на уровне ЧСС/W<sub>max</sub>+ИРИРС является искомой результирующей величиной оптимальности рабочего режима сердца у обследуемого.

Детский врачебно-физкультурный диспансер

(Поступило 1.9.1988)

აღაპიანისა და ცხოველთა ფიზიოლოგია

ზ. შაბინიანი, თ. შარაზანი, ზ. ბოზორიშვილი

მოზარდ სპორტსმენებში ფიზიკური დატვირთვისადმი ადაპტაციის მექანიზმის შესწავლა კარდიო-სპირომეტრიული მეთოდით

რეზიუმე

გამოკვლეული 20 მოზარდი სპორტსმენიდან 5 სპორტსმენში ველოერგომეტრული უწყვეტად მზარდი დატვირთვის ტესტმა რისკ<sub>170</sub> გამოიწვია ქან-

გბადის მაქსიმალური მოთხოვნების ნაკლები მატება, ამავე დროს «ვატ-პულსის», უანგბადოვანი ვალის და გულის რიტმო-ინტროპული რეზერვების ხარჯვის ზრდა.

HUMAN AND ANIMAL PHYSIOLOGY

V. S. SHAGINYAN, F. O. SHRAIBMAN, G. A. BOCHORISHVILI

THE STUDY OF THE MECHANISM OF YOUNG SPORTSMEN'S  
 ADAPTATION TO PHYSICAL LOADING BY THE CARDIO-  
 SPIROERGOMETRIC METHOD

Summary

The incessantly growing veloergometric PWC 170 loading test caused a lesser MOC increment in 5 young sportsmen (boxers) out of 20 while increasing the watt-pulse, the oxygen debt and expenditure of the heart's rhythmoinotropic reserves.

ლიტერატურა — ЛИТЕРАТУРА — REFERENCES

1. Ф. З. Меерсон. Кардиология, 9, 1976, 5—14.
2. W. G. Kubiček *et al.* Ann. N. Y. Acad. Sci., v. 170, 1970, 724—732.
3. Практикум по общей физиологии и физиологии спорта. М., 1973, 59—60.
4. В. Д. Чурин. Кардиология, 2, 1976, 91—97.
5. В. И. Маколкин и соавт. Кардиология, 11, 1984, 71—76.
6. В. С. Шагинян. Сб. «Вопросы биологии и медицинской техники». Тбилиси, 1978, 70—92.
7. Д. М. Аронов. Кардиология, 4, 1979, 5—10.
8. В. М. Хаятин. Сосудодвигательные рефлексы. М., 1964.
9. В. Л. Карлман и соавт. Кардиология, 12, 1973, 83—88.
10. Н. Н. Савицкий. Биофизические основы кровообращения и клинические методы изучения гемодинамики. М., 1963.



Г. Ш. ДАВИТАЯ, Л. П. АСАТИАНИ, К. Г. ЧАВЧАНИДЗЕ

## ИЗУЧЕНИЕ ВЛИЯНИЯ ФЕРРОЦЕНСОДЕРЖАЩИХ АЦЕТИЛЕНОВЫХ ГЛИКОЛЕЙ В МИКРОСОМАХ ПЕЧЕНИ КРЫС, МОДИФИЦИРОВАННЫХ БЕНЗ (а) ПИРЕНОМ

(Представлено членом-корреспондентом Академии Д. Ш. Угрехелидзе 25.10.1988)

Исследование первичных механизмов канцерогенеза до сих пор остается важнейшей задачей современной биологии. Известно, что простагландины играют важную роль в развитии процессов опухолевого роста [1]. Было показано, что образование окисленных форм полициклических углеводородов, проявляющих канцерогенную активность, может произойти с участием ферментной системы биосинтеза простагландинов [2]. На сегодняшний день создание веществ, обладающих способностью подавить те или иные патологические процессы, считается весьма актуальным. Исследование биологической активности ферроценсодержащих ацетиленовых гликолей показало, что они обладают антиканцерогенным эффектом [3]. В то же время эти вещества ингибируют свободно-радикальные процессы и способствуют увеличению содержания ДНК, РНК и холестерина, в то время как полициклические углеводороды снижают уровень этих компонентов в культивируемых куриных эмбрионах [4].

Анализ литературных данных показывает, что механизм действия ферроценсодержащих ацетиленовых гликолей остается мало изученным.

В связи с этим задачей нашего исследования было изучить влияние ферроценсодержащих ацетиленовых гликолей — 1-ферроценил-1-фенил-1-окси-3-1-оксициклопентил-2-пропин (ФФООП) на связывание и биосинтез простагландинов и на перекисное окисление липидов (ПОЛ) микросом как отдельно, так и при совместном действии с бенз (а) пиреном в микросомах клеток печени крыс.

Материалом для исследования служила печень белых крыс самцов весом 100—120 г. Микросомы печени крыс получали дифференциальным центрифугированием [5]. Активность простагландинэндопероксидазы (ПЭПС) в пробах определяли полярографическим методом [6]. Об уровне ПОЛ судили по образованию малонового диальдегида (МДА) [7].

В табл. 1 показано, что бенз (а) пирен в концентрации  $10^{-3}$  М вызывает ингибирование активности ПЭПС, в то время как в концентрации  $10^{-4}$  М и  $10^{-5}$  М активизирует, т. е. действие носит фазовый характер — высокие концентрации ингибируют, а низкие активизируют фермент. ФФООП ингибирует активность ПЭПС и это действие коррелирует с уменьшением его концентрации — максимум величины ингибирования приходится на концентрацию  $10^{-5}$  М. В связи с этим в даль-

Изучение влияния ФФООП и бенз (а) пирена (БП) на активность ПЭПС и на связывание  $^3\text{HПГЕ}_1$  в микросомах (М) клеток печени крыс (данные выражены в % по отношению к контролю, которым служили пробы интактных микросом)

№	Пробы	Активность ПЭПС	Связывание $^3\text{HПГЕ}_1$
1	М+БП— $10^{-3}\text{M}$	80	90
2	М+БП— $10^{-4}\text{M}$	110	112
3	М+БП— $10^{-5}\text{M}$	123	132
4	М+ФФООП— $10^{-3}\text{M}$	92	102
5	М+ФФООП— $10^{-4}\text{M}$	77	85
6	М+ФФООП— $10^{-5}\text{M}$	71	80
7	М+БП— $10^{-3}\text{M}$ +ФФООП— $10^{-5}\text{M}$	94	99,5
8	М+БП— $10^{-4}\text{M}$ +ФФООП— $10^{-5}\text{M}$	99	91
9	М+БП— $10^{-5}\text{M}$ +ФФООП— $10^{-5}\text{M}$	86	66

нейших экспериментах в исследуемые пробы вводили ФФООП в концентрации  $10^{-5}\text{M}$ . Совместное действие канцерогена и ФФООП также ингибировала активность ПЭПС, однако уровень ингибирования несколько ниже, чем в случае действия этих веществ отдельно. В данном случае наблюдается тенденция ФФООП доводить активность фермента до предела нормы. Изучение влияния этих же веществ на связывание меченого тритием простагландина  $\text{E}_1$  ( $^3\text{HПГЕ}_1$ ) с рецепторными участками мембран микросом дает сходную картину с той лишь разницей, что эффект выражен несколько в большей степени (табл. 1). Следует также отметить, что совместное применение ФФООП и

Таблица 2

Изучение влияния бенз (а) пирена (БП), ФФООП и ПГЕ<sub>1</sub> на ПОЛ мембран микросом (М) (уровень ПОЛ — по изменению количества малонового диальдегида в % по отношению к контролю, которым служили пробы интактных микросом)

№	Пр о б ы	Уровень ПОЛ
1	М+ПГЕ <sub>1</sub> — $10^{-9}\text{M}$	106
2	М+ФФООП— $10^{-5}\text{M}$	71,6
3	М+БП— $10^{-5}\text{M}$	74
4	М+БП— $10^{-5}\text{M}$ +ФФООП— $10^{-5}\text{M}$	102
5	М+БП— $10^{-5}\text{M}$ +ПГЕ <sub>1</sub> — $10^{-9}\text{M}$	86
6	М+ФФООП— $10^{-5}\text{M}$ +БП— $10^{-5}\text{M}$ +ПГЕ <sub>1</sub> — $10^{-9}\text{M}$	78
7	М+ФФООП— $10^{-5}\text{M}$ +ПГЕ <sub>1</sub> — $10^{-9}\text{M}$	97

бенз(а)пирена значительно ингибирует связывание  $^3\text{HПГЕ}_1$  с рецепторными участками мембран микросом клеток печени крыс.

Как известно, ПОЛ является важным показателем жизнедеятельности клетки и существует предположение о том, что нарушение уровня ПОЛ может служить существенным показателем течения патологических процессов [8]. В наших экспериментах (табл. 2) показа-

но, что лишь простагландин  $E_1$  увеличивает уровень ПОЛ, в то время как ФФОП и бенз(а)пирен ингибируют. Такое действие может быть наличием антиокислительной активности как ФФОП, так и бенз(а)пирена.

Таким образом, анализ полученных экспериментальных данных позволяет высказать предположение о том, что ФФОП оказывает противоположное бенз(а)пирену влияние на организм, т. е. «сглаживает» действие канцерогена во всех исследуемых пробах. Такое действие ФФОП позволяет применить его для подавления действия канцерогенных ароматических полициклических углеводородов.

Тбилисский государственный университет

(Поступило 18.11.1988)

ბიოფიზიკა

ბ. დავითაია, ლ. ასათიანი, კ. შავჩანიძე

ფეროცენწმემცველი აცეტილენური გლიკოლების გავლენის შესწავლა ბენზ(ა)პირენით მოდიფიცირებულ ვირთაგვას ღვიძლის მიკროსომებში

რეზიუმე

ნაჩვენებია, რომ ბენზ(ა) პირენით მოდიფიცირებულ ვირთაგვას ღვიძლის მიკროსომების სუსპენზიაზე ფეროცენწმემცველი აცეტილენური გლიკოლების დამატება იწვევდა როგორც პროსტაგლანდინენდოპეროქსიდინთეზის აქტივობის შემცირებას, ისე თრითიუმით მონიშნული პროსტაგლანდინ  $E_1$ -ის რეცეპტორული დაკავშირების დაქვეითებას კონტროლის დონემდე.

გამოთქმულია მოსაზრება, რომ ფეროცენწმემცველ აცეტილენურ გლიკოლებს აქვთ ანტიკანცეროგენული ეფექტი და მათი გავლენა რეგულატორულ პროცესებზე ხორციელდება პროსტაგლანდინებზე მოქმედებით.

BIOPHYSICS

G. Sh. DAVITAYA, L. P. ASATIANI, K. G. CHAVCHANIDZE

INVESTIGATION OF FERROCENE-CONTAINING GLYCOLS ACTION ON THE RAT LIVER MICROSOMES MODIFIED BY BENZO(α)PYRENE

Summary

It has been shown that the addition of ferrocene-containing glycols to the suspension of the rat liver microsomes modified by benzo(α)pyrene causes both prostaglandin endoperoxidase activity decline and the decrease of  $^3H$ -labeled prostaglandin  $E_1$  receptor binding down to the level of control.

It is suggested that the ferrocene-containing glycols possess an anticarcinogenic activity and their effect on the regulatory processes is exerted through the action on the prostaglandins.

## ლიტერატურა — ЛИТЕРАТУРА — REFERENCES

1. Порстагландины. М., 1978.
2. K. V. Honn *et al.* Prostaglandins, v. 21, № 5, 1981, 833—864.
3. И. М. Гвердцители, Б. А. Ломсадзе, Л. П. Асатиани, М. А. Царцидзе. Труды ТГУ, сер. «Химия и биология», т. 212, 1981, 63—67.
4. Дж. Ш. Миндиашвили, Л. П. Асатиани, Б. А. Ломсадзе, М. А. Царцидзе. Труды ТГУ, сер. «Химия и биология», т. 99, № 2, 1980, 465—468.
5. В. А. Avingen *et al.* J. Biol. Chem., № 13, 1974, 5892—5899.
6. А. Т. Мевх, П. В. Вржец, В. Ю. Швядас, С. Д. Варфоломеев, Г. И. Мягкова, Л. А. Якушева. Биоорганическая химия, т. 7, № 5, 1981, 695—701.
7. И. Д. Стальная, Т. Г. Гаришвили. Сб. «Современные методы в биохимии». М., 1978.
8. А. И. Арчаков. Микросомальное окисление. М., 1975.



П. А. ТХЕЛИДЗЕ, Т. И. АНАНИАШВИЛИ, О. Т. ХАЧИДЗЕ

## ПРЕВРАЩЕНИЕ $^{14}\text{C}$ -САХАРОЗЫ В ПОБЕГАХ И ГРОЗДЬЯХ ВИНОГРАДА

(Представлено членом-корреспондентом Академии Н. Н. Нуцубидзе 10.11.1988)

Основную массу транспортируемых во флоэме веществ почти всех видов растений составляют углеводы, а основным подвижным компонентом транспортирующих во флоэме веществ большинства растений является сахароза [1—5].

По Ш. Ш. Чанишвили [6] и К. Соунсену [7], сахароза — единственная форма сахара, передвигающаяся в виноградной лозе сорта Конкорд. Незначительное количество глюкозы и фруктозы, обнаруживаемое в побегах, является результатом гидролиза сахарозы, которая быстро передвигается от листьев к точке роста.

Французские исследователи считают, что сахароза по выходу из листа гидролизуеться в инвертный сахар в древеснолубяных сосудах и ее содержание уменьшается на всем пути от черешка листа до побега, от побега до гребня и от гребня до ягод, в результате чего в винограде остаются лишь следы сахарозы [8].

Нами изучено передвижение и превращение  $^{14}\text{C}$ -сахарозы в побегах и ягодах винограда сорта Ркацителли (*Vitis vinifera* L.). Эксперименты проводили в период роста ягод и в фазе зрелости. Опыты ставили на побеге с одной гроздью, листья с которого удаляли непосредственно перед опытом. Побеги с раствором  $^{14}\text{C}$ -сахарозы помещали в специальные камеры, где оставляли на 12 часов при температуре 25—27° в темноте. Количество  $^{14}\text{CO}_2$ , выделяемого побегами при непрерывной циркуляции воздуха, учитывали в виде  $\text{Ba}^{14}\text{CO}_3$ .

После опыта материал разрезали на отдельные части и фиксировали кипячением в 96%-ном этаноле в течение 10 мин. Затем из них 80%-ным этанолом извлекали вещества. Фракции сахаров, аминокислот и органических кислот выделяли методом препаративной хроматографии на бумаге [9].

Идентификацию индивидуальных компонентов проводили методом хроматографии на бумаге и радиоавтографии. Радиоактивность определяли жидкостным сцинтилляционным спектрофотометром SI-30.

Эксперименты показали, что в темноте основная часть сахарозы при передвижении не расходовалась в процессе дыхания. Активность выделяемого побегом  $\text{CO}_2$  составляла в период роста ягод всего 378 000 имп/мин, т. е. 0,7% от общей радиоактивности побега с гроздьями, а в период зрелости 211 500 имп/мин, т. е. 1,1%.

В период роста ягод основная часть радиоактивности оказалась в побеге, в основном в древесине. В грозди винограда было сосредоточено всего 10% радиоактивности. В период созревания картина изменялась. Гроздь содержала свыше 60% от общей радиоактивности, отсюда 93% радиоактивности приходилось на ягоды.

В результате усвоения, передвижения и частичного превращения  $^{14}\text{C}$ -сахарозы около 98%  $^{14}\text{C}$  обнаруживалось в спирторастворимой фракции побега, а в ягодах винограда 10—12% радиоактивности — в биополимерах. Незначительная часть  $^{14}\text{C}$  радиоактивной сахарозы включалась в аминокислоты и органические кислоты. Сравнительно высокий процент включения в эти соединения наблюдался в разных частях грозди, особенно в ягодах.

Картина распределения радиоактивности в отдельных компонентах сахаров показывает (таблица), что в побеге основная часть саха-

Включение радиоактивного углерода  $^{14}\text{C}$ -сахарозы в сахара побега и грозди в разные фазы вегетации

Части побега	Сахара	Фаза вегетации				
		Рост ягод		Зрелость		
		$10^3$ имп/мин	% от общей радиоактивности сахаров	$10^3$ имп/мин	% от общей радиоактивности сахаров	
I междоузлие	Кора	Сахароза	180,2	80,9	86,5	81,9
		Глюкоза	22,1	9,9	9,8	9,3
		Фруктоза	20,4	9,2	9,2	8,7
	Древесина	Сахароза	345,1	79,4	192,5	80,5
		Глюкоза	45,9	10,5	23,7	9,9
		Фруктоза	44,2	10,1	22,8	9,5
II междоузлие	Кора	Сахароза	174,6	72,9	85,0	74,8
		Глюкоза	32,9	13,7	15,0	13,2
		Фруктоза	32,0	13,4	13,5	11,9
	Древесина	Сахароза	395,6	71,9	199,2	74,5
		Глюкоза	80,5	14,6	39,7	14,7
		Фруктоза	73,6	13,5	28,8	10,8
Гроздь	Основание ножки грозди	Сахароза	53,7	70,4	36,4	73,7
		Глюкоза	11,4	15,0	7,0	14,7
		Фруктоза	11,0	14,6	5,7	71,6
	Гребень	Сахароза	76,1	38,9	36,9	60,4
		Глюкоза	60,5	30,9	34,0	21,1
		Фруктоза	59,1	30,2	29,7	18,4
Подушечки на ножках ягод	Сахароза	8,4	17,5	6,6	31,6	
	Глюкоза	20,8	43,3	7,4	35,6	
	Фруктоза	18,8	39,2	6,8	32,8	
Ягоды	Сахароза	34,0	2,2	376,2	13,8	
	Глюкоза	1564,0	51,6	1240,8	45,5	
	Фруктоза	1428,0	47,2	1108,8	40,7	

розы передвигается без превращения. В коре и в древесине побега в сахарозе обнаружено 70—80% от суммы радиоактивных сахаров.

В основании ножки грозди замечается незначительное снижение радиоактивности сахарозы, а в гребнях превращение сахарозы усиливается. В период роста ягод около 60% радиоактивности сахаров выявлено в глюкозе и фруктозе, а в фазе зрелости эта величина составляет 40%.



Превращение сахарозы усиливается в подушечках на ножках ягод, в самих же ягодах в сахарозе отмечено в период роста ягод 2,2, а при зрелости 13,8% от общей радиоактивности сахаров. В фазе зрелости ягод более 85% от общей радиоактивности сахаров обнаруживается в глюкозе и фруктозе.

Из продуктов превращения сахарозы в ягодах винограда  $^{14}\text{C}$  обнаружена также в аминокислотах (аспарагиновая и глутаминовая кислоты, серин, аланин, валин, лейцин) и органических кислот (яблочная, винная, янтарная, фумаровая, гликолевая).

Таким образом, подтверждено, что основным местом расщепления сахарозы — главного компонента транспортируемых сахаров виноградной лозы является гроздь, в частности ягоды винограда.

Академия наук Грузинской ССР  
Институт биохимии растений

(Поступило 18.11.1988)

ბიოქიმია

პ. თხელიძე, თ. ანანიშვილი, ო. ხაჩიძე

$^{14}\text{C}$ -საქაროზის გარდაქმნა ვაზის ყლორტსა და მტევანში

რეზიუმე

გვზოგენური  $^{14}\text{C}$ -საქაროზის გამოყენებით ნაჩვენებია, რომ ეს დისაქარირი ვაზის ყლორტში ძირითადად გადაადგილდება გარდაქმნის გარეშე. საქაროზა და მისი ნაწილობრივი ჰიდროლიზის პროდუქტები გადაადგილების დროს ნაწილდება ყლორტის კანსა და მერქანში, ამასთან ერთად  $\text{CO}_2$ -მდე იუანება საქაროზის დაახლოებით 1%.

საქაროზის გახლეჩვა ძლიერდება მტევანში და მაქსიმუმს აღწევს ყლორტის მარცვლებში.

BIOCHEMISTRY

P. A. TKHELIDZE T. I. ANANIASHVILI O. T. KHACHIDZE

### CONVERSION OF $^{14}\text{C}$ -SUCROSE IN GRAPEVINE SHOOTS AND CLUSTERS

#### Summary

Movement and conversion of  $^{14}\text{C}$ -sucrose in grapevine shoots and clusters were studied. Experiments were carried out during plant growth and in the phase of ripeness.

It is shown that in darkness the major portion of sucrose in movement do not participate in respiration. Activity of the released  $^{14}\text{CO}_2$  accounts for only 1% of the total radioactivity.

In cluster stems a slight decrease of  $^{14}\text{CO}_2$ -sucrose was observed, while in combs the sucrose conversion increased. Sucrose cleavage is more intensive in grape stems and reaches its maximum in grapes.



## წიგნობები — ЛИТЕРАТУРА — REFERENCES

1. А. Л. Курсанов. Транспорт ассимиляторов в растениях. М., 1976, 646.
2. А. Л. Курсанов, М. В. Туркина. ДАН СССР, 95, № 3, 1954, 885—888.
3. О. А. Павлинова. Физиол. раст., т. 2, 1965, 378—386.
4. С. Ф. Измайлов, В. П. Пикарская, А. М. Боготицк, А. М. Смирнов. Физиол. раст., т. 24, вып 6, 1977, 1174—1180.
5. Физиология винограда и основы его возделывания, т. I. София, 331.
6. Ш. Ш. Чанишвили. Передвижение ассимиляторов в виноградной лозе. Тбилиси, 1964, 102.
7. С. А. Swanson, E. D. H. Shishing. 1958. Translocation of sugars in the Concord grape. Plant Physiol. № 1, p. 33—36.
8. Ж. Риберо-Гайон, Э. Пейно, П. Риберо-Гайон, П. Сюдро. Теория и практика виноделия, т. 2. М., 1979, 352.
9. П. А. Тхелидзе. Сообщения АН ГССР, 91, № 1, 1978, 149—152.





Д. Н. ТАРХНИШВИЛИ, Р. Г. МАМРАДЗЕ

## МОДИФИКАЦИЯ ФЕНОТИПА МАЛОАЗИАТСКОЙ ЛЯГУШКИ ПОД ВОЗДЕЙСТВИЕМ ПОВЫШЕННОЙ ТЕМПЕРАТУРЫ

(Представлено членом-корреспондентом Академии Б. Е. Курашвили 28.11.1988)

Значение окраски в популяционно-биологических исследованиях бурых лягушек хорошо известно [1]. Многие ее особенности используются как фенотипические маркеры из-за дискретности их проявления. Вместе с тем, на формирование любого признака, в том числе окраски, влияют скорости количественных процессов — роста, увеличения количества пигментных клеток и др. Не всегда ясно, может ли интенсивность морфогенетических процессов определить альтернативные изменения дискретных признаков окраски и повлиять на частоту их встречаемости или лишь изменить отдельные особенности исследуемого признака, будучи не в состоянии изменить его положение в дискретной паре или в ряду проявлений.

Объектом исследования были выбраны группы sibсов из кладки малоазиатской лягушки (*Rana macropneumis*). 3 кладки (1—3) были получены в лаборатории. Самец второй пары производителей имел слабовыраженную светлую дорзомедиальную полосу, остальные 5 производителей были бесполосыми. Весной 1988 г. в природе были получены остальные 6 кладок (1<sup>a</sup>—6<sup>a</sup>).

Из каждой кладки отбирали по 4 группы личинок (по 40 особей из кладок 1—3, 20 из кладок 1<sup>a</sup>—6<sup>a</sup>) и рассаживали их в 40-литровые аквариумы с плотностью 1 личинка/л с температурой 18, 21, 25 и 29°C.

Прижизненно описывали фенотип метаморфизировавших животных, в том числе наличие отчетливой дорзомедиальной полосы (*striata*), слабовыраженной полосы, крапа (*punctata*),

Рассмотрим вначале распределение фенотипов сеголеток в оптимальных условиях, при 18—19°C. Несмотря на отсутствие среди 3 пар производителей фенотипа *punctata*, среди 37 сеголеток, выращенных из кладки 2, у 2 имелся выраженный крап; крапчатыми были и около половины сеголеток из кладки 5<sup>a</sup>. В остальных кладках при оптимальной температуре выращивали фенотип *punctata* отсутствовал.

Интересно проявление во всех исследованных кладках фенотипа *striata* (таблица, Б). По имеющимся данным [2, 3], этот фенотип определяется полностью доминантным аутосомным геном. Однако среди производителей кладок 1 и 3 светлополосые особи отсутствовали. Трудно предположить и наличие *striata* среди производителей всех полученных в природе кладок. Вне зависимости от доминантности гена одноаллельное наследование предполагает потомство либо фенотипически однородное, либо в расщеплении 3:1. Вместе с тем, лишь у сеголеток 4 из 9 исследованных кладок частота *striata* была близка к 25%. В 3 кладках их доля приближалась к 1/2, в 2 — к нулю (не принимая при этом нулевого значения). Частота *striata* в кладках с минимальным и максимальным содержанием этого фенотипа различалась при  $P=0,001$ . Здесь, однако, следует отметить некоторую субъективность выделения фенотипа: степень выраженности дорзомедиальной полосы сильно и непрерывно варьирует во всех

кладках, и провести четкую грань между сеголетками с яркой и слабовыраженной полосой (наследование последнего признака, вероятно, имеет более сложный характер, а в популяциях *R. macropennis* он встречается чаще *striata* [1]) трудно.

Частота особей со слабовыраженной полосой представлена в таблице В, она сильно варьирует по кладкам (но в 5 кладках приближается к 25%). Общее количество сеголеток со светлой полосой, выраженной в различной степени, в 6 кладках превышает половину. Вместе с тем, как и в случае со степенью выраженности полосы, границу между бесполосыми лягушатами и особями с очень слабовыраженной полосой выделить трудно, и идентификация последних остается в известной мере субъективной.

При повышении температуры развития головастиков фенотипический состав меняется. Смертность личинок не столь значительна, чтобы избирательная элиминация могла оказывать на этот процесс существенное влияние. Прежде всего, увеличение температуры способствует проявлению фенотипа *punctata*. Уже при 21°C крапчатые особи (правда, в небольшом количестве) появились в 7 из 9 исследованных кладок. При 25°C их встречаемость возрастает, хотя группировать кладки по этому признаку пока невозможно. Наконец, при развитии головастиков на 29°C крапчатые сеголетки присутствуют во всех группах сибсов, причем кладки распадаются на 3 группы: с частотой *punctata* 4—18%, 43—55%, 73—88% (таблица, А). Логично предположить наследственные различия между этими кладками. Реализуются они, однако, лишь при высокой температуре. Интересно,

Изменение частоты фенотипов (%) под воздействием температуры

А) *punctata*

Т°, С	№ к л а д к и									
	1	2	3	1 <sup>а</sup>	2 <sup>а</sup>	3 <sup>а</sup>	4 <sup>а</sup>	5 <sup>а</sup>	6 <sup>а</sup>	М±σ
18	0	6	0	0	0	0	0	54	0	7±18
21	10	5	3	0	13	6	0	8	27	8±8
25	3	24	6	6	71	0	0	47	0	17±25
29	74	82	50	18	55	13	4	88	43	47±31

Б) *striata*

Т°, С	№ к л а д к и									
	1	2	3	1 <sup>а</sup>	2 <sup>а</sup>	3 <sup>а</sup>	4 <sup>а</sup>	5 <sup>а</sup>	6 <sup>а</sup>	М±σ
18	40	26	21	—	7	5	53	23	50	27±17
21	50	24	39	0	19	18	22	42	60	30±19
25	54	41	36	0	12	20	40	47	22	30±18
29	25	5	9	6	0	20	50	25	71	23±23

## В) особи со слабовыраженной полосой

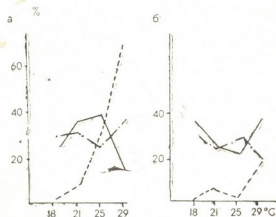
Т°, С	№ к л а д к и									
	1	2	3	1 <sup>а</sup>	2 <sup>а</sup>	3 <sup>а</sup>	4 <sup>а</sup>	5 <sup>а</sup>	6 <sup>а</sup>	М±σ
18	14	46	19	—	27	70	20	38	9	28±21
21	22	51	21	5	25	29	50	33	13	28±15
25	17	41	22	6	12	53	13	29	39	26±16
29	26	50	36	12	36	33	18	44	14	30±13

что в закавказских популяциях *R. macedonica* частота *punctata* не сколько убывает с высотой [1]. Не исключено, что это связано со снижением температуры развития личинок.

Частота *striata* также изменяется при возрастании температуры, но характер реакции на температуру проявляет генетическую специфику, в результате чего средняя по всем кладкам встречаемость этой морфы практически не меняется (таблица, Б). Но в 5 кладках с наиболее высокой частотой крапа при повышенной температуре изменения встречаемости светлой полосы сходны. Последняя, повышаясь при возрастании температуры до 25° (пока невысока частота *punctata*), резко убывает при 29°C (рис. 1, а). Увеличение доли *striata* сопряжено со снижением количества бесполосых особей; вероятно, оно связано с их переходом в категорию «особи со слабовыраженной полосой», а части последних — в категорию *striata*. Модифицирующее влияние условий развития на фенотип здесь очевидно. При 29° снижение частоты *striata* сопряжено с проявлением крапа, который, очевидно, препятствует проявлению выраженной дорзомедиальной полосы. Последняя теряет отчетливость, что проявляется в возрастании частоты животных со слабовыраженной полосой (рис. 1, б). Последний признак не подавляется крапом — частота бесполосых лягушат практически не изменяется.

Иная зависимость фенотипа от температуры у 4 групп sibсов, где встречаемость *punctata* невысока. При повышении температуры

Рис. 1. Изменения частоты фенотипа лягушат при повышении температуры: а — 5 кладок с высокой частотой *punctata* при 29°C; б — 4 кладки с низкой частотой *punctata* при 29°C; по оси абсцисс — температура, °C; по оси ординат — средняя частота фенотипа, %; — — — *striata*; - - - - *punctata*; - · - · - особи со слабовыраженной полосой



до 25° *striata* может как возрастать, так и снижаться, но при 29° возрастает во всех этих группах (рис. 1, б). Таким образом, очевидно подавляющее воздействие крапа на фенотип *striata*.

Наконец, следует отметить, что зависимость частоты каждого из исследованных фенотипов от времени метаморфоза отсутствовала.

Приведенные данные позволяют сделать ряд предварительных выводов. Прежде всего частота фенотипов *striata* и *punctata*, особенно последнего, сильно варьирует в зависимости от столь пластичной характеристики среды, как температура. При этом повышение температуры не только изменяет соотношение морф в пределах кладки, но и определяет характер межкладочных фенотипических различий — в частности, наследственные различия по крапу проявляются лишь на высокой температуре. Не исключено, что между генами *striata* и *punctata* существует определенная связь: при высокой температуре наличие крапа подавляет наличие светлой полосы. Кроме того, в кладках с высокой потенциальной частотой *punctata* повышение частоты полосатых особей при возрастании температуры с 18 до 25°C более заметно. Наконец, непрерывность перехода бесполосых особей в се-



голеток со слабовыраженной и, наконец, с яркой полосой заставляет сомневаться в дискретных различиях между носителями этих признаков и указывает на необходимость дополнительных исследований по природе их наследования.

Академия наук Грузинской ССР  
Институт зоологии

(Поступило 22.12.1988)

ზოოლოგია

დ. თარხნიშვილი, რ. მამრაძე

მცირეაზიური ბაყაყის ფენოტიპის მოდიფიკაცია მაღალი  
ტემპერატურის გავლენის შედეგად

რეზიუმე

მცირეაზიური ბაყაყის ფენოტიპური ნიშნის, მათ შორის ღია ფერის ხაზის (*striata*) და მუქი წერტილების (*punctata*) მემკვიდრეობა ითვლება დადგენილად. ამავე დროს ლაბორატორიაში ჩატარებულმა ცდებმა აჩვენეს, რომ *punctata*-ს სიხშირე მატულობს თავკომბალების ზრდის ტემპერატურის აწევისას, იცვლება *striata*-ს სიხშირეც. საერთოდ, განვითარების პირობების ცვლა იწვევს ფენოტიპების თანაფარდობის მოდიფიკაციას.

ZOOLOGY

D. N. TARKHNISHVILI, R. G. MAMRADZE

MODIFICATION OF CAUCASIAN BROWN FROG'S PHENOTYPE UNDER  
THE INFLUENCE OF HIGH TEMPERATURE

Summary

Some features of frog phenotype (for example, *striata* and *punctata*) are known as simple heritable ones. Laboratory experiments with *Rana macrocnemis* have shown that connection between striped and non-striped, spotted and non-spotted specimens is changed if the temperature of tadpole development increases.

ლიტერატურა — ЛИТЕРАТУРА — REFERENCES

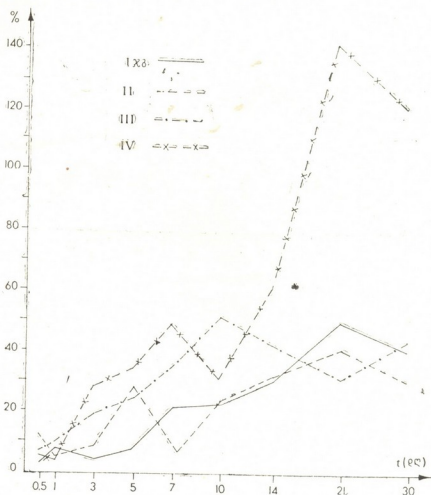
1. В. Г. Ищенко. Динамический полиморфизм бурых лягушек фауны СССР. М., 1978.
2. Е. Л. Шупак, В. Г. Ищенко. В кн.: «Герпетологические исследования в Сибири и на Дальнем Востоке». Л., 1981, 128—132.
3. L. W. Browder *et al.* I. Heredity, 57, 2, 65—67.



დ. ზაზანიძე, ბ. ხვადაგინი, ნ. ამირანი, დ. ძანდელაძე,  
 ვ. სულხანიშვილი, მ. ბახუტაშვილი (საქ. სსრ მეცნ. აკადემიის წევრ-  
 კორესპონდენტი), ლ. მანაბაძე

ალოგენური თირკმლის ჰომოგენატისა და პრეპარატ ლზ-1-ის  
 მასტიმულირებელი გავლენა თირკმლების კომპენსატორულ  
 ჰიპერტროფიაზე მასპერიმენტში

ცალმხრივი ნეფრექტომიის შემდეგ დარჩენილ კონტრალატერალურ თირკმელში მიმდინარე პროცესები ცნობილია კომპენსატორული ჰიპერტროფიის სახელწოდებით, რომლის დროსაც ერთდროულად ხდება როგორც მისი ფუნქციური გააქტივება, ისე მასის მატება.



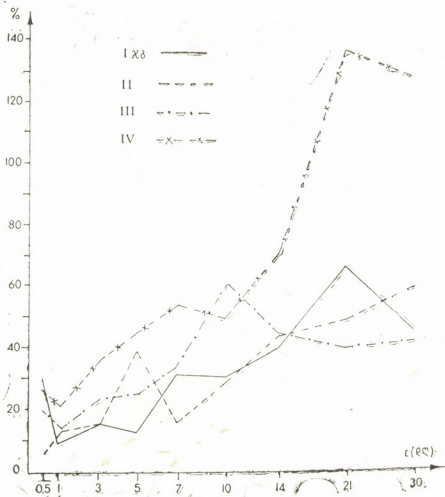
სურ. 1. თირკმლის სველი წონის პროცენტული მატება

ჰიპერტროფიის მიზეზად მიიჩნევენ ორგანიზმში არსებულ ჰიპოთეზურ, ე. წ. რენოტროფულ ფაქტორებს, რომლებიც არეგულირებენ თირკმლების ზრდას და აღნიშნავენ მათ შესაძლო არსებობას თირკმლის ექსტრაქტში, ნეფრექტომირებული ცხოველების შრატში და პლაზმაში [1,2].

ექსპერიმენტები ჩატარებულია „Wistar“-ის ჯიშის ორივე სქესის 255 ვირთავაზე, წონით 120—200 გ. ექსპერიმენტები გაყოფილ იქნა ოთხ ჯგუ-



ფად. პირველი ჯგუფი საკონტროლო იყო — ვაწარმოებდით მხოლოდ მსხრვი ნეფრექტომიას. მეორე ჯგუფში ნეფრექტომიისთანავე პერიტონეუმის ღრუში შეგვეყვანდა ზრდასრულ ცხოველთა თირკმლის ჰომოგენატი, მესამე ჯგუფში — ახალშობილთა თირკმლის ჰომოგენატი, ხოლო მეოთხე ჯგუფში — პრეპარატი ლბ-1.



სურ. 2. თირკმლის მშრალი წონის პროცენტული მატება

ნეფრექტომიას ვაკეთებდით ტრანსპერიტონეალურად, ეთერის ნარკოზის ქვეშ. ჰომოგენატისა და პრეპარატი ლბ-1-ის რაოდენობა ყველა ექსპერიმენტში სტანდარტიზებული იყო კოლორიმეტრულად ცილის შემცველობის მიხედვით და შეადგენდა 0,3 მლ-ს. ცხოველებს ვკლავდით ნეფრექტომიიდან 12 საათის, 1, 3, 5, 7, 10, 14, 21 და 30 დღის შემდეგ.

კომპენსატორული ჰიპერტროფიის შესაფასებლად ვსაზღვრავდით თირკმლის სველ და მშრალ წონას, სველი და მშრალი წონის პროცენტულ მატებას, მშრალი წონის შეფარდებას სველ წონასთან პროცენტებში, სველი და მშრალი წონის ჰიპერტროფიის ინდექსს (დარჩენილი თირკმლის სველი და მშრალი წონის შეფარდება ორივე თირკმლის საერთო სველ და მშრალ წონასთან ოპერაციამდე პროცენტებში).

ნეფრექტომიის შემდეგ დარჩენილ თირკმელს ვიკვლევდით მიკრომოროფოლოგიურად. თირკმლის ანათლებში ვზომავდით გორგლებს, პროქსიმალური და დისტალური მილაკების ეპითელიური უჯრედების და ბირთვების ფართს.

ციფრებრივ მასალას ვამუშავებდით მათემატიკური სტატისტიკის მეთოდით.

ჩატარებულმა გამოკვლევებმა გვიჩვენა, რომ საკონტროლო ჯგუფში ცალმხრივი ნეფრექტომიის შემდეგ დარჩენილი თირკმელი განიცდის კა-

ნონზომიერ ჰიპერტროფიას. ოპერაციის 12 საათიდან 21 დღემდე ინტერვალში კომპენსატორული ჰიპერტროფიის ყველა მაჩვენებელი სტატი-სტიკურად სარწმუნოდ მატულობს ( $P \leq 0,001$ ,  $P \leq 0,01$ ,  $P \leq 0,05$ ). 30-ე დღე-ზე გამოვლინდა ყველა ამ მაჩვენებლის შემცირების ტენდენცია (სურ. 1, 2).

საკონტროლო ჯგუფში მიკრომორფოლოგიურად ჰიპერტროფიის პროცესი არათანაბრად არის გამოხატული, მაგრამ ნორმასთან შედარებით აღწევს მნიშვნელოვან ოდენობას. გორგლების მაქსიმალური გადიდება ნორმასთან შედარებით აღინიშნება 12 საათის შემდეგ, მოგვიანებით კი გამოვლინდება მისი თანდათანობით შემცირება. ჰიპერტროფია შესწავლილი პარამეტრების მიხედვით სტატისტიკურად იყო სარწმუნო ( $P \leq 0,001$ ,  $P \leq 0,002$ ).

მე-2 ჯგუფში ნეფრექტომიის შემდეგ უახლოეს ვადებში ჰიპერტროფიის ყველა მაჩვენებელი ჭარბობდა საკონტროლო ჯგუფის სათანადო მაჩვენებ-ლებს. მე-5 დღეზე აღინიშნება მაქსიმალური სხვაობა ამ ორ ჯგუფს შორის გამოსაკვლევი სიდიდეების მიხედვით (სურ. 1, 2). მე-7-დან 30-ე დღემდე ინტერვალში საკონტროლო და მეორე ჯგუფს შორის არსებითი სხვაობა არ არის. მხოლოდ მშრალი წონის პროცენტული რაოდენობა და ჰიპერტროფიის ინდექსი მშრალი წონის მიხედვით განაგრძობს მატებას 30-ე დღემდე. მე-2 ჯგუფში ყველა შესწავლილი მაჩვენებლის ცვლილება სტატისტიკურად სარ-წმუნოა ( $P \leq 0,05$ ,  $P \leq 0,01$ ).

მე-3 ჯგუფში 12-საათიანი პერიოდიდან მე-10 დღემდე ჰიპერტროფიის ყველა მაჩვენებელი აღემატება 1 და მე-2 ჯგუფის სათანადო მაჩვენებელს. მე-10 დღეს სხვაობა აღწევს მაქსიმუმს (სურ. 1, 2). ამ პერიოდიდან დაწყე-ბული მე-3 ჯგუფში ჰიპერტროფიის რიცხობრივი მაჩვენებლები უახლოვდება წინამდებარე ორი ჯგუფის მაჩვენებლებს, თუმცა ზოგიერთი მაჩვენებლის ცვლილება სტატისტიკურად არასარწმუნო იყო (ჰიპერტროფიის ინდექსი სველი და მშრალი წონის მიხედვით, სველი წონის პროცენტული მატება).

მე-4 ჯგუფში, სადაც კომპენსატორული ჰიპერტროფიის მასტიმულირე-ბლად გამოყენებული იყო პრეპარატი ლბ-1, თირკმლის სველი და მშრალი წონის მატება, ჰიპერტროფიის ინდექსი სველი და მშრალი წონის მიხედვით 12 საათიდან მე-7 დღემდე ინტერვალში მეტია აღნიშნული სამივე ჯგუფის ამავე მაჩვენებელზე. დაწყებული მე-10 დღიდან მეოთხე ჯგუფში აღინიშნე-ბა ჰიპერტროფიის მაჩვენებლების მკვეთრი ზრდა და 21-ე დღეს აღწევს მნიშვნელოვან სხვაობას (სურ. 1, 2). რიცხობრივი მაჩვენებლებით ჰიპერ-ტროფული თირკმლის სველი და მშრალი წონა აღემატება ორივე თირკმლის საერთო სველ და მშრალ წონას ოპერაციამდე. სველი წონა მატულობს 142,05%-ით, მშრალი წონა — 136,1%-ით. 30-ე დღეს აღინიშნება ამ მა-ჩვენებლების შემცირება, თუმცა ისინი აღემატება სხვა ჯგუფების იგივე მა-ჩვენებლებს. აღნიშნული ცვლილებები სტატისტიკურად სარწმუნოა ( $P \leq 0,001$ ,  $P \leq 0,01$ ).

მე-4 ჯგუფში მიკრომორფოლოგიურად გამოვლინდა გორგლების, კლა-კნილი მილაკების ეპითელური უჯრედების და ბირთვების ფართის თანდათა-ნობითი მატება. საკონტროლო ჯგუფისაგან განსხვავებით 12 საათის შემდეგ გორგლების ჰიპერტროფია მინიმალურია და მხოლოდ მოგვიანებით ხდება თანდათანობით სარწმუნო ( $P \leq 0,05$ ) მატება. ამ ჯგუფში გამოვლინდა მნიშვნე-ლოვანი ზრდა დისტალური და პროქსიმალური მილაკების სანათურისა. ცდის ყველა ვადაზე აღინიშნება თირკმლის სისხლძარღვების გაგანიერე-ბა და მკვეთრად გამოხატული ჰიპერემია, რითაც შეიძლება აიხსნას პრეპარატ ლბ-1-ის ზეგავლენით სველი და მშრალი წონის მომატება.

თირკმლის მშრალი წონის პროცენტული შეფარდება სველ წონასთან ცდების ოთხივე ჯგუფში თითქმის უცვლელია კვლევის ყველა ვადაზე, რაც

უარყოფს ფსევდოჰიპერტროფიას (ე. ი. უჯრედის ფართის მომატება გავრცელების ხარჯზე) და მიუთითებს უჯრედების ციტოპლაზმურ ჰიპერტროფიაზე.

ზემოაღნიშნული კვლევის შედეგები საფუძველს გვაძლევს გავაკეთოთ შემდეგი დასკვნები: 1. ვირთაგვებში ცალმხრივი ნეფრექტომიის შემდეგ აღინიშნება დარჩენილი კონტრალატერალური თირკმლის კანონზომიერი ჰიპერტროფია. 2. ალოგენური თირკმლის ჰომოგენატი ასტიმულირებს დარჩენილი თირკმლის ჰიპერტროფიას ნეფრექტომიის შემდეგ ადრეულ ვადებში, განსაკუთრებით კი ახალშობილი ვირთაგვებისა. 3. პრეპარატ ლბ-1 თირკმლის ჰიპერტროფიის უფრო ძლიერი სტიმულატორია, ვიდრე ალოგენური თირკმლის ჰომოგენატი და განაპირობებს ნეფრექტომიის შემდეგ დარჩენილი თირკმლის მასის გაორმაგებას.

საქ. სსრ ჯანდაცვის სამინისტრო  
აღ. წულუკიძის სახ. უროლოგიისა  
და ნეფროლოგიის ს/კ ინსტიტუტი

(შემოვიდა 16.2.1989)

### ЭКСПЕРИМЕНТАЛЬНАЯ МЕДИЦИНА

დ. გ. ЧАВЧАНИДЗЕ, Г. Г. ХВАДАГИАНИ, Н. Б. АМИРЯНИ, Д. Д. КАНДЕЛАКИ,  
В. А. СУЛХАНИШВИЛИ, В. И. БАХУТАШВИЛИ (член-корреспондент АН ГССР),  
Л. Г. МАНАГАДЗЕ

### СТИМУЛИРУЮЩЕЕ ВЛИЯНИЕ АЛЛОГЕННОГО ПОЧЕЧНОГО ГОМОГЕНАТА И ПРЕПАРАТА ЛБ-1 НА КОМПЕНСАТОРНУЮ ГИПЕРТРОФИЮ ПОЧЕК В ЭКСПЕРИМЕНТЕ

#### Резюме

Изучено стимулирующее влияние аллогенного почечного гомогената и препарата ЛБ-1 на компенсаторную гипертрофию почек после односторонней нефрэктомии у крыс.

Внутрибрюшинное введение аллогенного почечного гомогената стимулирует гипертрофию контралатеральной почки в течение первой недели после односторонней нефрэктомии. Препарат ЛБ-1 более сильно стимулирует гипертрофию почки, вызывая увеличение веса оставшейся почки, к концу 21-х суток больше суммарного веса обеих почек до операции (увеличение влажного веса почки — 142,05%, сухого веса — 136,1%).

### EXPERIMENTAL MEDICINE

D. G. CHAVCHANIDZE, G. G. KHVADAGIANI, N. B. AMIRYAN,  
D. J. KANDELAKI, V. A. SULKHANISHVILI, V. I. BAKHUTASHVILI,  
L. G. MANAGADZE

### THE STIMULATING EFFECT OF ALLOGENIC RENAL HOMOGENATE AND PREPARATION LB-1 ON RENAL COMPENSATORY HYPERTROPHY IN EXPERIMENT

#### Summary

The stimulating effect of allogenic renal homogenate and preparation LB-1 on renal compensatory hypertrophy following unilateral nephrectomy has been studied in rats. The investigations showed that intraperitoneal instillation of LB-1 stimulates renal hypertrophy more intensively than allogenic renal homogenate.

#### ლიტერატურა — ЛИТЕРАТУРА — REFERENCES

1. H. G. Preuss *et al.* Yale J. Biol. Med. 51, 1978, 403—412.
2. S. E. Dicker, C. A. Morris. J. Physiol., 299, 1980, 13—27.





О. Т. ТУМАНОВА

## ТОПОНИМЫ В БОТАНИКЕ

(Представлено академиком Ш. Б. Дзидзигури 8.11.1988)

В предисловии к недавно вышедшему в свет «Словарию прилагательных от географических названий» (автор — Е. А. Левашов) отмечается распространенность топонимов и оттопонимических прилагательных [1]. Однако среди упомянутых автором сфер их использования отсутствует ботаника, в то время как ее следовало бы выделить особо в этой связи как науку, по многим своим направлениям тесно соприкасающуюся с географией и, следовательно, с топонимикой.

Проблемы топонимики освещены в теоретических трудах А. В. Суперанской [2, 3], и, исходя из выдвинутых в них положений, в данной работе поставлена задача рассмотреть наиболее характерные и представляющие трудности для перевода и словообразования топонимы в основном из ботанической номенклатурной лексики и на основе их анализа дать рекомендации практического характера в части унификации топонимической лексики в ботанике.

Язык ботанической науки буквально «начинен» топонимами различных стран мира — древними и современными. В первую очередь латинские названия растений содержат в своем составе топонимы в форме оттопонимических прилагательных, и упомянутый словарь является хорошим подспорьем при их переводе на русский язык. Например: *Robinia neo-mexicana* — робиния нью-мексиканская, *Genista aetnensis* — дрок этнический, *Salix udensis* — ива удинская, *Cerasus yedoensis* — вишня эдоская.

Особую группу составляют топонимы на -о, среди которых есть японские: Эдо (Иедо), Эдзо (Иедзо), Хоккайдо, Хондо, Токио, Киото. Прилагательные образуются от них различными способами: с отсечением конечного -о или с его сохранением. Возможна вариативность: киотский и киотоский. В вышеупомянутом словаре от Эдо приводится эдоский с примером, взятым из исторического повествования. В отличие от прилагательных токийский и киотский, эдоский образован по модели: неизменная исходная форма + суффикс -ск. В названиях растений прилагательные от топонимов Эдо (Иедо), Эдзо (Иедзо) встречаются довольно часто, но их частотность в общелитературном русском языке ничтожно мала<sup>(1)</sup>. Исходя из примененной в словаре [1] модели, по аналогии с Эдо образованы прилагательные и от других однотипных топонимов: эдзоский (недзоский), хондоский. Если бы такие прилагательные использовались широко, они, вероятно, получили бы иное выражение. В подтверждение можно указать на топоним Хуло<sup>(2)</sup> и прилагательное хулойский, Гоню и гонийский, широко распространенные среди русскоязычного населения Аджарской АССР. Образование прилагательных по вышеупомянутой

<sup>(1)</sup> Употребление ограничено специальными текстами.

<sup>(2)</sup> Не Хуло, как дается в словаре [1]. Вариант хуловский, приведенный в том же словаре, никогда не встречался ни в письменной, ни в устной речи.



модели — Эдо — эдоский — имеет целью не затемнять исходного слова ввиду малой употребительности последнего. Для этой периферийной лексики оправдан принцип сохранения в процессе словопроизводства этимонов по возможности в нетрансформированном виде при открытой морфологической структуре, так же как в ботанической латыни при образовании прилагательных в принципе не допускается отсечение финалей (кроме латинских флексий и немого *e*) и используется определенное число словообразующих суффиксов, т. е. отмечается схематизм [2]. Эта тема более подробно освещается А. В. Суперанской в ее труде «Структура имени собственного» [3], где на с. 154 содержится следующее указание: «Прилагательные, образованные от нерусских топонимов, должны сохранять основы в неизменном виде», и далее: «Возрастающая тенденция агглютинативности — отсутствие взаимоприспособления морфем на их стыках характеризует вновь образованные прилагательные».

Хотя словообразование на латинском осуществляется строго по моделям, тем не менее перевод таких прилагательных на русский язык при отсутствии соответствующих словарей представляет трудности для ботаников. Например: *Hymenophyllum turbridgense* — тонколистник тунбридженский (должно быть танбриджский), *Scrophularia ilvensis* — норичник ильвенский [4] должно быть эльбинский), *Erigeron bonariensis* — мелколепестник бонарский (должно быть буэнос-айресский) — см. «Справочное пособие по систематике высших растений» [5].

Устарело прилагательное *Batumensis*, встречающееся в латинском названии Батумского ботанического сада — *Hortus Botanicus Batumensis*. Это название было дано саду в то время, когда Батуми назывался Батум. Появление финаля и потребовало его передачи в латинском прилагательном *Batumiensis*, в то время как в русском языке никаких изменений в данное оттопонимическое прилагательное не было внесено. Приведенный в словаре [1] второй вариант — батумийский — слово-однодневка, в то время как первый вариант — батумский находится в активе более ста лет, входя в ряд однотипных прилагательных — сухумский, тбилисский, кутаисский, телавский и имея, стало быть, некоторую лексическую независимость от топонима-источника.

Таким образом, можно выделить названия с соответствующими им актуализированными прилагательными и названия, не имеющие таковых в общелитературном русском языке. К последним можно отнести Элимаида, Никко, Оми и много других, от которых, однако, в специальных случаях, в частности в языке ботаников, должны быть образованы прилагательные. Это будут пробные варианты очень ограниченного использования. Иное дело, если названия войдут в активный словарь, тогда и прилагательные от них будут употребляться чаще, будут употребляться и варианты, из которых в дальнейшем какой-то станет нормой и вытеснит другой. Например, топоним Шри Ланка (Ланка), известный ранее в основном востоковедам как древнее название о. Цейлон, теперь широко употребляется в живой речи. Образование от данного топонима прилагательное утвердилось в форме шри-ланкийский.

В общелитературный словарь иногда проникают варианты, образованные от основы (топоним + иноязычный суффикс), к которой добавляется формант **-ский**: конголезский, тоголезский, паданский (лат. *Padanus*) от реки По (лат. *Padus*). Такой способ вполне оправдан в отношении топонима по виду его краткости.

В ботанической номенклатуре немало топонимов, транскрипция которых на латинский не всегда совпадает с русской транскрипцией.

Ввиду отсутствия топонимов в переводных словарях (за исключением самых известных названий), приходится использовать атласы на европейских языках (например, на английском) и на русском, ведя поиск референта сначала в зарубежном атласе, а затем в русском. Разумеется, переводчик не вправе изменять транскрипцию иностранного топонима, если даже он с ней не согласен, поскольку все топонимы, содержащиеся в атласах, стандартизированы.

Некоторые названия (сравнительно редкие) отсутствуют в современных русских атласах, например гора Оми. Данный ороним найден в дореволюционном атласе [6]. В латинской транскрипции — *Omei* ороним использован в названии *Rosa omeiensis*.

Переводы топонимов на русский язык требуется периодически проверять, поскольку в стандартизированные названия иногда вносятся изменения. Например, город в восточной части Китая, в Атласе Мира 1954 г. [7] называвшийся Моунин, сейчас изменен на Мупин [8]. Иногда встречаются топонимы, совсем неизвестные, отсутствующие в атласах. Можно было бы составить их перечень и предпринять поиск информации о них в других источниках.

Рассмотрев некоторые аспекты топонимической лексики в основном в составе названий растений и памятуя о том, что топонимы в ботанике используются не только в таксономии, но и в текстах по описательной ботанике, географии растений, в названиях ботанических садов, арборетумов, приходим к выводу о важности для ботаники (и не только ботаники) лексикологической работы в области топонимики.

«Словарь прилагательных от географических названий» облегчает только один этап в процессе перевода — словообразовательную часть. Назрела, вероятно, необходимость в переводе указателя Атласа Мира по крайней мере с английского языка и издания в виде англо-русского словаря топонимов.

Академия наук Грузинской ССР  
Батумский ботанический сад

(Поступило 8.12.1988)

ენათმეცნიერება

ო. თუმანოვა

ტოპონიმები ბოტანიკაში

რეზიუმე

ანალიზდება ბოტანიკაში გამოყენებული ტოპონიმების ზოგიერთი ტიპი და მათი რუსული ეკვივალენტები. განსაკუთრებული ყურადღება ეთმობა აღნიშნული ტოპონიმებიდან ზედსარათავი სახელების წარმოქმნას. თეორიულ საფუძველზე მოცემულია რეკომენდაციები ტოპონიმების უნიფიკაციისათვის. დასაბუთებულია მოთხოვნილება უფრო სრულყოფილი ლექსიკოგრაფიულ ცნობარების გამოქვეყნებაზე.

LINGUISTICS

O. T. TUMANOVA  
TOPONYMS IN BOTANY  
Summary

Several types of toponyms used in botany, and their Russian equivalents are analysed. Special attention is given to the formation of adjectives from toponyms. Recommendations for the unification of the toponyms in question are given on the basis of the toponomastical theory.



A need for the publication of more comprehensive reference books on toponymy is substantiated.

ՆՈՇՈՑԱԾՅՈՒՅԸ — ЛИТЕРАТУРА — REFERENCES

1. Е. А. Левашов. Словарь прилагательных от географических названий. М., 1986.
2. А. В. Суперанская. Ударение в собственных именах в современном русском языке. М., 1966.
3. А. В. Суперанская. Структура имени собственного. Фонология и морфология. М., 1969.
4. Флора СССР, т.т. 1—30. Л., М.—Л., 1934—1964.
5. А. А. Федоров, М. Э. Кирпичников. Справочное пособие по систематике высших растений, вып. I. Сокращения, условные обозначения, географические названия. М.—Л., 1954.
6. Большой Всемирный настольный атлас Маркса. СПб., 1905.
7. Атлас Мира. М., 1954.
8. Атлас Мира. М., 1987.

6 104/144.



ՊՆԿ 1 836. 90 333.  
ЦЕНА 1 РУБ. 90 КОП.

ИНДЕКС 76181